

Fachbereich Agrarwirtschaft und Lebensmittelwissenschaften

Studiengang Lebensmittel- und Bioprodukttechnologie

Wintersemester 2018/2019

# Einsatz der Texturprofilanalyse zur Charakterisierung von geringfügigen Texturunterschieden von Essiggurken

## Master - Thesis

zur Erlangung des akademischen Grades eines

Master of Science (M. Sc.)

Verfasser: Mohamed Yassine Daoud

Betreuer: Prof. Dr. Peter Meurer

Prof. Dr. Jörg Meier

Neubrandenburg, den 15.05.2018

URN: urn:nbn:de:gbv:519-thesis2017-0600-9

## **Danksagung**

Ich möchte mich an dieser Stelle bei all denen bedanken, die mich auf unterschiedlichste Weise bei der Fertigstellung dieser Master-Thesis unterstützt haben. Als erstes möchte ich mich unbedingt bei meinen beiden Betreuern Herrn Prof. Dr. Peter Meurer und Herrn Prof. Dr. Jörg Meier ganz besonders bedanken. Sie hatten mich während der Anfertigung dieser Arbeit mit sehr viel Geduld und Verständnis unterstützt. Ich konnte jederzeit Fragen stellen und sie hatten mir immer weiter geholfen. Weiterhin bin ich für das Korrekturlesen und die vielen Anregungen außerordentlich dankbar. Herr Prof. Dr. Peter Meurer und Herr Prof. Dr. Meier hatten immer ein offenes Ohr und hatten mir den Rücken gestärkt. Ein sehr großes Dankeschön an Frau Dipl.-Ing. Viola Hoffmann und Frau Sauermilch für die Unterstützung und für die unkomplizierte Terminabsprache und die verfügbare Zeit in den Laboren. Ihre nette Art und Weise und Bemühungen waren sehr bedeutsam für mich und gaben mir ständig die Mut und Kraft die Arbeit weiterzuentwickeln. Ebenfalls möchte ich mich bei Frau M. Sc. Scharf für die Bereitstellung der Materialien und die Unterstützung bei den Versuchen im Labor herzlich bedanken. Der herzliche Dank geht ebenso an mein "Sensorikteam" für die Unterstützung und die Zeit die sie für mich hatten. Diese Arbeit hätte ich ohne sie nicht anfertigen können. Ebenso möchte ich mich bei den Mitarbeiterinnen und Mitarbeitern im Labor und im Technikum für jede Unterstützung bedanken. Ebenso möchte ich mich bei Frau Schuldt aus dem Immatrikulations- und Prüfungsamt bedanken.

Zum Schluss möchte ich meiner Familie, vor allem meinen Eltern und Schwestern, meinen Freunden und einigen Bekannten überaus danken. Vielen Dank für die unermüdliche Unterstützung und das Verständnis. Außerdem möchte ich mich für das Ermöglichen dieses Studiums, das große Interesse dafür und den stetigen Zuspruch bedanken.

## **Abstract**

In order to evaluate the texture of food and precisely fruit and vegetables, there are plenty of methods, which can be divided into two large groups: instrumental and sensory methods. On the one hand, two instrumental methods for assessing texture characteristics, Texture Profile Analysis (TPA) and Warner-Bratzler (WB), were performed on cucumber pickles (gherkins). On the other hand for sensory evaluation, the Sorted Napping was combined with Ultra Flash Profiling to provide more description for the examined samples. Both instrumental and sensory methods led to detect significant differences within the texture of the chosen charges and their segments, particularly between the stem and blossom ends. Correlations between the mechanical and sensory methods were carried out. Appreciable results were obtained, especially with the WB-Shear force- and TPA-Cohesiveness-Parameters. Furthermore according to the results, the variety "L" seemed to be firmer and more cohesive than the variety "P". In addition a difference between the producing regions "F" and "K" was detected. This may be due to different environmental conditions.

## Inhaltsverzeichnis

1	. Einle	itung	7
2	. Stan	d der Wissenschaft und Technik	9
	2.1.	Gurken	9
	2.1.1.	Morphologie	9
	2.1.2.	Essiggurkenherstellung	10
	2.2.	Textur	12
	2.2.1.	Methoden der Texturermittlung	13
	2.2.1.1	Texturprofilanalyse	13
	2.2.1.2	Sensorische Methoden	15
	2.2.1.3	Weitere Methode	16
3	. Mate	rial und Methoden	18
	3.1.	Rohmaterialien	18
	3.2.	Probenvorbereitung	18
	3.3.	Instrumentelle Methoden	19
	3.3.1.	Texturprofilanalyse	21
	3.3.2.	Warner-Bratzler-Methode	23
	3.4.	Sensorische Methoden	24
	3.4.1.	Auswahl des Panels	24
	3.4.2.	Sorted Napping mit Ultra Flash Profiling	24
	3.5.	Statistische Verfahren	25
	3.5.1.	Statistische Analyse der instrumentellen Daten	25
	3.5.2.	Statistische Analyse der sensorischen Daten	27
	3.5.3.	Korrelation zwischen den instrumentellen und sensorischen Methoden	27
4	. Erge	bnisse	28
	4.1.	Vorversuche	28
	42	Frmittelte Texturunterschiede mit der TPA-Methode	29

	4.3.	Ermittelte Texturunterschiede mit der Warner- Bratzler-Methode	45
	4.4.	Ermittelte Texturunterschiede mit den sensorischen Methoden	48
	4.5.	Vergleich der instrumentellen Methoden	53
	4.5.1.	Vergleich der Texturprofilanalyse mit der Warner-Bratzler-Methode	53
	4.6.	Korrelation zwischen den instrumentellen und den sensorischen Methoden	59
	4.6.1.	Vergleich der sensorischen Methoden und der TPA-Methode	59
	4.6.2.	Vergleich der sensorischen Methoden und der Warner-Bratzler-Methode	62
5	. Disl	kussion	64
	5.1.	Ermittelte Texturunterschiede mit der TPA-Methode	64
	5.2.	Ermittelte Texturunterschiede mit der Warner-Bratzler-Methode	65
	5.3.	Ermittelte Texturunterschiede mit den sensorischen Methoden	66
	5.4.	Vergleich der instrumentellen Methoden	67
	5.5.	Vergleich der instrumentellen und sensorischen Methoden	69
6	. Zus	ammenfassung	72
7	. Lite	raturverzeichnis	74
8	. Ver	zeichnis der Abbildungen und Tabellen	78
	8.1.	Abbildungen	78
	8.2.	Tabellen	80
9	. For	melverzeichnis	81
1	0. V	erzeichnis der Anlagen	82
1	1. A	nhang	84

## Verzeichnis der verwendeten Formelzeichen, Symbole und Abkürzungen

## Abkürzungen

ANOVA	Analysis Of Variance
BMEL	Bundesministerium für Ernährung und
	Landwirtschaft
DIN	Deutsche Institut für Normung
HSD	Honestly Significant Difference
ISO	Internationale Organisation für Normung
MFA	Multiple Factor Analysis
MHD	Mindesthaltbarkeitsdatum
N	Newton
Pa	Pascal
TPA	Texture Profile Analysis
UFP	Ultra Flash Profiling
WB	Warner-Bratzler

## 1. Einleitung

Die Gurke (lat. Cucumissativa L.) gehört zu der Familie der Kürbisgewächse (lat. Cucurbitaceae) und ist mit dem Kürbis und der Melone verwandt. Der Pro-Kopf-Konsum von Gurken beträgt in Deutschland etwa 6,5 kg im Jahr (BMEL, 2015/16) – davon sind rund 1,3 kg Einlegegurken.

Neben Geruch, Farbe und Aussehen stellt die Textur ein wesentliches Qualitätskriterium bei der Auswahl von Lebensmitteln dar. Die Konsumentenbeurteilung der Qualität von Essiggurken basiert nicht nur auf dem typischen süß-sauren Geschmack, sondern insbesondere auf der bissfesten und knackigen Textur (Mang, 2012). Als Textur ist "die strukturell-stoffliche Beschaffenheit der Lebensmittel, die haptisch, rheologisch, optisch und akustisch erfasst werden kann" aufzufassen (DLG, 2017). Häufig kommt es vor, dass in der Industrie sensorische Untersuchungen zur Beschreibung der Textur durchgeführt werden. Darüber hinaus erfolgt eine umfangreiche subjektive Beurteilung der Textur durch sensorische Prüfungen, die kosten-und zeitintensiv sind.

Auf der anderen Seite werden zur Messung der Textur verschiedene instrumentelle Methoden mithilfe des "Texture Analyser" herangezogen. Abhängig vom Zweck und vom Produkt werden Methoden wie Warner-Bratzler, Kramer-Scherzelle und die TPA-Methode eingesetzt. Zur Charakterisierung der Eigenschaften "Festigkeit" und "Knackigkeit" ist vor allem die Warner-Bratzler-Zelle-Methode geeignet. Des Weiteren wird im Rahmen der TPA-Methode eine Probe zyklisch zweimal durch eine Kompression belastet und dabei der Kauprozess simuliert. Registriert werden Kräfte, Wegdifferenzen und Flächenverhältnisse, um die Parameter Festigkeit, Kohäsion, Elastizität, Gummiartigkeit, Spannkraft, Adhäsion und Kaufähigkeit zu berechnen. "Die mit der TPA ermittelten Parameter "Härte" und "Kohäsion" korrelieren recht gut mit "shear stress" und "shearstrain" beim Zusammenbruch der Struktur". (Hamann, 1988 in Schubring, 1999). Aus diesem Grund ist es interessant, die Intensität der Kompression bis zur Erreichung einer irreversiblen Zerstörung der Struktur der Probe und deren Einfluss auf die vorgegebenen TPA Parameter sowie auf die mögliche Korrelation zu den sensorisch bestimmten Parametern zu betrachten.

Ziel dieser Arbeit ist es, geringfügige Texturunterschiede von Essiggurken festzustellen. Zu diesem Zweck werden die zwei instrumentelle Methoden Warner-Bratzler-Zelle und TPA miteinander verglichen. Anschließend wird eine mögliche Korrelation mit den sensorischen Methoden Sorted Napping und Ultra Flash Profiling überprüft. Abschließend wird aufgezeigt,

ob signifikante Texturunterschiede innerhalb der Anbausorten sowie Anbauorten von den untersuchten Chargen bestehen.

## 2. Stand der Wissenschaft und Technik

#### 2.1. Gurken

Die Einlegegurke (*Cucumissativus L*) gehört zu der Familie der Cucurbitaceen. Bereits vor 3000 Jahren wurde die Gurke in Ägypten und Indien kultiviert. In der Antike wurde die Gurke im Mittelmeerraum von den Griechen, später auch von den Römern angebaut (Mang, 2012). Diese Pflanzenfamilie hat einen subtropischen und tropischen Ursprung und ist demnach wärme- und feuchtigkeitsliebend (Magnussen, 2001). Diese Kulturpflanze hat sich weltweit verbreitet und ist heutzutage jedoch auf allen Kontinenten zu finden. Des Weiteren gibt es eine große Zahl an verschiedensten Gurkensorten wie zum Beispiel Essiggurke, Salatgurke, Schälgurke, Schlangengurke oder Senfgurke. In dieser Studie werden Essiggurken in Betrachtung gezogen. Die Erntesaison erstreckt sich von etwa Anfang Juni bis Ende September. Ferner werden die geernteten Gurken in der Regel in einer Sortieranlage in vier verschiedene Sortierungsgrößen sortiert: 3-6 cm, 9-12 cm, und >12 cm und anschließend zu Sauerkonserven verarbeitet (Magnussen, 2001). Im Übrigen weist die Gurke eine Energiedichte von 8 bis 12 kcal/ 100 g sowie ein durchschnittliches Wassergehalt von etwa 96,5 % auf, während sie 0,6 % Eiweiß, 0,2 % Fett und 1,8 % Kohlenhydrate enthält (Mang, 2012).

## 2.1.1. Morphologie

Das Gurkenfruchtgewebe ist nicht einheitlich aufgebaut, sondern besteht aus drei unterschiedlichen Gewebebereichen.

Fruchtschale (Exocarp)

Kernhaus (Endocarp)

Fruchtfleisch (Mesocarp)

Abbildung 1: Fruchtgewebe einer Gurkenscheibe

Von außen nach innen kann die Frucht in drei Zonen unterteilt werden: Fruchtschale (Exocarp), Fruchtfleisch (Mesocarp) und Kernhaus (Endocarp). Dabei ist die Schale (Exocarp) meist fest. Sie kann jedoch ebenfalls, je nach Sorte, zäh und ledrig sein. Im Gegensatz dazu besitzt das Kernhaus (Endocarp) eine weiche Zellstruktur. Zwischen diesen beiden Bereichen liegt das Fruchtfleisch (Mesocarp), welches eine durchschnittliche Festigkeit besitzt. Die im Glas pasteurisierten Gurken weisen unterschiedliche Textureigenschaften auf, indem ihre Festigkeit vom oberen zum unteren Bereich des Glases zunimmt (Reichardt, 2012).

Auf einer Seite haben die Länge und Dicke der Gurkenfrucht gleichfalls einen Einfluss auf die gesamte Textur der Frucht. Zudem nimmt mit der Länge und Dicke einer Gurkenfrucht ihre Festigkeit und Knackigkeit ab (Reichardt, 2012). Auf der anderen Seite und über die Gesamtlänge der Gurke nimmt die Texturstabilität vom stielendenden zum blütenendenden Teil hin ab (Reichardt, 2012). Dies beruht insbesondere auf der Zunahme der relativen Kernhausfläche, welches sich als weichere Textur äußert (Mang, 2012). Am Stiel- ist die Fruchtschale meist dicker als am Blütenende (Zhang, 1994). Diese Festigkeitsunterschiede innerhalb der Frucht sollen bei der Texturmessung betrachtet werden. Dementsprechend ist es erheblich, dass die zu untersuchende Probe stets aus demselben Gurkensegment stammt, um reproduzierbare Ergebnisse zu erzielen.

## 2.1.2. Essiggurkenherstellung

Durch den Einsatz eines Gurkenfliegers werden die Gurken von Erntehelfern pfleglich geerntet. Darauffolgend werden die geernteten Gurken verlesen und dabei die Blätter entfernt. Über Förder- und Rüttelbänder erfolgt ferner die Sortierung der Früchte nach Durchmesser. Anschließend werden die gesammelten Gurkenfrüchte mittels einer Trommelwaschmaschine dreimal gewaschen, sandfrei gebürstet und noch mal abgebraust. Die gewaschenen Früchte werden daraufhin nochmals per Hand verlesen. Nun dürfen sie in Gläser zusammen mit Gewürzen sowie dem Aufguss abgefüllt werden. Einmal im Glas abgefüllt, werden die Gurken von den Mitarbeitern nachgestopft. Die Gläser werden verschlossen und anschließend in einem Tunnelpasteur pasteurisiert, bevor zuletzt die Etikettierung der Endprodukte erfolgt. Die Abbildung 2 gibt den Herstellungsprozess wieder.

.

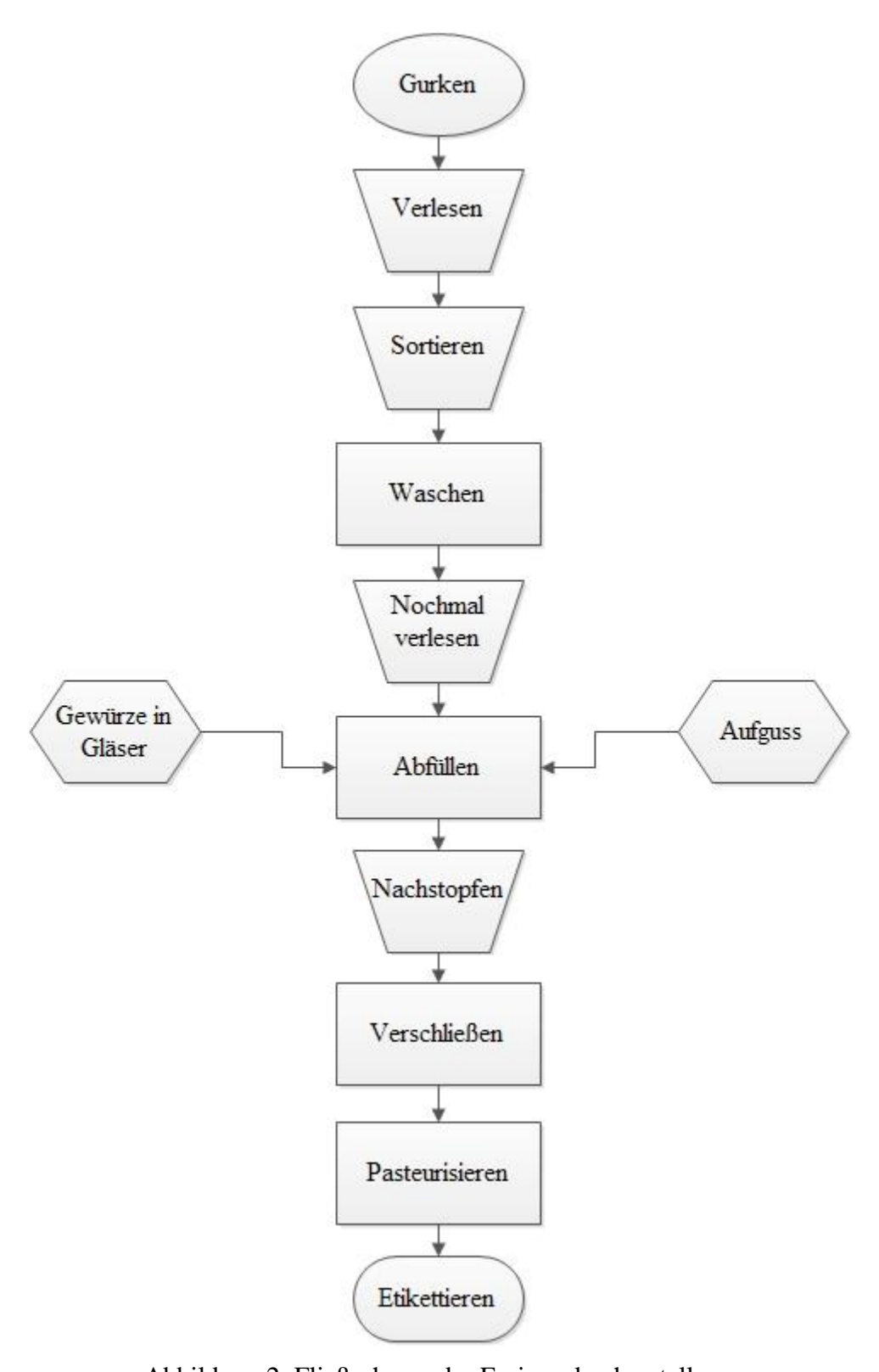


Abbildung 2: Fließschema der Essiggurkenherstellung

## 2.2. Textur

Das Wort "Textur" wurde aus dem lateinischen Wort "textura" abgeleitet, welches dem Wort "Gewebe" entspricht. Laut der Internationalen Organisation für Normung (ISO) wird die Textur wie folgt definiert: "Die Textur ist die Gesamtheit aller rheologischen und strukturellen Eigenschaften eines Lebensmittels, welche durch mechanische, taktile, visuelle und auditive Rezeptoren wahrnehmbar sind (ISO 5492, 2008). Bei der Lebensmitteltextur geht es offensichtlich zum einen um die Wahrnehmung der Lebensmittelstoffe, die in der Struktur des Originalproduktes vorhanden sind und zum anderen um das Produktverhältnis, wenn es verarbeitet und verzehrt wird (Rosenthal, 1999). Seit Jahren gilt der gesamte Prozess zur Lebensmittelwahrnehmung als eines der interessanten Themen. Dar et al., 2014 stellten ein Schema für den gesamten Prozess zum Wahrnehmen des Lebensmittels dar. Diesbezüglich beginnt die Wahrnehmung erst mit einem visuellen Kontakt mit dem Lebensmittel. Dem schließt sich der Tastsinn an, mithilfe dessen die Eigenschaften der Fläche, wie z.B. die Klebrigkeit oder Rauigkeit sowie die Masseneigenschaft, nämlich die Härte oder Weichheit, empfunden werden. Daraufhin folgt im Zusammenhang mit dem Lebensmittelverbrauchder erste Schluck, Biss oder die Kompression. Dieser Schritt ist bedeutend, da er mit dem Hör- und Tastsinn verbunden ist. Im Anschluss daran wird die Texturwahrnehmung anhand von Attributen vom Kau- über Schluckvorgang bis zur Verdauung des Lebensmittels beschrieben.

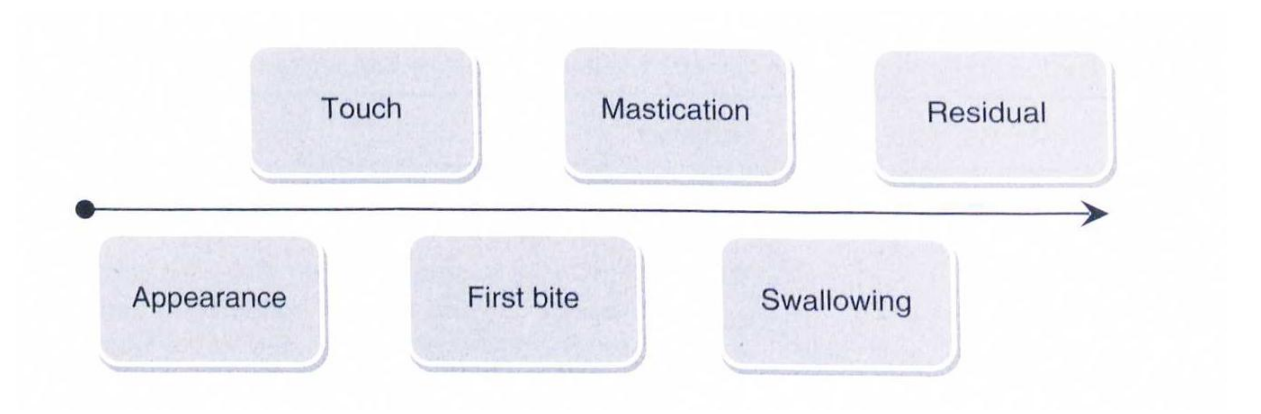


Abbildung 3: Esserfahrung: Die Wahrnehmung von Lebensmitteln (Dar, 2014)

## 2.2.1. Methoden der Texturermittlung

## 2.2.1.1. Texturprofilanalyse

Die instrumentelle Texturprofilanalyse hat als Methode zum Ziel, einen besseren und umfassenderen Überblick der Textureigenschaften von Lebensmitteln zu erreichen, wobei der wesentliche Beitrag dieser Methode darin besteht, dass die Textur als eine zusammengesetzte charakterisierte Eigenschaft und nicht als einzelnes Attribut von Lebensmittel aufzufassen ist (Schubring, 1999). Der größte Vorteil dieser Methode ist es, dass der Kauprozess simuliert wird, sodass die TPA-Methode zu den "imitatives tests" zählt (Szczesniak, 1963). Diese empirische imitierte Methode wurde Mitte der 60er Jahre von General Foods erfunden, um objektive Messungen von Texturparametern zu liefern (Rosenthal, 1999). Ein trainiertes Panel von neun Prüfpersonen wurde gebeten, die Härte von neun Produkten anhand von Attributen zuzuordnen. Dabei hatten sie für jedes Attribut ein Referenzprodukt zur Beurteilung der Textur zur Verfügung. Die dafür verwandte Skala begann mit einer sensorischen Bewertung von einem Punkt für Käsecreme bis zu neun Punkten für Zuckerstangen. Dazu wurde ein Texturometer von General Foods mit einem flachen Messstempel eingesetzt, um die mechanischen Kräfte, die auf die Probe ausgeübt werden, abzumessen (Rosenthal, 1999). Das Funktionsprinzip der TPA ist in der Abbildung 4 dargestellt. Ferner umfasst die TPA-Methode eine zweifache Kompression der Untersuchungsprobe, wobei der dazu verwendete Stempel im Vergleich zur Probenfläche einen deutlich größeren Durchmesser besitzt, um zusätzliche Scherkräfte, die neben der Kompression auftreten können, auszuschließen (Schubring, 1999). In späterer Zeit kam die TPA-Methode bei verschiedenen Lebensmittelprodukten vermehrt zum Einsatz. Es wurde festgestellt, dass die Interpretation der von der TPA-Methode gelieferten Kraft-Zeit-Kurven zur Beurteilung der Textur sich als besonders wertvoll erwies und auch in der Zukunft – insbesondere unter Berücksichtigung des Umstands, dass die instrumentellen Parameter mit den sensorischen Bewertungen korrelieren – erhalten bleiben wird (Breene, 1975).

Parameter	Sensorial Definition	Instrumental Definition	
Hardness	Force required to compress a food between the molars.	Hardness	
Elasticity	The extent to which a compressed food returns to its original size when the load is removed.	Cycle = Second contact - First contact Elasticty = Cycle for inelastic material - Cycle for food	
Adhesiveness	The work required to pull the food away from a surface.		
Cohesiveness	The strength of the internal bonds making up the food.	COHESIVENESS = B/A	
Brittleness	The force at which the material fractures. Brittle foods are never adhesive.	Mw <sub>a</sub> Brittleness	
Chewiness	The energy required to chew a solid food until it is ready for swallowing.	= Hardness × Cohesiveness × Elasticity	
lumminess	The energy required to disintegrate a semisolid food so that it is ready for swallowing.	= Hardness × Cohesiveness	

Abbildung 4: Gemessene Parameter von der Texturprofilanalyse (Rosenthal 1999)

Parameter	Definition
Härte (eng. Hardness)	Kraft zur Erreichung einer vorgegebenen
	Deformation.
Kohäsion (eng. Cohesiveness)	Grad der Deformierbarkeit des Materials vor dem Zerbrechen.
Elastizität (eng. Elasticity)	Geschwindigkeit der Rückkehr in den undeformierten Zustand nach Entfernung der Deformationskraft.
Adhäsion (eng. Adhesiveness)	Erforderliche Arbeit zur Überwindung der Anziehungskraft zwischen dem Lebensmittel und dem mit ihm in Kontakt gekommenen Material.
Kaubarkeit (eng. Chewiness)	Energie zum Zerkauen des Lebensmittels in einen zum Abschlucken geeigneten Zustand.
Gummiartigkeit (eng. Gumminess)	Energie zur Überführung des Lebensmittels in einen zum Abschlucken geeigneten Zustand.

Abbildung 5: Definition der untersuchten Texturparameter (Schubring, 1999)

#### 2.2.1.2. Sensorische Methoden

Zur Texturbestimmung von Obst und Gemüse wurden in den letzten Jahrzehnten zahlreiche Verfahren entwickelt, welche angeblich sehr unterschiedlich sind und sich in zwei Hauptgruppen unterteilen lassen: sensorische Prüftechniken und mechanische Prüftechniken. Für Essiggurken werden häufig die sensorischen Prüfverfahren in Europa eingesetzt. Der große Vorteil des Einsatzes solcher Prüfverfahren besteht darin, dass die Prüfung sehr realitätsnah ist (Reichardt, 2012). Eigentlich gilt die sensorische Texturanalyse als eine lange Tradition, die Anfang der 60er Jahre von Szczesniack initiiert wurde (Busch-Stockfisch, 2015). Um genaue und präzise Ergebnisse zu erlangen, werden bei den sensorischen Prüfungen eine richtige Auswahl der Prüfbedingungen sowie eine intensive Schulung der Prüfpersonen verlangt. Busch-Stockfisch (2015) erwähnte, dass vor allem zahlreiche Tastpunkte an Lippen, Zunge, Gaumen, Zahnfleisch, Perdiontium, Wagen und Fingerspitzen sich befinden. Aus diesem Motiv wird während der Prüferschulung auf diese Bereiche konzentriert. Bei den Schulungsprogrammen werden genaue Probenvorbereitungen sowie Verkostungstechniken angewandt und durchgeführt. Die Basisschulung basiert sich auf der

Zuordnung der Lebensmittel Attribute zur Beschreibung der Textur, während die Diskriminierungsprüfungen zur Erkennung der Unterschiede dienen (Busch-Stockfisch, 2015). Allerdings ist der Einsatz solcher Methoden sehr arbeits- und kostenintensiv, sodass dies als Nachteil betrachtet wird. Als Beispiel ist die sensorische "Texture Profile Methode" (TPM) zu erwähnen. Im Rahmen der TPM wird ein Panel von 10 Prüfpersonen für 130 Stunden innerhalb von 6-7 Monaten trainiert (Lawless & Heymann, 1998). Im Zuge dessen werden verschiedene Referenzprodukte zur Ermittlung der Textur verwandt. Ein weiterer Nachteil dieser Methode ist es, dass diese Referenzprodukte nicht immer zur Verfügung stehen könnten (Murray et al, 2001). Darüber hinaus wurde nach Ersatzmethoden, die gleichfalls ohne großen Zeit-und Kostenaufwand eine Ermittlung der Textureigenschaften ermöglichen, gesucht.

#### 2.2.1.3. Weitere Methode

Zu weiteren mechanischen Messungen der Textur wird das Penetrometer bzw. der Texture Analyser mit unterschiedlichen Messvorrichtungen, wie der Warner-Bratzler-Zelle, Kramer-Scherzelle, Ottawa MS-Scherzelle sowie vielen weiteren, ausgerüstet. Häufig werden instrumentelle und akustische Methoden zusammengekoppelt. Durch die Kombination zwischen den Leistungen eines Texture Analyser und eines speziellen Mikrofones können gleichzeitig die aufgewendete Kraft zum Zerbrechen der Probe und die dabei entstehenden Geräusche aufgezeichnet werden. Im Falle des Penetrometers wird ein Druckstempel senkrecht in die zu untersuchende Probe durch Kraftanwendung oder eigenes Gewicht eingedrückt. Dabei wird die notwendige Kraft, bei welcher der Druckstempel in die Probe bis zu einer vorgegebenen Tiefe eindrückt, gemessen. Dank dieser Untersuchungsmethode wird die Eindringtiefe des Druckstempels bei konstanter Kraft berechnet (Heiss; Witzel, 1968). Insoweit gilt die Penetrometermessung als eine einfache und objektive Messmethode der Textur von Lebensmitteln. Vor allem interessierten sich Wissenschaftler für Vergleiche zwischen der TPA-Methode und anderen instrumentellen Methoden. Beispielsweise studierten De Huidobro et al. (2005) den Zusammenhang zwischen der TPA-Methode und der Warner-Bratzler-Schermethode bezüglich Fleisch und Fleischerzeugnissen. Diese zeigten befriedigende Korrelationen. Weiterhin kam die Texturprofilanalyse bei der Texturmessung von verschiedenen Obstsorten und Gemüsen zum Einsatz. Die Testeinstellungen wie z.B. Kompression, Rück-, Vor- und Testgeschwindigkeiten sind unterschiedlich und hängen von dem verwandten Material (Probengröße, Texturometer etc.) ab. Des Weiteren ist die Kompressionsintensität zumeist entscheidend und hat einen erheblichen Einfluss auf die Ergebnisse (Schubring, 1999). In diversen Studien wurden unterschiedliche Kompressionen auf ähnliche Lebensmittelprodukte ausgeübt, wie z.B. bei Bananen in Höhe von 30% (Granados et al, 2014), bei Datteln in Höhe von 15% (Alhamdan et al, 2014) sowie bei eingelegten Karotten ebenfalls in Höhe von 15% (Llorca et al, 2001). Bei Essiggurken wurde nach Breene et al., 1975 eine Kompression in Höhe von 25% verwendet. Dies wird in dieser Arbeit berücksichtigt.

## 3. Material und Methoden

#### 3.1. Rohmaterialien

In der vorliegenden Arbeit wurden Essiggurken von der Firma Spreewaldhof untersucht, welche zu Spreewälder Gurken (geschützte geographische Angabe für eingelegte Gurken aus Brandenburg) zählen.

Es wurden vier unterschiedliche Chargen, welche in Gläser verpackt waren, ausgewählt. Hierbei handelte es sich um zwei verschiedene Sorten, die jeweils von zwei Anbauern aus unterschiedlichen Regionen des Spreewalds stammten.

Tabelle 1: Ausgewählte Chargen und deren Abkürzungen

Anbauer	Anbaugebiet	Anbausorte	Abkürzung	Charge	MHD
F	D	P	FP	FDP _25.06	27.06.2020
F	D	L	FL	FDL_26.06	28.06.2020
K	K	P	KP	KKP_27.06	29.06.2020
K	K	L	KL	KKL_28.06	01.07.2020

## 3.2. Probenvorbereitung

Für die Versuche wurden jeweils sieben Gurken aus dem mittleren Bereich der Gläser entnommen. Wie im Kapitel 2.1.1. erwähnt, wurden die Früchte, welche sich im oberen Bereich der Gläser befanden, infolge des Pasteurisationseinflusses entfernt. Die zu verwendenden Gurkenfrüchte hatten eine Länge von 7 bis 8 cm sowie eine Dicke von 1,5 bis 2,5 cm. Mittels eines Doppelklingenmessers wurde aus jedem Bereich eine 1 cm dicke Scheibe herausgeschnitten. Dies gilt sowohl für die instrumentellen, als auch für die sensorischen Prüfungen. In der Abbildung 5 sind die drei Segmente einer Gurke dargestellt.

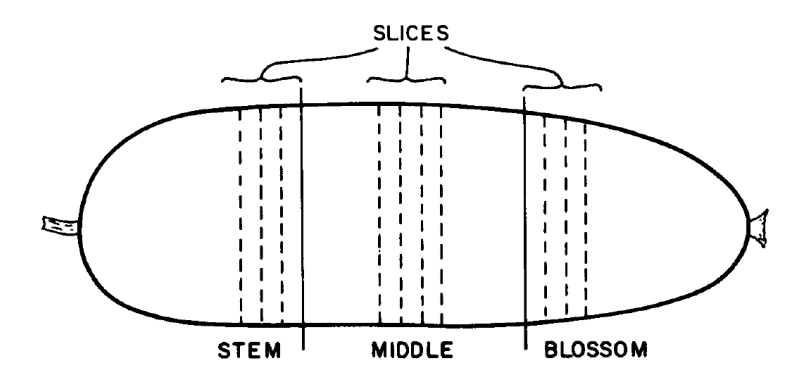


Abbildung 6: Abschnitte und Scheiben von Gurken (Thompson, 1982)

## 3.3. Instrumentelle Methoden

Die instrumentelle Texturmessung der Essiggurken wurde mithilfe des Texture Analyser TA.XT2i der Firma Stable Micro Systems durchgeführt. Für beide instrumentelle Methoden wurde eine Kraftmesszelle von 50 kg benutzt. Vor der Messung sollten das Gerät nach Herstellerangaben kalibriert und ggf. die Kraft justiert werden. Im Weiteren wurden die registrierten Daten mit der Computersoftware Exponent aufgezeichnet und ausgewertet.

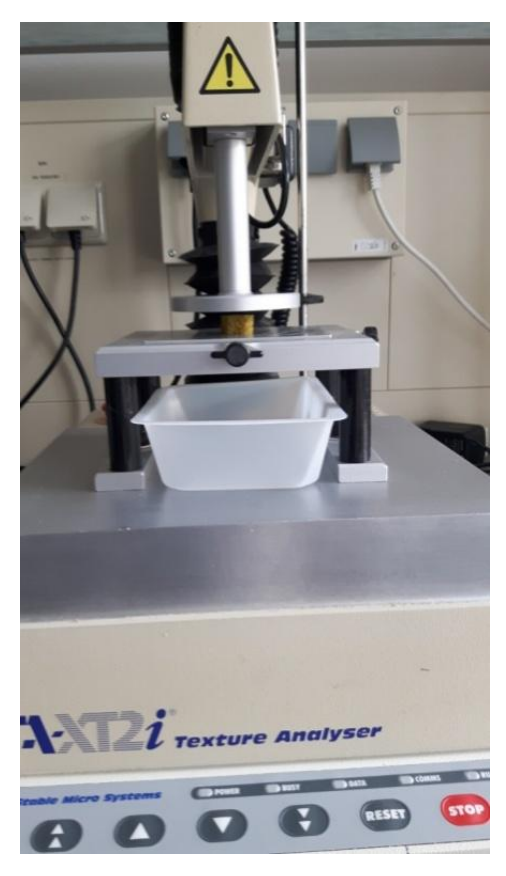


Abbildung 7: Versuchsaufbau für die TPA-Methode



Abbildung 8: Versuchsaufbau für die Warner-Bratzler-Methode

## 3.3.1. Texturprofilanalyse

Dieser Test dient dazu, Kompressionskräfte (in Newton) während der Kompression der Probe durch einen zylindrischen Prüfkörper abzumessen. Der Kompressionsvorgang besteht aus 2 Zyklen. Im ersten Schritt fährt der Messstempel mit einer konstant eingestellten Geschwindigkeit von 0.8mm/s auf die Probe herunter. Nach einem Kontakt mit der Probenfläche wird die Kompression ihre maximale eingestellte Intensität erreichen. Im Anschluss daran fährt der Messarm wieder auf die ursprüngliche Probenhöhe zurück und verbleibt 5s lang in dieser Position. Nach dieser Wartezeit wird die zweite Kompression mit der gleichen Intensität auf die Probe ausgeübt. Abschließend fährt der Messarm mit einer Rücktestgeschwindigkeit von 5mm/s in die Ausgangsposition zurück. Die vom Texture Analyser ermittelten Werte werden in einer Zeit-Kraft-Kurve aufgezeichnet (siehe Abbildung 9). Bei den Versuchen wurden insgesamt sieben Messwiederholungen durchgeführt. Vor der Messung wird der Durchmesser von der zu untersuchenden Probe eingegeben. Die ermittelten TPA Parameter werden dann mit Berücksichtigung des Durchmessers berechnet.

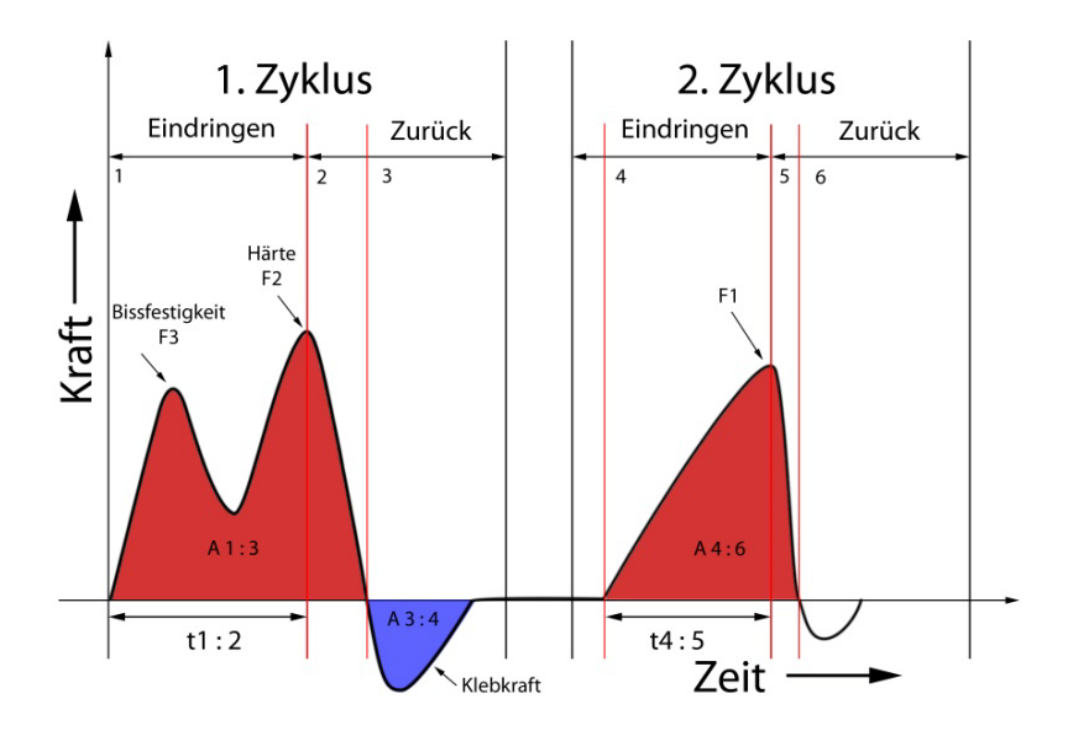


Abbildung 9: Typische TPA Kraft-Zeit-Kurve (Winopal, 2005)

Tabelle 2: Ermittelte Parameter mit der TPA Methode

Parameter	Berechnung	Dimension
Bissfestigkeit: (Fracturability)	Erster Kraftpeak im ersten Zyklus	[N] oder [g]
Festigkeit / Härte: (Hardness)	Maximale Kraft im ersten Zyklus	[N] oder [g]
Kohäsion: (Cohesiviness)	Fläche 5 / Fläche 1	ohne
Balligkeit / Spannkraft: (Resilience)	Fläche 3 / Fläche 2	ohne
Klebrigkeit: (Adhesiveness)	Fläche 4	[N/s]
Elastizität: (Springiness)	Zeit 2 / Zeit 1	ohne
Gummiartigkeit: (Gumminess)	Festigkeit x Kohäsion	ohne
Kaubarkeit: (Chewiness)	Gummiartigkeit x Elastizität	ohne

Tabelle 3: Einstellungen des Texture Analyser für die TPA Methode

Test Art	Kompression
Prüfkörper	COMPRESSION PLATEN
Größe des Prüfkörpers	P/75; 75mm
Messpunkte pro Sekunde	200
Vor-Geschwindigkeit	1,0 mm/sec
Test-Geschwindigkeit	0,8 mm/sec
Rück-Geschwindigkeit	5,00 mm/sec
Ziel Parameter	Weg
Weg	2,5 mm (für die Kompression von 25%)
	oder 6,00 mm (für die Kompression von
	60%)
Auslösewert	Auto (Kraft)
Auslösekraft	5 g

## 3.3.2. Warner-Bratzler-Methode

Die Warner-Bratzler Methode dient dem Zweck, die Schneidekräfte (in Newton) in Bezug auf den Durchmesser abzumessen. In dieser Methode wurde die Warner Bratzler Rectangular notch Blade (HDP/WBR) als Prüfkörper benutzt. Dieser Prüfkörper ist mit einer "Guillotine-Form" zu vergleichen und wird zur Simulierung des Zahnschneidevorgangs herangezogen. Der Messstempel bewegt sich vertikal mit einer konstanten Geschwindigkeit von 1mm/s und schneidet die Probe durch (siehe Tabelle 3 für die Einstellungen). Der maximale Peak wird in der Zeit-Kraft-Kurve aufgezeichnet (siehe Abbildung 10). Zudem wurden zur Messung sieben Wiederholungen unternommen, wobei vor der Messung vom System nach dem Durchmesser der Untersuchungsprobe gefragt wird. Ferner werden die ermittelten Parameter mit Rücksicht auf den Durchmesser berechnet.

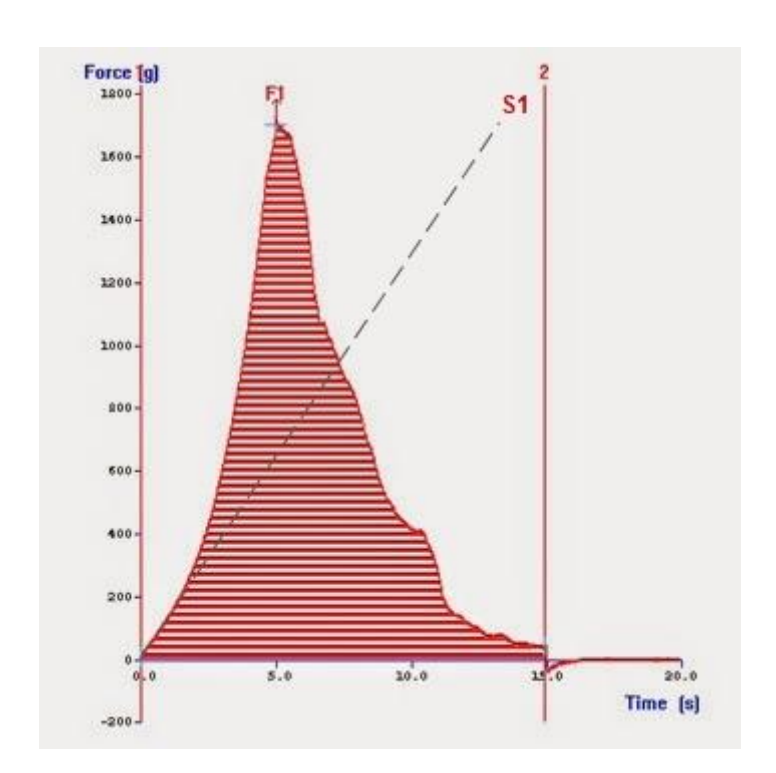


Abbildung 10: Typische WB Kraft-Zeit-Kurve (Stable Micro Systems, 2014)

Tabelle 4: Ermittelte Parameter mit der WB-Methode

Parameter	Dimension
Maximalkraft (F1)	[N] oder [g]
Steigung (S1)	[N/m]

Tabelle 5: Einstellungen des Texture Analyser für die WB Methode

Test Art	Druck
Prüfkörper	HDP/WBR (Warner Bratzler Rectangular
	notch Blade)
Größe des Prüfkörpers (HxBxT)	12 cm x 8 cm x 0,3 cm
Messpunkte pro Sekunde	250
Vor-Geschwindigkeit	2,0 mm/sec
Test-Geschwindigkeit	1 mm/sec
Rück-Geschwindigkeit	10,00 mm/sec
Ziel Parameter	Weg
Weg	12 mm
Auslösewert	Auto (Kraft)
Auslösekraft	20 g
Envelope Corner Frequency	3,125 kHz

## 3.4. Sensorische Methoden

#### 3.4.1. Auswahl des Panels

Da in dieser Arbeit spezifische Texturmerkmale von Essiggurken bewertet werden sollten, musste eine gewisse sensorische Ausbildung der Teilnehmer vorausgesetzt werden. Die Prüfpersonen sollten allerdings an verschiedenen sensorischen Prüfungen teilgenommen haben und über bestimmte sensorische Kenntnisse verfügen. Dementsprechend wäre es am besten, ein Panel von Studenten der Hochschule Neubrandenburg aus dem Bachelor- (ab dem 3. Semester) oder Masterstudiengang der Lebensmitteltechnologie zu fragen. Im Durchschnitt wird das Panel für die Schnellmethoden wie Sorted Napping aus 9 bis 15 Teilnehmern bestehen (DLG, 2016).

## 3.4.2. Sorted Napping mit Ultra Flash Profiling

Sorted Napping zählt zu den schnellen sensorischen Profilprüfungen. Diese Methode hilft dabei die Proben nach Gemeinsamkeiten einzuordnen. Häufig wird diese Prüftechnik wird mit dem Ultra Flash Profiling kombiniert, um mehr Beschreibung für die zu untersuchenden Produkte, zu liefern. Anschließend werden die Produkte anhand von Attributen beschrieben und möglichst in kleinen Gruppen verteilt. Bei der Durchführung wurden die Panellisten gebeten, die Gurkenproben nach Ähnlichkeit in Bezug auf ihre Textur zuzuordnen. Diesen wurde ein A3-Blatt vorgelegt, auf welchem zwei Achsen zur Orientierung vorgegeben

wurden. Während die "X-Achse" die Kohäsion definierte, adressierte die "Y-Achse" die Härte. Die Proben wurden alle gleichmäßig, in gleicher Weise wie bei den instrumentellen Methoden, in 1 cm dicke Scheiben geschnitten, um zu vermeiden, dass sie anhand ihres Äußeren erkannt werden konnten. Dazu wurden der Stiel sowie die Blüte entfernt. Ferner wurde vor Beginn der sensorischen Prüfungen eine Einweisung zur Methode in Form einer Sitzung durchgeführt. Dabei wurde den Prüfpersonen die Prüftechnik erläutert sowie die Schnittstelle gezeigt. Im ersten Schritt sollten die Panellisten die Gurkenscheiben flach zwischen den Schneidezähnen halten und reinbeißen. Dabei sollte darauf Acht gegeben werden, dass die Probe nicht zerbricht, um die Kohäsion einzuschätzen. Im zweiten Schritt sollte dieselbe Probe nach hinten in die Backenzähne geschoben und durchgebissen werden. Dabei sollten die Panellisten die gesamte Härte der Probe beurteilen. Nach der Platzierung der Proben mit Hilfe der Orientierung an den vorgegebenen Achsen wurden die Prüfpersonen darum gebeten, entsprechende Attribute zur Beschreibung der Textur, namentlich die Härte und Kohäsion, zu erwähnen.

#### 3.5. Statistische Verfahren

## 3.5.1. Statistische Analyse der instrumentellen Daten

Die ermittelten Daten aus dem Texture Analyser wurden mittels der Computersoftware Exponent bearbeitet. Dabei wurden Mittelwerte, Standardabweichungen und Variationskoeffizienten berechnet. Für die Berechnung des Mittelwertes wurde folgende Formel verwendet:

$$\bar{\mathbf{x}} = \frac{1}{n} \cdot \sum_{i=1}^{n} \mathbf{x}_{i}$$

Formel 1: Mittelwert  $\bar{x}$ 

Für die Berechnung der Standardabweichung wurde folgende Formel herangezogen:

$$\sigma = \sqrt{\frac{_1}{_{n-1}}} \cdot \textstyle \sum_{i=1}^n (x_i - \bar{x})^2$$

Formel 2: Standardabweichung  $\sigma$ 

Zur Berechnung des Variationskoeffizienten diente zudem folgende Formel:

$$V_x = \frac{s}{\bar{x}} \cdot 100\%$$

Formel 3: Variationskoeffizient  $V_x$ 

Zur Ermittlung der signifikanten Unterschiede zwischen den Ergebnissen der einzelnen Versuche wurde eine 2-faktorielle ANOVA-Varianzanalyse mittels Microsoft Excel Version 2007 durchgeführt. Dank der Varianzanalyse (ANOVA = Analysis Of Variance) soll überprüft werden, inwieweit statistisch signifikante Unterschiede zwischen den durchschnittlichen Wirkungen der Faktoren auf eine abhängige Variable vorhanden sind. Mithin handelt es sich um einen Mittelwerttest für mehrere Stichproben. Die angewandte 2-faktorielle ANOVA wurde unter Berücksichtigung der Wiederholungen bei einer Wahrscheinlichkeit von 5% durchgeführt.

Falls eine Varianzanalyse (ANOVA) signifikante Unterschiede ergibt, zeigt dies an, dass sich mindestens eine Gruppe der untersuchten Stichproben von den anderen unterscheidet. Doch durch die Varianzanalyse werden die signifikanten Unterschiede nicht genau ermittelt. Um genauer zu determinieren, in welchen Gruppen diese Unterschiede vorkommen, werden oft spezifische Tests zum Paarweisevergleich der Mittelwerte eingesetzt. Eine einfache Paarweisevergleich-Methode wurde von Tukey unter dem Namen "Honestly Significant Difference (HSD) test" entwickelt (Abdi; Williams, 2010). Die Durchführung des Tukey-HSD-Tests erfordert die Ermittlung des Grenzvariationsbreitenwerts (GV) bei verschiedenen Wahrscheinlichkeiten (Köhler, 2012) (siehe Anlage 1). Um möglichst eine große Zahl an kleinen Texturunterschiede zu ermitteln wurde in dieser Arbeit der GV-Wert jeweils mit  $\alpha$ =0,1;  $\alpha$ =0,05;  $\alpha$ =0,01 und  $\alpha$ =0,001 berechnet.

## 3.5.2. Statistische Analyse der sensorischen Daten

Die ermittelten sensorischen Daten der Sorted Napping-Methode wurden mittels Senstools Software Version 1.2.2.1 ausgewertet. Dabei wurde die Multiple Factor Analysis (MFA)-Methode angewandt. In diesem Verfahren werden Produkte, die relativ ähnlich beurteilt werden und sich stark voneinander unterscheiden, untersucht. Die Multiple Factor Analysis (MFA) wurde von Escofier und Pagès Anfang der 90er erfunden. Insoweit handelt es sich um eine kanonische Analyse, die auf einer Weiterentwicklung der Hauptkomponentenanalyse (PCA) basiert. Diese Methode dient zur Berechnung der Konsenskonfiguration der X/Y-Koordinaten der Produkte. Die individuellen Konfigurationen werden so umgeformt, dass diese möglichst gut mit der Konsenskonfiguration übereinstimmen (Busch-Stockfisch, 2015).

#### 3.5.3. Korrelation zwischen den instrumentellen und sensorischen Methoden

Um die erhaltenen instrumentellen sowie die sensorischen Ergebnisse miteinander zu vergleichen, wurde eine Rangkorrelation nach Spearman durchgeführt. Hierbei wurde die Excel-Version 2007 genutzt. Zur Berechnung nach Spearman werden die Daten nach Rängen geordnet. Der Korrelationskoeffizient wird gemäß folgender Formel erlangt:

$$r_{ ext{Sp}} = 1 - rac{6 \cdot \sum_{i=1}^{n} d_i^2}{n \cdot (n^2 - 1)}$$

Formel 4: Spearman-Korrelationskoeffizient *r* 

In der Statistik misst der Korrelationskoeffizient "r" die Stärke und Richtung einer linearen Korrelation zwischen zwei Variablen auf einer Punktwolke. Dieser Wert liegt immer zwischen -1 und +1 (Rumsey, 2015).

## 4. Ergebnisse

#### 4.1. Vorversuche

Um die Kompressionsintensität und ihre Einflüsse auf die ermittelten Daten bzw. auf die sieben TPA-Parameter zu betrachten, wurde die Testeinstellungen, wie z.B. (Rück-, Vor-, Testgeschwindigkeit etc.), im Rahmen der Vorversuche unverändert gelassen (siehe Tabelle 3) und lediglich die Kompression stets erhöht. Während der Vorversuche wurde festgestellt, dass mit zunehmender Kompression die Probe belastet wird. Ferner wurde bei bestimmten Kompressionen eine hohe Belastung bzw. eine Zerstörung der Textur an der Probe beobachtet und bei dem System als ein Bruch aufgezeichnet. Hierfür wurde eine Versuchsreihe durchgeführt, in dessen Zuge verschiedene Kompressionen aufsteigend ausprobiert wurden. Es wurden überall 1 cm dicke Proben aus dem gleichen Segment (mittleres Segment) einer gleichen Gurkencharge vorbereitet und untersucht.

Tabelle 6: Vorversuche mit Erhöhung der Kompressionsintensität

Kompressionsintensität	Segment	Brüche/Wiederholungen	Kurve
30%	Mitte	0/3	Anlage 3
35%	Mitte	1/3	Anlage 4
40%	Mitte	3/5	Anlage 5
45%	Mitte	3/5	Anlage 6
50%	Mitte	5/5	Anlage 7

Eine vollständige Zerstörung der Probe bei allen Wiederholungen wurde allerdings ab einer Kompression von 50% beobachtet. Um zu garantieren, dass ein Bruch auf jeden Fall im System registriert wird, wurde eine Kompression von 60% ausgewählt. Dies wurde bei den Hauptversuchen berücksichtigt.

Auf der anderen Seite wird die Warner-Bratzler-Methode als eine Standardmethode zur Ermittlung der Schneidekräfte verwendet. Die Testeinstellungen wurden vom laufenden Forschungsprojekt für die Texturmessung der Gewürzgurken an der Hochschule Neubrandenburg übernommen. Zugleich wird der Einsatz der Texturprofilanalyse im Wege eines Vergleichs mit der WB-Methode untersucht.

## 4.2. Ermittelte Texturunterschiede mit der TPA-Methode

Um die vom Texture Analyser ermittelten Werte statistisch zu betrachten, wurde eine 2-faktorielle ANOVA bei einer Wahrscheinlichkeit von 5% unter Berücksichtigung der Wiederholungen angewandt. Zuerst wird bestimmt, ob es signifikante Unterschiede gibt. Insoweit wird ermittelt, ob die Prüfgröße F> Kritischer F-Wert oder P-Wert< 0,05 ist. Falls diese Voraussetzungen erfüllt sind, wird zur genaueren Betrachtung der signifikanten Unterschiede ein Tukey-HSD-Test mit α=0,1; α=0,05; α=0,01 und α=0,001 durchgeführt. Die Tabelle 7 führt die Kodierung für die berücksichtigten Signifikanzniveaus auf. Um die erhaltenen Werte der einzelnen Parameter der instrumentellen Methoden innerhalb der untersuchten Gurkenchargen und deren Segmente graphisch darzustellen, werden Mittelwerte mit (n=7, n= Anzahl der Wiederholungen) in Form von Fehlerbalkendiagrammen mit der Standardabweichung eingezeichnet. Sämtliche Werte für die einzelnen Parameter der jeweiligen verwandten Methoden wurden in Bezug auf den Durchmesser der einzelnen entsprechenden Untersuchungsproben berechnet und ausgewertet.

Tabelle 7: Tabelle für die Signifikanzniveaus

Symbol/Kodierung	Bedeutung
X	Kein Wert
-	Unterschied nicht signifikant
*	Unterschied signifikant bei $\alpha$ = 0,1
**	Unterschied signifikant bei $\alpha$ = 0,05
***	Unterschied signifikant bei $\alpha$ = 0,01
****	Unterschied signifikant bei α= 0,001

## Härte:

Tabelle 8: Unterschiede beim TPA-Parameter "Härte" innerhalb der Gurkensegmente

Parameter	Methode							
Härte	T	PA 25%			TPA 60%	Ó		
Segment	Stiel	Mitte	Blüte	te Stiel Mitte Bli				
Stiel	X	-	**	X	-	-		
Mitte	-	X	***	-	X	-		
Blüte	**	***	X	-	-	X		

Die Auswertung der Daten mittels der 2-faktoriellen ANOVA und des Tukey-HSD-Tests ergab, dass mittels der TPA-Methode in Bezug auf den Parameter "Härte" nur bei einem Kompressionslevel von 25% signifikante Unterschiede innerhalb der untersuchten Fruchtsegmente festgestellt werden konnten. Gleichzeitig war das Blütenende-Segment signifikant unterschiedlich von den anderen beiden Segmenten.

Tabelle 9: Unterschiede beim TPA-Parameter "Härte" innerhalb der Gurkenchargen

Parameter	Methode							
Härte		TPA 25%				TPA 60%		
Charge	FP	FL	KP	KL	FP	FL	KP	KL
FP	X	-	-	-	X	-	-	-
FL	-	X	**	-	-	X	-	-
KP	-	**	X	-	-	-	X	-
KL	-	-	-	X	-	-	-	X

Ebenso zeigt die Tabelle 9 an, dass in Bezug auf den Parameter "Härte" ausschließlich im Falle einer Kompression von 25% signifikante Unterschiede innerhalb der untersuchten Gurkenchargen festgestellt werden konnten. Die Charge FL war signifikant unterschiedlich von der Charge KP.

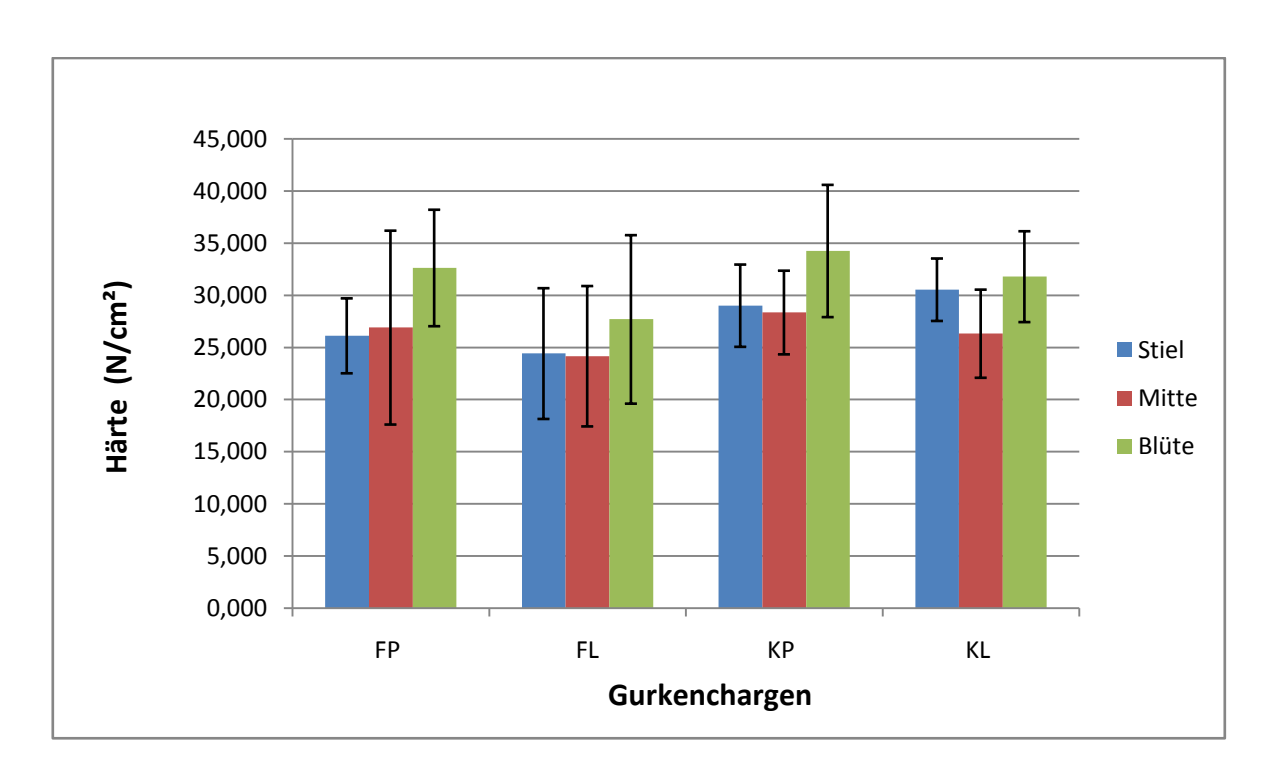


Abbildung 11: Parameter "Härte" der TPA mit 25% Kompression (n=7)

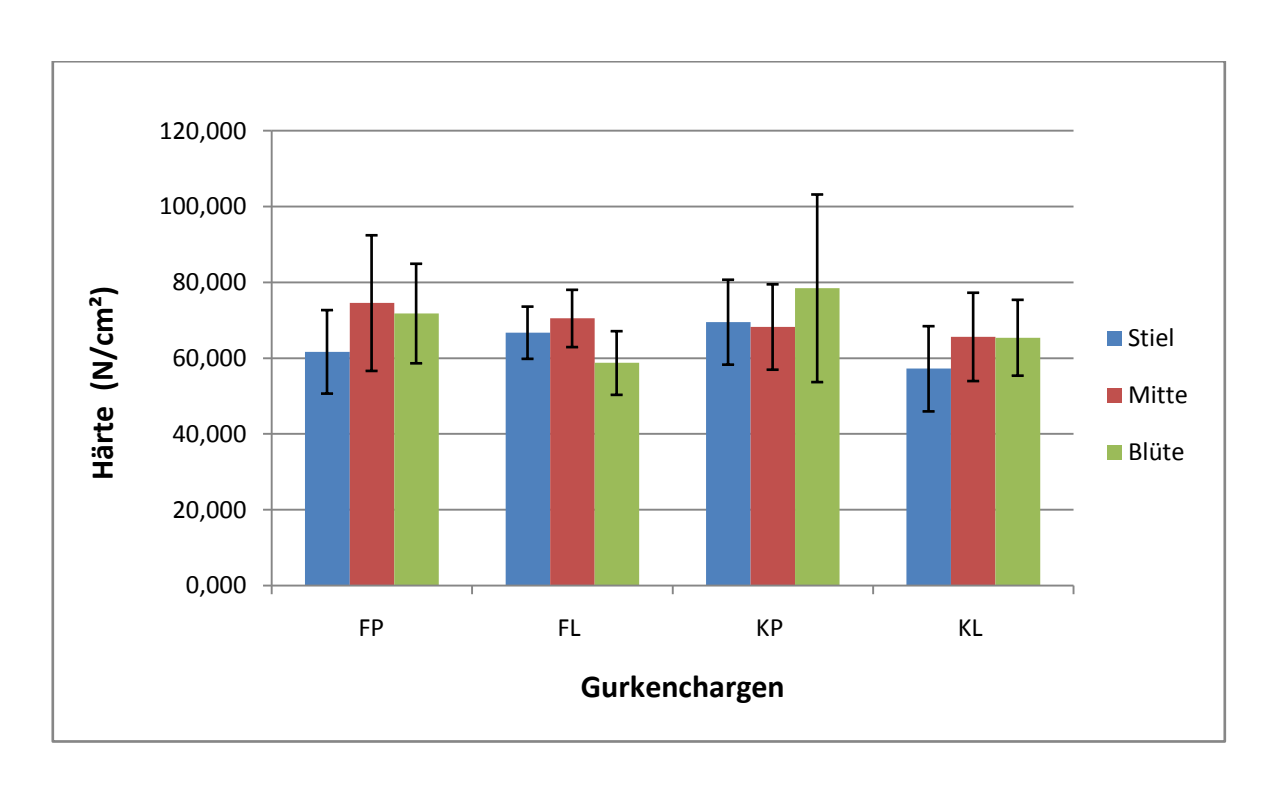


Abbildung 12: Parameter "Härte" der TPA mit 60% Kompression (n=7)

Im Falle einer Kompression von 25% nahm die Kraft zur Erzielung der vorgegebenen Kompression von der Blüte zum Stiel hinzu meist ab. Im Übrigen wies die Kraft bei dem

mittleren Segment im Falle einer 60% Kompression meist die höchsten Werte auf. Anschließend folgte das Blütenende, wohingegen das Stielende die geringsten Werte aufwies.

## Kohäsion:

Tabelle 10: Unterschiede beim TPA-Parameter "Kohäsion" innerhalb der Gurkensegmente

Parameter	Methode								
Kohäsion	TPA 25%				TPA 60%				
Charge	FP	FL KP KL FP FL					KP	KL	
FP	X	*	-	-	X	**	*	-	
FL	*	X	**	-	**	X	-	*	
KP	-	**	X	-	*	-	X	-	
KL	-	-	-	X	-	*	-	X	

Nach der statistischen Auswertung der ermittelten Daten für die "Kohäsion" bei beiden vorgegebenen Kompressionsintensitäten war es möglich, signifikante Unterschiede sowohl innerhalb der Gurkensegmente, als auch innerhalb der Gurkenchargen, zu ermitteln. Auf der einen Seite unterschied sich das blütenendende Segment signifikant von den beiden anderen Segmenten.

Tabelle 11: Unterschiede beim TPA-Parameter "Kohäsion" innerhalb der Gurkenchargen

Parameter	Methode							
Kohäsion	TPA 25% TPA 60%							
Segment	Stiel Mitte Blüte Stiel Mitte I							
Stiel	X	-	**	X	-	****		
Mitte	-	X	***	-	X	***		
Blüte	**	***	X	****	***	X		

Auf der anderen Seite und bei der Kompression von 25% war die Charge FL signifikant unterschiedlich von den Chargen FP und KP. Bei einer 60% Kompression war die Charge FP signifikant unterschiedlich von den Chargen FL und KP. Ebenfalls wich die Charge FL signifikant von der KL-Charge ab.

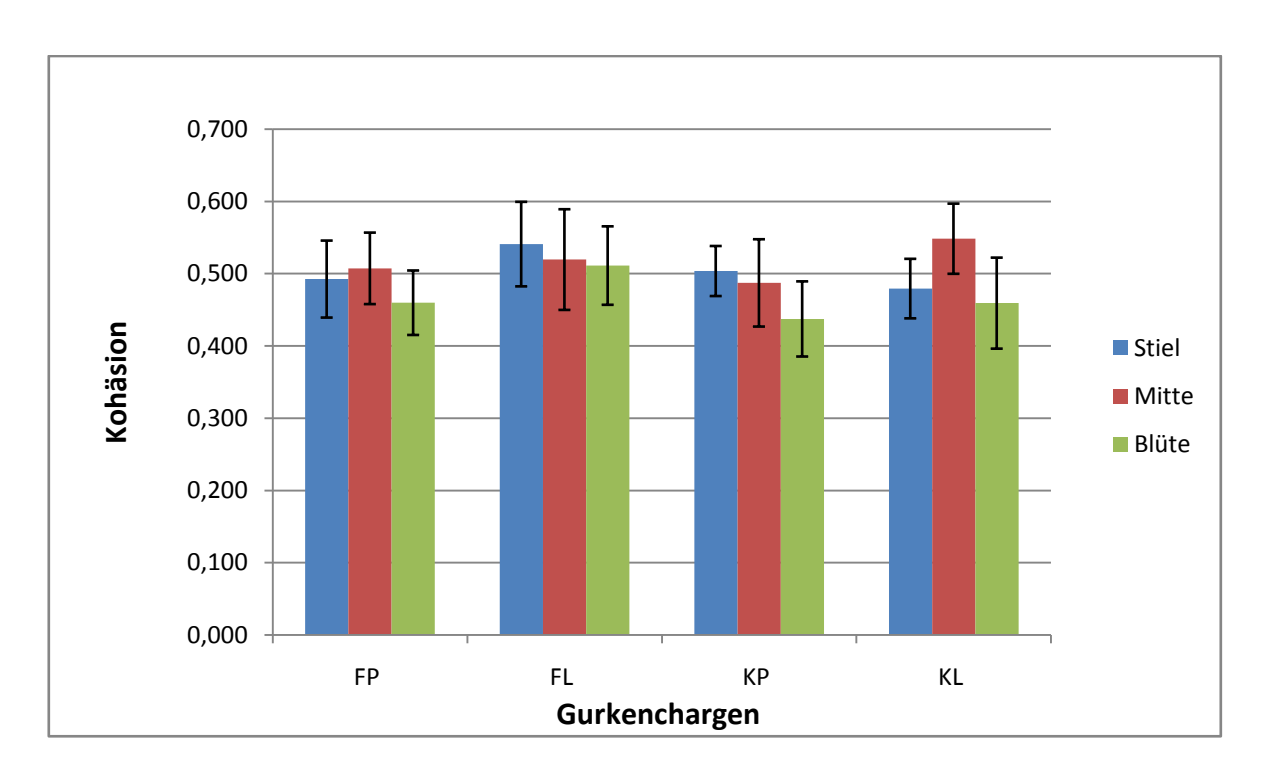


Abbildung 13: Parameter "Kohäsion" der TPA mit 25% Kompression (n=7)

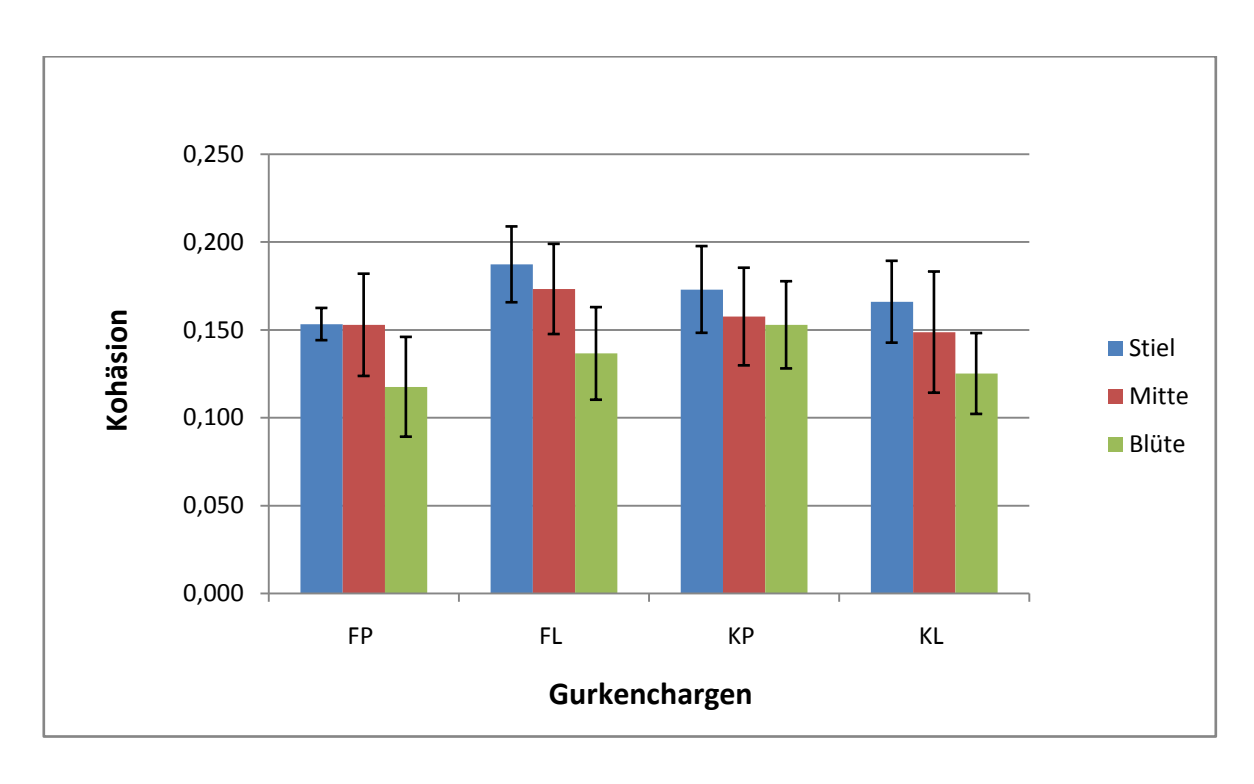


Abbildung 14: Parameter "Kohäsion" der TPA mit 60% Kompression (n=7)

Die Kohäsions-Werte nahmen bezüglich beider Kompressionen im Wesentlichen von dem Stielende bis zum Blütenende hin ab.

## Kaubarkeit:

Tabelle 12: Unterschiede beim TPA-Parameter "Kaubarkeit" innerhalb der Gurkensegmente

Parameter	Methode								
Kaubarkeit		TPA 25%				TPA 60%			
Charge	FP	FL	KP	KL	FP	FL	KP	KL	
FP	X	-	-	-	X	*	**	-	
FL	-	X	-	-	*	X	-	*	
KP	-	-	X	-	**	-	X	**	
KL	-	-	-	X	-	*	**	X	

Nach der statistischen Betrachtung der Daten für den TPA-Parameter "Kaubarkeit" konnten lediglich bei der Kompressionsintensität von 60% signifikante Unterschiede bestimmt werden. Ferner war der blütenendende Teil signifikant unterschiedlich von beiden anderen Teilen.

Tabelle 13: Unterschiede beim TPA-Parameter "Kaubarkeit" innerhalb der Gurkenchargen

Parameter	Methode							
Kaubarkeit		TPA 25% TPA 60%						
Segment	Stiel	Mitte	Blüte	Stiel	Mitte	Blüte		
Stiel	X	-	-	X	-	**		
Mitte	-	X	-	-	X	**		
Blüte	-	-	X	**	**	X		

Ebenso wie bei den Gurkensegmenten wurden innerhalb der untersuchten Chargen lediglich bei dem Kompressionsniveau von 60% signifikante Unterschiede festgestellt. Die Charge FP wies einen signifikanten Unterschied jeweils zu den Chargen FL und KP auf. Des Weiteren war die Charge KL ebenso signifikant unterschiedlich von den Chargen FL und KP.

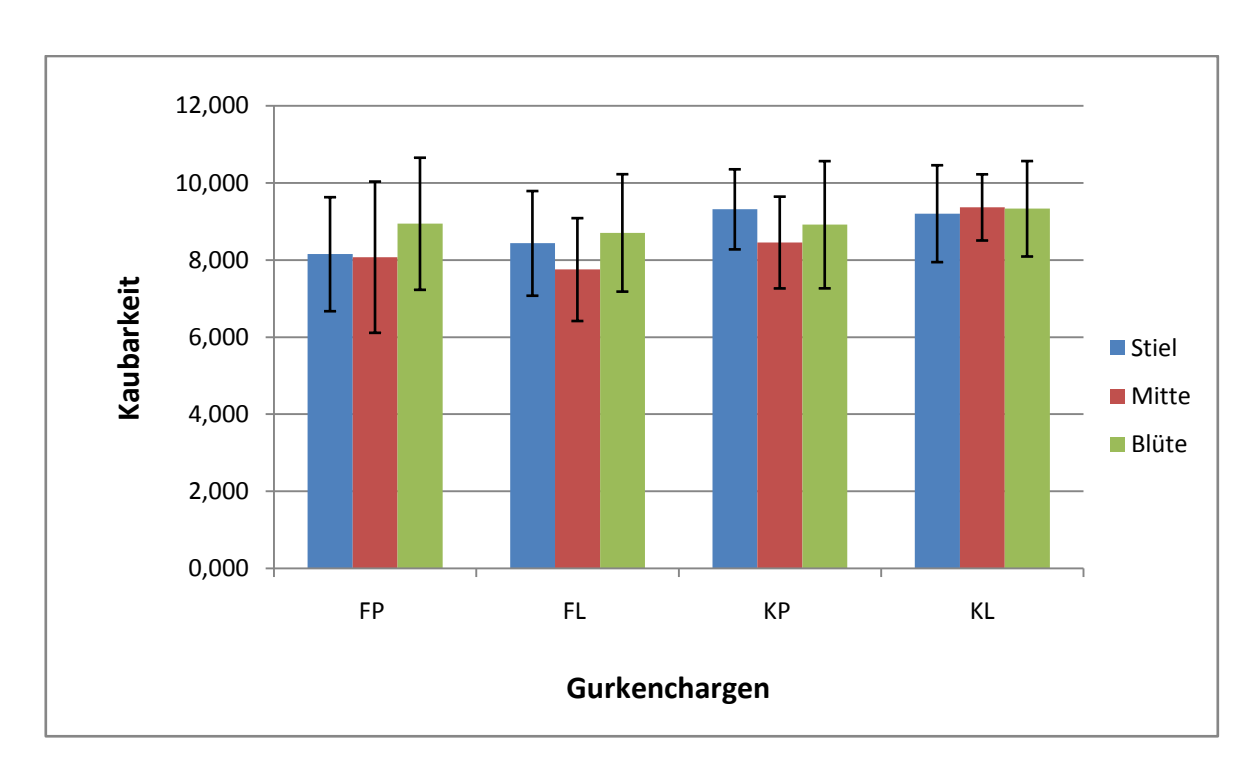


Abbildung 15: Parameter "Kaubarkeit" der TPA mit 25% Kompression (n=7)

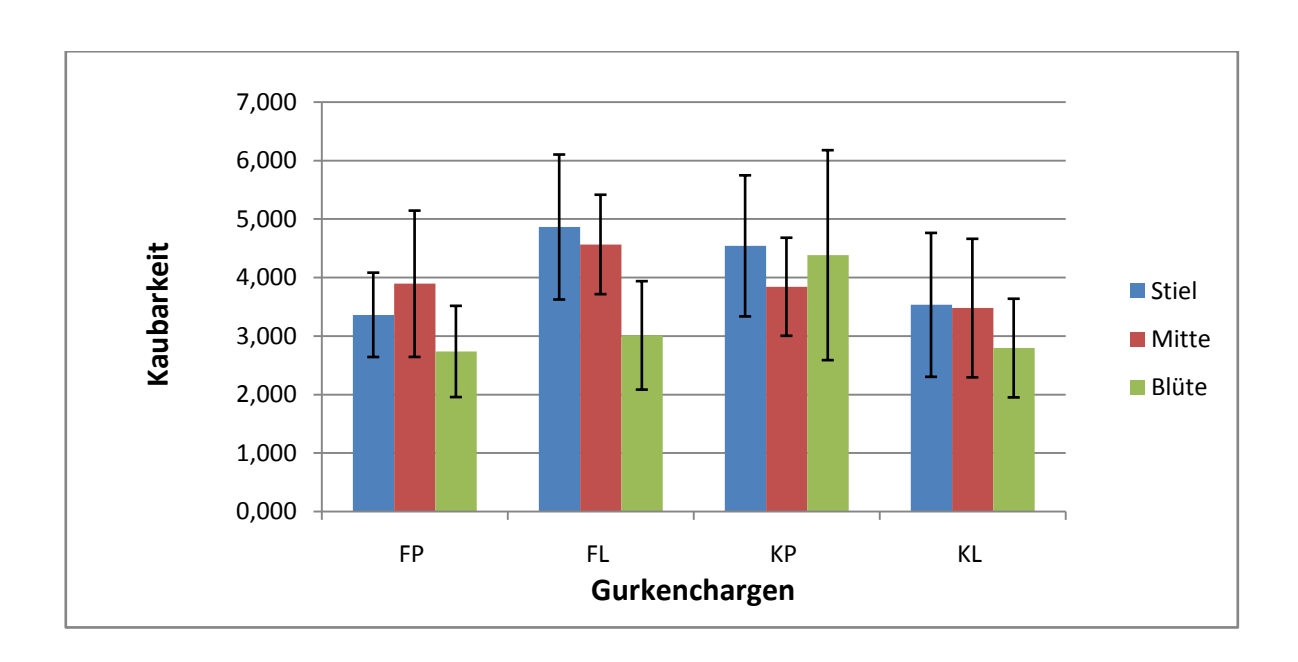


Abbildung 16: Parameter "Kaubarkeit" der TPA mit 60% Kompression (n=7)

Auf der einen Seite und bei der Kompression von 25% offenbarte das blütenendende Segment eine leicht höhere Kaubarkeit als bei den mittleren und stielendenden Bereichen. Auf der anderen Seite und bei der 60% Kompression nahm die Kaubarkeit zumeist vom Stielende bis zum Blütenende hin ab.

## **Gummiartigkeit:**

Tabelle 14: Unterschiede beim TPA-Parameter "Gummiartigkeit" innerhalb der Gurkensegmente

Parameter	Methode								
Gummiartigkeit	TPA 25%				TPA 60%				
Charge	FP	FL	KP	KL	FP	FL	KP	KL	
FP	X	-	-	-	X	-	-	-	
FL	-	X	-	-	-	X	-	**	
KP	-	-	X	-	-	-	X	-	
KL	-	-	-	X	-	-	**	X	

Im Hinblick auf den TPA-Parameter "Gummiartigkeit" konnten anhand der statistischen Analysen keine signifikanten Unterschiede innerhalb der untersuchten Gurkenchargen und deren Segmente im Falle der 25% Kompression ermittelt werden. Demgegenüber wies die TPA-Methode mit 60% Kompression auf, dass das blütenendende Segment von beiden anderen Segmenten signifikant abwich.

Tabelle 15: Unterschiede beim TPA-Parameter "Gummiartigkeit" innerhalb der Gurkenchargen

Parameter	Methode							
Gummiartigkeit	TPA 25% TPA 60%					Ó		
Segment	Stiel	Mitte	Blüte	Stiel	Mitte	Blüte		
Stiel	X	-	-	X	-	*		
Mitte	-	X	-	-	X	*		
Blüte	-	-	X	*	*	X		

Innerhalb der Chargen gab die TPA-Methode mit 60% Kompression preis, dass die Charge KP signifikant unterschiedlich von der KL Charge war.

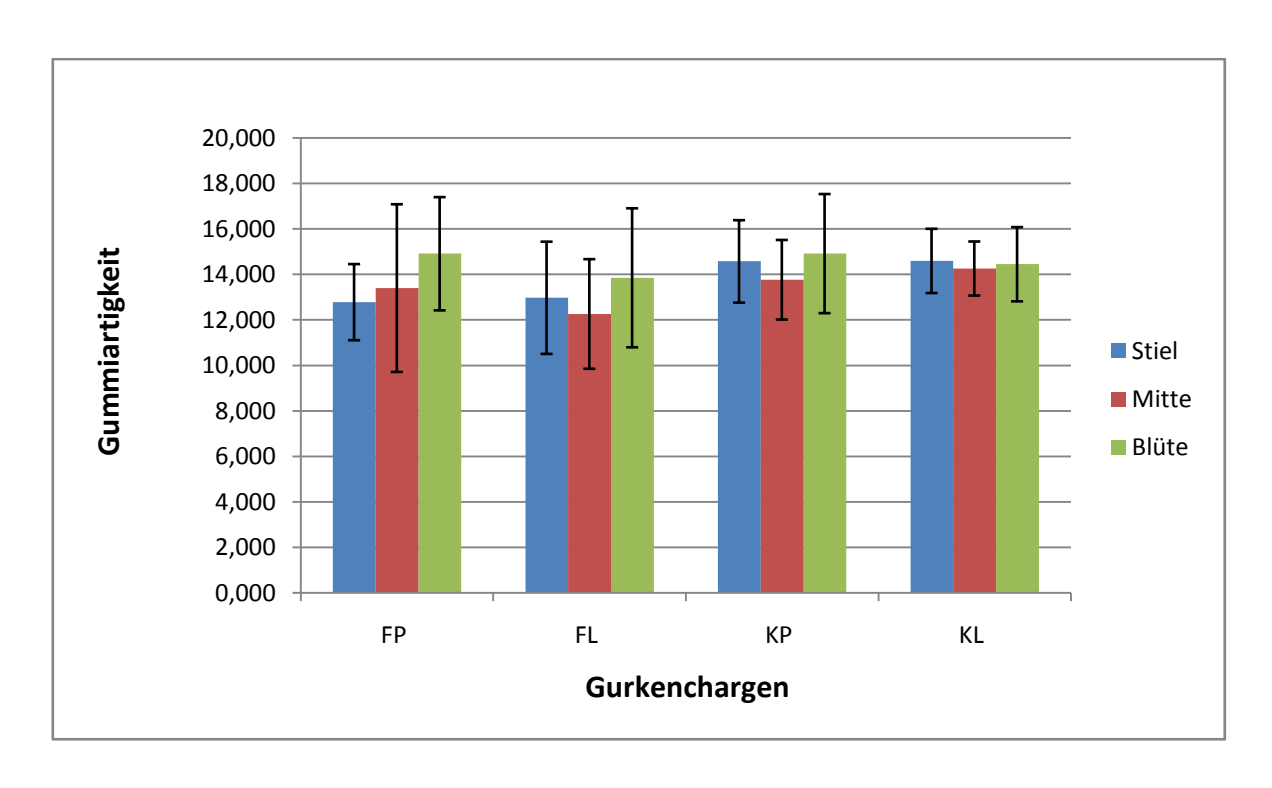


Abbildung 17: Parameter "Gummiartigkeit" der TPA mit 25% Kompression (n=7)

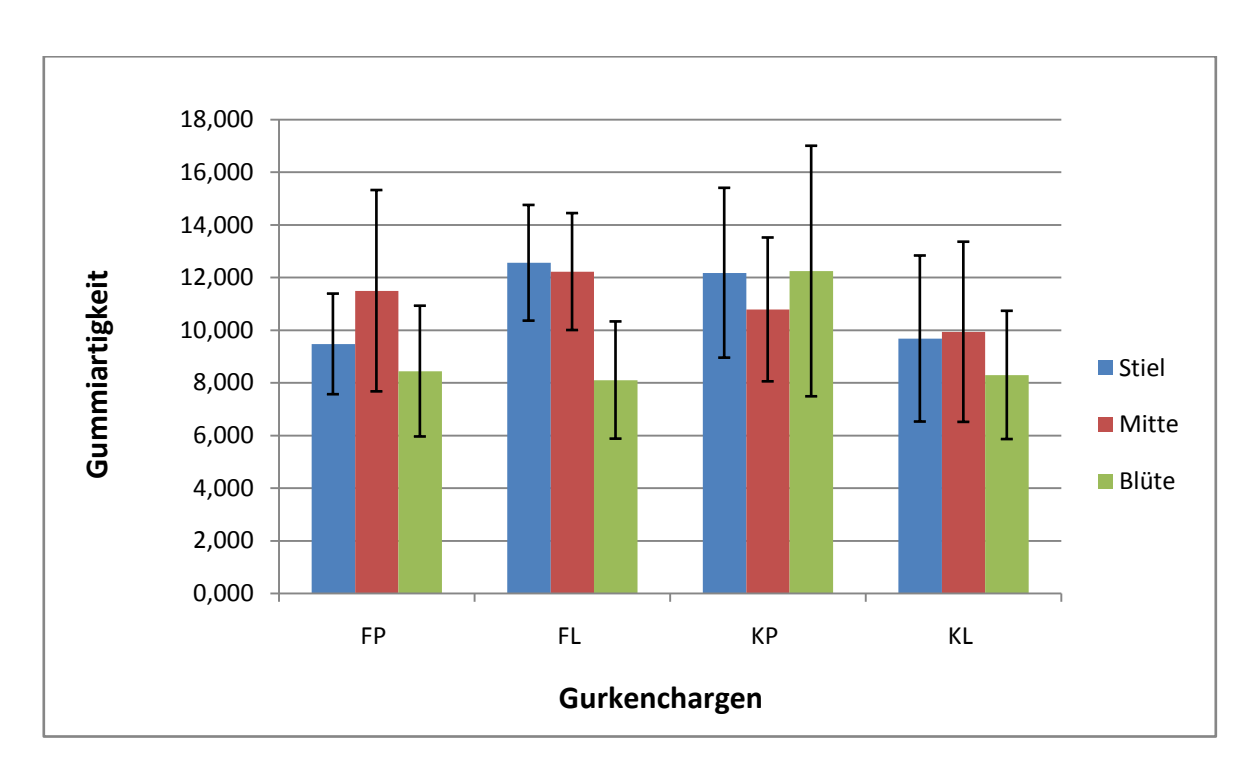


Abbildung 18: Parameter "Gummiartigkeit" der TPA mit 60% Kompression (n=7)

Auf der einen Seite nahm die Gummiartigkeit bei der 25% Kompression von der Blüte zum Stiel hin ab. Auf der anderen Seite war es im Falle der 60% Kompression schwierig, eine

Tendenz innerhalb der Werte der untersuchten Segmente zu finden, da jedes Segment ein anderes Verhältnis bei einer bestimmten Charge aufwies.

### Elastizität:

Tabelle16: Unterschiede beim TPA-Parameter "Elastizität" innerhalb der Gurkensegmente

Parameter		Methode						
Elastizität		TPA 25%				TPA	60%	
Charge	FP	FL	KP	KL	FP	FL	KP	KL
FP	X	*	-	**	X	****	*	-
FL	*	X	-	-	****	X	-	**
KP	-	-	X	-	*	-	X	-
KL	**	-	-	X	-	**	-	X

In Bezug auf den Parameter "Elastizität" zeigte die TPA-Methode mit 60% Kompression, dass die blütenendenden und stielendenden Teile signifikant unterschiedlich voneinander waren. Im Gegensatz dazu konnten keine signifikanten Unterschiede bei der 25% Kompression nachgewiesen werden.

Tabelle 17: Unterschiede beim TPA-Parameter "Elastizität" innerhalb der Gurkenchargen

Parameter	Methode					
Elastizität	TPA 25%				<b>TPA 60%</b>	, D
Segment	Stiel	Mitte	Blüte	Stiel	Mitte	Blüte
Stiel	X	-	-	X	-	*
Mitte	-	X	-	-	X	-
Blüte	-	-	X	*	-	X

Bei beiden eingestellten Kompressionsintensitäten konnten signifikante Unterschiede innerhalb der ausgewählten Chargen festgestellt werden. Auf der einen Seite und bei der Kompression von 25% war die Charge FP signifikant unterschiedlich von den Chargen FL und KL. Auf der anderen Seite und bei 60% war die Charge FP signifikant unterschiedlich von FL und KP. Dazu war die Charge FL unterschiedlich von der KL-Charge.

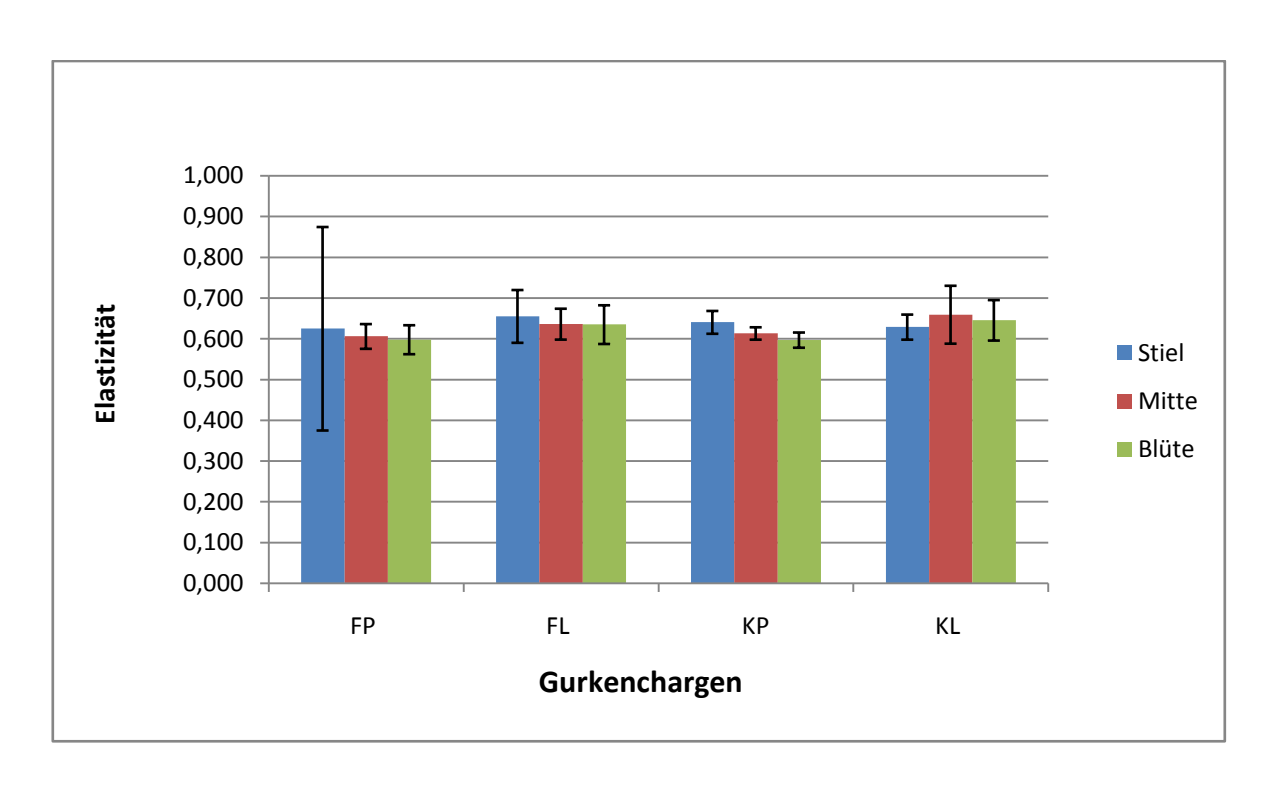


Abbildung 19: Parameter "Elastizität" der TPA mit 25% Kompression (n=7)

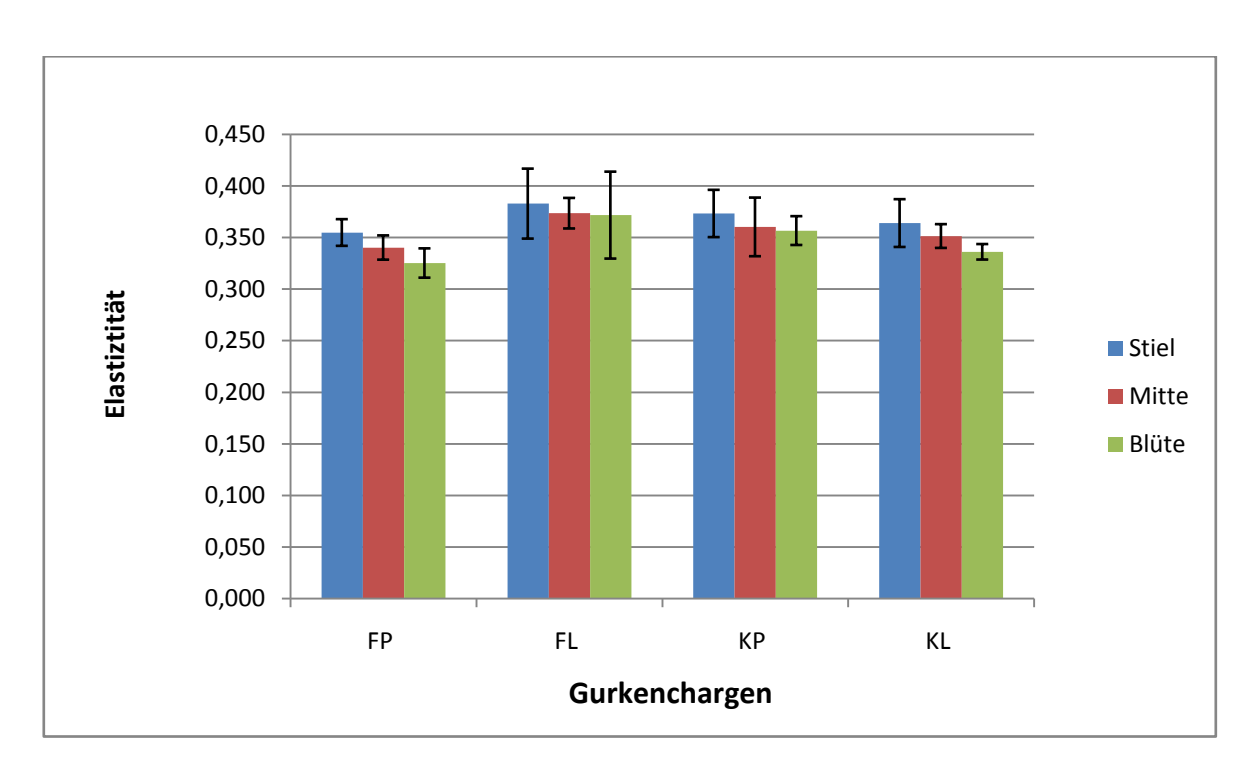


Abbildung 20: Parameter "Elastizität" der TPA mit 60% Kompression (n=7)

Bei beiden eingestellten Kompressionen nahmen die Werte für den Paramater "Elastizität" vom Stiel zur Blüte hin zumeist ab.

## Adhäsion:

Tabelle18: Unterschiede beim TPA-Parameter "Adhäsion" innerhalb der Gurkensegmente

Parameter		Methode						
Adhäsion		TPA 25%				TPA	60%	
Charge	FP	FL	KP	KL	FP	FL	KP	KL
FP	X	**	-	-	X	-	-	-
FL	**	X	**	****	-	X	-	-
KP	-	**	X	-	-	-	X	-
KL	_	****	-	X	-	-	-	X

Hinsichtlich des TPA-Parameters "Adhäsion" wurden ausschließlich im Falle der Kompression von 25% signifikante Unterschiede innerhalb der Gurkenchargen sowie innerhalb deren Segmente herausgefunden. Fernerhin war der mittlere Teil signifikant unterschiedlich von den beiden anderen Teilen.

Tabelle 19: Unterschiede beim TPA-Parameter "Adhäsion" innerhalb der Gurkenchargen

Parameter	Methode					
Adhäsion		TPA 25%			<b>TPA 60%</b>	Ó
Segment	Stiel	Mitte	Blüte	Stiel	Mitte	Blüte
Stiel	X	****	-	X	-	-
Mitte	****	X	****	-	X	-
Blüte	-	****	X	-	-	X

Innerhalb bei 25% Kompression der untersuchten Chargen konnte nachgewiesen werden, dass die Charge FL von dem Rest der anderen Chargen signifikant unterschiedlich war.

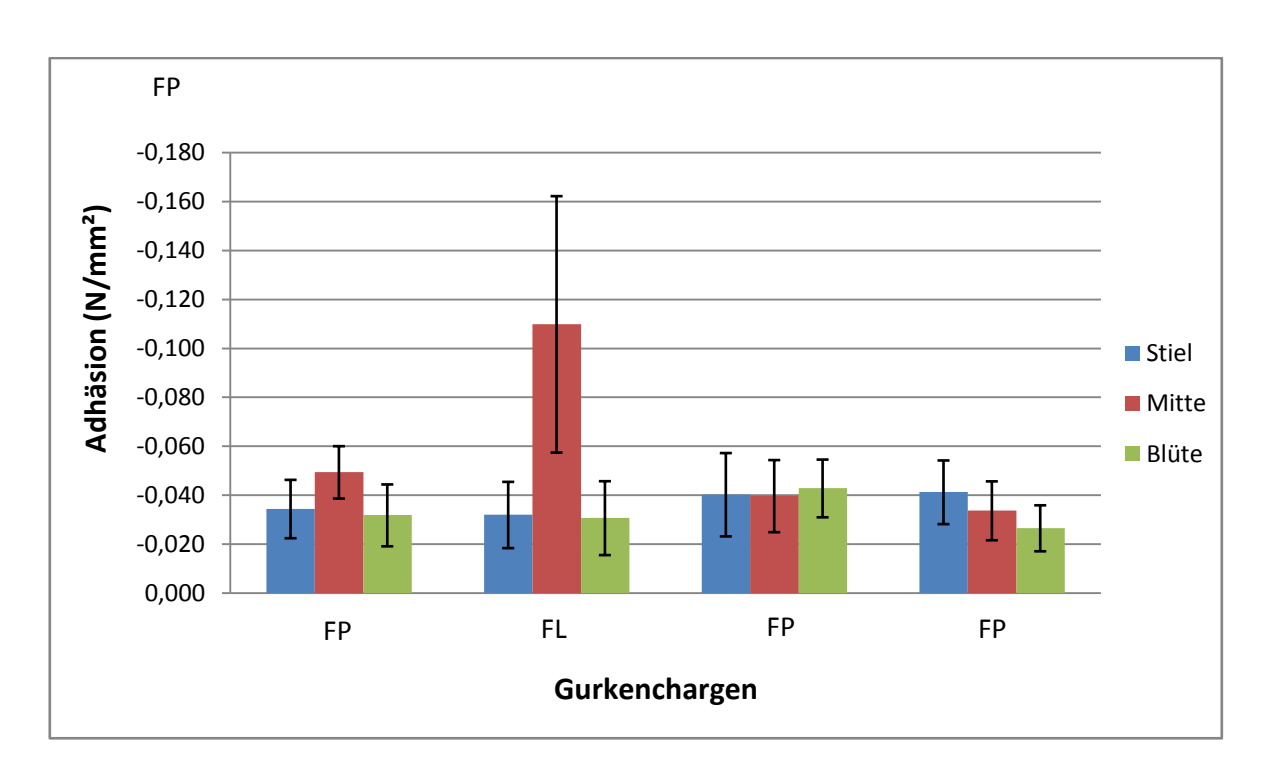


Abbildung 21: Parameter "Adhäsion" der TPA mit 25% Kompression (n=7)

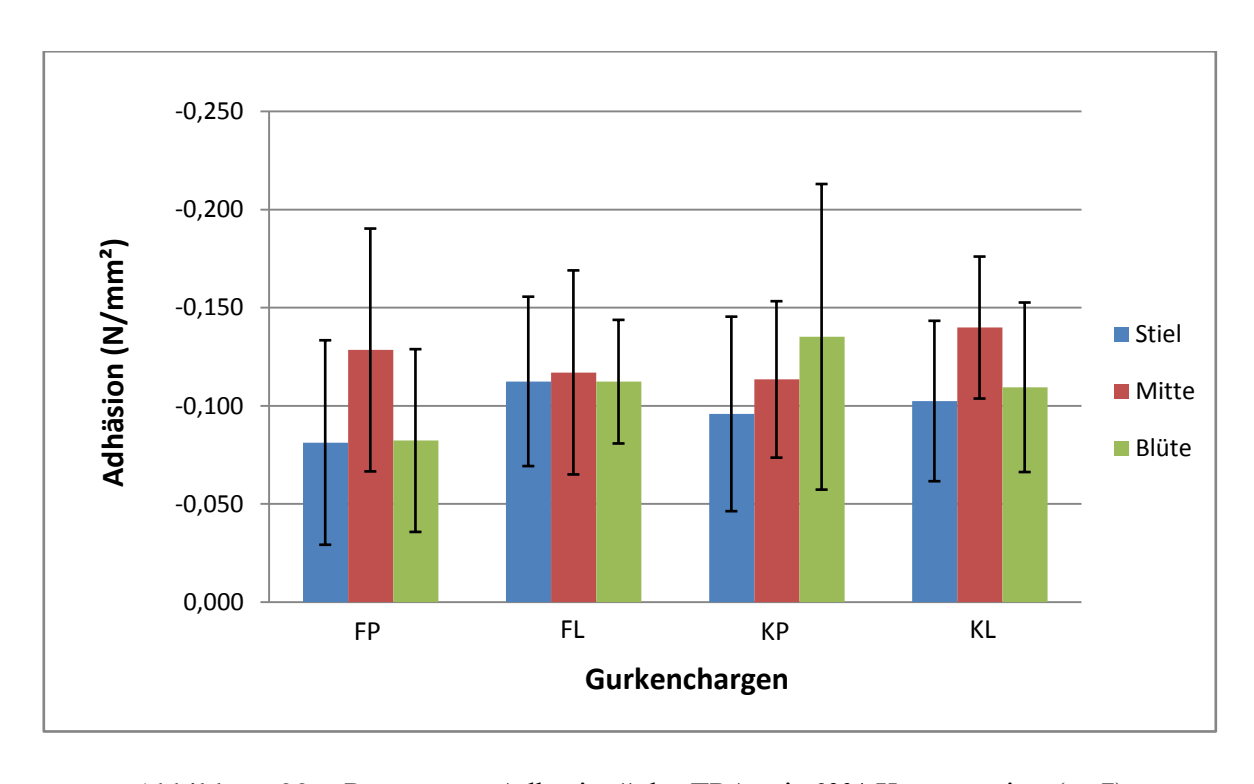


Abbildung 22: : Parameter "Adhäsion" der TPA mit 60% Kompression (n=7)

Bei beiden verwendeten Kompressionen erhielt das mittlere Segment zumeist höhere Adhäsionswerte als die anderen beiden Segmente.

# **Bissfestigkeit:**

Tabelle 20: Unterschiede beim TPA-Parameter "Bissfestigkeit" innerhalb der Gurkensegmente

Parameter	Methode							
Bissfestigkeit		TPA 25%				TPA	4 60%	
Charge	FP	FL	KP	KL	FP	FL	KP	KL
FP	X	X	X	X	X	**	-	*
FL	X	X	X	X	**	X	**	-
KP	X	X	X	X	-	**	X	*
KL	X	X	X	X	*	-	*	X

Für den Parameter "Bissfestigkeit" wurden keine Werte bei der TPA mit 25% Kompression ermittelt, da die Proben nicht zerbrachen und infolgedessen keine Brüche im System aufgezeichnet werden konnten. Im Gegensatz dazu wurden Brüche bei der Kompression von 60% registriert (siehe Abbildungen 24 und 25). Hierbei und nach der statischen Auswertung wurde festgestellt, dass das blütenendende Segment signifikant unterschiedlich von dem stielendenden Segment war.

Tabelle 21: Unterschiede beim TPA-Parameter "Bissfestigkeit" innerhalb der Gurkenchargen

Parameter	Methode					
Bissfestigkeit	TPA 25%				<b>TPA 60%</b>	o ·
Segment	Stiel	Mitte	Blüte	Stiel	Mitte	Blüte
Stiel	X	X	X	X	-	***
Mitte	X	X	X	-	X	-
Blüte	X	X	X	***	-	X

Innerhalb der untersuchten Chargen war es möglich zu betrachten, dass die Charge FP signifikant von FL und KL abwich. Ferner wies die Charge KP signifikante Unterschiede zu den Chargen FL und KL auf.

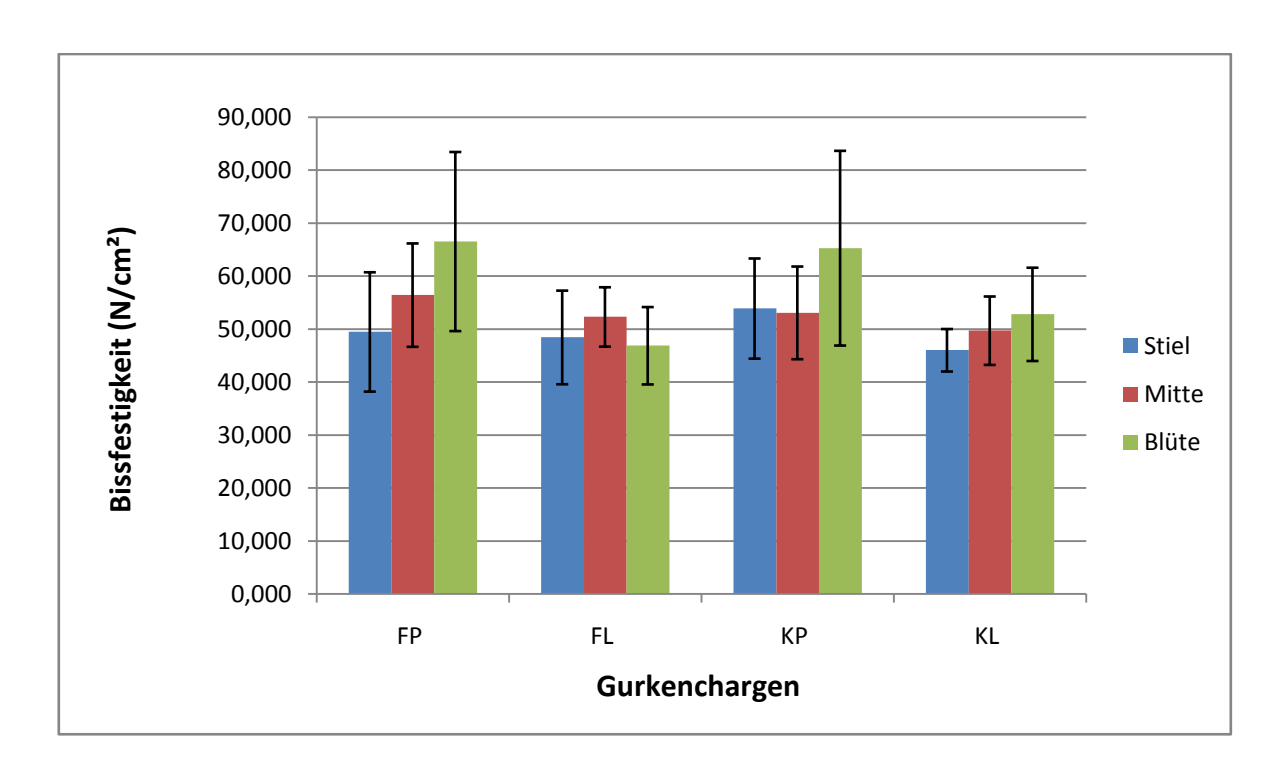


Abbildung 23: Parameter "Bissfestigkeit" der TPA mit 60% Kompression (n=7)

Die benötigte Kraft, um eine irreversible Zerstörung der Probenstruktur zu erreichen, nahm zumeist von der Blüte zum Stiel hin ab.

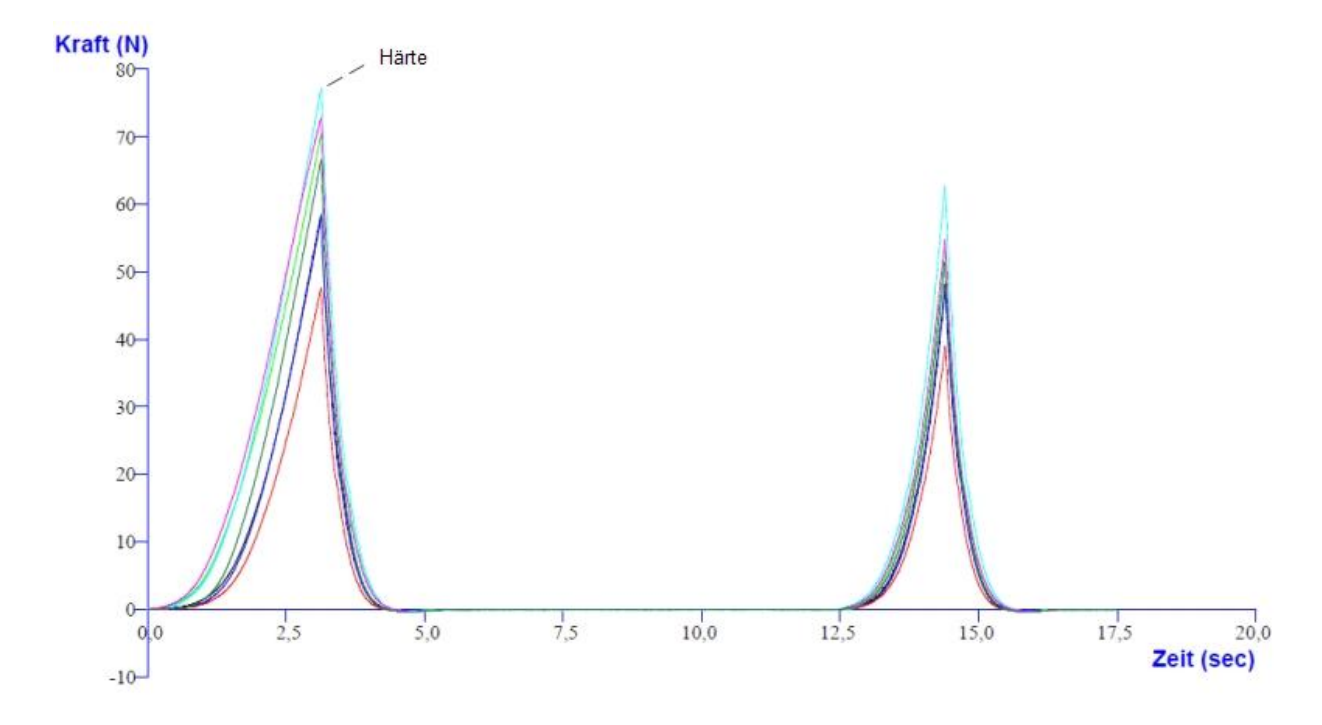


Abbildung 24: Graphische Darstellung der Kraft-Zeit-Kurve der TPA Methode mit 25% Kompression. Beispiel: FL Charge (mittleres Segment)

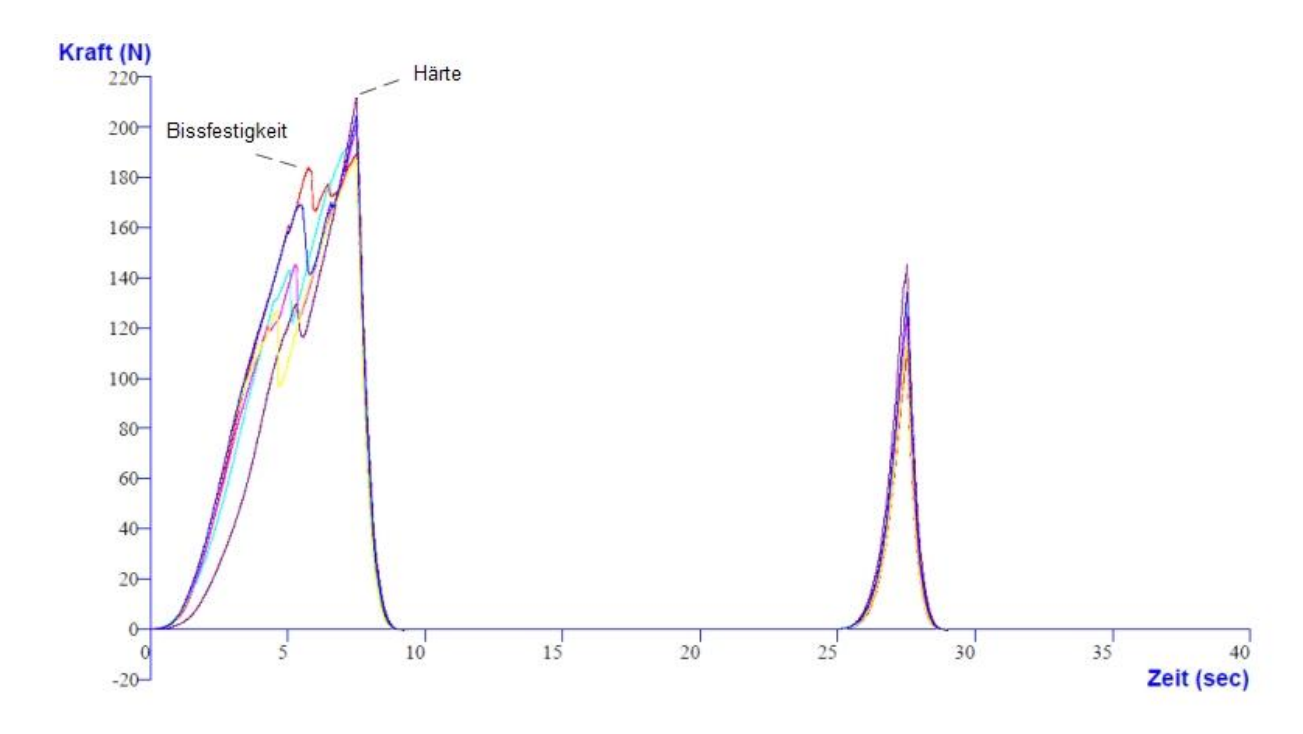


Abbildung 25: Graphische Darstellung der Kraft-Zeit-Kurve der TPA Methode mit 60% Kompression. Beispiel: FL Charge (mittleres Segment)

Insgesamt konnten innerhalb der Kompressionsintensitäten mehr signifikante Unterschiede bei der TPA-Methode mit 60% Kompression als bei der Kompression von 25% festgestellt werden. Allerdings waren im Falle der 25% Kompression die herausgefundenen Unterschiede bezüglich der Parameter "Kaubarkeit", "Gummiartigkeit" sowie "Elastizität" nicht signifikant. Darüber hinaus konnte die TPA-Methode mit 60% Kompression bei den Parametern "Härte" und "Adhäsion" keine signifikanten Unterschiede innerhalb der Gurkensegmente sowie innerhalb der Gurkenchargen aufweisen.

Auf der einen Seite war in der Abbildung 24 zu beobachten, dass bei beiden TPA-Zyklen keinerlei Brüche auftraten. Die eingestellte Kompression in Höhe von 25% war nicht hinreichend intensiv, um die Gurkenprobe zu zerbrechen. Auf der anderen Seite wurden Brüche bei der höheren Kompression mit 60% aufgezeichnet (siehe Abbildung 25). Die benötigte Kraft zur Zerteilung der Untersuchungsprobe nahm im Vergleich zu der Kompression mit 25% deutlich zu. Mit der Erhöhung der Kompressionsintensität nahmen ebenfalls die Werte der TPA-Parameter "Kaubarkeit" sowie "Gummiartigkeit" zu, da diese von der ermittelten "Härte" abhängig sind.

## 4.3. Ermittelte Texturunterschiede mit der Warner- Bratzler-Methode

## **Maximalkraft:**

Tabelle 22: Unterschiede bzgl. des WB-Parameters "MaximalKraft" innerhalb der Gurkensegmente

Parameter	Methode					
Maximalraft	WB					
Segment	Stiel	Mitte	Blüte			
Stiel	X	***	****			
Mitte	***	X	****			
Blüte	****	****	X			

Nach der statistischen Analyse mittels der 2-faktoriellen ANOVA sowie des Tukey-HSD-Tests war es möglich, signifikante Unterschiede innerhalb der untersuchten Fruchtsegmente festzustellen. Das stielendende Segment wich signifikant von beiden anderen Segmenten ab. Gleichfalls waren das mittlere und das blütenendende Segmente signifikant unterschiedlich voneinander.

Tabelle 23: Unterschiede bzgl. des WB-Parameters "Maximalkraft" innerhalb der Gurkenchargen

Parameter	Methode						
Maximalkraft		WB					
Charge	FP	FL	KP	KL			
FP	X	****	*	**			
FL	****	X	-	-			
KP	*	-	X	-			
KL	**	-	-	X			

Auf der anderen Seite und innerhalb der ausgewählten Chargen war zu beobachten, dass die Charge FP signifikant von dem Rest der Chargen abwich.

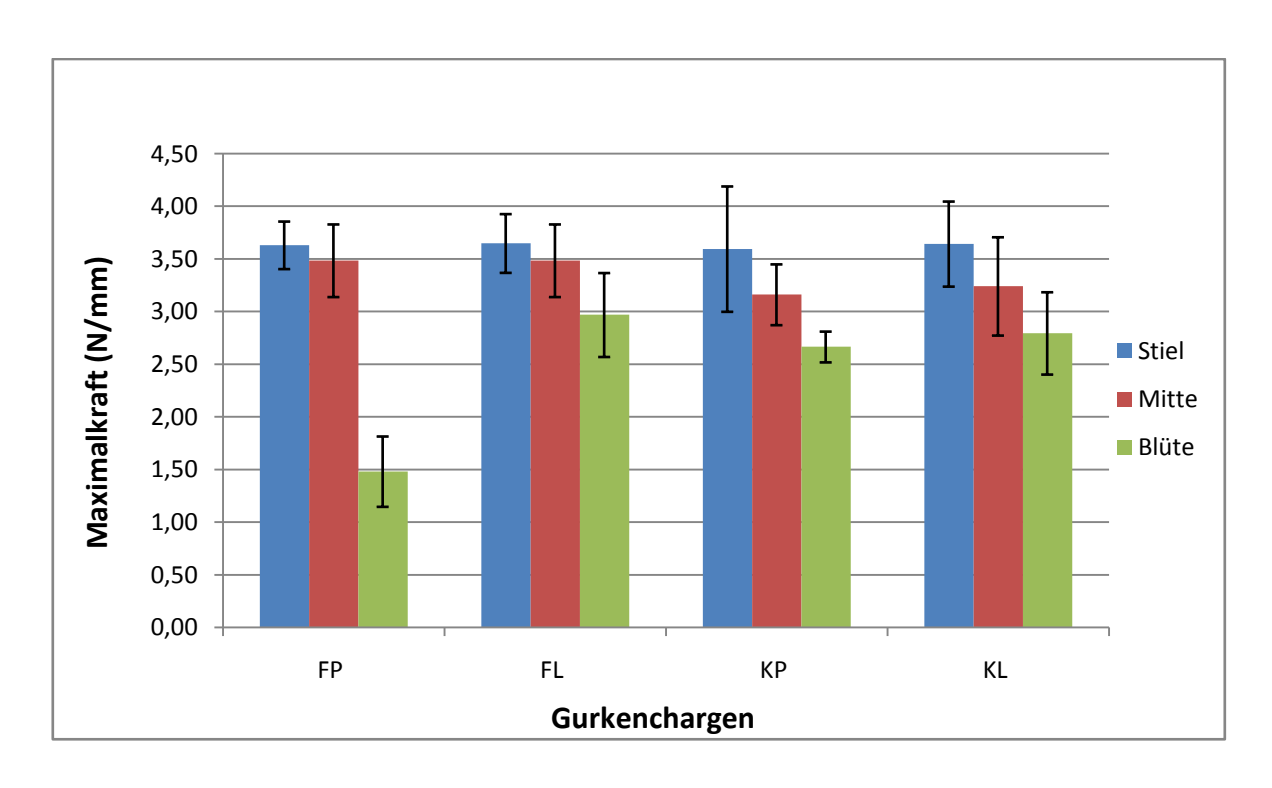


Abbildung 26: Parameter "Maximalkraft" bei WB Methode

In Bezug auf den Parameter "Maximalkraft" wurden signifikante Unterschiede sowohl innerhalb der ausgewählten Gurkenchargen als auch innerhalb deren Segmente ermittelt. Überdies nahm die Kraft vom Stiel bis zur Blüte hin ab.

# **Steigung:**

Tabelle 24: Unterschiede bzgl. des WB-Parameters "Steigung" innerhalb der Gurkensegmente

Parameter	Methode					
Steigung	WB					
Segment	Stiel	Mitte	Blüte			
Stiel	X	-	-			
Mitte	-	X	**			
Blüte	-	**	X			

Die statistische Auswertung der ermittelten Daten ergab, dass es signifikante Unterschiede innerhalb der Fruchtsegmente und in Bezug auf den Parameter "Steigung" gibt. Ferner war der mittlere Bereich signifikant unterschiedlich vom blütenendenden Bereich.

Tabelle 25: Unterschiede bzgl. des WB-Parameters "Steigung" innerhalb der Gurkenchargen

Parameter	Methode				
Steigung	WB				
Charge	FP	FL	KP	KL	
FP	X	-	-	-	
FL	-	X	-	-	
KP	-	-	X	-	
KL	-	-	-	X	

Ebenfalls wurden die Werte für den Parameter "Steigung" statistisch ausgewertet. Hierbei konnten keine signifikanten Unterschiede innerhalb der verwendeten Chargen ermittelt werden.

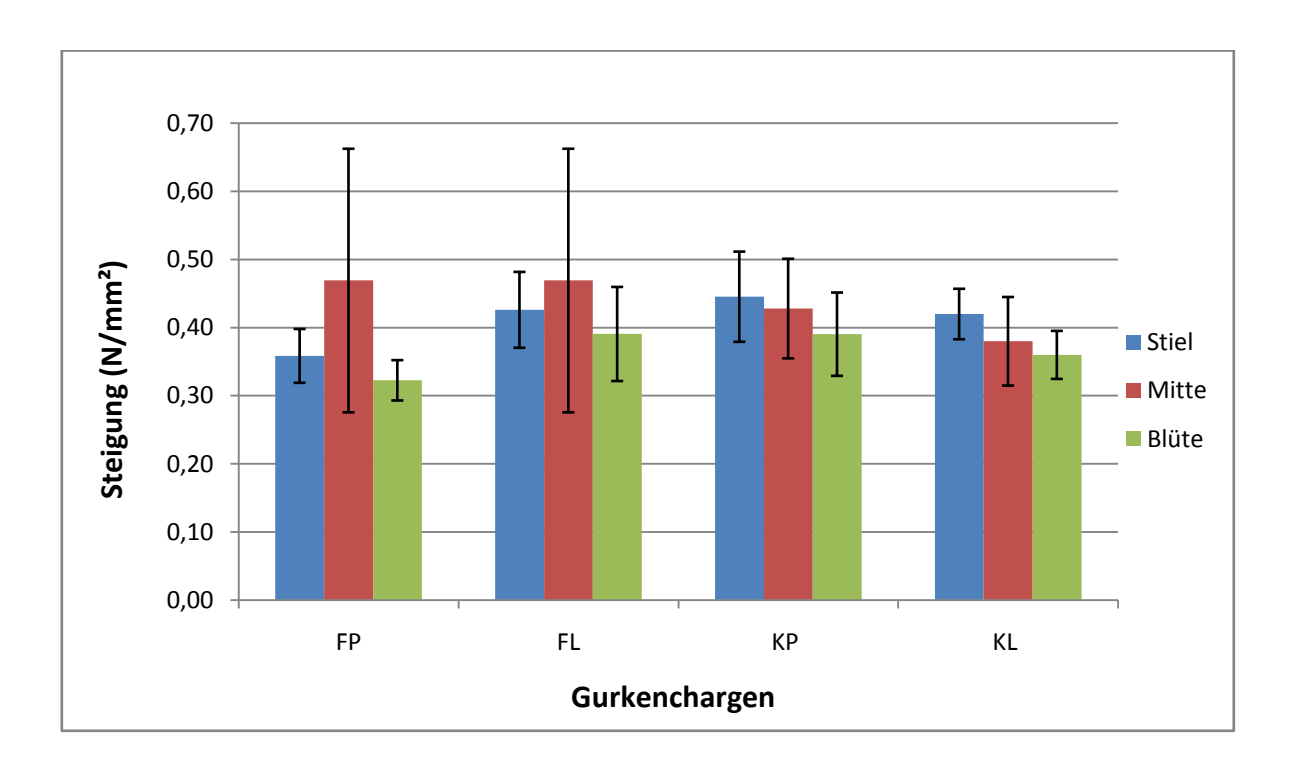


Abbildung 27: Parameter "Steigung" bei WB Methode

Anhand des im Wege der WB-Methode ermittelten "Steigung-Parameters" konnten nach der statistischen Analyse signifikante Unterschiede lediglich innerhalb der untersuchten Segmente herausgefunden werden. Zum Teil besaß das mittlere Segment die höchsten Steigungswerte.

Zum anderen zeichnete das Stielende die höchsten Steigungswerte auf, wogegen das Blütenende die niedrigsten Werte erhielt.

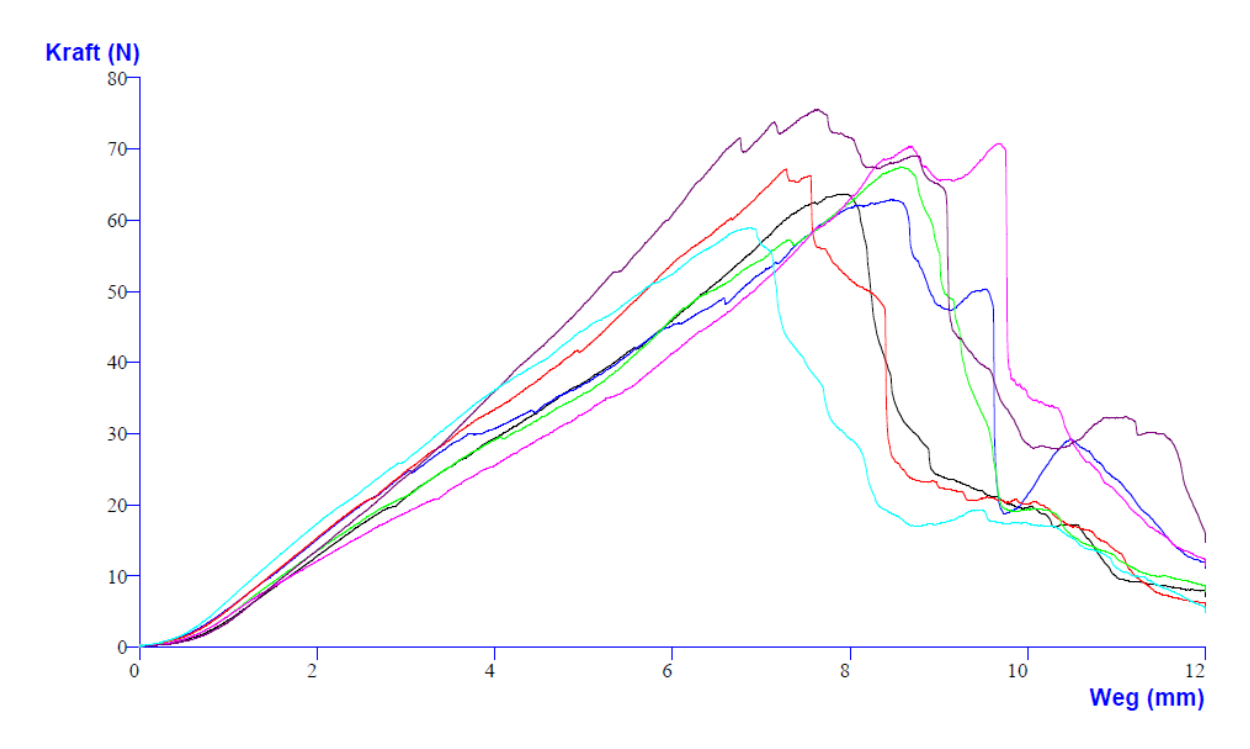


Abbildung 28: Graphische Darstellung der Kraft-Weg-Kurve der WB Methode. Beispiel: FL Charge (mittleres Segment)

#### 4.4. Ermittelte Texturunterschiede mit den sensorischen Methoden

Ein untrainiertes Panel von 11 Personen, 3 Frauen und 8 Männer hat an dieser Studie teilgenommen. Die Teilnehmer waren allesamt Masterstudenten der Lebensmitteltechnologie an der Hochschule Neubrandenburg und nahmen während des Bachelor- oder Masterstudiums an anderen ähnlichen sensorischen Prüfungen teil. Die Prüfungen fanden in einem nach (ISO 8589) ausgestattetem Sensoriklabor in der Hochschule Neubrandenburg statt. Im Rahmen der Prüfungen wurden sensorische Methoden, im Einzelnen Sorted Napping mit Ultra Flash Profiling, durchgeführt. Um den Einfluss der Lagerzeit auszuschließen, wurden die sensorischen sowie die instrumentellen Untersuchungen zusammen innerhalb einer Woche absolviert.

Die statistische Auswertung der Daten aus der Sorted Napping Methode wurde mittels der Senstools Software durchgeführt, während die Beziehung zwischen den untersuchten Faktoren bzw. Komponenten mittels der Multiple Factor Analysis-Methode (MFA) berechnet wurde und sich graphisch darstellen lässt. Mit Hilfe der Prozedur Biplot wird eine Grafik erhalten, welche die Faktorwerte der Untersuchungsobjekte und gleichzeitig die Faktorladungen der Variablen in Bezug zu den ersten beiden Faktoren darstellt.

Im Anschluss an den Sorted Napping-Prozess wurden mittels des Ultra Flash Profilings (UFP) zusätzlich Begriffe zur Beschreibung der jeweiligen Produktcharakteristika festgehalten, um die Produktanordnungen entsprechend interpretieren zu können. Die zur Beschreibung der Produkte verwandten Attribute sind in den Tabellen (26-29) aufgelistet.

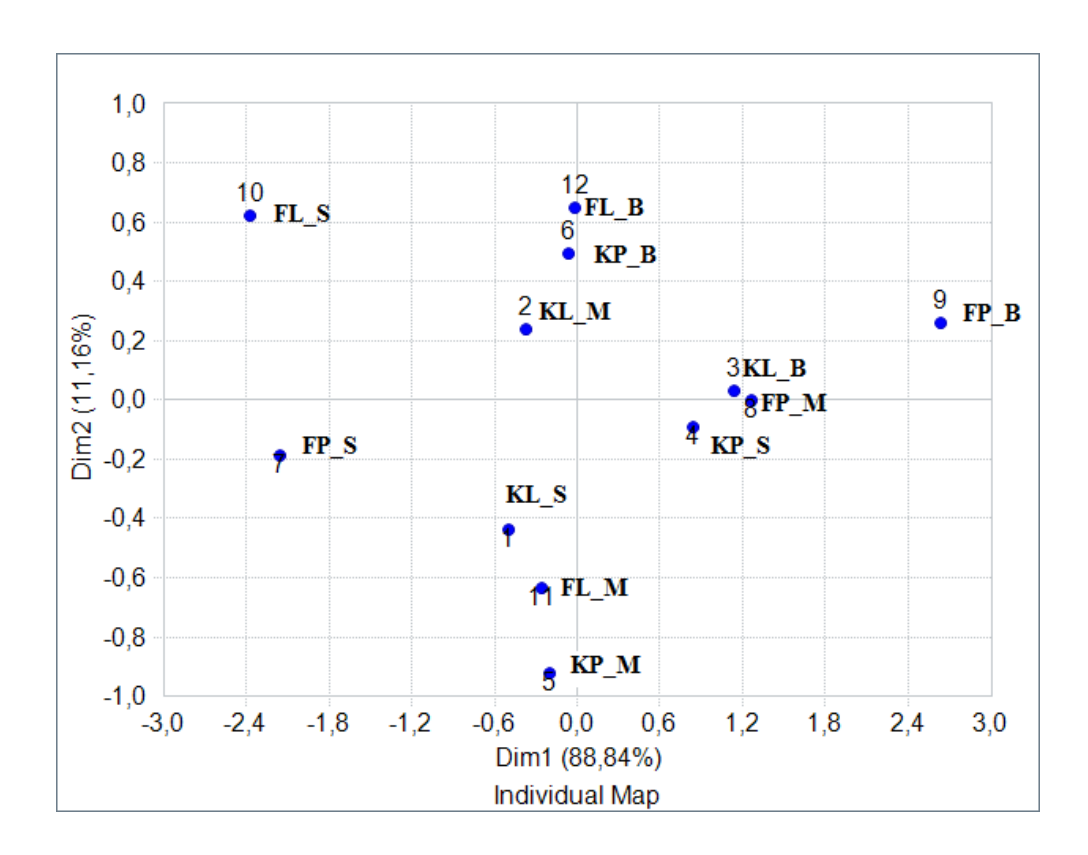


Abbildung 29: MFA-Biplot für die Produkte (1-12)

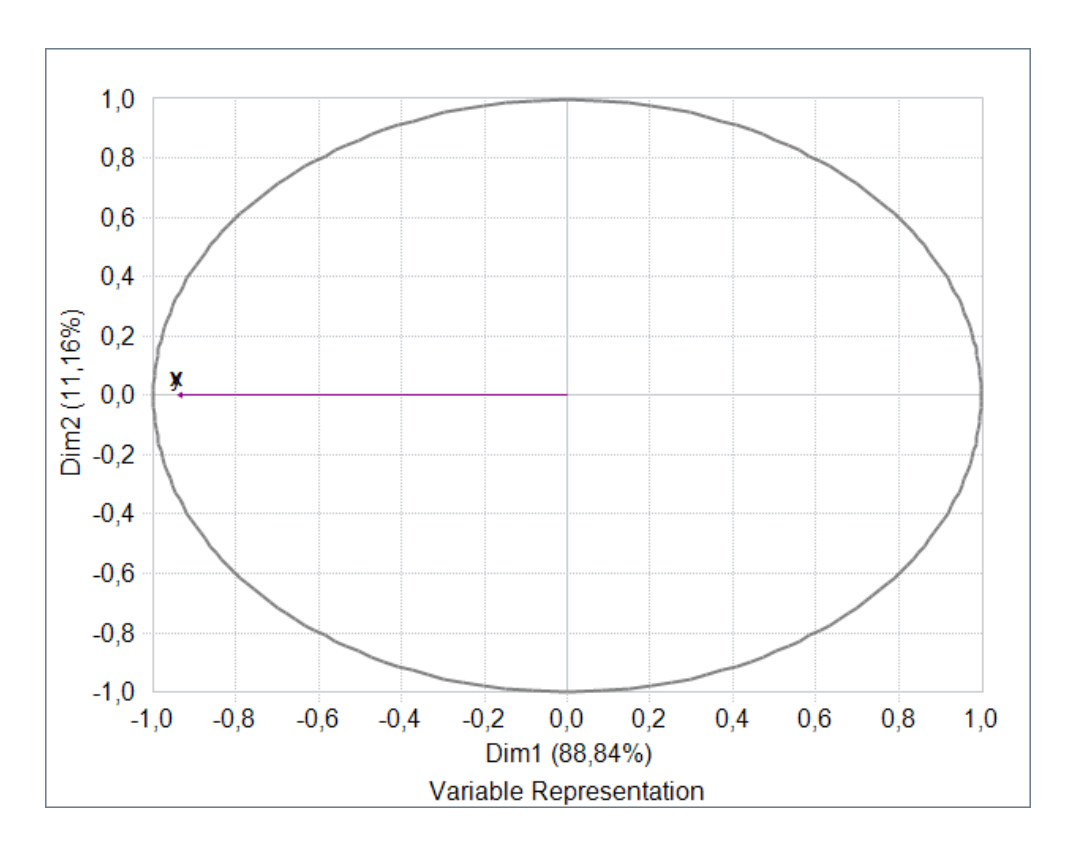


Abbildung 30: MFA-Biplot für die Variablen mit (x= Kohäsion, y= Festigkeit)

Tabelle 26: UFP-Attribute (P1-P3)

P1=KL_S	P2=KL_M	P3=KL_B
(19) fest	(14) mitt. Kohäsion	(9) mitt. Kohäsion
(13) mitt. Kohäsion	(9) mittel fest	(8) weich
(7) kohäsiv	(9) fest	(8) sehr kohäsiv
(7) weich	(8) sehr kohäsiv	(7) sehr fest
(6) sehr fest	(7) weich	(7) mitt. Festigkeit
(5) sehr kohäsiv	(7) sehr fest	(6) kohäsiv
(4) bröckelig	(3) bröckelig	(5) fest
(2) mitt. Festigkeit	(3) kohäsiv	(5) sehr bröckelig
(2) sehr bröckelig	(1) sehr weich	(3) bröckelig
(1) sehr weich	(1) sehr bröckelig	(2) sehr weich
		(1) bröckelig

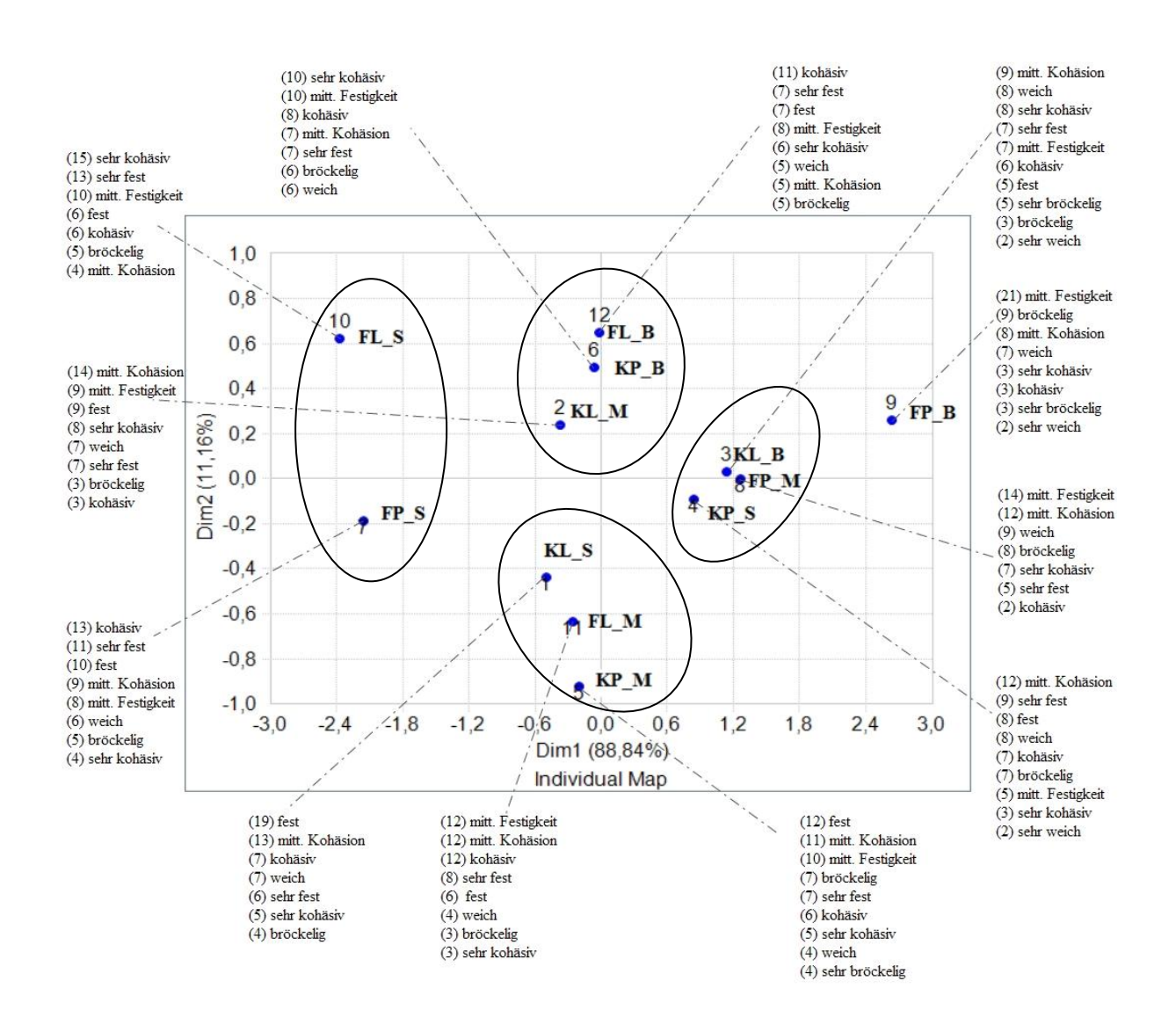


Abbildung 31: MFA Biplot + UFP Attribute

Tabelle 27: UFP-Attribute (P4-P6)

P4=KP_S	P5=KP_M	P6=KP_B
(12) mitt. Kohäsion	(12) fest	(10) sehr kohäsiv
(9) sehr fest	(11) mitt. Kohäsion	(10) mitt. Festigkeit
(8) fest	(10) mitt. Festigkeit	(8) kohäsiv
(8) weich	(7) bröckelig	(7) mitt. Kohäsion
(7) kohäsiv	(7) sehr fest	(7) sehr fest
(7) bröckelig	(6) kohäsiv	(6) bröckelig
(5) mitt. Festigkeit	(5) sehr kohäsiv	(6) weich
(3) sehr kohäsiv	(4) weich	(1) sehr bröckelig
(2) sehr weich	(4) sehr bröckelig	(1) fest
(1) sehr bröckelig		(1) sehr weich

Tabelle 28: UFP-Attribute (P7-P9)

P7=FP_S	P8=FP_M	P9=FP_B
(13) kohäsiv	(14) mitt. Festigkeit	(21) mitt. Festigkeit
(11) sehr fest	(12) mitt. Kohäsion	(9) bröckelig
(10) fest	(9) weich	(8) mitt. Kohäsion
(9) mitt. Kohäsion	(8) bröckelig	(7) weich
(8) mitt. Festigkeit	(7) sehr kohäsiv	(3) sehr kohäsiv
(6) weich	(5) sehr fest	(3) kohäsiv
(5) bröckelig	(2) kohäsiv	(3) sehr bröckelig
(4) sehr kohäsiv	(1) sehr bröckelig	(2) fest
	(1) sehr weich	(2) sehr weich
		(1) sehr fest

Tabelle 29: UFP-Attribute (P10-P12)

P10=FL_S	P11=FL_M	P12=FL_B
(15) sehr kohäsiv	(12) mitt. Festigkeit	(11) kohäsiv
(13) sehr fest	(12) mitt. Kohäsion	(7) sehr fest
(10) mitt. Festigkeit	(12) kohäsiv	(7) fest
(6) fest	(8) sehr fest	(8) mitt. Festigkeit
(6) kohäsiv	(6) fest	(6) sehr kohäsiv
(5) bröckelig	(4) weich	(5) weich
(4) mitt. Kohäsion	(3) bröckelig	(5) mitt. Kohäsion
(2) weich	(3) sehr kohäsiv	(5) bröckelig
	(1) sehr weich	(3) sehr bröckelig
		(3) sehr weich

Die Produkte wurden anhand der Bewertung der Panellisten mittels der Multiple Factor Analysis (MFA) ausgewertet. Im Allgemeinen konnte festgehalten werden, dass je näher zwei Produkte oder näher beieinander diese sich befanden, desto ähnlicher sie bewertet wurden, mithin je entfernter zwei Produkte oder mehr voneinander lagen, desto unterschiedlicher sie waren. Des Weiteren lagen die Variablen "x" (für die Kohäsion) und "y" (für die Festigkeit) auf dem negativen Bereich der X-Achse der Biplot-Grafik und korrelierten miteinander recht gut (siehe Abbildungen 29, 30). Festgestellt werden konnte ferner, dass die Produkte, die sich auf der linken Hälfte der Biplot-Grafik befanden, am festesten und kohäsivsten waren. In diesem Bereich lagen die Proben FL\_S und FP\_S mit den höchsten Kohäsion- und Festigkeitsbewertungen. Diese Gruppe wurde mit den Attributen "fest bis sehr fest" sowie "kohäsiv bis sehr kohäsiv" seitens der Prüfpersonen beschrieben, wohingegen eine weitere Gruppe den Hauptattributen "mittlere Kohäsion" und "mittlere Festigkeit" sowie "fest"

entsprach. Zu dieser Gruppe gehören die Produkte KL\_S, FL\_M und KP\_M. Darüber hinaus bildet sich eine andere Gruppe mit den Produkten FL\_B, KP\_B und KL\_M, welche am häufigsten als "kohäsiv bis sehr kohäsiv" charakterisiert wurde. Dazu wurden Attribute wie "fest" und "weich" abwechselnd von den Prüfern erwähnt. Eine letzte Gruppe lässt sich mit den Hauptattributen "mittlere Festigkeit", "mittlere Kohäsion" sowie "weich" und "bröckelig" feststellen. Zu dieser Gruppe gehören KL\_B, FP\_M und KP\_S Produkte. Hierbei fiel den Panellisten es schwierig einen deutlichen Unterschied innerhalb der Früchtensegmente zu erkennen. Das Produkt FP\_B lag am rechten Ende der Biplot-Grafik und zeigte damit die geringsten Festigkeit- und Kohäsionswerteauf, sodass diese Probe mit den entsprechenden Attributen "bröckelig" und "weich" beschrieben wurde. Die Distanzierung der Proben FP S, FP\_M und FP\_B wies einen von den Panellisten erkannten Unterschied innerhalb der Gurkensegmente der gleichen Charge auf. Laut der Bewertung der Prüfpersonen konnte festgestellt werden, dass die Kohäsion- und Festigkeitswerte dieser Gurkencharge vom Stielende bis zum Blütenende hin abnahmen. Diese Tendenz wurde von den Prüfpersonen teilweise und nicht ständig wahrgenommen. Zudem erhielten die aus dem Anbaugebiet "F" stammenden Produkte höheren Kohäsion-und Festigkeitsbewertungen als die aus dem Anbaugebiet "K" stammentenden Produkten. Außerdem ließen sich die Proben von der Sorte "L" als fester und kohäsiver als die Proben "P" bezeichnen.

### 4.5. Vergleich der instrumentellen Methoden

## 4.5.1. Vergleich der Texturprofilanalyse mit der Warner-Bratzler-Methode

Die eingesetzten instrumentellen Methoden zur Ermittlung der Textur der Essiggurken sind tatsächlich unterschiedlich voneinander. Ebenfalls sind die ermittelten Parameter der beiden Methoden unterschiedlich und führen gemeinsam zur Charakterisierung der Textur der untersuchten Proben. Demzufolge ist ein Vergleich zwischen diesen Methoden und deren Parametern bedenkenswert. In diesem Vergleich werden Zusammenhänge zwischen den unterschiedlichen Parametern studiert und möglichst Beziehungen erforscht. Zum Vergleich wurde eine Rangkorrelation nach Spearman durchgeführt, im Zuge dessen die beurteilten Proben entsprechenden Rängen zugeordnet und miteinander verglichen wurden. Mittels der Korrelationsanalyse wird nach dem "Intensitätsgrad" eines Zusammenhangs zwischen zwei Merkmalen gesucht (Weichmann, 1997). Zum Vergleich wurden die beiden instrumentellen Parametern Methoden mit ieweils berücksichtigt. zwei deren Die erlangten

Korrelationskoeffizienten sind in den Tabellen 30 und 31 dargestellt. Gleichzeitig wird die graphische Darstellung der erhaltenen Beziehungen zwischen den untersuchten Parametern in Form einer Punktwolkengrafik aufgezeigt.

Tabelle 29: Korrelationskoeffizienten für die Beziehung zwischen Werten der TPA-Methode und der WB- Maximalkraft

	TPA-Härte mit	TPA-Härte mit	TPA-Kohäsion	TPA-Kohäsion
	25%	60%	mit 25%	mit 60%
	Kompression	Kompression	Kompression	Kompression
WB- Maximalkraft	-0,63	-0,37	0,37	0,75

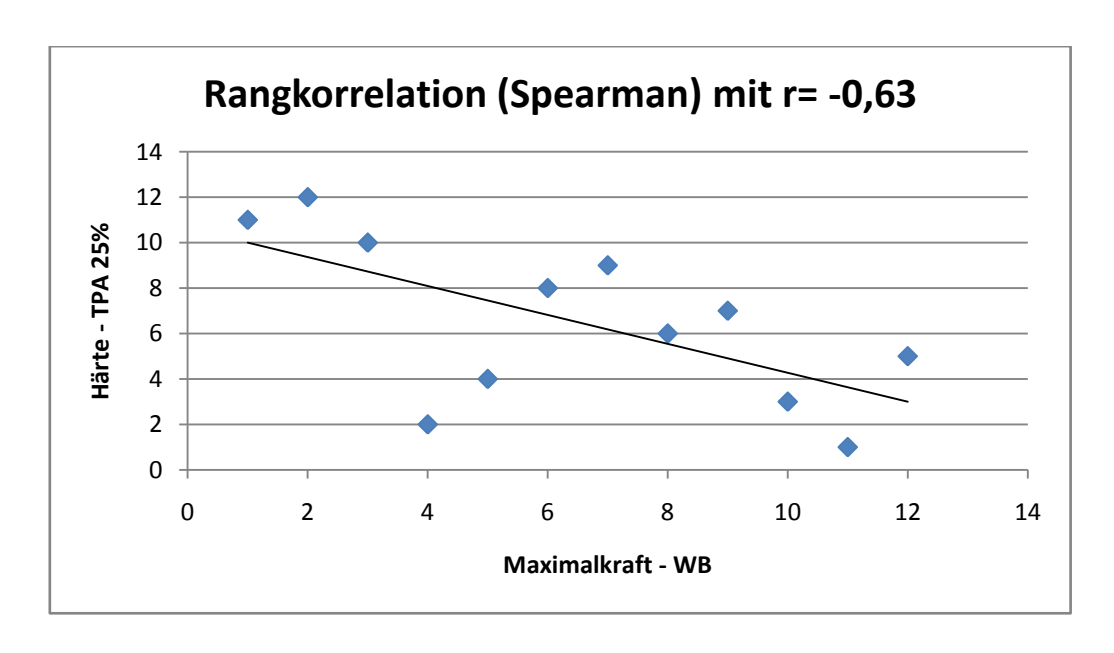


Abbildung 32: Rangkorrelation zwischen Härte - TPA25% und Maximalkraft - WB

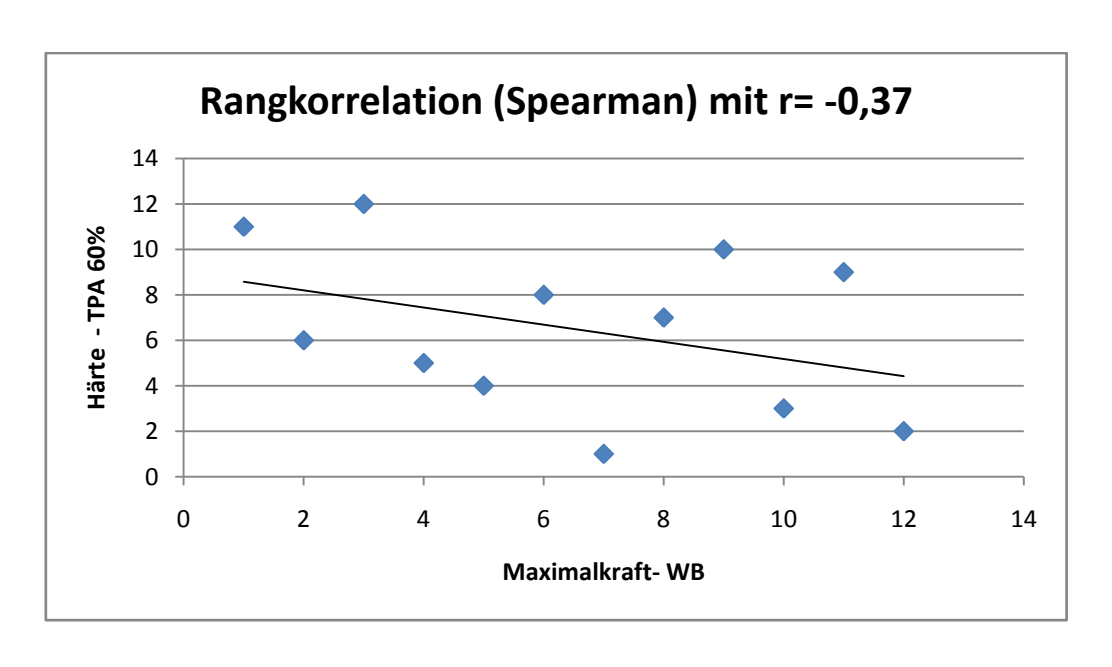


Abbildung 33: Rangkorrelation zwischen Härte - TPA 60% und Maximalkraft - WB

Zunächst wird der Zusammenhang zwischen der "WB-Maximalkraft" und den TPA-Parametern, "Härte" und "Kohäsion", verglichen. Die statistische Analyse nach Spearman ergab, dass es sich im Hinblick auf die Beziehung zwischen der "Maximalkraft" und dem TPA-Parameter "Härte" bei beiden vorgegebenen Kompressionen um eine negative Korrelation handelte. Auf der einen Seite und bei der TPA-Methode mit 25% Kompression hatte der Korrelationskoeffizient den Wert r= -0,63. Auf der anderen Seite und bei 60% Kompression betrug der Spearmankoeffizient um r= -0,37. Im Gegensatz dazu wies die "Maximalkraft" der WB-Methode eine positive Beziehung mit dem TPA-Parameter "Kohäsion" auf. Bei der Kompression von 25% betrug der Korrelationskoeffizient um r= 0,37. Darüber hinaus wurde eine höhere positive Beziehung mit einer Kompression von 60% mit r= 0,75 erlangt.

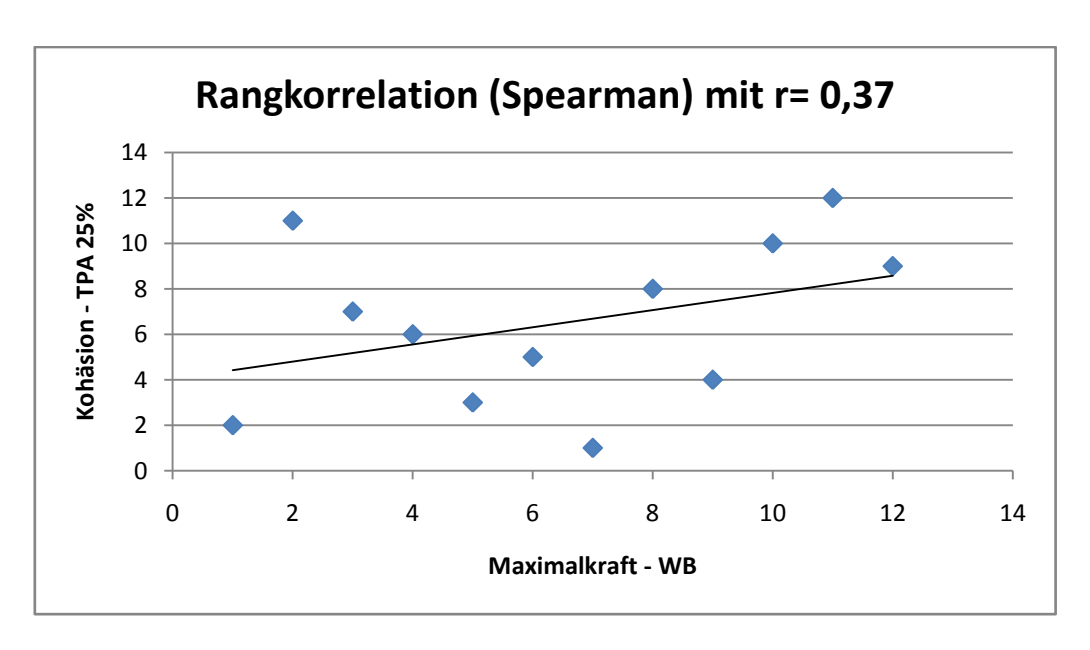


Abbildung 34: Rangkorrelation zwischen Kohäsion - TPA 25% und Maximalkraft - WB

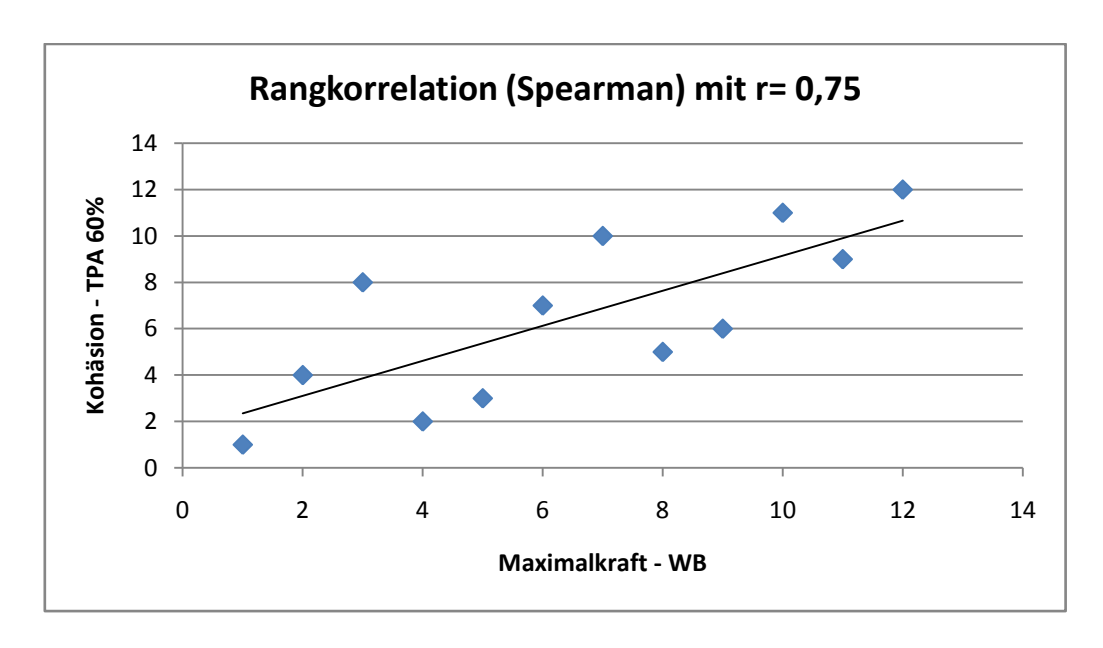


Abbildung 35: Rangkorrelation zwischen Kohäsion - TPA 60% und Kraft - WB

Tabelle 30: Korrelationskoeffizienten für die Beziehung zwischen Werten der TPA-Methode und der "WB- Steigung"

	TPA-Härte mit	TPA-Härte mit	TPA-Kohäsion	TPA-Kohäsion
	25%	60%	mit 25%	mit 60%
	Kompression	Kompression	Kompression	Kompression
Steigung-WB (Knackigkeit)	-0,41	0,28	0,37	0,77

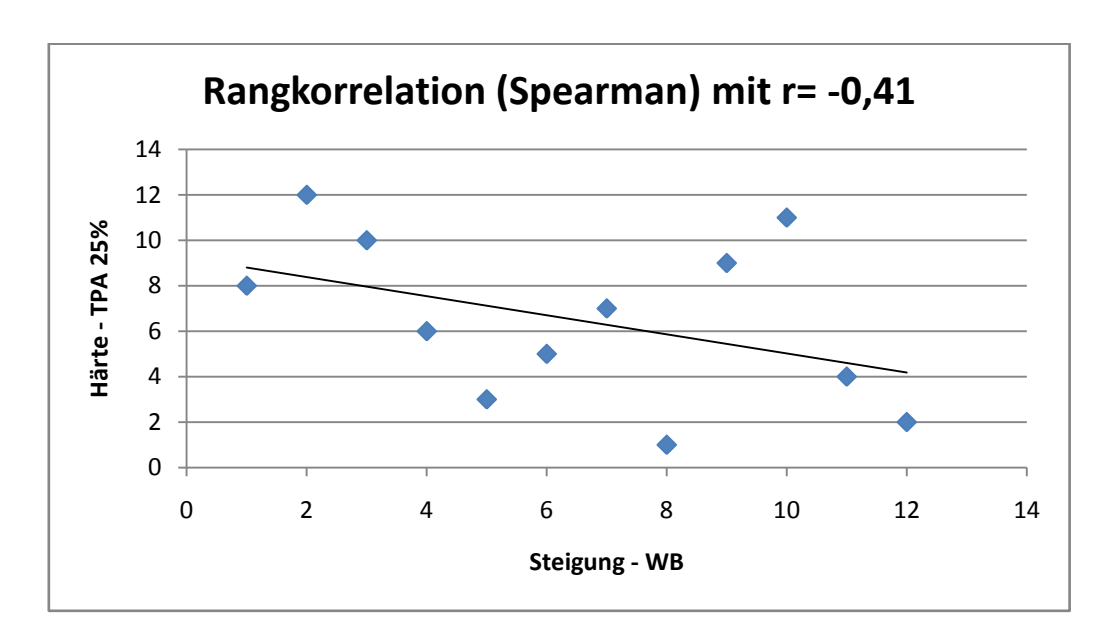


Abbildung 36: Rangkorrelation zwischen Härte - TPA 25% und Steigung - WB

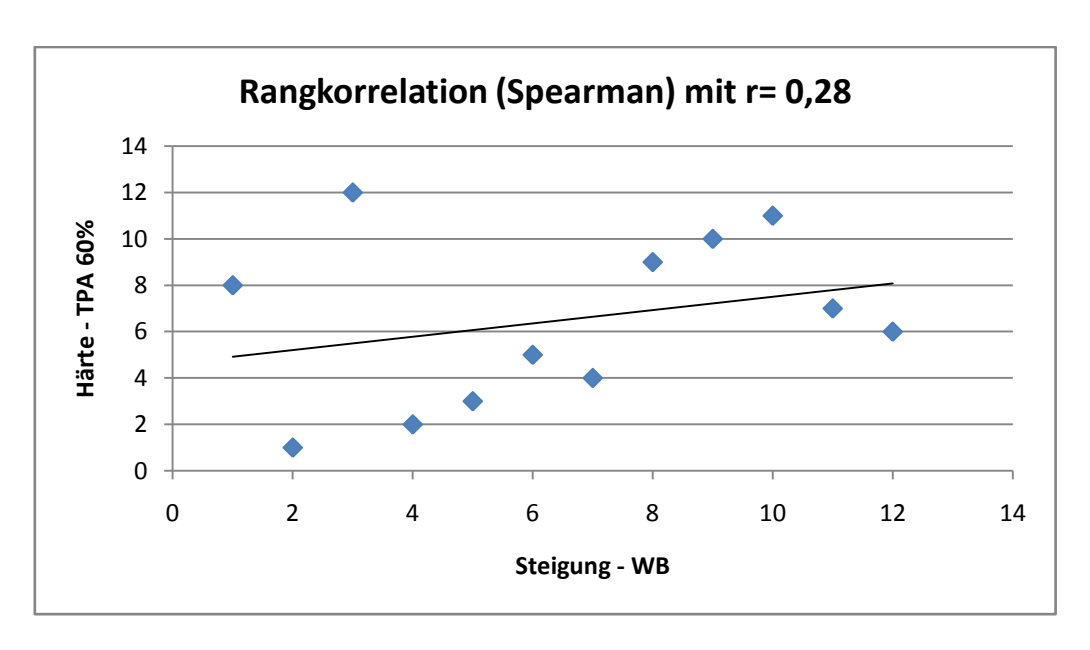


Abbildung 37: Rangkorrelation zwischen Härte - TPA 60% und Steigung - WB

Der Vergleich der beiden instrumentellen Methoden wird gleichfalls in Bezug auf den WB-Parameter "Steigung" untersucht. Die Korrelationsanalyse mit dem "TPA-Härte-Parameter" ergab einerseits eine negative Beziehung bei einer Kompression von 25% mit r= -0,41. Anderseits und bei der Kompression von 60% wurde eine positive Korrelation zwischen den beiden Parametern mit r= 0,28 determiniert. Eine positive Korrelation wurde zudem zwischen den Parametern "WB-Steigung" und "TPA-Kohäsion" im Falle beider eingestellten Kompressionen festgestellt, wobei der Korrelationskoeffizient sich bei 25% Kompression um r= 0,37 und bei 60% Kompression um r= 0,77 betrug.

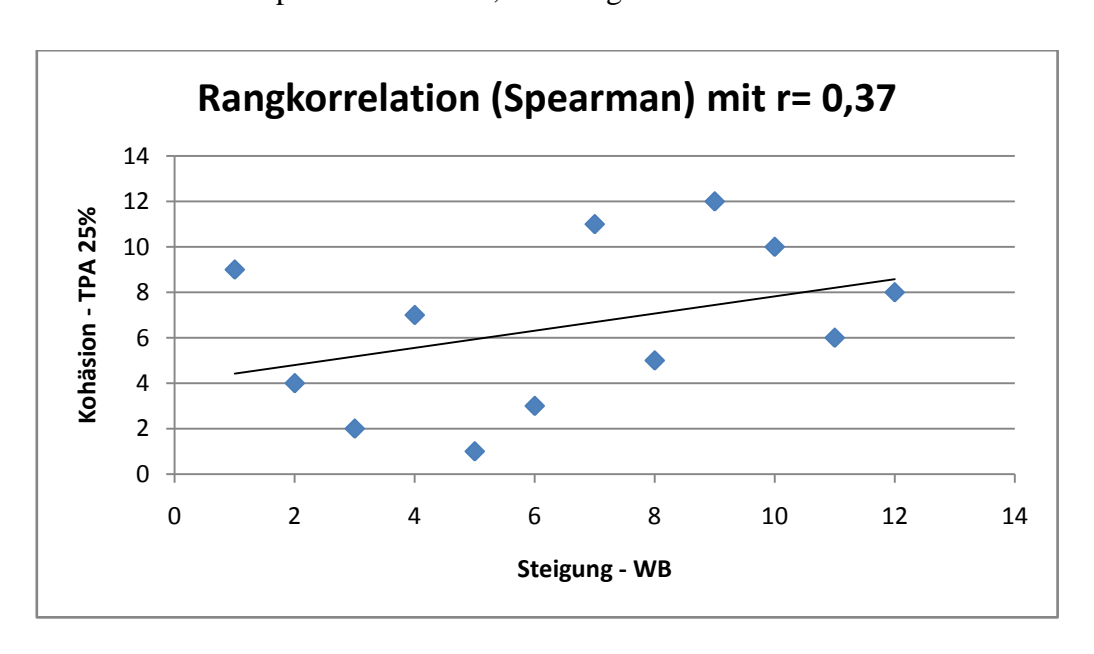


Abbildung 38: Rangkorrelation zwischen Kohäsion - TPA 25% und Steigung - WB

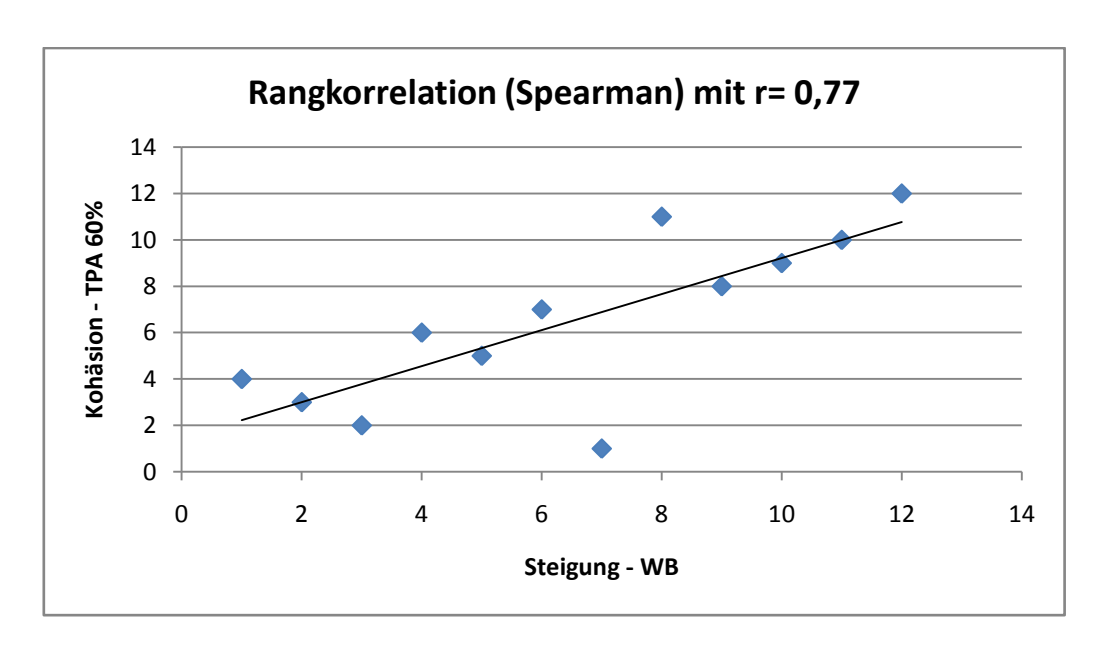


Abbildung 39: Rangkorrelation zwischen Kohäsion - TPA 60% und Steigung - WB

# 4.6. Korrelation zwischen den instrumentellen und den sensorischen Methoden 4.6.1. Vergleich der sensorischen Methoden und der TPA-Methode

Um die Beziehung zwischen den eingesetzten instrumentellen und sensorischen Methoden zu studieren, wurde eine Korrelationsanalyse nach Spearman durchgeführt. Diesbezüglich sind die erhaltenen Korrelationskoeffizienten den Tabellen 30 und 31 zu entnehmen. Die graphischen Darstellungen der entstandenen Beziehungen sind Gegenstand der Abbildungen 40-45 zu sehen.

Tabelle 30: Korrelationskoeffizienten für die Beziehung zwischen der Parameter der TPA Methode und sensorischen Methoden

	TPA-Härte mit 25% Kompression	TPA-Härte mit 60% Kompression	TPA- Kohäsion mit 25% Kompression	TPA- Kohäsion mit 60% Kompression
sensorische Bewertung (Festigkeit, Kohäsion)	-0,57	-0,47	0,29	0,46

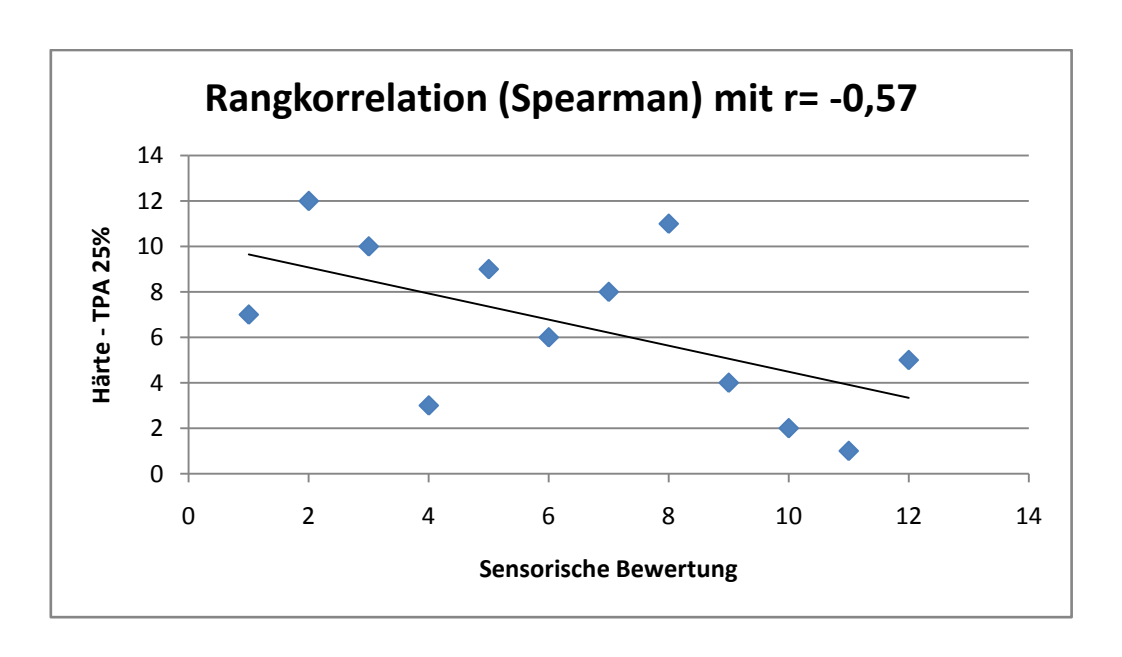


Abbildung 40: Rangkorrelation zwischen Härte - TPA 25% und sensorische Bewertung

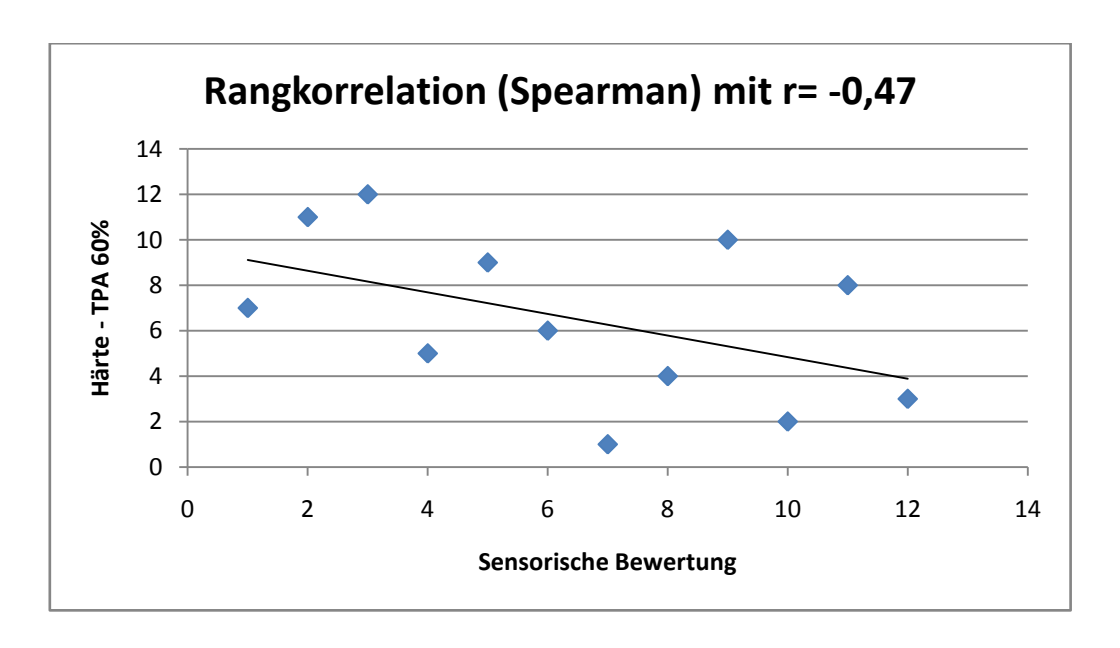


Abbildung 41: Rangkorrelation zwischen Härte - TPA 25% und sensorische Bewertung

Hinsichtlich des "TPA-Härte-Parameters" wurden negative Korrelationen mit den sensorischen Bewertungen mit r=-0.57 bei der Kompression von 25% und r=-0.47 bei der Kompression von 60% festgestellt.

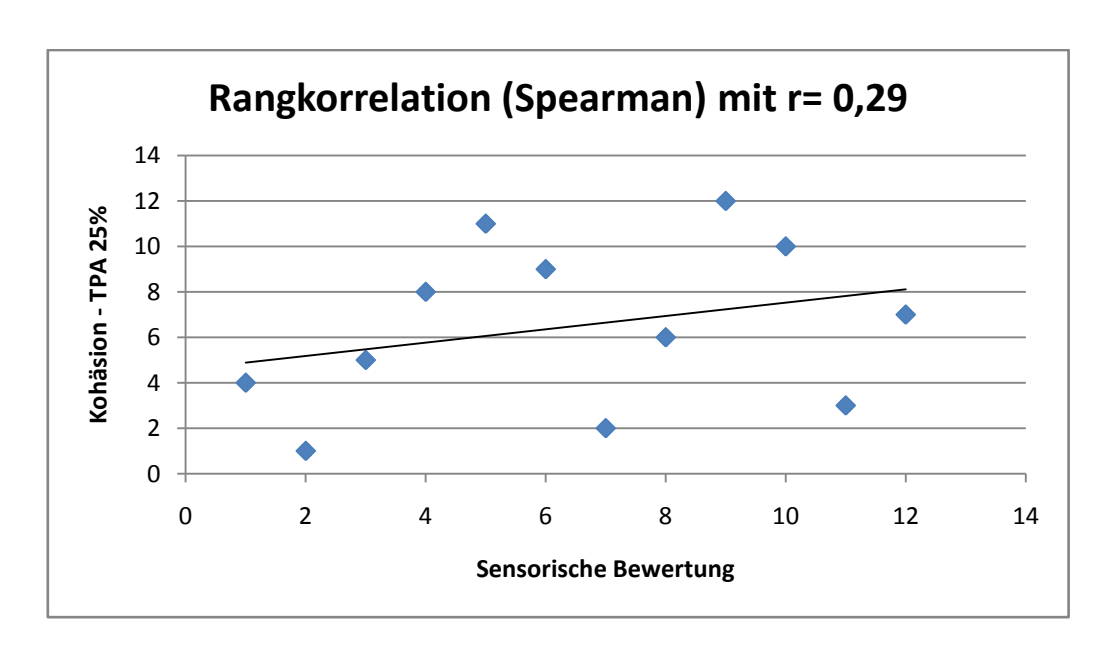


Abbildung 42: Rangkorrelation zwischen Kohäsion - TPA 25% und sensorische Bewertung

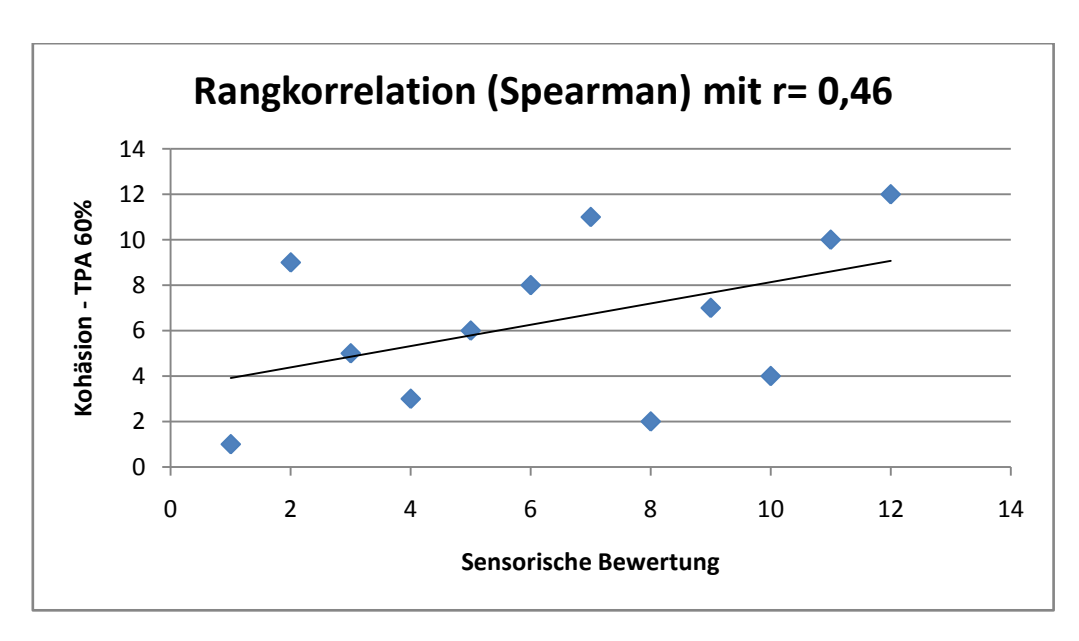


Abbildung 43: Rangkorrelation zwischen Kohäsion - TPA 60% und sensorische Bewertung

Die ermittelten Werte des TPA-Parameters "Kohäsion" bei beiden Kompressionsintensitäten korrelieren positiv mit den sensorischen Bewertungen. Auf der einen Seite betrug sich der Spearmankoeffizient um r=0.29 bei 25% Kompression. Auf der anderen Seite und bei 60% Kompression lag der Wert bei r=0.46.

# 4.6.2. Vergleich der sensorischen Methoden und der Warner-Bratzler-Methode

Um die Beziehung zwischen den ermittelten Parametern der Warner-Bratzler-Methode mit den sensorischen Bewertungen zu untersuchen, wurde eine Korrelationsanalyse nach Spearman durchgeführt. Dabei wurden die ermittelten Werte der "WB-Maximalkraft" sowie des WB-Parameters "Steigung" mit den sensorischen Beurteilungen in Betrachtung gezogen.

Tabelle31: Korrelationskoeffizienten für die Beziehung zwischen den Parametern der WB-Methode und sensorischen Methoden

	WB-MaximalKraft (Festigkeit)	WB-Steigung (Knackigkeit)
sensorische Bewertung (Festigkeit, Kohäsion)	0,71	0,04

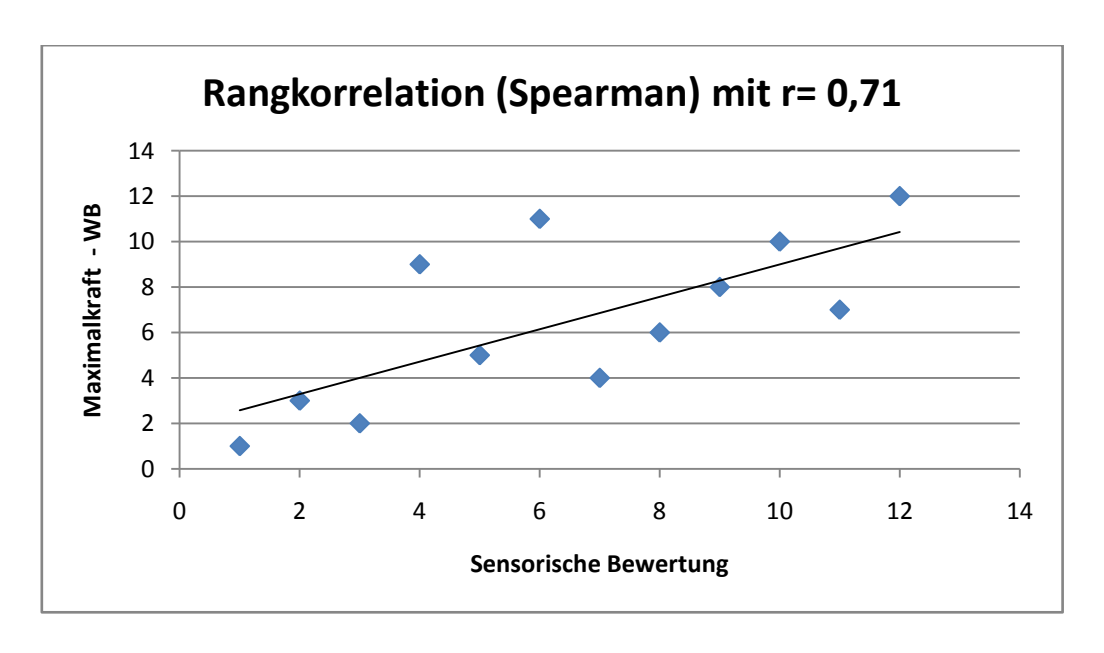


Abbildung 44: Rangkorrelation zwischen Maximalkraft - WB und sensorische Bewertung

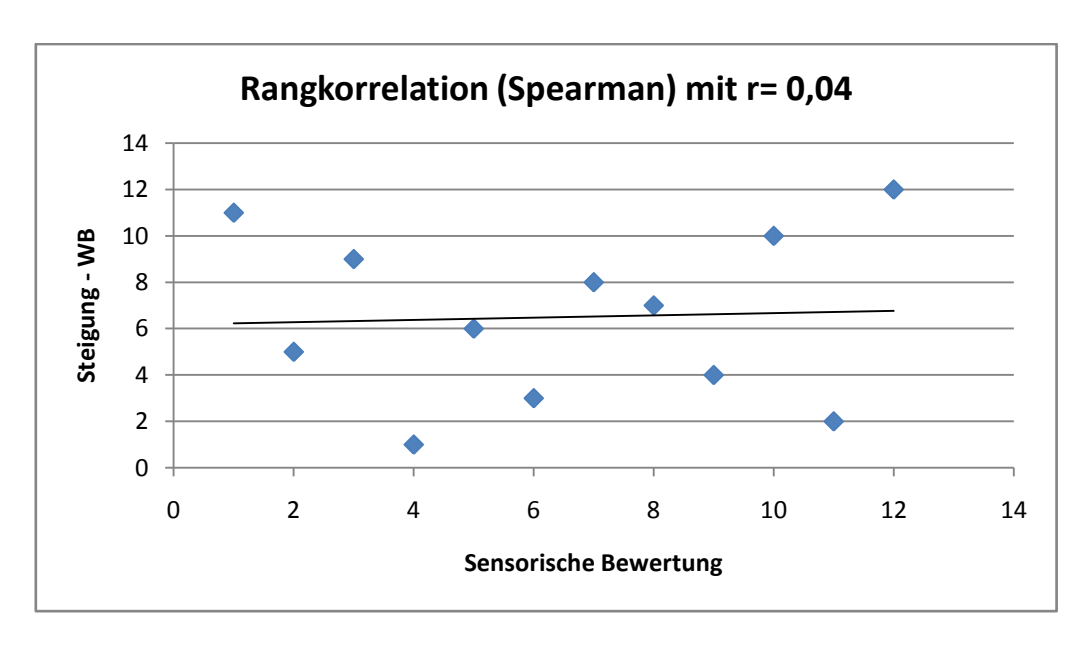


Abbildung 45: Rangkorrelation zwischen Steigung - WB und sensorische Bewertung

Einerseits wurde eine hohe positive Korrelation zwischen der ermittelten "Maximalkraft" und den sensorischen Bewertungen mit r=0.71 festgestellt. Anderseits stellte die Beziehung zwischen den sensorischen Bewertungen und dem Parameter "WB-Steigung" eine leicht positive Korrelation mit r=0.04 dar.

## 5. Diskussion

Bei den Ergebnissen wurden dank der statistischen Auswertung der Daten der verschiedenen eingesetzten instrumentellen sowie sensorischen Methoden zur Beurteilung der Textur von Essiggurken signifikante Unterschiede erfasst. Diese ermittelten Unterschiede sollten interpretiert und mit den Angaben der Fachliteratur verglichen werden.

### 5.1. Ermittelte Texturunterschiede mit der TPA-Methode

Bei den sieben ermittelten TPA-Parametern konnten dank der statistischen Analyse signifikante Unterschiede sowohl innerhalb der Gurkensegmente als auch innerhalb der Gurkenchargen mit beiden vorgegebenen Kompressionsintensitäten festgestellt werden. Allgemein wies die TPA-Methode mit der eingestellten Kompression von 60% mehr signifikante Unterschiede bei den meisten ermittelten Parametern als die 25% Kompression auf. Des Weiteren lieferte die TPA-Methode mit 25% Kompression keine Werte für den Parameter "Bissfestigkeit", welche nur bei der Kompressionsintensität von 60% dank der im System aufgezeichneten Brüche zu betrachten waren. Dieser Parameter ist dafür geeignet, die Knusprigkeit des untersuchten Materials zu ermitteln (Szczesniak, 1963). Die Betrachtung dieses Parameters bei der Ermittlung der Textur der Essiggurken wäre in den nächsten Studien sinnvoll. Vickers (1988) fand heraus, dass der Einsatz akustischer Methoden bei der Ermittlung der Knusprigkeit sehr bedeutsam ist. Durch die Verwendung eines speziellen Mikrofones könnten die Geräusche, die dank der ausgeübten Kompression entstehen würden, ermittelt werden. Ferner wäre es zu empfehlen, die akustischen Methoden mit der maschinellen TPA-Methode zu kombinieren und die entstandenen Ergebnisse in der Texturbestimmung der Essiggurken zu berücksichtigen.

Außerdem unterschieden sich bei den beiden eingestellten Kompressionen die aus dem Blütenende stammenden Proben von den anderen Segmenten zumeist signifikant, vor allem von dem stielendenden Segment. Breene et al. (1972) studierten die Textureigenschaften der Gurken und deren Segmente. In ihrer Arbeit wurde festgestellt, dass die stiel- und blütenendenden Segmente unterschiedliche Textureigenschaften besitzen. In der vorliegenden Arbeit war es schwierig, ein gleichhaltendes Verhältnis der Textur der Gurkensegmente anhand der TPA-Methode bei allen ermittelten Parametern festzustellen. Zumeist war zu beobachten, dass das mittlere Segment durchschnittliche Werte und somit die zweite Stelle

zwischen den beiden anderen Segmenten enthielt. Eine Ausnahme gab es bei der "Adhäsion", da das mittlere Segment insoweit die höchsten Werte besaß. Im Hinblick auf die Parameter "Kohäsion" sowie "Elastizität" innerhalb der beiden ausgewählten Kompressionen war es der Fall, dass die Textur vom Stiel- bis zum Blütenende hin abnimmt. Dies wurde bereits in vorangegangenen Studien, unter anderem von Stähle-Hamatschek (1985) und Weichmann (1997), festgestellt. Verwunderlich war es im Falle der ermittelten "Härte" innerhalb beider Kompressionen, wobei diese Tendenz nicht bestätigt werden konnte. Dies könnte auf die Art und Weise des Druckens bzw. des Pressens des Prüfkörpers auf die Probe zurückführen sein. In den nächsten Punkten wird eine weitere Interpretation dieses Phänomens folgen. Überdies hätten präzisere Ergebnisse bei der TPA-Methode erzielt werden können, wenn mit einem größeren Probenumfang gearbeitet worden wäre. Jedoch wurden in dieser Studie jeweils sieben Proben zur maschinellen Texturprofilanalyse verwendet. In der Fachliteratur von Weichmann (1997) und Breene (1972) wird empfohlen, mit einem minimalen Stichprobenumfang von zwölf Gurkenfrüchten zu arbeiten. Laut ihnen werden erst ab diesem Stichprobenumfang die Streuung der Ergebnisse minimiert und genauere Ergebnisse erzielt. In dieser Arbeit war es aufgrund des eingeschränkten Probenmaterials nicht möglich, eine größere Stichprobe in den Versuchen zu benutzen.

Auf der anderen Seite und im Hinblick auf die Gurkenchargen wurden signifikante Unterschiede innerhalb der Gurkensorten sowie innerhalb der Anbauorte ermittelt. Die Charge FL wies am meisten signifikante Unterschiede zu den anderen untersuchten Gurkenchargen auf. Häufiger waren die Unterschiede innerhalb der ausgewählten Gurkensorten zu beobachten, da die FL Charge beispielsweise oft signifikant unterschiedliche Textureigenschaften zu den Chargen FP und KP aufwies. Im Gegensatz dazu und in Bezug auf die Anbauorte waren weniger signifikante Unterschiede festzustellen. Weichmann (1997) betont zudem, dass neben genetisch bedingten Einflüssen noch Umwelteinflüsse zur Veränderung der Textur der Gurken berücksichtigt werden müssen.

### 5.2. Ermittelte Texturunterschiede mit der Warner-Bratzler-Methode

Ebenfalls wurden die erhaltenen Daten der WB-Methode mittels der statistischen Methoden ausgewertet. Dies ergab signifikante Unterschiede sowohl bei den Gurkensegmenten als auch bei den Gurkenchargen. Der aus der Blüte stammende Teil war bei der WB-Methode mit den

ermittelten Parametern signifikant unterschiedlich von den beiden anderen Segmenten. Dies unterstützt die Aussage, dass der Blütenendeteil abweichende Textureigenschaften als die übrigen Gurkenteile vor allem als der Sielenendeteil besitzt. Darüber hinaus wurde dank der WB-Methode zumeist bestätigt, dass die Textur vom Stiel- zum Blütenende hin abnimmt, was den Ergebnissen von Reichardt (2012) entspricht. Eine Ausnahme gab es im Falle des WB-Parameters "Steigung", welcher die Knackigkeit der Gurken beschreibt (Meurer, 1991 in Reichardt, 2012). Dabei enthielt das mittlere Segment bei den Chargen FP und FL die höchsten Werte. Dies könnte möglicherweise auf die Anbaubedingungen der Gurken aus dem Anbaugebiet "F" zurückführen. Insgesamt wurden mehr signifikante Unterschiede innerhalb der Anbauorte als innerhalb der Sorten festgestellt. Diesbezüglich fand Breene (1972) heraus, dass diese Unterschiede infolge starker saisonabhängiger Faktoren, wie zum Beispiel das Alter der Pflanze bzw. der Anlage, oder Wetterbedingungen bzw. Witterung, auftreten. Weichmann (1997) betonte ferner die erhebliche Wirkung der unterschiedlichen Witterung, welche das Ertragsverhalten der Gurken stark beeinflussen und auf diese Weise Änderungen an der Textur der Gurkenfrüchte verursachen. Wie bei der TPA-Methode wäre es empfehlenswert, bei der WB-Methode mit einem größeren Probenumfang zu arbeiten, um genauere und reproduzierbarere Ergebnisse zu erlangen. Des Weiteren wäre der Einsatz der akustischen Methoden bei der Ermittlung der "Knackigkeit" bzw. der "Knusprigkeit" sinnvoll.

### 5.3. Ermittelte Texturunterschiede mit den sensorischen Methoden

Die statistische Auswertung der Bewertung der Panellisten zeigte an, dass die Prüfpersonen grundsätzlich in der Lage waren, kleine Texturunterschiede innerhalb der untersuchten Gurkenfrüchte festzustellen. Allerdings wurden die zwölf untersuchten Proben nach den Textureigenschaften, namentlich "Kohäsion" und "Festigkeit", beurteilt. Anhand der Bewertung der Panellisten wurde festgestellt, dass diese Merkmale recht gut miteinander korrelierten. Fernerhin konnten die Proben in vier große Gruppen verteilt werden. Die Produkte mit den höchsten Kohäsion- und Festigkeitsbewertungen stammten aus dem stielendenden Segment, sodass diese Produkte zu einer gleichen Gruppe gehörten und mit den Attributen "fest bis sehr fest" sowie "kohäsiv bis sehr kohäsiv" beschrieben wurden. Zwei andere Gruppen ließen sich mit unterschiedlichen Bewertungen und Beschreibungen feststellen. Zu diesen Gruppen gehörten überwiegend die Proben, die aus dem mittleren Segment stammten, aber auch einige aus dem Stiel-und Blütenende. Zur Beschreibung der zu

diesen beiden Gruppen zugehörigen Proben wurden die Attribute "mittlere Kohäsion" sowie "mittlere Festigkeit" am häufigsten verwendet. Eine letzte Gruppe ließ sich mit drei Proben aus unterschiedlichen Segmenten sowie Gurkenchargen bilden. Die aus dem Blütenende stammende Probe der FP-Charge wurde mit den niedrigsten Kohäsion- und Festigkeitswerten sowie mit den entsprechenden Attributen "bröckelig" und "weich" charakterisiert. Der Abstand dieser Probe zu den anderen aus der gleichen Charge, namentlich FP\_M und FP\_S, zeigte an, dass die Panellisten die Tendenz der Abnahme der Textureigenschaften vom Stiel zur Blüte erkannt haben. Den Teilnehmern fiel es schwierig, ständig deutliche Unterschiede innerhalb des Probenmaterials festzustellen. Zu Fehlern könnte geführt haben, dass die Panellisten nicht genug geschult wurden. Wie in der Literatur von Murray et al. (2001) erwähnt wurde, erfordert eine sensorische Texturprofilanalyse eine umfangreiche und dauerhafte Schulung der Panellisten. Während der Schulung werden die Prüfpersonen in die Methoden eingeführt und gemeinsam passende Attribute zur Charakterisierung jedes einzelnen Merkmals anhand von Referenzprodukten festgesetzt (Busch-Stockfisch, 2015). Am besten wäre es, wenn diese Merkmale sich an den Parametern der maschinellen TPA anpassen würden. Des Weiteren haben die neuen Schnellmethoden wie Sorted Napping tatsächlich den Nachteil, dass die Proben alle gleichzeitig an den Panellisten eingereicht werden sollen, welches eine nachträgliche Einbindung der Proben nicht ermöglicht (DLG, 2016). Darüber hinaus ist es bei den Gurkenfrüchten besonders kompliziert, geringfügige Texturunterschiede zu erkennen, da das Fruchtgewebe aus drei unterschiedlichen Zonen, namentlich der Fruchtschale (Exocarp), dem Fruchtfleisch (Mesocarp) sowie dem Kernhaus (Endocarp), besteht. Da diese Bereiche eine deutlich unterschiedliche Textur, unter anderem Festigkeit und Kohäsion, aufweisen, sollten die Panellisten die Probenscheiben mittig und nicht nur am Rand wie beim gewöhnlichen Konsum der Essiggurken zerbeißen. Vor der Verkostung wurde zwar die Schnittstelle angezeigt, dennoch sollte ausdrücklich mitgeteilt werden, dass die Scheiben mittig zerteilt werden sollen. Außerdem stellte Thompson (1992) fest, dass die Härte von den Exocarp- und Mesocarpbereichen mit der Größe der Gurkenfrüchte zunimmt. Jedoch sahen die zu beurteilenden Gurkenscheiben nicht alle gleichmäßig aus. Dies könnte die Beurteilung der Panellisten beeinflusst haben.

# 5.4. Vergleich der instrumentellen Methoden

Die TPA-Methode liefert deutlich mehr Parameter zur Charakterisierung der Textur von Essiggurken als die WB-Methode. In Bezug auf die Hauptparameter dieser Methoden wurde

der Zusammenhang zwischen diesen beiden mechanischen Messverfahren geprüft. Im Wege der Berechnung der Korrelationskoeffizienten wurde erkundet, dass der "TPA-Härte-Parameter" sich mit den WB-Parametern negativ korrelieren ließ. Eine Ausnahme galt bei der Kompression von 60% mit dem Parameter "WB-Steigung", welcher die Knackigkeit der Gurken beschreibt. Auf der anderen Seite ließ sich der TPA-Parameter "Kohäsion" mit beiden WB-Parametern positiv korrelieren, wobei die TPA-Methode mit 60% Kompression wesentlich höhere Korrelationen als die Kompression von 25% erzielte. Fernerhin konnte anhand der WB-Methode zumeist bestätigt werden, dass die Textur der untersuchten Gurkensegmente vom Stielende bis zum Blütenende hin abnahm, was den Ergebnissen der Fachliteratur von Weichmann (1997) und Reichardt (2012) entspricht. Diese Tendenz konnte anhand der TPA-Methode hauptsächlich hinsichtlich des Parameters "Kohäsion" bestätigt werden, welcher die höchsten positiven Korrelationen mit den WB-Parametern aufwies. Im Gegensatz dazu konnte die gleiche Tendenz beim TPA-Parameter "Härte" nicht bewiesen werden. Die "Härte" oder wie bereits definiert "Kraft zur Erreichung einer vorgegebenen Deformation" wird durch das Pressen auf die Probe vom Texture Analyser ausgeübt. In den Versuchen wurde der Texture Analyser mit einem zylindrischen Prüfkörper bzw. Stempel mit einer flachen Fläche eingerichtet. Der eingesetzte Prüfkörper hatte eine deutlich größere Fläche als die zu untersuchende Probenfläche. Breene et al. (1975) fanden heraus, dass wenn die Fläche des Kompressionstempels grösser als die Probenfläche ist, lassen sich die aufgezeichneten Kräfte auf die Kompression zurückführen und andersrum die Kräfte auf eine Kombination zwischen Kompression und Scherkräfte zurückführen. Allerdings ist die Probenfläche von Gurken einheitlich nicht homogen aufgebaut und besteht vielmehr aus drei unterschiedlichen Zonen. Es könnte sein, dass während des Drückens bzw. Pressens zum großen Teil der äußere Bereich (Exocarp) und der damit verbundene Mesocarp-Bereich betroffen sind, welche eine höhere Festigkeit als der innere Bereich (Endocarp) besitzen. Wenn durch das Druckverfahren zum Großteil die Kraft der relativ festen Bereiche gemessen wird, könnte dies die Messergebnisse und somit die erwartete Tendenz innerhalb der Gurkensegmente beeinflussen. Im Rahmen der Arbeit von Jeon et al. (1975) wurde bei bestimmten Versuchsreihen auf die Fruchtschale verzichtet. Dies könnte eine Alternative darstellen, um den Zusammenhang zwischen der Größe des Prüfkörpers und der Probendruckfläche in den nächsten Arbeiten weiter zu studieren. Dieses Problem tritt bei der WB-Methode eher nicht auf, da es sich von Beginn an um einen Schneidprozess und nicht um eine Kompression handelt. Interessant wäre es zugleich, mikroskopische Untersuchungen des Fruchtgewebes sowie der Zellgrößen in die Beurteilung mit zu berücksichtigen. Darüber hinaus stellte Weichmann (1997) bei seiner Untersuchung der Vergleichbarkeit verschiedener Methoden zur Texturermittlung von Einlegegurken hohe positive Korrelationen zwischen der maschinellen TPA und der Scherkraftmessung in Bezug auf die Festigkeit und auf die Knackigkeit fest. Jedoch wurden diese Korrelationen bei frischen Einlegegurken erlangt. Diese Ergebnisse sind mit Vorsicht zu betrachten, da die Textur der Gurkenfrüchte nach dem Konservierungsprozess ihre Eigenschaften verändern könnte. Außerdem enthalten die konservierten Einleggurken durch die Absorption des Aufgusses mehr Wasser in ihren Gewebezellen als die unverarbeiteten Früchte, welches einen möglichen Einfluss auf die gesamte Textur besonders auf die Festigkeit bzw. die Knackigkeit des Materials hat. Da in dieser Arbeit nur mit eingelegten Gurken gearbeitet wurde, ist es kritisch, die Ergebnisse direkt miteinander zu vergleichen. Dementsprechend ist es zu empfehlen, sowohl an frischen als auch an verarbeiteten Einlegegurken zu arbeiten und durch die Konservierung mögliche entstandene Veränderungen bezüglich der Textur zu untersuchen. Des Weiteren ist es ratsam, mit einem größeren Probenumfang zu arbeiten, um genauere und reproduzierbare Ergebnisse zu erhalten.

## 5.5. Vergleich der instrumentellen und sensorischen Methoden

Die entstandenen Korrelationen zwischen den instrumentellen und sensorischen Methoden waren insgesamt befriedigend. Auf der einen Seite erzielte die WB-Methode mit beiden Parametern "Steigung" und "Maximalkraft" eine positive Korrelation mit den sensorischen Bewertungen. Vor allem war die Beziehung zwischen der ermittelten "Maximalkraft" mit den sensorischen Bewertungen besonders gut. Im Hinblick auf die "Maximalkraft" war es möglich, geringfügige Texturunterschiede innerhalb der Gurkenchargen sowie innerhalb deren Segmente festzustellen. Innerhalb der Segmente herrschte die Tendenz, dass die Festigkeit vom Stielende bis zum Blütenende hin abnahm. Dazu enthielten die Proben aus dem Anbaugebiet "F" relativ höhere Werte als die anderen aus dem Anbaugebiet "K". Diese Aussagen konnten zum großen Teil mittels der sensorischen Beurteilung bestätigt werden. Dies unterstützt die Darlegung, dass die WB-Methode zur Texturermittlung von Essiggurken gut geeignet ist. Auf der anderen Seite ließ sich die TPA-Methode mit den sensorischen Angaben alternierend korrelieren. Einerseits war die Beziehung mit dem TPA-Parameter "Härte" im Falle beider eingestellten Kompressionen eher negativ. Die dank des TPA-Parameters "Härte" ermittelte Festigkeit ließ sich anschließend mit den sensorischen

Bewertungen schlecht korrelieren. Dies unterstützt die Hypothese, dass der TPA-Parameter "Härte" bei der in dieser Studie eingesetzten TPA-Methode nicht hinreichend effektiv war, die Festigkeit der untersuchten Gurken wie erwartet zu ermitteln. Eigentlich werden bei den eingesetzten sensorischen Methoden die Gurken quer zur Längsachse der Früchte zusammengepresst bzw. gebissen. Dagegen werden bei der maschinellen Texturprofilanalyse die Gurkenscheiben flach auf eine Platte gelegt und daraufhin zusammengepresst. Dieses Pressen erfolgt nicht punktuell wie mit den Zähnen bei der sensorischen TPA sondern flächig mit Hilfe des verwendeten Stempels (Weichmann, 1997). Darüber hinaus und dadurch, dass die Fläche des Stempels bzw. Prüfkörpers viel grösser als die Gurkenscheibe ist, wird die ermittelte Kraft auf eine pure Kompression und nicht auf eine Kombination zwischen Scherkräfte und Kompression zurückführen. Mit einem kleineren und besser geeigneten Druckstempel würde vermutlich die ermittelte "Härte" mittels der TPA-Methode bessere Zusammenhänge mit den sensorischen Bewertungen im Hinblick auf die Festigkeit erzielen. Anderseits glich die Beziehung mit dem TPA-Parameter "Kohäsion" einer positiven Korrelation. Dabei erzielte die TPA-Methode mit der Kompressionsintensität von 60% bessere Zusammenhänge als die TPA-Methode mit 25% Kompression. Die statistische Analyse der Werte des TPA-Parameters "Kohäsion" konnte nachweisen, dass die "Kohäsion" oder wie bereits begrifflich bestimmt der "Grad der Deformierbarkeit des Materials vor dem Zerbrechen" der Gurkenproben vom Stielende bis zum Blütenende hin abnahm. Diese Tendenz wurde instrumentell dank der maschinellen TPA-Methode belegt und gleichzeitig sensorisch von den Panellisten wahrgenommen. Der Vergleich zwischen der maschinellen Methoden und der sensorischen Wahrnehmungen bei Essiggurken könnte in nächsten Studien erweitert werden, indem die Beziehung mehrerer instrumentellen Parameter unter anderem die "Knackigkeit" bzw. die "Knusprigkeit" mit den entsprechenden sensorischen Definitionen abgestimmt werden könnte. Am besten wäre es, mit Referenzprodukte zu arbeiten, damit die Prüfer ihr Gefühl gegenüber dem zu untersuchendem Merkmal entwickeln könnten. Da in dieser Arbeit auf die Festigkeit und Kohäsion wert gelegt wurde, wäre die Ermittlung der "Knackigkeit" sowie der "Knusprigkeit" der Essiggurken, ein weiterer interessanter Schwerpunkt bei den nächsten Arbeiten instrumentell, akustisch sowie sensorisch, zu untersuchen. Zduneck et al. (2010) haben bereits die Beziehung ziwschen der "Knackigkeit" und der "Knusprigkeit" bei Äpfel studiert. In der Studie wurden instrumentelle und akustische Prüfmethoden kombiniert sowie sensorische Beurteilungen eingesetzt. Laut ihnen korrelierten die beiden Merkmale recht gut miteinander (Korrelationskoeffizient >0,99). Die akustischen Methoden dienten dazu die entstehenden Geräusche zu Ermitteln. Eine weitere Erhöhung der Kompressionsintensität bei der TPA-Methode wäre denkbar, um die mögliche Korrelation mit der akustischen Diagnose dank der Schallemission während des Kompressionsvorgangs, weiter zu betrachten. Allerdings sollte auf die Lagerbedingungen des Untersuchungsmaterials geachtet werden, da sie bei der Bestimmung der Textur eine wichtige Rolle spielen. Zudem erwähnten Zduneck et al. (2010), dass die Lagerzeit sowie Lagermethode die "Knackigkeit" und "Knusprigkeit" der untersuchten Apfelproben beeinflusst haben.

Darüber hinaus stellte Breene (1972) fest, dass die Standardisierung der zu untersuchenden Gurkenproben sehr schwierig zu erzielen sei. Um die Inhomogenität des Probenmaterials so gut wie möglich zu minimieren, ist es empfehlenswert, mit einer ungefähr gleichen Größe der Untersuchungsproben die Versuche durzuführen. Dabei wäre es interessant, zusätzlich auf die Positionierung der Gurkensegmente in den Gläsern zu achten, um den Pasteurisationseinfluss auf die einzelnen Segmente zu betrachten.

### 6. Zusammenfassung

Um die Textur von Lebensmitteln zu beurteilen, werden sehr unterschiedliche Methoden verwendet. Diese Methoden lassen sich in zwei große Hauptgruppen, nämlich mechanische und sensorische Prüfmethoden, unterteilen. Ziel dieser Arbeit war es, geringfügige Texturunterschiede von Essiggurken anhand instrumenteller sowie sensorischer Methoden festzustellen. Dafür wurden jeweils zwei mechanische und sensorische Methoden eingesetzt. zwei Ferner wurden zum Einsatz der Texturprofilanalyse verschiedene Kompressionsintensitäten ausgewählt. Im Falle der einen mit 25% Kompression wird die Gurkenprobe belastet, ohne dass sie zerbricht. Demgegenüber wird bei der anderen mit 60% Kompression die Struktur der Probe derart zerstört, dass im System ein Bruch aufgezeichnet wird. Darüber hinaus wurde eine weitere Standardmethode, die Warner-Bratzler-Methode, zur Ermittlung der Textureigenschaften der Gurken herangezogen. Bei den sensorischen Prüfungen wurde ferner die Sorted Napping-Methode mit Ultra Flash Profiling kombiniert, um die Gurkenproben nach Ähnlichkeiten in kleine Gruppen einzuordnen und anschließend zu beschreiben. Dank der statistischen Auswertungen konnten signifikante Texturunterschiede sowohl innerhalb der untersuchten Gurkenchargen als auch innerhalb deren Segmente mittels der eingesetzten instrumentellen sowie sensorischen Methoden ermittelt werden. Des Weiteren wurde der Vergleich innerhalb der mechanischen Messverfahren anhand der entstandenen Ergebnisse der Hauptparameter der beiden Methoden studiert. Der TPA-Parameter "Härte" korreliert bei beiden eingestellten Kompressionen mit den WB-Parametern zumeist negativ. Dagegen erzielte der TPA-Parameter "Kohäsion" eher positive Beziehungen mit den Scherkraftmessungen der WB-Methoden, wobei die TPA-Methode mit 60% Kompression bessere Zusammenhänge als die TPA-Methode mit 25% aufwies.

Ein Vergleich der entstandenen Ergebnisse der instrumentellen Methoden mit den sensorischen Bewertungen war bedenkenswert. Dabei ließ sich ebenfalls der "TPA-Härte-Parameter" mit den sensorischen Beurteilungen negativ korrelieren. Hingegen korrelierte der TPA-Kohäsion-Parameter eher positiv und enthielt mit der Kompression von 60% höhere Korrelationswerte als mit der Kompression von 25%. Ferner wurde der stärkste Korrelationskoeffizient mit der "Maximalkraft" bezüglich der WB-Methode ermittelt. In diesem Vergleich wurden die Gurkenproben im Hinblick auf ihren Chargen sowie Segmente untersucht. In der Literaturrecherche wurde diesbezüglich oft erwähnt, dass die Textur des stielendenden Teils der Gurken sich von dem blütenendenden Teil unterscheide. Überdies

nehmen die Textureigenschaften der Gurken vom Stielende bis zum Blütenende hin ab. Diese Tendenz wurde zum großen Teil sowohl von der Warner-Bratzler-Methode als auch von der TPA-Methode mit dem Kohäsion-Parameter vor allem bei einer Kompression von 60% nachgewiesen. Dies unterstützt die Aussage, dass die instrumentellen Methoden, nämlich die WB-Methode und die TPA-Methode besonders mit 60% Kompression, für die Ermittlung der Textur von Essiggurken besonders gut geeignet sind. Mit der Überprüfung der Art und Weise des Zusammenhangs zwischen dem Messstempel Probendruckfläche bei der TPA-Methode wären bessere Ergebnisse bezüglich dieser Methode zu erwarten. Zudem sei laut der Literatur die Textur von Einlegegurken von genetischen Einflüssen sowie Umwelteinflüssen stark abhängig. In dieser Arbeit war es schwierig, eine aussagekräftige Feststellung über die verwendeten Gurkensorten sowie Anbauorten zu treffen. Laut der Korrelation der maschinellen sowie sensorischen Bewertungen wurde festgestellt, dass die Sorte "L" fester und kohäsiver als die Sorte "S" zu sein neigt. Anderseits wies das Anbaugebiet "F" oft signifikante Unterschiede vom Anbaugebiet "K" auf. Diesbezüglich wird angenommen, dass die Witterungsmengen eine ausschlaggebende Rolle spielen.

#### 7. Literaturverzeichnis

Abdi H.; Williams L. J.: Tukey's Honestly Significant Difference (HSD) Test. In Neil Salkind (Ed.), Encyclopedia of Research Design. Thousand Oaks, CA:Sage, 2010

Alhamdan A. M.; Sourour M. H.; Diaeldein O. Abdelkarim; Younis M.: Texture profile analysis of date flesh for some Saudi date cultivars. International Journal of General Engineering and Technology, 2014; 3: 1-10

Bourne M.: Texture Profile Analysis. Food Technology, 1972; 32:62-66

Breene W. M.; Davis D. W.; Chou H. E.: Texture profile analysis of cucumbers. Journal of Texture Studies, 1972; 37: 113-117

Breene W. M.: Application of Texture Profile Analysis to instrumental food texture Evaluation. Journal of Texture Studies, 1975; 6: 53-82

Busch-Stockfisch, M. (Hrsg.): Praxishandbuch der Sensorik in der Produktentwicklung und Qualitätssicherung. Hamburg: Behr's Verlag, 2015

Ben Amor T.: Investigating sensory properties of different potato varieties. Masterproject Hochschule Neubrandenburg, 2016

Daoud M. Y.: Comparison of different instrumental methods to analyse the texture of different potato varieties. Masterproject Hochschule Neubrandenburg, 2016

Dar L. Y.; Light M.: Food texture design and optimization. UK, Wiley's Verlag, 2014

De Huidobro R.; Miguel F. E.; Blázquez. B.; Onega E.: A comparison between two methods (Warner-Bratzler and Texture profile anlysis) for testing either raw meat or cooked meat. Meat Science, 2005; 69: 527–536

DLG: Sensorik-Glossar. Online im Internet: URL: http://www.dlg.org/sensorikglossar.html Stand: 30.10.2017

DLG Ausschuss Sensorik (Hrsg.): Sensorische Analyse: Methodenüberblick und Einsatzbereiche. DLG-Verlag GmbH, Frankfurt/Main 2016.

Grandos C.; Acevedo D.; Cabeza A.; Lozano A.: Texture Profile Analysis in bananas Pelipita, Hartón and Topocho. Información Tecnológica, 2014; 25: 35-40

Harter H. L.: Tables of range and studentized range. Annals of Mathematical Statistics, 1960; 31, 1122–1147

Heiss R.; Witzel H.: Objektive Methoden zur Messung der Konsistenz fester Lebensmittel. Institut für Lebensmitteltechnologie und Verpackung e. V., München, 1968

ISO 8589: 2007-12: Sensory analysis- General guidance for the design of test rooms

ISO 5492: 2008-10: Sensory analysis- Vocabulary

Jeon, I. J.; Breene W.M.; Munson S. T.: Texture of cucumbers: Correlation of instrumental and sensory measurements. Journal of Food Science, 1973; 38: 334-337

Jeon, I. J.; Breene W. M.: Texture of fresh-pack whole cucumber pickles: Correlation of instrumental and sensory measurements. Journal of Texture Studies, 1975; 5: 399-409

Köhler W.: Biostatistik. Berlin: Springer Verlag, 2012

Lawless H. T.; Heymann H.: Sensory evaluation of food. New York: Springer Verlag, 1998

Llorca E.; Puig A.; Hernando I.; Salvador A.; Fiszman M. S.; Lluch M. A.: Effect of fermentation time on texture and microstructure of pickled carrots. Journal of the Science of Food and Agriculture, 2001; 81: 1553- 1560

Magnussen A.: Stressbehandlungen bei Einlegegurken (Cucumis Sativus L.). Dissertation. München, 2001

Mang J.: Texturerhöhung von Einlegegurken. Diplomarbeit. Institut für Lebensmitteltechnologie des Departments für Lebensmittelwissenschaften und –technologie der Universität für Bodenkultur Wien, 2012

Meurer P.: Einfluss pflanzeneigener Enzyme und anderer Faktoren auf die Textur fermentierter Gurken. Dissertation. Stuttgart, 1991

Murray J. M.; Dekahunty C. M.; Baxter I. A.: Descriptive sensory: past, present and future. Food Reasearch International, 2001; 34: 461-471

Pagès J.; Cadoret M.: The sorted Napping: A new holistic approach in sensory evaluation. Journal of Sensory Studies, 2010; 25: 637-658

Rumsey D. J.: Statistik für Dummies. 3. Auflage. Weinheim. Wiley-VCH Verlag, 2015

Rosenthal A. J.: Food Texture: Measurement and perception. 1. Auflage. Maryland: Aspen Publishers, Inc., 1999

Reichardt J.: Vergleich von akustischen, instrumentellen und sensorischen Methoden zur Ermittlung der Knackigkeit von Essiggurken. Bachelorarbeit Hochschule Neubrandenburg, 2012

Schubring R.: Untersuchung von Einflussfaktoren auf die instrumentelle Texturprofilanalyse (TPA) von Fischerzeugnissen. Deutsche Lebensmittel-Rundschau 1, 1999: 95; 373-386

Schweitzer U.: Statistik mit Excel. Poing. Franzis, 2003

Stable Micro Systems (Hrsg.): Acoustic Envelope Detector: User Guide. 1. Aufl. Wien: Winopal, 2005

Stähle-Hamatschek S.; Bohrer B.; Buckenhüskes H.; Gierschner K.: Instrumentelle Texturmessung an Einlegegurken. Industrielle Obst- und Gemüseverwertung 1985; 70: 303-309

Szczesniak A.: Classification of textural characteristics. General Foods Corporation, 1963; 385 – 389

Thompson R. L.; Fleming H. P.; Haman D. D.; Monroe R. J.: Method for Determination of firmness in cucumbers slices. Journal of Texture Studies, 1982; 13: 311-324

Thompson R. L.; Fleming H. P.; Haman D. D.; Monroe R. J: Delineation of puncture forces for exocarp and mesocarp tissues in cucumber fruit. Journal of Texture Studies, 1992; 23: 169-184

Vickers Z. M.: Instrumental measures of crispness and their correlation with sensory assessment. Journal of Texture Studies, 1988; 19: 1-14

Weichmann J.: Grundlagen der Texturmessung an Einlegegurken. Industrielle Obst- und Gemüseverwertung, 1997; 5: 156-158

Weichmann J.: Vergleichbarkeit verschiedener Methoden der Texturmessung an Einlegegurken. Industrielle Obst und Gemüseverwertung, 1997; 6: 178-180

Zduneck A.; Konopacka D.; Jesionkowska K.: Crispness and Crunchiness judgment of apples based on contact acoustic emission. Journal of Texture Studies, 2010; 41: 75-91

Zhang H.: Pflanzenbauliche Einflüsse auf die Textur parthenokarper Einlegegurken. Dissertation. Technische Universität München, 1994

## 8. Verzeichnis der Abbildungen und Tabellen

## 8.1. Abbildungen

Abbildung 1: Fruchtgewebe einer Gurkenscheibe	9
Abbildung 2: Fließschema der Essiggurkenherstellung	11
Abbildung 3: Esserfahrung: Die Wahrnehmung von Lebensmitteln (Dar, 2014)	12
Abbildung 4: Gemessene Parameter von der Texturprofilanalyse (Rosenthal 1999)	14
Abbildung 5: Definition der untersuchten Texturparameter (Schubring, 1999)	15
Abbildung 6: Abschnitte und Scheiben von Gurken (Thompson, 1982)	19
Abbildung 7: Versuchsaufbau für die TPA-Methode	20
Abbildung 8: Versuchsaufbau für die Warner-Bratzler-Methode	20
Abbildung 9: Typische TPA Kraft-Zeit-Kurve (Winopal, 2005)	21
Abbildung 10: Typische WB Kraft-Zeit-Kurve (Stable Micro Systems, 2014)	23
Abbildung 11: Parameter "Härte" der TPA mit 25% Kompression (n=7)	31
Abbildung 12: Parameter "Härte" der TPA mit 60% Kompression (n=7)	31
Abbildung 13: Parameter "Kohäsion" der TPA mit 25% Kompression (n=7)	33
Abbildung 14: Parameter "Kohäsion" der TPA mit 60% Kompression (n=7)	33
Abbildung 15: Parameter "Kaubarkeit" der TPA mit 25% Kompression (n=7)	35
Abbildung 16: Parameter "Kaubarkeit" der TPA mit 60% Kompression (n=7)	35
Abbildung 17: Parameter "Gummiartigkeit" der TPA mit 25% Kompression (n=7)	37
Abbildung 18: Parameter "Gummiartigkeit" der TPA mit 60% Kompression (n=7)	37
Abbildung 19: Parameter "Elastizität" der TPA mit 25% Kompression (n=7)	39
Abbildung 20: Parameter "Elastizität" der TPA mit 60% Kompression (n=7)	39
Abbildung 21: Parameter "Adhäsion" der TPA mit 25% Kompression (n=7)	41
Abbildung 22: : Parameter "Adhäsion" der TPA mit 60% Kompression (n=7)	41
Abbildung 23: Parameter "Bissfestigkeit" der TPA mit 60% Kompression (n=7)	43
Abbildung 24: Graphische Darstellung der Kraft-Zeit-Kurve der TPA Methode mit 25%	
Kompression. Beispiel: FL Charge (mittleres Segment)	43
Abbildung 25: Graphische Darstellung der Kraft-Zeit-Kurve der TPA Methode mit 60%	
Kompression. Beispiel: FL Charge (mittleres Segment)	44
Abbildung 26: Parameter "Maximalkraft" bei WB Methode	46
Abbildung 27: Parameter "Steigung" bei WB Methode	47
Abbildung 28: Graphische Darstellung der Kraft-Weg-Kurve der WB Methode. Beispiel	:FL
Charge (mittleres Segment)	48
Abbildung 29: MFA-Biplot für die Produkte (1-12)	49

Abbildung 30: MFA-Biplot für die Variablen mit (x= Kohäsion, y= Festigkeit)50
Abbildung 31: MFA Biplot + UFP Attribute
Abbildung 32: Rangkorrelation zwischen Härte - TPA25% und Maximalkraft - WB 54
Abbildung 33: Rangkorrelation zwischen Härte - TPA 60% und Maximalkraft - WB 55
Abbildung 34: Rangkorrelation zwischen Kohäsion - TPA 25% und Maximalkraft - WB $56$
Abbildung 35: Rangkorrelation zwischen Kohäsion - TPA 60% und Kraft - WB56
Abbildung 36: Rangkorrelation zwischen Härte - TPA 25% und Steigung - WB 57
Abbildung 37: Rangkorrelation zwischen Härte - TPA 60% und Steigung - WB
Abbildung 38: Rangkorrelation zwischen Kohäsion - TPA 25% und Steigung - WB
Abbildung 39: Rangkorrelation zwischen Kohäsion - TPA 60% und Steigung - WB 59
Abbildung 40: Rangkorrelation zwischen Härte - TPA 25% und sensorische Bewertung 60
Abbildung 41: Rangkorrelation zwischen Härte - TPA 25% und sensorische Bewertung 60
Abbildung 42: Rangkorrelation zwischen Kohäsion - TPA 25% und sensorische Bewertung 61
Abbildung 43: Rangkorrelation zwischen Kohäsion - TPA 60% und sensorische Bewertung 61
Abbildung 44: Rangkorrelation zwischen Maximalkraft - WB und sensorische Bewertung 62
Abbildung 45: Rangkorrelation zwischen Steigung - WB und sensorische Bewertung 63

### 8.2. Tabellen

Tabelle 1: Ausgewählte Chargen und deren Abkürzungen	. 18
Tabelle 2: Ermittelte Parameter mit der TPA Methode	. 22
Tabelle 3: Einstellungen des Texture Analyser für die TPA Methode	. 22
Tabelle 4: Ermittelte Parameter mit der WB-Methode	. 23
Tabelle 5: Einstellungen des Texture Analyser für die WB Methode	. 24
Tabelle 6: Vorversuche mit Erhöhung der Kompressionsintensität	. 28
Tabelle 7: Tabelle für die Signifikanzniveaus	. 29
Tabelle 8: Unterschiede beim TPA-Parameter "Härte" innerhalb der Gurkensegmente	. 30
Tabelle 9: Unterschiede beim TPA-Parameter "Härte" innerhalb der Gurkenchargen	. 30
Tabelle 10: Unterschiede beim TPA-Parameter "Kohäsion" innerhalb der Gurkensegmente	32
Tabelle 11: Unterschiede beim TPA-Parameter "Kohäsion" innerhalb der Gurkenchargen	. 32
Tabelle 12: Unterschiede beim TPA-Parameter "Kaubarkeit" innerhalb der Gurkensegment	te
	. 34
Tabelle 13: Unterschiede beim TPA-Parameter "Kaubarkeit" innerhalb der Gurkenchargen	34
Tabelle 14: Unterschiede beim TPA-Parameter "Gummiartigkeit" innerhalb der	
Gurkensegmente	. 36
Tabelle 15: Unterschiede beim TPA-Parameter "Gummiartigkeit" innerhalb der	
Gurkenchargen	. 36
Tabelle16: Unterschiede beim TPA-Parameter "Elastizität" innerhalb der Gurkensegmente.	. 38
Tabelle 17: Unterschiede beim TPA-Parameter "Elastizität" innerhalb der Gurkenchargen	. 38
Tabelle18: Unterschiede beim TPA-Parameter "Adhäsion" innerhalb der Gurkensegmente .	. 40
Tabelle 19: Unterschiede beim TPA-Parameter "Adhäsion" innerhalb der Gurkenchargen	. 40
Tabelle 20: Unterschiede beim TPA-Parameter "Bissfestigkeit" innerhalb der	
Gurkensegmente	. 42
Tabelle 21: Unterschiede beim TPA-Parameter "Bissfestigkeit" innerhalb der Gurkencharg	en
	. 42
Tabelle 22: Unterschiede bzgl. des WB-Parameters "MaximalKraft" innerhalb der	
Gurkensegmente	. 45
Tabelle 23: Unterschiede bzgl. des WB-Parameters "Maximalkraft" innerhalb der	
Gurkenchargen	. 45
Tabelle 24: Unterschiede bzgl. des WB-Parameters "Steigung" innerhalb der Gurkensegme	nte
	. 46

Tabelle 25: Unterschiede bzgl. des WB-Parameters "Steigung" innerhalb d	ler Gurkenchargen
	47
Tabelle 26: UFP-Attribute (P1-P3)	50
Tabelle 27: UFP-Attribute (P4-P6)	51
Tabelle 28: UFP-Attribute (P7-P9)	52
Tabelle 29: Korrelationskoeffizienten für die Beziehung zwischen Werten	der TPA-Methode
und der WB- Maximalkraft	54
Tabelle 30: Korrelationskoeffizienten für die Beziehung zwischen Werten	der TPA-Methode
und der "WB- Steigung"	57
Tabelle31: Korrelationskoeffizienten für die Beziehung zwischen den Para	ımetern der WB-
Methode und sensorischen Methoden	62
9. Formelverzeichnis	
Formel 1: Mittelwert <i>x</i>	25
Formel 2: Standardabweichung $\sigma$	26
Formel 3: Variationskoeffizient $V_x$	26
Formel 4: Spearman-Korrelationskoeffizient <i>r</i>	27

## 10. Verzeichnis der Anlagen

Anlage 1: Grenzvariationswert beim Tukey-HSD-Test
Anlage 2: Verwendete Tabellen für die studentisierte Variationsbreite zur Berechnung des
GV-Wertes
Anlage 3: Vorversuchsergebnisse der TPA-Methode mit der Kompressionsintensität von 30%
9
Anlage 4: Vorversuchsergebnisse der TPA-Methode mit der Kompressionsintensität von 35%
9
Anlage 5: Vorversuchsergebnisse der TPA-Methode mit der Kompressionsintensität von 40%
90
Anlage 6: Vorversuchsergebnisse der TPA-Methode mit der Kompressionsintensität von 45%
99
Anlage 7: Vorversuchsergebnisse der TPA-Methode mit der Kompressionsintensität von 50%
99
Anlage 8: Ermittlung der signifikanten Unterschiede beim TPA 25%-Härte-Parameter 9
Anlage 9: Ermittlung der signifikanten Unterschiede beim TPA 25%-Kohäsion-Parameter 9
Anlage 10: Ermittlung der signifikanten Unterschiede beim TPA 25%-Kaubarkeit-Parameter
Anlage 11: Ermittlung der signifikanten Unterschiede beim TPA 25%-Gummiartigkeit-
Parameter 100
Anlage 12: Ermittlung der signifikanten Unterschiede beim TPA 25%-Elastizität-Parameter
Anlage 13: Ermittlung der signifikanten Unterschiede beim TPA 25%-Adhäsion-Parameter
Anlage 14: Ermittlung der signifikanten Unterschiede beim TPA 60%-Härte-Parameter 102
Anlage 15: Ermittlung der signifikanten Unterschiede beim TPA 60%-Kohäsion-Parameter
Anlage 16: Ermittlung der signifikanten Unterschiede beim TPA 60%-Gummiartigkeit-
Parameter
Anlage 17: Ermittlung der signifikanten Unterschiede beim TPA 60%-Elastizität-Parameter
Anlage 18: Ermittlung der signifikanten Unterschiede beim TPA 60%-Bissfestigkeit-
Power stor

Anlage 19: Ermittlung der signifikanten Unterschiede beim TPA 60%-Bissfestigkeit-	
Parameter	105
Anlage 20: Kraft-Zeit-Kurve der TPA-Methode mit 25% Kompression. Beispiel	
(FDL_Stielende)	106
Anlage 21: Kraft-Zeit-Kurve der TPA-Methode mit 25% Kompression. Beispiel (FDL_Mit	tte)
	108
Anlage 22: Kraft-Zeit-Kurve der TPA-Methode mit 25% Kompression. Beispiel	
(FDL_Blütenende)	110
Anlage 23: Kraft-Zeit-Kurve der TPA-Methode mit 60% Kompression. Beispiel	
(FDL_Stielende)	112
Anlage 24: Kraft-Zeit-Kurve der TPA-Methode mit 60% Kompression. Beispiel (FDL_Mit	tte)
	114
Anlage 25: Kraft-Zeit-Kurve der TPA Methode mit 60% Kompression. Beispiel	
(FDL_Blütenende)	116
Anlage 26: Kraft-Zeit Kurve der WB-Methode. Beispiel (FDL_Stielende)	118
Anlage 27: Kraft-Zeit-Kurve der WB-Methode. Beispiel (FDL_Mitte)	119
Anlage 28: Kraft-Zeit-Kurve der WB-Methode. Beispiel (FDL_Blütenende)	120

### 11. Anhang

### Anlage 1: Grenzvariationswert beim Tukey-HSD-Test

160

Kapitel IV: Varianzanalyse bei normalverteilten Gesamtheiten

Ohne Abbruchvorschrift hätte man also das widersprüchliche Resultat, dass die weiter auseinanderliegenden Mittelwerte  $\bar{x}_r$  und  $\bar{x}_s$  keine signifikanten Unterschiede aufwiesen, während die näher beieinander liegenden Werte  $\bar{x}_r$  und  $\bar{x}_t$  signifikant verschieden wären

Diese zunächst überraschende Situation entsteht dadurch, dass wir zwar vom Modell her testen, ob die Gruppe der beteiligten Mittelwerte als homogen, d. h. als gleich angesehen werden muss, in der Formulierung unserer Hypothesen aber nur noch die beiden äußeren Mittelwerte erwähnt werden. Eine genauere Formulierung der Nullhypothese für unseren Fall müsste lauten:  $H_0(\mu_r = \mu_t = \mu_s)$ , dann würde niemand mehr auf Unterschiede zwischen  $\mu_r$  und  $\mu_t$  testen, da die Annahme unserer Nullhypothese diese Unterschiede schon verneint.

#### 15.2.4 Der Grenzvariationsbreiten-Test (LSR-Test, HSD-Test)

Beim NK-Test hatten wir bei jedem Mittelwertvergleich entsprechend der Anzahl p beteiligter Mittelwerte jeweils unser  $q_{\alpha}(p;F_G)$  verwendet. Dagegen benutzt der GV-Test unabhängig von p stets  $q_{\alpha}(k;FG)$  zur Berechnung der Teststatistik. Dabei ist k die Anzahl aller Mittelwerte, natürlich stets größer oder gleich p. Im Weiteren verläuft der GV-Test (Tukey-Kramer-Test) ganz analog zum NK-Test, wobei nicht mehrere  $R_p$ , sondern nur ein  $R_k = GV$  für alle Vergleiche gemeinsam zu bestimmen ist. Der GV-Test wird dadurch zwar konservativer, d. h. bei gleichem  $\alpha$  liefert er weniger Signifikanzen als der NK-Test, in der Durchführung ist der Grenzvariationsbreiten-Test aber einfacher, weil keine Abbruchvorschrift und nur ein GV zu berechnen ist.

Fragestellung: Welche der k Stichprobenmittelwerte  $\bar{x}_1, \bar{x}_2, \dots, \bar{x}_k$  unterscheiden sich signifikant?

*Voraussetzung*: Die Varianzanalyse ergab eine Verwerfung der Nullhypothese. Die Vergleiche sind ungeplant. Es werden jeweils zwei Mittelwerte verglichen.

Rechenweg:

(1) Berechne

$$GV = q_{\alpha}(k; FG) \cdot \sqrt{\frac{MQI \cdot (n_i + n_j)}{2 \cdot n_i \cdot n_j}}$$

bzw. im balancierten Fall ( $\mathit{HSD}$ -Test), d. h. für  $n_i = n_j = n$ :

$$GV = q_{\alpha}(k; FG) \cdot \sqrt{\frac{MQI}{n}}$$

84

wobei  $q_{\alpha}(k;FG)$  der Tabelle "studentisierte Variationsbreiten" zu entnehmen, k die Anzahl aller Mittelwerte,  $\alpha$  das Signifikanzniveau,

MQI aus der Varianzanalyse, FG der Freiheitsgrad von MQI.

- (2) Ordne die Mittelwerte der Größe nach an und berechne die Differenzentafel wie beim NK-Test.
- (3) Vergleiche die Beträge  $|x_i x_j|$  mit GV:

$$|\bar{x}_i - \bar{x}_j| \le GV \Rightarrow H_0(\mu_i = \mu_j).$$
  
 $|\bar{x}_i - \bar{x}_j| > GV \Rightarrow H_1(\mu_i \ne \mu_j).$ 

**Beispiel** Das Beispiel im vorigen §15.2.3 testen wir statt mit Newman-Keuls mit dem GV-Test. Wir müssen dann alle Werte der Differenzentafel mit demselben Wert  $GV=4.05\cdot0.346=1.40$  vergleichen. Diesmal erhalten wir eine "Signifikanz" weniger, denn der NK-Test hatte  $H_0(\mu_3=\mu_2)$  verworfen, der konservativere GV-Test dagegen ergibt keine Verwerfung von  $H_0(\mu_3=\mu_2)$ , weil

$$|\bar{x}_3 - \bar{x}_2| = 2.4 - 1.3 = 1.1 < 1.4 = GV \Rightarrow H_0(\mu_3 = \mu_2).$$

	$\bar{x}_1 = 6.0$	$\bar{x}_4 = 5.4$	$\bar{x}_3 = 2.4$	$\bar{x}_2 = 1.3$
$\bar{x}_1 = 6.0$	\	0.6	3.6*	4.7*
$\bar{x}_4 = 5.4$			3.0*	4.1*
$\bar{x}_3=2.4$			\	1.1
$\bar{x}_2 = 1.3$				\

Wir haben in der Differenzentafel alle signifikanten Differenzen durch ein Sternchen ( $\alpha=5\,\%$ ) gekennzeichnet.

Es ist allgemein üblich, signifikante Unterschiede

- Auf dem  $\alpha = 5$  %-Niveau mit einem Sternchen "\*"
- Auf dem  $\alpha = 1$  %-Niveau mit zwei Sternchen "\*\*"
- Auf dem  $\alpha = 0.1$  %-Niveau mit drei Sternchen "\*\*\*" zu kennzeichnen.

Eine andere verbreitete Methode besteht darin, alle Mittelwerte zu unterstreichen, die aufgrund multipler Vergleiche als homogen angesehen werden müssen. Dazu ordnet man alle k Mittelwerte zunächst der Größe nach an. Man erhält dann z. B. für  $\bar{x}_1 \geq \bar{x}_2 \geq \ldots \geq \bar{x}_8$  (k=8):

# Anlage 2: Verwendete Tabellen für die studentisierte Variationsbreite zur Berechnung des GV-Wertes

TABLE 3 Percentage points of the studentized range for samples of n from  $N(\mu, \sigma^2)$  with  $\nu$  degrees of freedom for independent estimate  $s^2$  of  $\sigma^2$  (Values of the studentized range Q corresponding to cumulative probability P)  $P = \bullet 90$ 

νn	2	3	4	5	6	7	8	9	10
			1						
1 2	8.929 4.130	13.44	16.36	18.49 7.538	20 · 15 8 • 139	21.51	22.64	23.62	24.48
3	3.328	4.467	5.199	5.738	6.162	6.511	6.806	7.062	7.287
4	3.015	3.976	4.586	5.035	5.388	5.679	5.926	6.139	6.327
5	2.850	3.717	4.264	4.664	4.979	5.238	5.458	5.648	5.816
6	2.748	3.559	4.065	4.435	4.726	4.966	5.168	5.344	5.499
7	2.680	3.451	3.931	4.280	4.555	4.646	4.972	5.137 4.987	5.283 5.126
9	2.592	3.316	3.761	4.084	4.337	4.545	4.721	4.873	5.007
10	2.563	3.270	3.704	4.018	4.264	4 . 465	4.636	4.783	4.913
		1							1
11	2.540 2.521	3.234	3.658 3.621	3.965 3.922	4.205 4.156	4.401	4 • 568 4 • 511	4.711 4.652	4.838
12	2.505	3.204	3.589	3.922	4.116	4.349	4.464		4.776
14	2.491	3.158	3.563	3.854	4.081	4.267	4.424	4.602	4.724
15	2.479	3.140	3.540	3.828	4.052	4.235	4.390	4.524	4.641
16	2.469	3.124	3.520	3.804	4.026	4.207	4.360	4.492	4.608
17	2.460	3.110	3.503	3.784	4.004	4.183	4.334	4.464	4.579
18	2 • 452	3.098	3 488	3.767	3.984	4.161	4.311	4.440	4.554
19 20	2 • 445 2 • 439	3.087	3.474	3.751 3.736	3.966	4.142	4.290	4.418	4.531 4.510
	20437	3.010	30,102	30,130	30,750	10124	4.2.1	4.370	4.510
24	2.420	3.047	3.423	3.692	3.900	4.070	4.213 4.155	4.336	4.445
30	2.400	3.017	3.386	3.648	3.851	4.016		4.275	4.381
40 60	2 · 381 2 · 363	2.988	3.349 3.312	3 • 605 3 • 562	3.803 3.755	3.963 3.911	4.099	4.215	4.317 4.254
120	2.344	2.930	3.276	3.520	3.707	3.859	3.987	4.096	4.254
00	2.326	2.902	3.240	3.478	3.661	3.808	3.931	4.037	4.129
νn	11	12	13	14	15	16	17	18	19
1	25.24	25.92	26.54	27.10	15° 27•62	16 28•10	17 28•54	18 28•96	29.35
1 2	25.24 10.01	25.92 10.26	26.54 10.49	27.10 10.70	27.62 10.89	28 • 10 11 • 07	28.54 11.24	28.96 11.39	29.35 11.54
1 2 3	25.24 10.01 7.487	25.92 10.26 7.667	26.54 10.49 7.832	27.10 10.70 7.982	27.62 10.89 8.120	28 • 10 11 • 07 8 • 249	28.54 11.24 8.368	28.96 11.39 8.479	29.35 11.54 8.584
1 2 3 4	25 • 24 10 • 01 7 • 487 6 • 495	25.92 10.26 7.667 6.645	26.54 10.49 7.832 6.783	27.10 10.70 7.982 6.909	27.62 10.89 8.120 7.025	28 • 10 11 • 07 8 • 249 7 • 133	28.54 11.24 8.368 7.233	28.96 11.39 8.479 7.327	29.35 11.54 8.584 7.414
1 2 3	25 • 24 10 • 01 7 • 487 6 • 495 5 • 966	25.92 10.26 7.667	26.54 10.49 7.832	27.10 10.70 7.982 6.909 6.336	27.62 10.89 8.120	28.10 11.07 8.249 7.133 6.536	28.54 11.24 8.368 7.233 6.626	28.96 11.39 8.479 7.327 6.710	29.35 11.54 8.584 7.414 6.789
1 2 3 4 5 6 7	25 • 24 10 • 01 7 • 487 6 • 495	25.92 10.26 7.667 6.645 6.101 5.762 5.530	26.54 10.49 7.832 6.783 6.223	27.10 10.70 7.982 6.909 6.336 5.979 5.735	27.62 10.89 8.120 7.025 6.440	28 • 10 11 • 07 8 • 249 7 • 133	28.54 11.24 8.368 7.233	28.96 11.39 8.479 7.327 6.710 6.325 6.061	29.35 11.54 8.584 7.414
1 2 3 4 5 6 7 8	25.24 10.01 7.487 6.495 5.966 5.637 5.413	25.92 10.26 7.667 6.645 6.101 5.762 5.530 5.362	26.54 10.49 7.832 6.783 6.223 5.875 5.637 5.464	27.10 10.70 7.982 6.909 6.336 5.979 5.735 5.558	27.62 10.89 8.120 7.025 6.440 6.075 5.826 5.644	28 • 10 11 • 07 8 • 249 7 • 133 6 • 536 6 • 164 5 • 910 5 • 724	28.54 11.24 8.368 7.233 6.626 6.247 5.988 5.799	28.96 11.39 8.479 7.327 6.710 6.325 6.061 5.869	29.35 11.54 8.584 7.414 6.789 6.398 6.130 5.935
1 2 3 4 5 6 7 8	25 • 24 10 • 01 7 • 487 6 • 495 5 • 966 5 • 637 5 • 413 5 • 250 5 • 127	25.92 10.26 7.667 6.645 6.101 5.762 5.530 5.362 5.234	26.54 10.49 7.832 6.783 6.223 5.875 5.637 5.464 5.333	27.10 10.70 7.982 6.909 6.336 5.979 5.735 5.558 5.423	27.62 10.89 8.120 7.025 6.440 6.075 5.826 5.644 5.506	28.10 11.07 8.249 7.133 6.536 6.164 5.910 5.724 5.583	28.54 11.24 8.368 7.233 6.626 6.247 5.988 5.799 5.655	28.96 11.39 8.479 7.327 6.710 6.325 6.061 5.869 5.723	29.35 11.54 8.584 7.414 6.789 6.398 6.130 5.935 5.786
1 2 3 4 5 6 7 8	25.24 10.01 7.487 6.495 5.966 5.637 5.413	25.92 10.26 7.667 6.645 6.101 5.762 5.530 5.362	26.54 10.49 7.832 6.783 6.223 5.875 5.637 5.464	27.10 10.70 7.982 6.909 6.336 5.979 5.735 5.558	27.62 10.89 8.120 7.025 6.440 6.075 5.826 5.644	28 • 10 11 • 07 8 • 249 7 • 133 6 • 536 6 • 164 5 • 910 5 • 724	28.54 11.24 8.368 7.233 6.626 6.247 5.988 5.799	28.96 11.39 8.479 7.327 6.710 6.325 6.061 5.869	29.35 11.54 8.584 7.414 6.789 6.398 6.130 5.935
1 2 3 4 5 6 7 8 9	25.24 10.01 7.487 6.495 5.966 5.637 5.413 5.250 5.127 5.029	25.92 10.26 7.667 6.645 6.101 5.762 5.530 5.362 5.234 5.134	26.54 10.49 7.832 6.783 6.223 5.875 5.637 5.464 5.333 5.229	27.10 10.70 7.982 6.909 6.336 5.979 5.735 5.558 5.423 5.317	27.62 10.89 8.120 7.025 6.440 6.075 5.826 5.644 5.506 5.397	28.10 11.07 8.249 76.133 6.536 6.536 6.164 5.910 5.724 5.583 5.472	28 • 54 11 • 24 8 • 368 7 • 233 6 • 626 6 • 247 5 • 988 5 • 799 5 • 655 5 • 542	28.96 11.39 8.479 7.327 6.710 6.325 6.061 5.869 5.723 5.607	29.35 11.54 8.584 7.414 6.789 6.398 6.130 5.935 5.786 5.668
1 2 3 4 5 6 7 8	25 • 24 10 • 01 7 • 487 6 • 495 5 • 966 5 • 637 5 • 413 5 • 250 5 • 127	25.92 10.26 7.667 6.645 6.101 5.762 5.530 5.362 5.234 5.134	26.54 10.49 7.832 6.783 6.223 5.875 5.637 5.464 5.333	27.10 10.70 7.982 6.909 6.336 5.979 5.735 5.558 5.423	27.62 10.89 8.120 7.025 6.440 6.075 5.826 5.644 5.506	28.10 11.07 8.249 7.133 6.536 6.164 5.910 5.724 5.583	28 • 54 11 • 24 8 • 368 7 • 233 6 • 626 6 • 247 5 • 988 5 • 799 5 • 655 5 • 542	28.96 11.39 8.479 7.327 6.710 6.325 6.061 5.869 5.723	29.35 11.54 8.584 7.414 6.789 6.398 6.130 5.935 5.786
1 2 3 4 5 6 7 8 9 10	25.24 10.01 7.487 6.495 5.966 5.637 5.413 5.250 5.127 5.029	25.92 10.26 7.667 6.645 6.101 5.762 5.530 5.234 5.134 5.053 4.986 4.930	26.54 10.49 7.832 6.783 6.223 5.875 5.637 5.464 5.333 5.229 5.146 5.077 5.019	27.10 10.70 7.982 6.909 6.336 5.979 5.735 5.558 5.423 5.317 5.231 5.160 5.100	27.62 10.89 8.120 7.025 6.440 6.075 5.826 5.644 5.506 5.397 5.309 5.236 5.176	28 • 10 11 • 07 8 • 249 7 • 133 6 • 536 6 • 164 5 • 910 5 • 583 5 • 472 5 • 382 5 • 308 5 • 245	28 • 54 11 • 24 8 • 368 7 • 233 6 • 626 6 • 247 5 • 988 5 • 655 5 • 542 5 • 450 5 • 374 5 • 311	28 • 96 11 • 39 8 • 479 7 • 327 6 • 710 6 • 325 6 • 061 5 • 869 5 • 723 5 • 607 5 • 514 5 • 5372	29 • 35 11 • 54 8 • 584 7 • 414 6 • 789 6 • 398 6 • 130 5 • 786 5 • 668 5 • 573 5 • 429
1 2 3 4 5 6 7 8 9 10	25.24 10.01 7.487 6.495 5.966 5.637 5.413 5.250 5.127 5.029 4.951 4.886 4.786	25.92 10.26 7.667 6.645 6.101 5.762 5.530 5.362 5.234 5.134 5.053 4.986 4.986 4.980	26.54 10.49 7.832 6.783 6.223 5.637 5.464 5.333 5.229 5.146 5.077 5.019 4.970	27.10 10.70 7.982 6.909 6.336 5.735 5.558 5.423 5.317 5.231 5.160 5.050	27.62 10.89 8.120 7.025 6.440 6.075 5.826 5.644 5.506 5.397 5.309 5.236 5.176 5.124	28 · 10 11 · 07 8 · 249 7 · 133 6 · 536 6 · 164 5 · 910 5 · 724 5 · 583 5 · 472 5 · 382 5 · 308 5 · 245 5 · 192	28 • 54 11 • 24 8 • 368 7 • 233 6 • 626 6 • 247 5 • 988 5 • 799 5 • 655 5 • 542 5 • 450 5 • 374 5 • 256	28 • 96 11 • 39 8 • 479 7 • 327 6 • 710 6 • 325 6 • 061 5 • 869 5 • 723 5 • 607 5 • 514 5 • 436 5 • 372 5 • 316	29 • 35 11 • 54 8 • 584 7 • 414 6 • 789 6 • 398 6 • 130 5 • 935 5 • 786 5 • 668 5 • 573 5 • 492 9 5 • 373
1 2 3 4 5 6 7 8 9 10	25.24 10.01 7.487 6.495 5.966 5.637 5.413 5.250 5.127 5.029 4.951 4.886 4.832 4.786 4.746	25.92 10.26 7.667 6.645 6.101 5.530 5.362 5.234 5.134 5.053 4.986 4.986 4.980 4.882 4.841	26.54 10.49 7.832 6.783 6.223 5.875 5.637 5.464 5.333 5.229 5.146 5.077 5.019 4.970 4.970	27.10 10.70 7.982 6.909 6.336 5.979 5.735 5.558 5.558 5.160 5.160 5.100 5.006	27.62 10.89 8.120 7.025 6.440 5.826 5.644 5.506 5.397 5.309 5.236 5.124 5.079	28 · 10 11 · 07 8 · 249 7 · 133 6 · 536 6 · 164 5 · 910 5 · 724 5 · 583 5 · 472 5 · 388 5 · 245 5 · 192 5 · 147	28.54 11.24 8.368 7.233 6.626 6.247 5.988 5.799 5.655 5.542 5.450 5.374 5.374 5.256 5.209	28 • 96 11 • 39 8 • 479 7 • 327 6 • 710 6 • 325 6 • 061 5 • 869 5 • 723 5 • 607 5 • 514 5 • 5372 5 • 372 5 • 3	29.35 11.54 8.584 7.414 6.789 6.130 5.935 5.786 5.668 5.573 5.495 5.495 5.495 5.495 5.495
1 2 3 4 5 6 7 8 9 10	25.24 10.01 7.487 6.495 5.966 5.637 5.413 5.250 5.127 5.029 4.951 4.886 4.786	25.92 10.26 7.667 6.645 6.101 5.762 5.530 5.362 5.234 5.134 5.053 4.986 4.986 4.980	26.54 10.49 7.832 6.783 6.223 5.637 5.464 5.333 5.229 5.146 5.077 5.019 4.970	27.10 10.70 7.982 6.909 6.336 5.735 5.558 5.423 5.317 5.231 5.160 5.050	27.62 10.89 8.120 7.025 6.440 6.075 5.826 5.644 5.506 5.397 5.309 5.236 5.176 5.124	28 · 10 11 · 07 8 · 249 7 · 133 6 · 536 6 · 164 5 · 910 5 · 724 5 · 583 5 · 472 5 · 382 5 · 308 5 · 245 5 · 192	28 • 54 11 • 24 8 • 368 7 • 233 6 • 626 6 • 247 5 • 988 5 • 799 5 • 655 5 • 542 5 • 450 5 • 374 5 • 256	28 • 96 11 • 39 8 • 479 7 • 327 6 • 710 6 • 325 6 • 061 5 • 869 5 • 723 5 • 607 5 • 514 5 • 436 5 • 372 5 • 316	29 • 35 11 • 54 8 • 584 7 • 414 6 • 789 6 • 398 6 • 130 5 • 935 5 • 786 5 • 668 5 • 573 5 • 492 9 5 • 373
1 2 3 4 5 6 7 8 9 10 11 12 13 14 15 16 17 18	25,24 10,01 7,487 6,497 5,966 5,631 5,250 5,127 5,029 4,981 4,881 4,882 4,786 4,712 4,685	25.92 10.26 7.667 6.645 6.101 5.762 5.530 5.362 5.234 5.134 5.053 4.986 4.980 4.841 4.805 4.841 4.805	26.54 10.49 7.832 6.783 5.875 5.637 5.464 5.333 5.229 5.1467 5.017 5.019 4.970 4.890 4.890 4.829	27-10 10-70 7-982 6-909 6-936 5-973 5-558 5-423 5-317 5-231 5-100 5-006 4-968 4-968 4-905	27.62 10.89 8.120 7.025 6.440 6.075 5.826 5.506 5.506 5.397 5.236 5.176 5.079 5.079 5.079 5.005	28.10 11.07 8.249 7.133 6.536 6.164 5.524 5.583 5.472 5.382 5.382 5.245 5.107 5.010 5.010	28.54 11.24 8.368 7.233 6.626 6.247 5.989 5.655 5.655 5.542 5.450 5.374 5.311 5.256 5.256 5.256 5.256 5.256 5.256	28.96 11.39 8.479 6.710 6.327 6.710 6.305 5.869 5.723 5.607 5.514 5.372 5.372 5.316 5.227 5.158	29.35 11.54 8.584 7.414 6.398 6.130 5.786 5.495 5.495 5.425 5.427 5.324 5.282 5.211
1 2 3 4 5 6 7 8 9 10 11 12 13 14 15 16 17 18	25 • 24 10 • 01 7 • 467 6 • 495 5 • 966 5 • 631 5 • 250 5 • 120 5 • 120 4 • 951 4 • 886 4 • 746 4 • 746 4 • 682 4 • 682 4 • 681	25.92 10.26 7.667 6.667 6.667 5.530 5.530 5.530 5.530 5.362 5.234 5.134 5.980 4.980 4.882 4.930 4.882 4.805 4.774 4.774	26.54 10.49 7.832 6.723 5.875 5.644 5.333 5.229 5.146 5.019 4.970 4.970 4.858 4.858 4.829	27-10 10-70 7-982 6-909 6-936 5-979 5-558 5-423 5-317 5-100 5-050 5-050 5-050 5-050 4-968 4-935 4-908	27.62 10.89 8.120 7.025 6.440 6.075 5.826 5.826 5.826 5.826 5.397 5.23 5.23 5.176 5.176 5.040 5.040 5.050 6.075	28.10 11.07 8.249 7.133 6.536 6.164 5.910 5.724 5.858 5.472 5.382 5.245 5.245 5.245 5.107 5.107 5.107 5.107	28.54 11.24 8.368 7.233 7.233 6.626 6.247 5.799 5.655 5.542 5.450 5.374 5.256 5.256 5.256 5.109 5.109 5.109	28.96 11.39 8.479 7.327 6.710 6.325 6.061 5.869 5.723 5.607 5.514 5.436 5.372 5.316 5.227 5.129 5.129	29.35 11.54 8.584 7.414 9.6.398 6.398 6.135 5.935 5.936 5.935 5.429 5.324 5.32
1 2 3 4 5 6 7 8 9 10 11 12 13 14 15 16 17 18	25,24 10,01 7,487 6,497 5,966 5,631 5,250 5,127 5,029 4,981 4,881 4,882 4,786 4,712 4,685	25.92 10.26 7.667 6.645 6.101 5.762 5.530 5.362 5.234 5.134 5.053 4.986 4.980 4.841 4.805 4.841 4.805	26.54 10.49 7.832 6.783 5.875 5.637 5.464 5.333 5.229 5.1467 5.017 5.019 4.970 4.890 4.890 4.829	27-10 10-70 7-982 6-909 6-936 5-973 5-558 5-423 5-317 5-231 5-100 5-006 4-968 4-935	27.62 10.89 8.120 7.025 6.440 6.075 5.826 5.506 5.506 5.397 5.236 5.176 5.079 5.079 5.079 5.005	28.10 11.07 8.249 7.133 6.536 6.164 5.524 5.583 5.472 5.382 5.382 5.245 5.107 5.010 5.010	28.54 11.24 8.368 7.233 6.626 6.247 5.989 5.655 5.655 5.542 5.450 5.374 5.311 5.256 5.256 5.256 5.256 5.256 5.256	28.96 11.39 8.479 6.710 6.327 6.710 6.305 5.869 5.723 5.607 5.514 5.372 5.372 5.316 5.227 5.158	29.35 11.54 8.584 7.414 6.398 6.130 5.786 5.495 5.495 5.425 5.427 5.324 5.282 5.211
1 2 3 4 5 6 7 8 9 10 11 12 13 14 15 16 17 18 19 20	25.24 10.01 7.487 6.495 5.966 5.637 5.413 5.220 5.127 5.029 4.951 4.882 4.786 4.746 4.746 4.712 4.685 4.631 4.609	25.92 10.26 7.667 6.645 6.645 6.101 5.762 5.5362 5.234 5.053 4.986 4.930 4.8841 4.875 4.774 4.746 4.721 4.699	26.54 10.49 7.832 6.223 5.875 5.637 5.433 5.229 5.146 5.077 4.970 4.927 4.890 4.803 4.803 4.780	27-10 10-70 7-982 6-909 6-336 5-335 5-423 5-423 5-100 5-050 5-050 4-968 4-935 4-879 4-855	27.62 10.89 8.120 6.440 6.075 5.826 5.644 5.506 5.397 5.396 5.176 5.176 5.176 5.079 5.040 5.040 5.040 5.040 4.975 4.948 4.924	28.10 11.07 8.249 7.133 6.536 6.164 5.910 5.7283 5.472 5.382 5.382 5.245 5.147 5.107 5.071 5.071 5.071 5.071 5.071 5.071 5.071	28.54 11.24 8.368 7.233 6.626 6.247 5.799 5.655 5.545 5.374 5.371 5.209 5.101 5.007 5.101 5.007 5.007	28.96 11.39 8.479 7.327 6.710 6.326 5.869 5.763 5.607 5.514 5.372 5.372 5.372 5.269 5.269 5.269 5.269 5.273 5.129 5.129 5.103	29.35 11.54 8.584 46.789 6.398 6.398 5.935 5.786 5.673 5.429 5.324 5.224 5.224 5.224 5.225 5.226
1 2 3 4 5 6 7 8 9 10 11 12 13 14 15 16 17 18	25 • 24 10 • 01 7 • 467 6 • 495 5 • 966 5 • 631 5 • 250 5 • 120 5 • 120 4 • 951 4 • 886 4 • 746 4 • 746 4 • 682 4 • 682 4 • 681	25.92 10.26 7.667 6.645 6.101 5.762 5.530 5.334 5.134 5.053 4.980 4.841 4.930 4.841 4.940 4.746 4.721 4.699	26.54 10.49 7.832 6.723 5.875 5.644 5.333 5.229 5.146 5.019 4.970 4.970 4.858 4.858 4.829	27-10 10-70 7-982 6-909 6-936 5-979 5-558 5-423 5-317 5-100 5-050 5-050 5-050 5-050 4-968 4-935 4-908	27.62 10.89 8.120 7.025 6.440 6.075 5.826 5.826 5.826 5.826 5.397 5.23 5.23 5.176 5.176 5.040 5.050 5.040 5.050 5.	28.10 11.07 8.249 7.133 6.536 6.164 5.910 5.724 5.858 5.472 5.382 5.245 5.245 5.245 5.107 5.107 5.107 5.107	28.54 11.24 8.368 7.233 7.233 6.626 6.247 5.799 5.655 5.542 5.450 5.374 5.256 5.256 5.256 5.109 5.109 5.109	28.96 11.39 8.479 7.327 6.710 6.325 6.061 5.869 5.723 5.607 5.514 5.436 5.372 5.316 5.227 5.129 5.129	29.35 11.54 8.584 7.414 9.6.398 6.398 6.135 5.935 5.936 5.935 5.429 5.324 5.32
1 2 3 4 5 6 7 8 9 10 11 12 13 14 15 16 17 18 19 20 20 40 40 40 40 40 40 40 40 40 40 40 40 40	25.24 10.01 7.487 6.495 5.966 5.637 5.413 5.250 5.127 5.029 4.951 4.882 4.786 4.746 4.746 4.651 4.653 4.609	25.92 10.26 7.66 6.645 6.101 5.762 5.530 5.362 5.234 5.134 5.053 4.980 4.882 4.845 4.774 4.746 4.721 4.699	26.54 10.49 7.832 6.783 6.223 5.6637 5.4633 5.229 5.146 5.077 5.019 4.970 4.970 4.858 4.858 4.829 4.803 4.780	27-10 10-70 70-982 6-909 6-336 5-735 5-555 5-5423 5-317 5-160 5-050 5-050 5-050 4-968 4-935 4-879 4-879 4-879 4-879	27.62 10.89 8.120 6.440 6.075 5.826 5.646 5.646 5.397 5.236 5.124 5.070	28.10 11.07 8.249 7.133 6.536 6.1910 5.7243 5.5472 5.382 5.472 5.382 5.245 5.107 5.107 5.040 5.012 4.987	28.54 11.24 8.368 7.233 6.626 6.246 6.267 5.795 5.655 5.655 5.656 5.795 5.656 5.795 5.314 5.256 5.256 5.256 5.256 5.256 5.256 6.247 4.886 4.886 7.886 6.886 7.886	28.96 11.39 8.477 6.710 6.325 5.723 5.607 5.843 5.607 5.514 5.437 5.227 5.129 5.129 5.129 5.129 5.129 5.129 5.129	29.35 11.54 8.554 8.5584 6.739 6.330 55.786 8.5795 5.4795 5.3724 2.44 2.55 5.284 5.284 5.284 5.284 5.284 5.284 5.284 5.284 5.284 5.284 5.284 5.
1 2 3 3 4 5 6 7 8 9 10 11 12 13 14 15 16 17 18 19 20 24 30 40 60	25.24 10.01 7.487 5.966 5.637 5.613 5.250 5.127 5.029 4.951 4.882 4.786 4.774 4.682 4.682 4.685 4.683 4.684	25.92 10.26 7.6645 6.101 5.762 5.530 5.362 5.234 5.134 5.053 4.980 4.841 4.805 4.746 4.746 4.721 4.699 4.628 4.559 4.420	26.54 10.49 7.832 6.223 5.875 5.637 5.433 5.229 5.146 5.077 4.927 4.890 4.829 4.829 4.833 4.780	27-10 10-70 7-982 6-909 6-336 5-979 5-735 5-55 5-423 5-317 5-100 5-006 4-968 4-905 4-805 4-805 4-706 4-858	27.62 10.89 8.120 6.440 6.075 5.826 5.604 5.504 5.509 5.276 5.176 5.176 5.176 5.079 5.040 5.040 5.040 4.975 4.975 4.974 4.944 4.847 4.770 4.619	28.10 11.07 8.249 7.133 6.536 6.164 5.910 5.7283 5.472 5.382 5.347 5.245 5.147 5.107 5.071 5.071 5.074 4.987 4.989 4.830 4.675	28.54 11.24 8.366.626 6.247 5.988 5.7955 5.655 5.655 5.311 5.256 5.311 5.256 5.133 5.101 5.073 4.986 4.886 4.887	28.96 11.39 8.479 6.710 6.725 6.061 5.869 5.723 5.607 5.514 5.4372 5.372 5.372 5.269 5.227 5.275 5.103 5.103 5.103 5.103 6.274 6.275 6.275 6.275 6.275 6.275 6.275 6.275 6.275 6.275 6.275 6.277 6.275	29.35 11.54 8.584 8.584 6.395 6.130 5.936 6.130 5.936 5.668 5.573 5.429 5.324 5.224
1 2 3 4 5 6 7 8 9 10 11 12 13 14 15 16 17 18 19 20 20 40 40 40 40 40 40 40 40 40 40 40 40 40	25.24 10.01 7.487 6.495 5.966 5.637 5.413 5.250 5.127 5.029 4.951 4.882 4.786 4.746 4.746 4.651 4.653 4.609	25.92 10.26 7.66 6.645 6.101 5.762 5.530 5.362 5.234 5.134 5.053 4.980 4.882 4.845 4.774 4.746 4.721 4.699	26.54 10.49 7.832 6.783 6.223 5.6637 5.4633 5.229 5.146 5.077 5.019 4.970 4.970 4.858 4.858 4.829 4.803 4.780	27-10 10-70 70-982 6-909 6-336 5-735 5-555 5-5423 5-317 5-160 5-050 5-050 5-050 4-968 4-935 4-879 4-875 4-780 4-78	27.62 10.89 8.120 6.440 6.075 5.826 5.646 5.646 5.397 5.236 5.124 5.070	28.10 11.07 8.249 7.133 6.536 6.1910 5.7243 5.5472 5.382 5.472 5.382 5.245 5.107 5.107 5.040 5.012 4.987	28.54 11.24 8.368 7.233 6.626 6.246 6.267 5.795 5.655 5.655 5.656 5.795 5.656 5.795 5.314 5.256 5.256 5.256 5.256 5.256 5.256 6.247 4.886 4.886 7.886 6.886 7.886	28.96 11.39 8.477 6.710 6.325 5.723 5.607 5.843 5.607 5.514 5.437 5.227 5.129 5.129 5.129 5.129 5.129 5.129 5.129	29.35 11.54 8.554 8.5584 6.739 6.330 55.786 8.5795 5.4795 5.3724 2.44 2.55 5.284 5.284 5.284 5.284 5.284 5.284 5.284 5.284 5.284 5.284 5.284 5.

1132

			T	ABLE 3	(Continue	ed)			
νn	20	22	24	26	28	30	32	34	36
1 2 3 4 5 6 7 8 9	29.71 11.68 8.683 7.497 6.863 6.467 6.195 5.997 5.846 5.726	30 • 39 11 • 93 8 • 864 7 • 650 7 • 000 6 • 593 6 • 315 6 • 111 5 • 956 5 • 833	30.99 12.16 9.029 7.789 7.123 6.708 6.422 6.214 6.055 5.930	31.54 12.36 9.177 7.914 7.236 6.812 6.521 6.308 6.146 6.017	32.04 12.55 9.314 8.029 7.340 6.908 6.611 6.395 6.229 6.098	32.50 12.73 9.440 8.135 7.435 6.996 6.695 6.475 6.306 6.173	32.93 12.89 9.557 8.234 7.523 7.078 6.773 6.549 6.378 6.242	33 • 33 13 • 04 9 • 666 8 • 326 7 • 606 7 • 155 6 • 845 6 • 618 6 • 444 6 • 307	33.71 13.18 9.768 8.412 7.683 7.227 6.913 6.683 6.507 6.368
11 12 13 14 15 16 17 18 19 20	5.630 5.550 5.483 5.426 5.376 5.333 5.295 5.262 5.232 5.205	5.734 5.652 5.583 5.524 5.473 5.428 5.389 5.355 5.324 5.296	5.828 5.744 5.673 5.612 5.560 5.515 5.474 5.439 5.407 5.378	5.914 5.827 5.755 5.693 5.639 5.592 5.552 5.552 5.483 5.453	5.992 5.904 5.830 5.767 5.713 5.665 5.623 5.585 5.552 5.552	6.065 5.976 5.900 5.836 5.780 5.732 5.689 5.650 5.616 5.586	6.132 6.042 5.965 5.899 5.843 5.793 5.750 5.711 5.676 5.645	6.196 6.103 6.025 5.959 5.901 5.851 5.806 5.767 5.732 5.700	6.255 6.161 6.082 6.014 5.956 5.950 5.860 5.820 5.784 5.752
24 30 40 60 120	5.119 5.034 4.949 4.864 4.779 4.694	5.208 5.120 5.032 4.944 4.856 4.767	5.287 5.197 5.107 5.015 4.924 4.832	5.360 5.267 5.174 5.081 4.987 4.892	5.427 5.332 5.236 5.141 5.044 4.947	5.489 5.392 5.294 5.196 5.097 4.997	5.546 5.447 5.347 5.247 5.146 5.044	5.600 5.499 5.397 5.295 5.192 5.087	5.650 5.547 5.444 5.340 5.235 5.128
νn	38	40	50	60	70	80	90	100	
1 2 3 4 5 6 7 8 9	34.06 13.31 9.864 8.493 7.756 7.294 6.976 6.744 6.566 6.425	34.38 13.44 9.954 8.569 7.825 7.358 7.036 6.801 6.621 6.479	35.79 13.97 10.34 8.826 8.118 7.630 7.294 7.048 6.859 6.709	36.91 14.40 10.65 9.156 8.353 7.848 7.500 7.245 7.050 6.895	37.83 14.75 10.91 9.373 8.548 8.029 7.672 7.409 7.208 7.048	38.62 15.05 11.12 9.557 8.715 8.184 7.818 7.550 7.343 7.180	39.30 15.31 11.31 9.718 8.859 8.319 7.946 7.672 7.461 7.295	39.91 15.54 11.48 9.860 8.988 8.438 8.059 7.780 7.566 7.396	
11 12 13 14 15 16 17 18 19	6.310 6.215 6.135 6.067 6.008 5.956 5.910 5.870 5.833 5.801	6.363 6.267 6.186 6.116 6.057 6.004 5.958 5.917 5.880 5.847	6.588 6.487 6.402 6.329 6.266 6.210 6.162 6.113 6.079 6.044	6.768 6.663 6.575 6.499 6.433 6.376 6.325 6.280 6.239 6.203	6.918 6.810 6.719 6.641 6.573 6.513 6.461 6.414 6.372 6.335	7.047 6.936 6.842 6.762 6.692 6.631 6.577 6.529 6.486 6.447	7.158 7.045 6.949 6.868 6.796 6.734 6.679 6.630 6.585 6.546	7.258 7.142 7.045 6.961 6.888 6.825 6.769 6.719 6.674 6.633	
24 30 40 60 120	5.697 5.593 5.488 5.382 5.275 5.166	5.741 5.636 5.529 5.422 5.313 5.202	5.933 5.821 5.708 5.593 5.476 5.357	6.086 5.969 5.850 5.730 5.606 5.480	6.214 6.093 5.969 5.844 5.715 5.582	6.324 6.198 6.071 5.941 5.808 5.669	6.419 6.291 6.160 6.026 5.888 5.745	6.503 6.372 6.238 6.102 5.960 5.812	

TABLE 3 (Continued)

P =	. 9	5
-----	-----	---

νn	2	3	4	5	6	7	8	9	10
1 2	17.97 6.085	26.98 8.331	32.82 9.798	37.08 10.88	40.41 11.74	43.12 12.44	45.40 13.03	47.36 13.54	49.07 13.99
3	4.501	5.910	6.825	7.502	8.037	8.478	8.853	9.177	9.462
4	3.927	5.040	5.757	6.287	6.707	7.053	7.347	7.602	7.826
5	3.635	4.602	5.218	5.673	6.033	6.330	6.582	6.802	6.995
6	3.461	4.339	4.896	5.305	5.628	5.895	6.122	6.319	6.493
7	3.344	4.165	4.681	5.060 4.886	5.359 5.167	5.606	5.815 5.597	5.767	6.158 5.918
9	3.199	3.949	4.415	4.756	5.024	5.244	5.432	5.595	5.739
10	3.151	3.877	4.327	4.654	4.912	5.124	5.305	5.461	5.599
11	3.113	3.820	4.256	4.574 4.508	4.823	5.028	5.202	5.353	5.487 5.395
12	3.082		4.199	4.508	4.751	4.950	5.119	5.265	
13 14	3.055	3.735	4.151	4.453	4.690	4.885	5.049 4.990	5 • 192 5 • 131	5.318 5.254
15	3.014	3.674	4.076	4.367	4.595	4.782	4.940	5.077	5.198
16	2.998	3.649	4.046	4.333	4.557	4.741	4.897	5.031	5.150
17	2.984	3.628	4.020	4.303	4.524	4.705	4.858	4.991	5.108
18	2.971	3.609	3.997	4.277	4.495	4.673	4.824	4.956	5.071
19	2.960	3.593	3.977	4.253	4.469	4 • 645	4.794	4.924	5.038
20	2.950	3.578	3.958	4 • 232	4 • 445	4.620	4.768	4.896	5.008
24	2.919	3.532	3.901	4.166	4.373	4.541	4.684	4.807	4.915
30	2.888	3.486	3.845	4.102	4.302	4.464	4.602	4.720	4.824
40	2.858	3.442	3.791	4.039	4.232	4.389	4.521	4.635	4.735
60	2.829	3.399	.3.737	3.977	4.163	4.314	4.441	4.550	4.646
120	2.800	3.356	3 685	3.917	4.096	4.241	4 • 363	4.468	4.560
	2.772	3.314	3.633	3.858	4.030	4.170	4 • 286	4.387	4.474
νn	11	12	13	14	15	16	17	18	19
	+								
1 2	50.59 14.39	51.96 14.75	53.20 15.08	54.33 15.38	55.36. 15.65	56.32 15.91	57.22 16.14	58.04 16.37	19 58.83 16.57
1 2 3	50.59 14.39 9.717	51.96 14.75 9.946	53.20 15.08 10.15	54.33 15.38 10.35	55.36. 15.65 10.53	56.32 15.91 10.69	57.22 16.14 10.84	58.04 16.37 10.98	58.83 16.57 11.11
1 2 3 4	50.59 14.39 9.717 8.027	51.96 14.75 9.946 8.208	53.20 15.08 10.15 8.37.3	54.33 15.38 10.35 8.525	55.36. 15.65 10.53 8.664	56.32 15.91 10.69 8.794	57.22 16.14 10.84 8.914	58.04 16.37 10.98 9.028	58.83 16.57 11.11 9.134
1 2 3 4 5	50.59 14.39 9.717 8.027 7.168	51.96 14.75 9.946 8.208 7.324	53.20 15.08 10.15 8.373 7.466	54.33 15.38 10.35 8.525 7.596	55.36. 15.65 10.53 8.664 7.717	56.32 15.91 10.69 8.794 7.828	57.22 16.14 10.84 8.914 7.932	58.04 16.37 10.98 9.028 8.030	58.83 16.57 11.11 9.134 8.122
1 2 3 4 5	50.59 14.39 9.717 8.027 7.168 6.649	51.96 14.75 9.946 8.208 7.324 6.789	53.20 15.08 10.15 8.373 7.466 6.917	54.33 15.38 10.35 8.525 7.596 7.034	55.36. 15.65 10.53 8.664 7.717 7.143	56.32 15.91 10.69 8.794 7.828 7.244	57.22 16.14 10.84 8.914 7.932 7.338	58.04 16.37 10.98 9.028 8.030 7.426	58.83 16.57 11.11 9.134 8.122 7.508
1 2 3 4 5	50.59 14.39 9.717 8.027 7.168	51.96 14.75 9.946 8.208 7.324	53.20 15.08 10.15 8.373 7.466	54.33 15.38 10.35 8.525 7.596	55.36. 15.65 10.53 8.664 7.717	56.32 15.91 10.69 8.794 7.828	57.22 16.14 10.84 8.914 7.932	58.04 16.37 10.98 9.028 8.030	58.83 16.57 11.11 9.134 8.122
1 2 3 4 5 6 7 8 9	50.59 14.39 9.717 8.027 7.168 6.649 6.302	51.96 14.75 9.946 8.208 7.324 6.789 6.431 6.175 5.982	53.20 15.08 10.15 8.373 7.466 6.917 6.550 6.287 6.089	54.33 15.38 10.35 8.525 7.596 7.034 6.658	55.36. 15.65 10.53 8.664 7.717 7.143 6.759	56.32 15.91 10.69 8.794 7.828 7.244 6.852 6.571 6.359	57.22 16.14 10.84 8.914 7.932 7.338 6.939 6.653 6.437	58.04 16.37 10.98 9.028 8.030 7.426 7.020 6.729 6.510	58.83 16.57 11.11 9.134 8.122 7.508 7.097 6.802 6.579
1 2 3 4 5 6 7 8	50.59 14.39 9.717 8.027 7.168 6.649 6.302 6.054	51.96 14.75 9.946 8.208 7.324 6.789 6.431 6.175	53.20 15.08 10.15 8.373 7.466 6.917 6.550 6.287	54.33 15.38 10.35 8.525 7.596 7.034 6.658 6.389	55.36 15.65 10.53 8.664 7.717 7.143 6.759 6.483	56.32 15.91 10.69 8.794 7.828 7.244 6.852 6.571	57.22 16.14 10.84 8.914 7.932 7.338 6.939 6.653	58.04 16.37 10.98 9.028 8.030 7.426 7.020 6.729	58.83 16.57 11.11 9.134 8.122 7.508 7.097 6.802
1 2 3 4 5 6 7 8 9	50.59 14.39 9.717 8.027 7.168 6.649 6.302 6.054 5.867 5.722	51.96 14.75 9.946 8.208 7.324 6.789 6.431 6.175 5.982 5.833	53.20 15.08 10.15 8.373 73.73 6.550 6.287 6.089 5.935	54.33 15.38 10.35 8.525 7.034 6.658 6.389 6.186 6.028	55.36 15.65 10.53 8.664 7.717 7.143 6.759 6.483 6.276 6.114	56.32 15.91 10.69 8.794 7.828 7.244 6.852 6.571 6.359 6.194	57.22 16.14 10.84 8.914 7.932 7.338 6.939 6.653 6.437 6.269	58.04 16.37 10.98 9.028 8.030 7.426 7.020 6.729 6.510 6.339	58.83 16.57 11.11 9.134 8.122 7.508 7.097 6.802 6.579 6.405
1 2 3 4 5 6 7 8 9	50.59 14.39 9.717 8.027 7.168 6.649 6.302 6.054 5.867 5.722	51.96 14.75 9.946 8.208 7.324 6.789 6.431 6.175 5.983 5.833	53.20 15.08 10.15 8.37.3 7.466 6.917 6.550 6.287 6.089 5.935	54.33 15.38 10.35 8.525 7.596 7.034 6.658 6.389 6.186 6.028	55.36 15.65 10.53 8.664 7.717 7.143 6.759 6.483 6.276 6.114	56.32 15.91 10.69 8.794 7.828 7.244 6.852 6.571 6.359 6.194	57.22 16.14 10.84 8.914 7.932 7.338 6.939 6.653 6.437 6.269	58.04 16.37 10.98 9.028 8.030 7.426 7.020 6.729 6.510 6.339	58.83 16.57 11.11 9.134 8.122 7.508 7.097 6.802 6.579 6.405
1 2 3 4 5 6 7 8 9 10	50.59 14.39 9.717 8.027 7.168 6.649 6.302 6.054 5.867 5.722	51.96 14.75 9.946 8.208 7.324 6.73 6.431 6.175 5.983 5.833	53.20 15.08 10.15 8.37.3 7.466 6.917 6.550 6.287 6.089 5.935	54.33 15.38 10.35 8.525 7.596 7.034 6.658 6.389 6.186 6.028	55.36 15.65 10.53 8.664 7.717 7.143 6.759 6.483 6.276 6.114 5.984 5.878	56.32 15.91 10.69 8.794 7.828 7.244 6.852 6.571 6.359 6.194	57.22 16.14 10.84 8.914 7.932 7.338 6.939 6.653 6.437 6.269	58.04 16.37 10.98 9.028 8.030 7.426 7.020 6.729 6.510 6.339	58.83 16.57 11.11 9.134 8.122 7.508 7.097 6.802 6.579 6.405
1 2 3 4 5 6 7 8 9	50.59 14.39 9.717 8.027 7.168 6.649 6.302 6.054 5.867 5.722	51.96 14.75 9.946 8.208 7.324 6.789 6.431 6.175 5.983 5.833	53.20 15.08 10.15 8.37.3 7.466 6.917 6.550 6.287 6.089 5.935	54.33 15.38 10.35 8.525 7.596 7.596 6.658 6.389 6.186 6.028 5.901 5.798 5.711 5.637	55.36 15.65 10.53 8.664 7.717 7.143 6.759 6.483 6.276 6.114	56.32 15.91 10.69 8.794 7.828 7.244 6.852 6.571 6.359 6.194	57.22 16.14 10.84 8.914 7.932 7.338 6.939 6.653 6.437 6.269	58.04 16.37 10.98 9.028 8.030 7.426 7.020 6.729 6.510 6.339	58.83 16.57 11.11 9.134 8.122 7.508 7.097 6.802 6.579 6.405
1 2 3 4 5 6 7 8 9 10	50.59 14.39 9.717 8.027 7.168 6.649 6.302 6.054 5.867 5.722	51.96 14.75 9.946 8.208 7.89 6.431 6.175 5.982 5.833 5.615 5.533 5.404	53-20 15-08 10-15 8-37.3 7-466 6-917 6-550 6-287 6-089 5-935 5-811 5-710 5-655 5-555 5-554	54.33 15.38 10.35 8.525 7.596 7.034 6.658 6.389 6.389 6.028 5.798 5.771 5.637 5.574	55.36.15.65 10.53 8.664 7.7143 6.759 6.483 6.276 6.114 5.984 5.788 5.789 5.714	56.32 15.91 10.69 8.7928 7.824 6.852 6.571 6.953 5.862 5.720	57 • 22 16 • 14 10 • 84 8 • 914 7 • 932 7 • 338 6 • 939 6 • 653 6 • 437 6 • 269 6 • 134 6 • 023 5 • 931 5 • 931 5 • 785	58.04 16.37 10.98 9.028 8.030 7.426 7.020 6.729 6.510 6.339 6.202 6.089 5.995 5.846	58.83 16.57 11.11 9.134 8.122 7.508 7.608 6.802 6.579 6.405 6.265 6.151 6.055 5.904
1 2 3 4 5 6 7 8 9 10	50.59 14.39 9.717 8.027 7.168 6.649 6.302 6.054 5.867 5.722 5.651 5.431 5.364 5.256	51.96 14.75 9.946 8.208 7.324 6.789 6.431 6.478 5.983 5.833 5.713 5.615 5.533 5.404 5.352	53.20 15.08 10.15 8.373 7.466 6.917 6.550 6.287 6.089 5.935 5.811 5.625 5.554 5.439	54.33 15.38 10.35 8.525 7.034 6.658 6.389 6.028 5.790 5.798 5.711 5.6574 5.574 5.520	55.36.15.65 10.53 8.664 77.143 6.759 6.483 6.276 6.114 5.984 5.878 5.789 5.714 5.649	56.32 15.91 10.69 8.794 7.828 7.824 6.852 6.571 6.359 6.194 6.062 5.953 5.862 5.786 5.726	57.22 16.14 10.84 8.914 7.932 7.938 6.939 6.653 6.437 6.269 6.134 6.023 5.931 5.855 5.727	58.04 16.37 10.98 9.028 8.030 7.426 7.020 6.510 6.510 6.339 6.202 6.089 5.995 5.915 5.846	58.83 16.57 11.11 9.134 8.122 7.508 7.097 6.802 6.579 6.405 6.265 6.151 6.055 5.974 5.843
1 2 3 4 5 6 7 8 9 10	50.59 14.39 9.717 7.168 6.649 6.302 6.054 5.867 5.722 5.605 5.511 5.431 5.364 5.256 5.256	51.96 14.75 9.946 8.224 6.789 6.4175 5.983 5.615 5.5463 5.463 5.463 5.463 5.463 5.463 5.463	53-20 15-08 10-15 8-373 7-466 6-917 6-550 6-287 6-089 5-935 5-811 5-710 5-625 5-625 5-625 5-439 5-439	54.33 15.38 10.35 8.525 7.596 7.034 6.638 6.389 6.186 6.028 5.901 5.711 5.637 5.574 5.554	55.36.15.65.10.65.27.66.48.36.27.66.11.4 5.984.55.78.9 5.784.55.78.9 5.594.55.54.56.99.35.55.44	56.32 15.91 10.69 8.79.828 7.244 6.857 6.571 6.359 6.194 6.062 5.953 5.862 5.786 5.720 5.662	57-22 16-14 10-84 8-914 7-932 7-938 6-939 6-653 6-437 6-269 6-134 6-023 5-931 5-931 5-957 5-757	58.04 16.37 10.98 9.028 8.030 7.426 6.729 6.510 6.339 6.202 6.089 5.995 5.995 5.915 5.846 5.734	58.83 16.57 11.11 9.134 7.097 6.802 6.579 6.405 6.265 6.155 5.974 5.843 5.790
1 2 3 4 5 6 7 8 9 10 11 12 13 14 15 16 17 18	50.59 14.39 9.717 8.027 7.168 6.649 6.302 6.054 5.867 5.722 5.605 5.511 5.364 5.306 5.256 5.256	51.96 14.75 9.946 8.208 7.324 6.783 6.431 6.175 5.983 5.615 5.615 5.533 5.464 5.352 5.404 5.352 5.267	53-20 15-08 10-15 8-373 7-466 6-917 6-550 6-287 5-935 5-811 5-710 5-625 5-439 5-439 5-439 5-352	54.33 15.38 10.35 7.596 7.634 6.658 6.648 6.028 5.901 5.711 5.637 5.574 5.520 5.479	55.36.15.65 10.53 8.6647 7.717 7.143 6.759 6.483 6.276 6.114 5.878 5.789 5.789 5.544 5.593 5.544	56.32 15.91 10.69 8.79.828 7.244 6.857 6.571 6.359 6.194 6.062 5.953 5.862 5.720 5.662 5.662 5.568	57.22 16.14 10.84 8.914 7.932 7.838 6.653 6.437 6.269 6.134 6.023 5.931 5.852 5.785 5.785 5.785 5.785	58.04 16.37 10.98 9.028 8.030 7.426 7.020 6.729 6.510 6.309 5.995 5.915 5.915 5.786 5.786 5.788	58.83 16.57 11.11 9.134 8.122 7.508 7.608 6.802 6.575 6.405 6.151 6.055 5.974 5.843 5.793
1 2 3 4 5 6 7 8 9 10	50.59 14.39 9.717 7.168 6.649 6.302 6.054 5.867 5.722 5.605 5.511 5.431 5.364 5.256 5.256	51.96 14.75 9.946 8.224 6.789 6.4175 5.983 5.615 5.5463 5.463 5.463 5.463 5.463 5.463 5.463	53-20 15-08 10-15 8-373 7-466 6-917 6-550 6-287 6-089 5-935 5-811 5-710 5-625 5-625 5-625 5-439 5-439	54.33 15.38 10.35 8.525 7.596 7.034 6.638 6.389 6.186 6.028 5.901 5.711 5.637 5.574 5.574	55.36.15.65.10.65.27.66.48.36.27.66.11.4 5.984.55.78.9 5.784.55.78.9 5.594.55.54.56.99.35.55.44	56.32 15.91 10.69 7.828 7.828 7.824 6.8571 6.359 6.194 6.062 5.953 5.786 5.762 5.662 5.662 5.662 5.562 5.528	57-22 16-14 10-84 8-914 7-932 7-938 6-939 6-653 6-437 6-269 6-134 6-023 5-931 5-931 5-957 5-757	58.04 16.37 10.98 9.028 8.030 7.426 6.729 6.510 6.339 6.202 6.089 5.995 5.995 5.915 5.846 5.734	58.83 16.57 11.11 9.134 7.097 6.802 6.579 6.405 6.265 6.155 5.974 5.843 5.790
1 2 3 4 5 6 7 8 9 10 11 12 13 14 15 16 17 18	50.59 14.39 9.717 8.027 7.168 6.649 6.302 6.054 5.867 5.722 5.605 5.511 5.364 5.364 5.365 5.256 5.212 5.174	51.96 14.75 9.946 8.208 7.324 6.789 6.431 5.983 5.833 5.613 5.533 5.463 5.463 5.452 5.352 5.352 5.352	53-20 15-08 10-15 8-37.3 7-466 6-917 6-587 6-089 5-935 5-811 5-712 5-625 5-6554 5-439 5-392 5-392 5-335	54.33 15.38 10.35 7.596 7.696 7.6034 6.658 6.658 6.658 5.711 5.711 5.637 5.574 5.520 5.421 5.429 5.321	55.36.15.65 10.65 10.65 10.65 7.717 7.143 6.759 6.483 6.276 6.483 6.276 6.114 5.984 5.878 5.789 5.714 5.6593 5.5593 5.5544 5.5016 5.5016	56.32 15.91 10.69 8.79.828 7.244 6.857 6.571 6.359 6.194 6.062 5.953 5.862 5.720 5.662 5.662 5.568	57.22 16.14 10.84 8.914 7.932 7.938 6.653 6.653 6.653 6.653 6.269 6.134 6.023 5.931 5.852 5.727 5.675 5.635	58.04 16.37 10.98 9.028 8.030 7.426 7.020 6.729 6.510 6.339 6.202 6.029 5.995 5.915 5.786 5.786 5.734 5.687	58.83 16.57 11.11 9.134 8.122 7.508 7.508 7.609 6.802 6.579 6.405 6.265 6.155 5.974 5.904 5.790 5.740 5.790
1 2 3 4 5 6 7 8 9 10 11 12 13 14 15 16 17 18 19 20 20 24	50.59 14.39 9.717 8.027 7.168 6.649 6.302 6.054 5.867 5.722 5.605 5.511 5.451 5.306 5.212 5.174 5.108	51.96 14.75 9.946 8.208 7.324 6.732 6.473 5.983 5.833 5.615 5.533 5.463 5.463 5.404 5.352 5.307 5.231 5.267 5.299	53.20 15.08 10.15.08 10.15.08 10.15.08 8.37.3 7.466 6.917 6.4550 6.287 6.089 5.935 5.811 5.710 5.6554 5.439 5.392 5.315 5.282	54.33 15.38 10.35 7.596 7.036 6.658 6.658 6.389 6.186 6.028 5.791 5.793 5.711 5.637 5.637 5.637 5.471 5.429 5.357	55.36.15.65 10.53.65 10.	56.32 15.91 10.69 7.828 7.828 7.828 6.852 6.857 6.194 6.062 5.953 5.862 5.786	57-22 16-14 10-84 7-932 7-338 6-437 6-653 6-269 6-134 6-023 5-931 5-852 5-852 5-675 5-680 5-553	58.04 16.37 10.98 9.028 8.030 7.426 6.510 6.510 6.339 6.202 6.089 5.995 5.915 5.846 5.734 5.668 5.610	58.83 16.57 11.11 9.134 8.122 7.508 6.579 6.809 6.579 6.509 6.579 6.405 6.265 6.151 5.974 5.904 5.790 5.790 5.790 5.790 5.790
1 2 3 4 5 6 6 7 8 9 10 11 12 13 14 15 16 17 18 19 20 20 20 20 20 20 20 20 20 20 20 20 20	50.59 14.39 9.717 8.027 7.168 6.649 6.302 6.054 5.867 5.722 5.605 5.511 5.431 5.364 5.256 5.256 5.212 5.174 5.140 5.108	51.96 14.75 9.926 7.324 6.789 6.431 6.1789 5.983 5.613 5.613 5.6533 5.404 5.352 5.327 5.231 5.199 5.001	53.20 15.08 10.15.08 8.37.3 7.466 6.917 6.550 6.287 5.935 5.625 5.6554 5.625 5.352 5.352 5.352 5.372 5.282	54.33 15.38 10.38 10.38 7.596 7.596 7.596 6.658 6.386 6.028 5.791 5.771 5.637 5.771 5.574 5.520 5.429	55.36.15.65 10.53 8.664 7.717 7.143 6.759 6.427 6.276 6.276 6.114 5.878 5.789 5.714 5.879 5.714 5.879 5.544 5.593 5.544 5.593 5.544 5.545 5.544 5.554 5.554 5.554 5.554 5.554 5.554 5.554 5.555 5.554 5.5555 5.554 5.554 5.554 5.5555 5.554 5.5555 5.554 5.5555 5.554 5.5555 5.5	56.32 15.91 10.69 7.828 7.828 7.224 6.852 6.579 6.194 6.062 5.953 5.862 5.720 5.662	57.22 16.14 10.84 7.932 7.932 7.939 6.653 6.437 6.269 6.134 6.023 5.931 5.852 5.727 5.673 5.630 5.559 5.559	58.04 16.37 10.98 8.030 7.426 6.510 6.510 6.510 6.539 6.202 6.089 5.995 5.915 5.846 5.786	58.83 16.57 11.11 9.134 8.122 7.508 7.608 6.579 6.405 6.579 6.405 6.265 6.155 5.904 5.843 5.743 5.743 5.701 5.645 5.645
1 2 3 4 5 6 7 8 9 10 11 12 13 14 15 16 17 18 19 20 20 24 30 40 40 40 40 40 40 40 40 40 40 40 40 40	50.59 14.39 9.717 8.027 7.168 6.649 6.302 6.054 5.867 5.722 5.605 5.511 5.364 5.364 5.365 5.212 5.174 5.108	51.96 14.75 9.946 7.324 6.7324 6.431 6.173 5.983 5.615 5.983 5.463	53.20 15.08 10.15.08 8.37.3 7.466 6.957 6.287 6.935 5.811 5.710 5.625 5.439 5.392 5.315 5.315 5.282	54.33 15.38 10.35 7.596 7.658 6.389 6.389 6.186 6.028 5.711 5.637 5.574 5.574 5.574 5.574 5.574 5.574 5.357	55.36.15.65 10.65 10.65 10.65 10.65 10.65 10.65 10.65 10.71	56.32 15.91 10.69 7.828 7.2825 6.852 6.8579 6.194 6.062 5.9563 5.786 5.7	57.22 16.14 10.84 7.932 7.338 6.637 6.269 6.437 6.269 6.134 6.023 5.785 5.727 5.675 5.630 5.553 5.439 5.553	58.04 16.37 10.98 9.028 8.030 7.426 6.510 6.510 6.539 6.202 6.089 5.995 5.915 5.846 5.734 5.688 5.647 5.6610	58.83 16.57 11.11 9.134 8.122 7.508 7.508 6.579 6.405 6.579 6.405 6.155 5.974 5.904 5.740
1 2 3 4 5 6 7 8 9 10 11 12 13 14 15 16 17 18 19 20 20 40 60 60 60 60 60 60 60 60 60 60 60 60 60	50.59 14.39 9.717.8.027 7.168 6.649 6.302 6.054 5.867 5.722 5.605 5.511 5.364 5.306 5.256 5.256 5.212 4.917 4.824 4.732	51.96 14.75 9.9208 7.324 6.789 6.431 6.1782 5.983 5.633 5.6533 5.404 5.352 5.267 5.267 5.231 5.109 5.001 4.904	53.20 15.08 10.15.08 8.37.3 7.466 6.917 6.550 6.287 5.935 5.625 5.625 5.493 5.493 5.493 5.493 5.493 5.493 5.493 5.493 5.493 5.392 5.352 5.	54.33 15.38 10.38 10.38 7.596 7.596 7.696 6.658 6.386 6.386 6.028 5.711 5.637 5.711 5.637 5.574 5.574 5.520 5.357	55.36.15.65 10.53 8.664 7.717 7.143 6.759 6.483 6.276 6.276 6.114 5.984 5.8789 5.714 5.649 5.649 5.5427 5.649 5.5427 5.427 5.427 5.427	56.32 15.91 10.69 7.828 7.244 6.852 6.579 6.194 6.062 5.9562 5.720 5.662 5.720 5.662 5.528 5.493	57.22 16.14 10.84 7.932 7.938 6.939 6.653 6.437 6.269 6.134 6.023 5.852 5.785	58.04 16.37 10.98 8.030 7.426 6.510 6.510 6.510 6.539 6.202 6.089 5.995 5.915 5.846 5.688 5.688 5.688 5.688 5.688 5.688 5.688 5.688 5.688 5.688 5.688 5.688 5.688 5.688 5.688 5.688	58.83 16.57 11.13 9.134 8.122 7.508 7.097 6.802 6.579 6.405 6.265 6.155 5.974 5.843 5.744 5.743 5.744 5.743 5.744 5.743
1 2 3 4 5 6 7 8 9 10 11 12 13 14 15 16 17 18 19 20 20 24 30 40 40 40 40 40 40 40 40 40 40 40 40 40	50.59 14.39 9.717 8.027 7.168 6.649 6.302 6.054 5.867 5.722 5.605 5.511 5.364 5.364 5.365 5.212 5.174 5.108	51.96 14.75 9.946 7.324 6.7324 6.431 6.173 5.983 5.615 5.983 5.463	53.20 15.08 10.15.08 8.37.3 7.466 6.957 6.287 6.935 5.811 5.710 5.625 5.439 5.392 5.315 5.315 5.282	54.33 15.38 10.35 7.596 7.658 6.389 6.389 6.186 6.028 5.711 5.637 5.574 5.574 5.574 5.574 5.574 5.574 5.357	55.36.15.65 10.65 10.65 10.65 10.65 10.65 10.65 10.65 10.71	56.32 15.91 10.69 7.828 7.2825 6.852 6.8579 6.194 6.062 5.9563 5.786 5.7	57.22 16.14 10.84 7.932 7.338 6.637 6.269 6.437 6.269 6.134 6.023 5.785 5.727 5.675 5.630 5.553 5.439 5.553	58.04 16.37 10.98 9.028 8.030 7.426 6.510 6.510 6.539 6.202 6.089 5.995 5.915 5.846 5.734 5.688 5.647 5.6610	58.83 16.57 11.11 9.134 8.122 7.508 7.508 6.579 6.405 6.579 6.405 6.155 5.974 5.904 5.740

TABLE 3 (Continued) P = •95

νn	20	.22	24	26	28	30	32	34	36
-, /.,		<del></del>	<del></del>						
1 2	59.56 16.77	60.91 17.13	62.12 17.45	63.22 17.75	64.23 18.02	65.15 18.27	66.01 18.50	66.81 18.72	67.56 18.92
2	16.77	17.13		17.75	18.02	18 27	18.50	18.72	
3	11.24 9.233	11.47 9.418	11.68 9.584	11.87 9.736	12.05 9.875	12.21 10.00	12.36 10.12	12.50 10.23	12.63
5	8.208	8.368	8.512	8.643	8.764	8.875	8.979	9.075	9.165
6	7.587	7.730	7.861	7.979	8.088	8.189	8.283	8.370	8 • 452
7	7.170	7.303	7.423	7.533	7.634	7.728	7.814	7.895	7.972
. 8	6.870	6.995	7.109	7.212	7.307	7.395	7.477	7.554	7.625
9	6.644	6.763	6.871	6.970	7.0.61	7.145	7.222	7.295	7.363
10	6.467	6.582	6.686	6.781	6.868	6.948	.7.023	7.093	7.159
11	6.326	6.436	6.536	6.628	6.712	6.790	6.863	6.930	6.994
12	6.209	6.317	6.414	6.503	6.585	6.660	6.731	6.796	6.858
13	6.112	6.217	6.312	6.398	6.478	6.551 6.459	6.620	6.684	6.744
14 15	5.958	6.132	6.149	6.233	6.309	6.379	6.445	6.506	6.564
16	5.897	5.995	6.084	6.166	6.241	6.310	6.374	6.434	6.491
17	5.842	5.940	6.027	6.107	6.181	6.249	6.313	6.372	6.427
18	5.794	5.890	5.977	6.055	6.128	6.195	6.258	6.316	6.371
19	5.752	5.846	5.932	6.009	6.081	6.147	6.209	6.267	6.321
20	5.714	5.807	5.891	5.968	6.039	6.104	6.165	6.222	6.275
24 30	5.594	5.683	5.764	5.838	5.906	5.968	6.027	6.081	6.132
	5.475	5.561	5.638	5.709	5.774	5.833	5.889	5.941	5.990
40 60	5.358 5.241	5.439 5.319	5.513 5.389	5 • 581 5 • 453	5.642 5.512	5.700 5.566	5.753 5.617	5.803	5.849 5.708
120	5.126	5.200	5.266	5.327	5.382	5.434	5.481	5.526	5.568
- 00	5.012	5.081	5.144	5.201	5.253	5.301	5.346	5.388	5 427
νn	38	40	50	60	7:0	80	90	100	
νn	38	40	50	60	70	80	90	100	
1	68.26	68.92	71.73	73.97	75.82	77.040	78.77	79.98	
1 2	68.26 19.11	68.92 19.28	71.73 20.05	73.97 20.66	75.82 21.16	77.40	78•77 21•96	79.98 22.29	
1	68.26	68.92	71.73	73.97	75.82	77.040	78.77	79.98	
1 2 3 4 5	68.26 19.11 12.75	68.92 19.28 12.87	71.73 20.05 13.36 10.93 9.674	73.97 20.66 13.76	75.82 21.16 14.08 11.51 10.18	77.40 21.59 14.36 11.73 10.38	78.77 21.96 14.61 11.92 10.54	79.98 22.29 14.82 12.09 10.69	
1 2 3 4 5	68.26 19.11 12.75 10.44 9.250 8.529	68.92 19.28 12.87 10.53 9.330 8.601	71.73 20.05 13.36 10.93 9.674 8.913	73.97 20.66 13.76 11.24 9.949 9.163	75.82 21.16 14.08 11.51 10.18 9.370	77.40 21.59 14.36 11.73 10.38 9.548	78.77 21.96 14.61 11.92 10.54 9.702	79.98 22.29 14.82 12.09 10.69 9.839	
1 2 3 4 5 6 7	68.26 19.11 12.75 10.44 9.250 8.529 8.043	68.92 19.28 12.87 10.53 9.330 8.601 8.110	71.73 20.05 13.36 10.93 9.674 8.913 8.400	73.97 20.66 13.76 11.24 9.949 9.163 8.632	75.82 21.16 14.08 11.51 10.18 9.370 8.824	77.40 21.59 14.36 11.73 10.38 9.548 8.989	78.77 21.96 14.61 11.92 10.54 9.702 9.133	79.98 22.29 14.82 12.09 10.69 9.839 9.261	
1 2 3 4 5 6 7 8	68.26 19.11 12.75 10.44 9.250 8.529 8.043 7.693	68.92 19.28 12.87 10.53 9.330 8.601 8.110 7.756	71.73 20.05 13.36 10.93 9.674 8.913 8.400 8.029	73.97 20.66 13.76 11.24 9.949 9.163 8.632 8.632	75.82 21.16 14.08 11.51 10.18 9.370 8.824 8.430	77.40 21.59 14.36 11.73 10.38 9.548 8.989 8.586	78.77 21.96 14.61 11.92 10.54 9.702 9.133 8.722	79.98 22.29 14.82 12.09 10.69 9.839 9.261 8.843	
1 2 3 4 5 6 7 8 9	68 • 26 19 • 11 12 • 75 10 • 44 9 • 250 8 • 529 8 • 043 7 • 693 7 • 428	68.92 19.28 12.87 10.53 9.330 8.601 8.110 7.756 7.488	71.73 20.05 13.36 10.93 9.674 8.913 8.400 8.029 7.749	73.97 20.66 13.76 11.24 9.949 9.163 8.632 8.248 7.958	75.82 21.16 14.08 11.51 10.18 9.370 8.824 8.430 8.132	77.40 21.59 14.36 11.73 10.38 9.548 8.989 8.586 8.281	78.77 21.96 14.61 11.92 10.54 9.702 9.133 8.722 8.410	79.98 22.29 14.82 12.09 10.69 9.839 9.261 8.843 8.526	
1 2 3 4 5 6 7 8 9	68.26 19.11 12.75 10.44 9.250 8.529 8.043 7.428 7.428	68.92 19.28 12.87 10.53 9.330 8.601 8.110 7.756	71.73 20.05 13.36 10.93 9.674 8.913 8.400 8.029 7.749 7.529	73.97 20.66 13.76 11.24 9.949 9.163 8.632 8.632 8.248 7.958 7.730	75.82 21.16 14.08 11.51 10.18 9.370 8.824 8.430 8.132 7.897	77.40 21.59 14.36 11.73 10.38 9.548 8.989 8.586 8.281 8.041	78.77 21.96 14.61 11.92 10.54 9.702 9.133 8.722 8.410 8.166	79.98 22.29 14.82 12.09 10.69 9.839 9.261 8.843 8.526 8.276	
1 2 3 4 5 6 7 8 9 10	68.26 19.11 12.75 10.44 9.250 8.529 8.043 7.693 7.428 7.220	68.92 19.28 12.87 10.53 9.330 8.601 8.110 7.756 7.488 7.279	71.73 20.05 13.36 10.93 9.674 8.913 8.400 8.029 7.749 7.529	73.97 20.66 13.76 11.24 9.949 9.163 8.632 8.632 8.248 7.958 7.730	75.82 21.16 14.08 11.51 10.18 9.370 8.824 8.430 8.132 7.897	77.40 21.59 14.36 11.73 10.38 9.548 8.989 8.586 8.281 8.041	78.77 21.96 14.61 11.92 10.54 9.702 9.133 8.722 8.410 8.166	79.98 22.29 14.82 12.09 10.69 9.839 9.261 8.843 8.526 8.276	
1 2 3 4 5 6 7 8 9 10	68 • 26 19 • 11 12 • 75 10 • 44 9 • 250 8 • 529 8 • 043 7 • 693 7 • 428 7 • 220 7 • 053 6 • 916	68.92 19.28 12.87 10.53 9.330 8.601 8.110 7.756 7.488 7.279	71.73 20.05 13.36 10.93 9.674 8.913 8.400 8.029 7.749 7.529	73.97 20.66 13.76 11.24 9.949 9.163 8.632 8.248 7.958 7.730	75.82 21.16 14.08 11.51 10.18 9.370 8.824 8.430 8.132 7.897	77.40 21.59 14.36 11.73 10.38 9.548 8.989 8.586 8.281 8.041	78.77 21.96 14.61 11.92 10.54 9.702 9.133 8.722 8.410 8.166	79.98 22.29 14.82 12.09 10.69 9.839 9.261 8.526 8.276	
1 2 3 4 5 6 7 8 9 10	68.26 19.11 12.75 10.44 9.250 8.529 8.043 7.693 7.428 7.220 7.053 6.916 6.800	68.92 19.28 12.87 10.53 9.330 8.601 8.110 7.756 7.488 7.279 7.110 6.970 6.854	71.73 20.05 13.36 10.93 9.674 8.913 8.400 8.029 7.749 7.529 7.352 7.205 7.083	73.97 20.66 13.76 11.24 9.949 9.163 8.632 8.248 7.958 7.730 7.546 7.394 7.267	75.82 21.16 14.08 11.51 10.18 9.370 8.824 8.430 8.132 7.897 7.708 7.552 7.421	77.40 21.59 14.36 11.73 10.38 9.548 8.989 8.586 8.281 8.041 7.847 7.687 7.552	78.77 21.96 14.61 11.92 10.54 9.702 9.133 8.722 8.410 8.166	79.98 22.29 14.82 12.09 10.69 9.839 9.261 8.843 8.526 8.276	
1 2 3 4 5 6 7 8 9 10	68 • 26 19 • 11 12 • 75 10 • 44 9 • 250 8 • 529 8 • 043 7 • 693 7 • 428 7 • 220 7 • 053 6 • 916	68.92 19.28 12.87 10.53 9.330 8.601 8.110 7.756 7.488 7.279	71.73 20.05 13.36 10.93 9.674 8.913 8.400 8.029 7.749 7.529	73.97 20.66 13.76 11.24 9.949 9.163 8.632 8.248 7.958 7.730	75.82 21.16 14.08 11.51 10.18 9.370 8.824 8.430 8.132 7.897 7.708 7.552 7.421 7.309 7.212	77.40 21.59 14.36 11.73 10.38 9.548 8.989 8.586 8.281 8.041 7.687 7.687 7.655 7.438 7.339	78.77 21.96 14.61 11.92 10.54 9.702 9.133 8.722 8.410 8.166	79.98 22.29 14.82 12.09 9.839 9.261 8.843 8.276 8.075 7.909 7.769 7.650 7.546	
1 2 3 4 5 6 7 8 9 10 11 12 13 14 15 16	68.26 19.11 12.75 10.44 9.250 8.529 8.043 7.693 7.428 7.220 7.053 6.800 6.702 6.618 6.544	68.92 19.28 12.87 10.53 9.330 8.601 8.110 7.756 7.488 7.279 7.110 6.970 6.854 6.754 6.669 6.594	71.73 20.05 13.36 10.93 9.674 8.913 8.400 8.029 7.7529 7.352 7.205 7.083 6.979 6.888 6.810	73.97 20.66 13.76 11.24 9.949 9.163 8.632 8.632 8.248 7.958 7.730 7.546 7.394 7.267 7.159	75.82 21.16 14.08 11.51 10.18 9.370 8.824 8.430 8.132 7.897 7.708 7.708 7.708 7.212 7.212	77.40 21.59 14.36 11.73 10.38 8.989 8.586 8.281 7.687 7.657 7.657 7.438 7.339	78*77 21*96 14*61 11*92 10*54 9*702 9*133 8*722 8*410 8*166 7*968 7*804 7*667 7*550 7*449	79.98 22.29 14.82 12.69 9.839 9.261 8.8526 8.526 8.526 8.576 7.769 7.697 7.697 7.546 7.457	
1 2 3 4 5 6 7 8 9 10 11 12 13 14 15 16	68.26 19.11 12.75 10.44 9.250 8.529 8.043 7.693 7.428 7.220 7.053 6.916 6.800 6.702 6.618 6.544 6.479	68.92 19.28 12.87 10.53 9.330 8.601 8.601 7.756 7.488 7.279 7.110 6.970 6.854 6.669 6.554 6.669 6.529	71.73 20.05 13.36 10.93 9.674 8.913 8.402 7.749 7.529 7.352 7.205 7.205 6.888 6.810 6.874	73.97 20.66 13.76 11.24 9.949 9.163 8.632 8.632 7.730 7.546 7.394 7.159 7.065 6.982	75.82 21.16 14.08 11.51 10.18 9.370 8.824 8.430 8.132 7.897 7.708 7.552 7.421 7.309 7.212 7.054	77.40 21.59 14.36 11.73 10.38 9.548 8.986 8.281 8.041 7.687 7.6587 7.552 7.438 7.252 7.4176	78.77 21.96 14.61 11.92 9.702 9.133 8.722 8.410 8.166 7.8804 7.657 7.657 7.449 7.360	79.98 22.29 14.82 12.09 9.839 9.261 8.843 8.526 8.276 8.075 7.909 7.650 7.546 7.457	
1 2 3 4 5 6 7 8 9 10 11 12 13 14 15 16 17 18	68.26 19.11 12.75 10.44 9.250 8.529 8.043 7.693 7.428 7.220 7.053 6.916 6.800 6.702 6.618 6.544 6.422	68.92 19.28 12.87 10.53 9.330 8.601 8.110 7.756 7.488 7.279 7.110 6.854 6.970 6.854 6.594 6.594 6.594	71.73 20.05 13.36 10.93 9.674 8.913 8.400 7.749 7.529 7.355 7.083 6.979 6.888 6.810 6.741 6.680	73.97 20.66 13.76 11.24 9.949 9.163 8.632 8.248 7.958 7.958 7.730 7.546 7.394 7.267 7.065 6.984 6.918	75.82 21.16 14.08 11.51 10.18 9.370 8.824 8.430 7.897 7.708 7.552 7.421 7.309 7.212 7.128 7.054 6.989	77.40 21.59 14.36 11.73 9.548 8.989 8.586 8.281 8.041 7.8847 7.652 7.438 7.252 7.176 7.176	78.77 21.96 14.61 11.92 11.95 9.133 8.722 8.410 8.166 7.968 7.864 7.667 7.550 7.360 7.28	79.98 22.29 14.82 12.09 10.69 9.839 9.261 8.843 8.526 8.276 8.075 7.4769 7.4769 7.4546 7.457 7.377	
1 2 3 4 5 6 7 8 9 10 11 12 13 14 15 16 17 18	68.26 19.11 12.75 10.44 9.250 8.529 8.643 7.693 7.428 7.220 7.053 6.916 6.800 6.702 6.618 6.544 6.479 6.422	68.92 19.28 12.87 10.53 9.330 8.601 8.110 7.756 7.488 7.279 7.110 6.975 6.854 6.659 6.529 6.529 6.419	71.73 20.05 13.36 10.93 9.674 8.913 8.400 7.749 7.529 7.352 7.2083 6.979 6.888 6.810 6.741 6.680 6.626	73.97 20.66 13.76 11.24 9.949 9.163 8.6248 7.958 7.730 7.546 7.267 7.159 7.267 7.159 6.984 6.912 6.848 6.792	75.82 21.16 14.08 11.51 10.18 9.370 8.824 8.430 8.132 7.897 7.708 7.552 7.421 7.309 7.2128 7.054 6.930	77.40 21.59 14.36 11.73 10.38 9.548 8.586 8.281 8.041 7.847 7.655 7.458 7.438 7.252 7.476 7.176 7.176 7.176	78.77 21.96 14.61 11.92 9.133 8.722 8.410 8.166 7.968 7.864 7.850 7.450 7.450 7.283 7.213	79.98 22.29 14.82 12.09 10.69 9.839 9.843 8.526 8.276 8.075 7.769 7.650 7.565 7.577 7.377 7.377	
1 2 3 4 5 6 7 8 9 10 11 12 13 14 15 16 17 18	68.26 19.11 12.75 10.44 9.250 8.529 8.043 7.693 7.428 7.220 7.053 6.916 6.800 6.702 6.618 6.544 6.422	68.92 19.28 12.87 10.53 9.330 8.601 8.110 7.756 7.488 7.279 7.110 6.854 6.970 6.854 6.594 6.594 6.594	71.73 20.05 13.36 10.93 9.674 8.913 8.400 7.749 7.529 7.355 7.083 6.979 6.888 6.810 6.741 6.680	73.97 20.66 13.76 11.24 9.949 9.163 8.632 8.248 7.958 7.958 7.730 7.546 7.394 7.267 7.065 6.984 6.918	75.82 21.16 14.08 11.51 10.18 9.370 8.824 8.430 7.897 7.708 7.552 7.421 7.309 7.212 7.128 7.054 6.989	77.40 21.59 14.36 11.73 9.548 8.989 8.586 8.281 8.041 7.8847 7.652 7.438 7.252 7.176 7.176	78.77 21.96 14.61 11.92 11.95 9.133 8.722 8.410 8.166 7.968 7.864 7.667 7.550 7.360 7.28	79.98 22.29 14.82 12.09 10.69 9.839 9.261 8.843 8.526 8.276 8.075 7.4769 7.4769 7.4546 7.457 7.377	
1 2 3 4 5 6 7 8 9 10 11 12 13 14 15 16 17 18 19 20	68.26 19.11 12.75 10.44 9.250 8.529 8.043 7.693 7.428 7.220 7.053 6.916 6.800 6.702 6.618 6.544 6.479 6.422 6.371 6.325	68.92 19.28 12.87 10.53 9.330 8.6010 7.4756 7.448 8.110 6.970 6.874 6.6754 6.659 6.529 6.419 6.373	71-73 20.05 110-93 9.674 8.913 8.4400 8.029 7.749 7.729 7.352 7.205 7.205 7.005 6.979 6.888 6.810 6.741 6.6626 6.576	73.97 20.66 13.76 9.949 9.163 8.632 8.632 8.632 7.958 7.730 7.546 7.394 7.259 7.065 6.912 6.849 6.740	75.82 21.16 14.08 11.51 10.18 9.370 8.824 8.430 8.132 7.897 7.708 7.552 7.421 7.212 7.128 7.054 6.930 6.877	77.40 21.59 14.36 11.673 10.38 9.5589 8.586 8.281 7.687 7.652 7.433 7.252 7.252 7.270 7.609 6.994	78+77 21.96 14.61 11.92 10.54 9.702 9.133 8.722 8.410 7.668 7.804 7.657 7.449 7.360 7.283 7.213 7.152 7.097	79.98 22.29 14.82 12.09 10.69 9.261 8.843 8.526 8.075 7.909 7.7650 7.546	
1 2 3 4 5 6 7 8 9 10 11 12 13 14 15 16 17 18 19 20 20 20 20 20 20 20 20 20 20 20 20 20	68.26 19.11 12.75 10.44 9.250 8.529 8.043 7.693 7.428 7.220 7.053 6.916 6.800 6.702 6.618 6.544 6.472 6.371 6.371	68.92 19.28 12.87 10.53 9.330 8.601 7.458 7.448 7.279 7.110 6.975 6.854 6.754 6.669 6.594 6.594 6.594 6.594 6.594 6.594 6.419 6.373	71.73 20.05 13.36 10.93 9.674 8.913 8.400 8.029 7.729 7.352 7.205 6.979 6.888 6.810 6.626 6.526	73.97 20.66 13.76 11.24 9.949 9.163 8.632 8.632 8.248 7.958 7.730 7.546 7.394 7.265 6.984 6.912 6.740 6.579 6.417	75.82 21.16 14.08 11.51 10.18 9.370 8.824 8.432 7.897 7.708 7.552 7.421 7.212 7.212 7.212 6.930 6.877	77.40 21.59 14.36 11.73 10.38 9.548 8.989 8.586 8.281 8.041 7.655 7.453 7.252 7.438 7.252 7.4109 7.6048 6.994 6.826	78.77 21.96 14.61 11.92 10.54 9.702 9.133 8.722 8.410 8.166 7.968 7.864 7.864 7.864 7.864 7.860	79.98 22.29 14.89 12.09 10.69 9.839 9.261 8.8526 8.526 8.075 7.9709 7.650 7.457 7.307 7.546 7.457 7.307 7.244 7.187	
1 2 3 4 5 6 7 8 9 10 11 12 13 14 15 16 17 18 19 20 20 40 40 40 40 40 40 40 40 40 40 40 40 40	68.26 19.11 12.75 10.44 9.250 8.529 8.043 7.693 7.428 7.220 7.053 6.916 6.800 6.702 6.618 6.544 6.422 6.371 6.325	68.92 19.28 12.87 10.53 9.330 8.6110 7.756 7.488 7.279 7.110 6.975 6.854 6.659 6.529 6.471 6.933 6.226 6.373	71.73 20.05 13.36 10.93 9.674 8.913 8.400 8.029 7.729 7.529 7.352 7.205 6.979 6.888 6.810 6.741 6.680 6.626 6.576	73.97 20.66 13.76 11.24 9.949 9.163 7.9546 7.730 7.546 7.394 7.267 7.159 7.065 6.984 6.912 6.740 6.579 6.425	75.82 21.16 14.08 11.51 10.18 9.370 8.824 8.430 7.552 7.421 7.309 7.212 7.421 7.054 6.989 6.930 6.877	77.40 21.59 14.36 11.73 10.38 9.538 8.989 8.586 8.281 8.041 7.652	78.77 21.96 14.61 11.92 10.54 9.702 9.133 8.722 8.410 0.8.166 7.968 7.8604 7.667 7.550 7.283 7.213 7.27 7.360 7.283 7.27 7.360 7.283 7.27 7.366	79.98 22.29 14.82 12.09 10.69 9.839 9.261 8.8526 8.526 8.526 8.576 7.909 7.650 7.769 7.457 7.307 7.307 7.317 7.317 7.317	
1 2 3 4 5 6 7 8 9 10 11 12 13 14 15 16 17 18 19 20 20 20 20 20 20 20 20 20 20 20 20 20	68.26 19.11 12.75 10.44 9.250 8.529 8.043 7.693 7.428 7.220 7.053 6.916 6.800 6.702 6.618 6.544 6.472 6.371 6.371	68.92 19.28 12.87 10.53 9.330 8.601 7.458 7.448 7.279 7.110 6.975 6.854 6.754 6.669 6.594 6.594 6.594 6.594 6.594 6.594 6.419 6.373	71.73 20.05 13.36 10.93 9.674 8.913 8.400 8.029 7.729 7.352 7.205 6.979 6.888 6.810 6.626 6.526	73.97 20.66 13.76 11.24 9.949 9.163 8.632 8.632 8.248 7.958 7.730 7.546 7.394 7.265 6.984 6.912 6.740 6.579 6.417	75.82 21.16 14.08 11.51 10.18 9.370 8.824 8.432 7.897 7.708 7.552 7.421 7.212 7.212 7.212 6.930 6.877	77.40 21.59 14.36 11.73 10.38 9.548 8.989 8.586 8.281 8.041 7.655 7.453 7.252 7.438 7.252 7.4109 7.6048 6.994 6.826	78.77 21.96 14.61 11.92 10.54 9.702 9.133 8.722 8.410 8.166 7.968 7.864 7.864 7.864 7.864 7.860	79.98 22.29 14.89 12.09 10.69 9.839 9.261 8.8526 8.526 8.075 7.9709 7.650 7.457 7.307 7.546 7.457 7.307 7.244 7.187	
1 2 3 4 5 6 6 7 8 8 9 10 11 12 13 14 15 16 17 18 19 20 24 30 40 60	68.26 19.11 12.75 10.44 9.250 8.529 8.043 7.6428 7.220 7.053 6.916 6.800 6.702 6.618 6.544 6.479 6.422 6.371 6.325 6.916 6.325 6.918	68.92 19.28 12.87 10.53 9.330 8.601 8.110 7.758 7.488 7.279 7.110 6.854 6.754 6.6529 6.529 6.529 6.529 6.529 6.529 6.529 6.529 6.529 6.529 6.529 6.529	71.73 20.05 13.36 10.93 9.674 8.913 8.400 8.029 7.7529 7.352 7.252 7.2083 6.978 6.888 6.810 6.676 6.576 6.267 6.267 6.128	73.97 20.66 13.76 11.24 9.949 9.163 8.632 8.28.248 7.958 7.730 7.546 7.3947 7.165 6.984 6.984 6.792 6.848 6.792 6.417 6.259	75.82 21.16 14.08 11.51 10.18 9.370 8.824 8.432 7.897 7.708 7.552 7.421 7.212 7.128 7.054 6.989 6.930 6.877 6.543 6.375 6.206	77.40 21.59 14.37 11.73 10.38 9.548 8.989 8.581 8.041 7.847 7.655 7.438 7.252 7.438 7.252 7.409 6.699 6.650 6.477	78.77 21.96 14.61 11.92 10.54 9.702 9.133 8.722 9.133 8.7410 8.410 8.416 7.968 7.866 7.866 7.866 7.449 7.283 7.213 7.213 7.213 7.213 7.213 6.724 6.566 6.744 6.566	79.98 22.29 14.82 12.09 10.69 9.839 9.261 8.8526 8.526 8.526 8.526 8.526 8.526 7.57 7.549 7.545	

1138 H. LEON HARTER

TABLE 3 (Continued)

P = •99

νn	2	3	4	5	6	7	8	9	10
1 2 3 4 5 6 7 8 9	90.03 14.04 8.261 6.512 5.702 5.243 4.949 4.746 4.596 4.482	135.0 19.02 10.62 8.120 6.976 6.331 5.919 5.635 5.428 5.270	164.3 22.29 12.17 9.173 7.804 7.033 6.543 6.204 5.957 5.769	185.6 24.72 13.33 9.958 8.421 7.556 7.005 6.625 6.348 6.136	202.2 26.63 14.24 10.58 8.913 7.973 7.373 6.960 6.658 6.428	215.8 28.20 15.00 11.10 9.321 8.318 7.679 7.237 6.915 6.669	227.2 29.53 15.64 11.55 9.669 8.613 7.939 7.474 7.134 6.875	237.0 30.68 16.20 11.93 9.972 8.869 8.166 7.681 7.325 7.055	245.6 31.69 16.69 12.27 10.24 9.097 8.368 7.863 7.495 7.213
11 12 13 14 15 16 17 18 19	4.392 4.320 4.260 4.210 4.168 4.131 4.099 4.071 4.046 4.024	5.146 5.046 4.964 4.895 4.836 4.786 4.742 4.703 4.670 4.639	5.621 5.502 5.404 5.322 5.252 5.192 5.140 5.094 5.054 5.018	5.970 5.836 5.727 5.634 5.556 5.489 5.430 5.379 5.334 5.294	6.247 6.101 5.981 5.881 5.796 5.722 5.659 5.603 5.554 5.510	6.476 6.321 6.192 6.085 5.994 5.915 5.847 5.788 5.735 5.688	6.672 6.507 6.372 6.258 6.162 6.079 6.007 5.944 5.889 5.839	6.842 6.670 6.528 6.409 6.309 6.222 6.147 6.081 6.022 5.970	6.992 6.814 6.667 6.543 6.439 6.349 6.270 6.201 6.141 6.087
24 30 40 60 120	3.956 3.889 3.825 3.762 3.702 3.643	4.546 4.455 4.367 4.282 4.200 4.120	4.907 4.799 4.696 4.595 4.497 4.403	5.168 5.048 4.931 4.818 4.709 4.603	5.374 5.242 5.114 4.991 4.872 4.757	5.542 5.401 5.265 5.133 5.005 4.882	5.685 5.536 5.392 5.253 5.118 4.987	5.809 5.653 5.502 5.356 5.214 5.078	5.919 5.756 5.599 5.447 5.299 5.157
νn	11	12	13	14	15	16	17	18	19
1 2 3 4 5 6 7 8 9	11 253.2 32.59 17.13 12.57 10.48 9.301 8.548 8.027 7.647 7.356	12 260 • 0 33 • 40 17 • 53 12 • 84 10 • 70 9 • 48 5 8 • 711 8 • 176 7 • 784 7 • 48 5	13 266.2 34.13 17.89 13.09 10.89 9.653 8.860 8.312 7.910 7.603	271.8 34.81 18.22 13.32 11.08 9.808 8.997 8.436 8.025 7.712	15 277.0 35.43 18.52 13.53 11.24 9.951 9.124 8.552 8.132 7.812	16 281.8 36.00 18.81 13.73 11.40 10.08 9.242 8.659 8.232 7.906	17 286.3 36.53 19.07 13.91 11.55 10.21 9.353 8.760 8.325 7.993	18 290 • 4 37 • 03 19 • 32 14 • 08 11 • 68 10 • 32 9 • 456 8 • 854 8 • 412 8 • 076	19 294.3 37.50 19.55 14.24 11.81 10.43 9.554 8.943 8.495 8.153
1 2 3 4 5 6 7 8 9	253.2 32.59 17.13 12.57 10.48 9.301 8.548 8.027 7.647	260 • 0 33 • 40 17 • 53 12 • 84 10 • 70 9 • 485 8 • 711 8 • 176 7 • 784	266.2 34.13 17.89 13.09 10.89 9.653 8.860 8.312 7.910	271.8 34.81 18.22 13.32 11.08 9.808 8.997 8.436 8.025	277.0 35.43 18.52 13.53 11.24 9.951 9.124 8.552 8.132	281.8 36.00 18.81 13.73 11.40 10.08 9.242 8.659 8.232	286.3 36.53 19.07 13.91 11.55 10.21 9.353 8.760 8.325	290.4 37.03 19.32 14.08 11.68 10.32 9.456 8.854 8.412	294.3 37.50 19.55 14.24 11.81 10.43 9.554 8.943 8.495

TABLE 3 (Continued)
P = •99

	v n	20	22	24	26	28	30	32	34	36
•	1 2 3 4 5 6 7 8 9	298.0 37.95 19.77 14.40 11.93 10.54 9.646 9.027 8.573 8.226	304.7 38.76 20.17 14.68 12.16 10.73 9.815 9.182 8.717 8.361	310 • 8 39 • 49 20 • 53 14 • 93 12 • 36 10 • 91 9 • 970 9 • 322 8 • 847 8 • 483	316.3 40.15 20.86 15.16 12.54 11.06 10.11 9.450 8.966 8.595	321.3 40.76 21.16 15.37 12.71 11.21 10.24 9.569 9.075 8.698	326.0 41.32 21.44 15.57 12.87 11.34 10.36 9.678 9.177 8.794	330 • 3 41 • 84 21 • 70 15 • 75 13 • 02 11 • 47 10 • 47 9 • 779 9 • 271 8 • 883	334.3 42.33 21.95 15.92 13.15 11.58 10.58 9.874 9.360 8.966	338.0 42.78 22.17 16.08 13.28 11.69 10.67 9.964 9.443 9.044
	11 12 13 14 15 16 17 18 19 20	7.952 7.731 7.548 7.395 7.264 7.152 7.053 6.968 6.891 6.823	8.080 7.853 7.665 7.508 7.374 7.258 7.158 7.070 6.992 6.922	8 • 196 7 • 964 7 • 772 7 • 611 7 • 474 7 • 356 7 • 253 7 • 163 7 • 082 7 • 011	8.303 8.066 7.870 7.705 7.566 7.445 7.340 7.247 7.166 7.092	8.400 8.159 7.960 7.792 7.650 7.527 7.420 7.325 7.242 7.168	8.491 8.246 8.043 7.873 7.728 7.602 7.493 7.398 7.313 7.237	8.575 8.327 8.121 7.948 7.800 7.673 7.563 7.465 7.379 7.302	8.654 8.402 8.193 8.018 7.369 7.739 7.627 7.528 7.440 7.362	8.728 8.473 8.262 8.084 7.932 7.802 7.687 7.587 7.498 7.419
	24 30 40 60 120	6.612 6.407 6.209 6.015 5.827 5.645	6.705 6.494 6.289 6.090 5.897 5.709	6.789 6.572 6.362 6.158 5.959 5.766	6.865 6.644 6.429 6.220 6.016 5.818	6.936 6.710 6.490 6.277 6.069 5.866	7.001 6.772 6.547 6.330 6.117 5.911	7.062 6.828 6.600 6.378 6.162 5.952	7.119 6.881 6.650 6.424 6.204 5.990	7.173 6.932 6.697 6.467 6.244 6.026
	מע	38	40	50	60	70	80	90	100	
	1 2 3 4 5 6 7 8 9	38 341.5 43.21 22.39 16.23 13.40 11.80 10.77 10.05 9.521 9.117	40 344.8 43.61 22.59 16.37 13.52 11.90 10.85 10.13 9.594 9.187	50 358.9 45.33 23.45 16.98 14.00 12.31 11.23 10.47 9.912 9.486	60 370 • 1 46 • 70 24 • 13 17 • 46 14 • 39 12 • 65 11 • 52 10 • 75 10 • 17 9 • 726	70 379.4 47.83 24.71 17.86 14.72 12.92 11.77 10.97 10.38 9.927	80 387 • 3 48 • 80 25 • 19 18 • 20 14 • 99 13 • 16 11 • 99 11 • 17 10 • 57 10 • 10	90 394.1 49.64 25.62 18.50 15.23 13.37 12.17 11.34 10.73 10.25	100 400 • 1 50 • 38 25 • 99 18 • 77 15 • 45 13 • 55 12 • 34 11 • 49 10 • 87 10 • 39	1
	1 2 3 4 5 6 7 8 9	341.5 43.21 22.39 16.23 13.40 11.80 10.77 10.05 9.521	344.8 43.61 22.59 16.37 13.52 11.90 10.85 10.13 9.594	358.9 45.33 23.45 16.98 14.00 12.31 11.23 10.47 9.912	370 • 1 46 • 70 24 • 13 17 • 46 14 • 39 12 • 65 11 • 52 10 • 75 10 • 17	379.4 47.83 24.71 17.86 14.72 12.92 11.77 10.97	387.3 48.80 25.19 18.20 14.99 13.16 11.99 11.17 10.57	394.1 49.64 25.62 18.50 15.23 13.37 12.17 11.34 10.73	400 • 1 50 • 38 25 • 99 18 • 77 15 • 45 13 • 55 12 • 34 11 • 49 10 • 87	

1142

### H. LEON HARTER

TABLE 3 (Continued)

P = •999

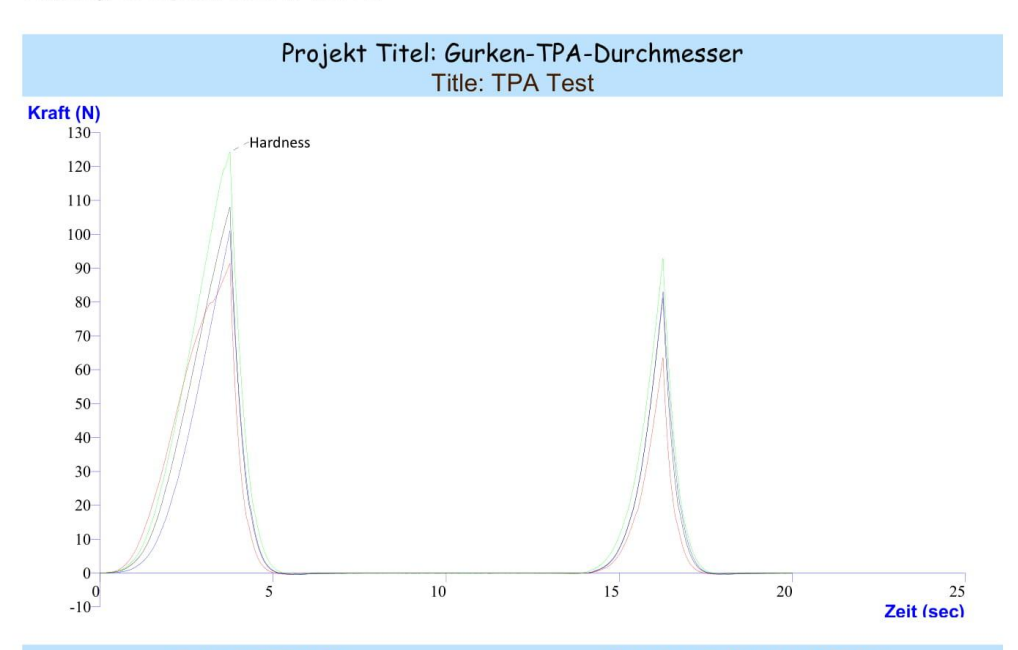
νn	2	3	4	5	-6	7	8	9	10
1	900.3	1351.	1643.	1856.	2022.	2158.	2272.	2370.	2455.
2	44.69	60.42	70.77	78.43	84.49	89.46	93.67	97.30	100.5
3	18.28	23.32	26.65	29.13	31.11	32.74	34.12	35.33	36.39
4	12.18	14.99	16.84	18.23	19.34	20.26	21.04	21.73	22.33
5	9.714	11.67	12.96	13.93	14.71	15.35	15.90	16.38	16.81
6	8.427	9.960	10.97	11.72	12.32	12.83	13.26	13.63	13.97
7	7.648	8.930	9.768	10.40	10.90	11.32	11.68	11.99	12.27
8 9	7.130 6.762	8 • 250 7 • 768	8.978	8.906	9.958	10.32 9.619	9.897	10.91	11.15 10.36
10	6.487	7.411	8.006	8.450	8.804	9.099	9.352	9.573	9.769
20	1								
11	6.275 6.106	7.136 6.917	7.687	8.098	8 • 426	8 699	8.933	9.138 8.793	9.319
			7.436	7.821	8.127	8.383	8.601		
13	5.970	6.740	7.231	7.595	7.885	8 • 126	8.333	8.513	8 • 673
14	5.856	6.594	7.062 6.920	7.409 7.252	7.685 7.517	7.915 7.736	8 • 110 7 • 925	8 • 282 8 • 088	8.434
15 16	5.760 5.678	6.470	6.799	7.119	7.374	7.585	7.766	7.923	8.063
17	5.608	6.275	6.695	7.005	7.250	7.454	7.629	7.781	7.916
18	5.546	6.196	6.604	6.905	7.143	7.341	7.510	7.657	7.788
19	5.492	6.127	6.525	6.817	7.049	7.242	7.405	7.549	7.676
20	5.444	6.065	6.454	6.740	6.966	7.154	7.313	7.453	7.577
								_	
24 30	5.297 5.156	5.877 5.698	6.238	6.503 6.278	6.712	6.884	7.031 6.763	7.159 6.880	7.272 6.984
40	5.022	5.528	5.838	6.063	6.240	6.386	6.509	6.616	6.711
60	4.894	5.365	5.653	5.860	6.022	6.155	6.268	6.366	6.451
120	4.771	5.211	5.476	5.667	5.815	5.937	6.039	6.128	6.206
	4.654	5.063	5.309	5.484	5.619	5.730	5.823	5.903	5.973
			- 10	27	16	- 1	- 17		10
νn	11	12	13	14	. 15	16	17	18	19
1	2532.	2600.	2662•	2718.	2770.	2818.	2863.	2904.	2943.
1 2	2532 · . 103 · 3	2600 • 105 • 9	2662 • 108 • 2	2718 • 110 • 4	2770. 112.3	2818 • 114 • 2	2863. 115.9	2904 • 117 • 4	2943. 118.9
1 2 3	2532 • . 103 • 3 37 • 34	2600 • 105 • 9 38 • 20	2662 • 108 • 2 38 • 98	2718 • 110 • 4 39 • 69	2770 • 112 • 3 40 • 35	2818 • 114 • 2 40 • 97	2863. 115.9 41.54	2904 • 117 • 4 42 • 07	2943. 118.9 42.58
1 2 3 4	2532 • . 103 • 3 37 • 34 22 • 87	2600 • 105 • 9 38 • 20 23 • 36	2662 • 108 • 2 38 • 98 23 • 81	2718• 110•4 39•69 24•21	2770 • 112 • 3 40 • 35 24 • 59	2818 • 114 • 2 40 • 97 24 • 94	2863. 115.9 41.54 25.27	2904. 117.4 42.07 25.58	2943. 118.9 42.58 25.87
1 2 3 4 5	2532 • . 103 • 3 37 • 34 22 • 87 17 • 18	2600 • 105 • 9 38 • 20 23 • 36 17 • 53	2662. 108.2 38.98 23.81 17.85	2718 • 110 • 4 39 • 69 24 • 21 18 • 13	2770 • 112 • 3 40 • 35 24 • 59 18 • 41	2818. 114.2 40.97 24.94 18.66	2863. 115.9 41.54 25.27 18.89	2904. 117.4 42.07 25.58 19.10	2943. 118.9 42.58 25.87 19.31
1 2 3 4	2532 • . 103 • 3 37 • 34 22 • 87	2600 • 105 • 9 38 • 20 23 • 36	2662 • 108 • 2 38 • 98 23 • 81	2718• 110•4 39•69 24•21	2770 • 112 • 3 40 • 35 24 • 59	2818 • 114 • 2 40 • 97 24 • 94	2863. 115.9 41.54 25.27	2904. 117.4 42.07 25.58	2943. 118.9 42.58 25.87
1 2 3 4 5 6 7 8	2532 •	2600 • 105 • 9 38 • 20 23 • 36 17 • 53 14 • 54 12 • 74 11 • 56	2662. 108.2 38.98 23.81 17.85 14.79 12.95 11.74	2718 • 110 • 4 39 • 69 24 • 21 18 • 13 15 • 01 13 • 14 11 • 91	2770 • 112 • 3 40 • 35 24 • 59 18 • 41 15 • 22 13 • 32 12 • 06	2818 • 114 • 2 40 • 97 24 • 94 18 • 66 15 • 42 13 • 48 12 • 21	2863. 115.9 41.54 25.27 18.89 15.60 13.64 12.34	2904 • 117 • 4 42 • 07 25 • 58 19 • 10 15 • 78 13 • 78 12 • 47	2943 • 118 • 9 42 • 58 25 • 87 19 • 31 15 • 94 13 • 92 12 • 59
1 2 3 4 5 6 7 8	2532. 103.3 37.34 22.87 17.18 14.27 12.52 11.36 10.55	2600 • 105 • 9 38 • 20 23 • 36 17 • 53 14 • 54 12 • 74 11 • 56 10 • 73	2662. 108.2 38.98 23.81 17.85 14.79 12.95 11.74 10.89	2718 • 110 • 4 39 • 69 24 • 21 18 • 13 15 • 01 13 • 14 11 • 91 11 • 03	2770 • 112 • 3 40 • 35 24 • 59 18 • 41 15 • 22 13 • 32 12 • 06 11 • 18	2818 • 114 • 2 40 • 97 24 • 94 18 • 66 15 • 42 13 • 48 12 • 21 11 • 30	2863. 115.9 41.54 25.27 18.89 15.60 13.64 12.34 11.42	2904 • 117 • 4 42 • 07 25 • 58 19 • 10 15 • 78 13 • 78 12 • 47 11 • 54	2943. 118.9 42.58 25.87 19.31 15.94 13.92 12.59 11.64
1 2 3 4 5 6 7 8	2532 •	2600 • 105 • 9 38 • 20 23 • 36 17 • 53 14 • 54 12 • 74 11 • 56	2662. 108.2 38.98 23.81 17.85 14.79 12.95 11.74	2718 • 110 • 4 39 • 69 24 • 21 18 • 13 15 • 01 13 • 14 11 • 91	2770 • 112 • 3 40 • 35 24 • 59 18 • 41 15 • 22 13 • 32 12 • 06	2818 • 114 • 2 40 • 97 24 • 94 18 • 66 15 • 42 13 • 48 12 • 21	2863. 115.9 41.54 25.27 18.89 15.60 13.64 12.34	2904 • 117 • 4 42 • 07 25 • 58 19 • 10 15 • 78 13 • 78 12 • 47	2943 • 118 • 9 42 • 58 25 • 87 19 • 31 15 • 94 13 • 92 12 • 59
1 2 3 4 5 6 7 8 9	2532. 103.3 37.34 22.87 17.18 14.27 12.52 11.36 10.55 9.946	2600 • 105 • 9 38 • 20 23 • 36 17 • 53 14 • 54 12 • 74 11 • 56 10 • 73 10 • 11	2662. 108.2 38.98 23.81 17.85 14.79 12.95 11.74 10.89 10.25	2718 • 110 • 4 39 • 69 24 • 21 18 • 13 15 • 01 13 • 14 11 • 91 11 • 03 10 • 39	2770 • 112 • 3 40 • 35 24 • 59 18 • 41 15 • 22 13 • 32 12 • 06 11 • 18 10 • 52	2818 • 114 • 2 40 • 97 24 • 94 18 • 66 15 • 42 13 • 48 12 • 21 11 • 30 10 • 64	2863 • 115 • 9 41 • 54 25 • 27 18 • 89 15 • 60 13 • 64 12 • 34 11 • 42 10 • 75	2904. 117.4 42.07 25.58 19.10 15.78 13.78 12.47 11.54 10.85	2943 • 118 • 9 42 • 58 7 19 • 31 15 • 94 13 • 92 12 • 59 11 • 64 10 • 95
1 2 3 4 5 6 7 8 9	2532. 103.3 37.34 22.87 17.18 14.27 12.52 11.36 10.55 9.946	2600 • 105 • 9 38 • 20 23 • 36 17 • 53 14 • 54 12 • 74 11 • 56 10 • 73 10 • 11	2662. 108.2 38.98 23.81 17.85 14.79 12.95 11.74 10.89 10.25	2718 • 110 • 4 39 • 69 24 • 21 18 • 13 15 • 01 13 • 14 11 • 91 11 • 03 10 • 39	2770 • 112 • 3 40 • 35 24 • 59 18 • 41 15 • 22 13 • 32 12 • 06 11 • 18 10 • 52	2818 • 114 • 2 40 • 97 24 • 94 18 • 66 15 • 42 13 • 48 12 • 21 11 • 30 10 • 64	2863 • 115 • 9 41 • 54 25 • 27 18 • 89 15 • 60 13 • 64 12 • 34 11 • 42 10 • 75	2904. 117.4 42.07 25.58 19.10 15.78 13.78 12.47 11.54 10.85	2943 • 118 • 9 42 • 58 7 19 • 31 15 • 94 13 • 92 12 • 59 11 • 64 10 • 95
1 2 3 4 5 6 7 8	2532. 103.3 37.34 22.87 17.18 14.27 12.52 11.36 10.55 9.946	2600 • 105 • 9 38 • 20 23 • 36 17 • 53 14 • 54 12 • 74 11 • 56 10 • 73	2662. 108.2 38.98 23.81 17.85 14.79 12.95 11.74 10.89 10.25	2718 • 110 • 4 39 • 69 24 • 21 18 • 13 15 • 01 13 • 14 11 • 91 11 • 03 10 • 39 9 • 892 9 • 498	2770 • 112 • 3 40 • 35 24 • 59 18 • 41 15 • 22 13 • 32 12 • 06 11 • 18	2818 • 114 • 2 40 • 97 24 • 94 18 • 66 15 • 42 13 • 48 12 • 21 11 • 30	2863. 115.9 41.54 25.27 18.89 15.60 13.64 12.34 11.42	2904 • 117 • 4 42 • 07 25 • 58 19 • 10 15 • 78 13 • 78 12 • 47 11 • 54	2943. 118.9 42.58 25.87 19.31 15.94 13.92 12.59 11.64
1 2 3 4 5 6 7 8 9 10	2532. 103.3 37.34 22.87 17.18 14.27 12.52 11.36 10.55 9.946 9.482 9.115 8.817 8.571	2600 • 105 • 9 38 • 20 23 • 36 17 • 53 14 • 54 12 • 74 11 • 56 10 • 73 10 • 11 9 • 630 9 • 254 8 • 948 8 • 696	2662• 108•2 38•98 23•81 17•85 14•79 12•95 11•74 10•89 10•25	2718 • 110 • 4 39 • 69 24 • 21 18 • 13 15 • 01 13 • 14 11 • 91 11 • 03 10 • 39 9 • 892 9 • 478 8 • 914	2770 • 112 • 3 40 • 35 24 • 59 18 • 41 15 • 22 13 • 32 12 • 06 11 • 18 10 • 52 10 • 01 9 • 606 9 • 281 9 • 012	2818 • 114 • 2 40 • 97 24 • 94 18 • 66 15 • 42 13 • 48 12 • 21 11 • 30 10 • 64 10 • 12 9 • 707 9 • 376 9 • 103	2863 • 115 • 9 41 • 54 25 • 27 18 • 89 15 • 60 13 • 64 12 • 34 11 • 42 10 • 75 10 • 22 9 • 802 9 • 188	2904 • 117 • 4 42 • 07 25 • 58 19 • 10 15 • 78 13 • 78 12 • 47 11 • 54 10 • 85 10 • 31 9 • 891 9 • 895 9 • 267	2943• 118•9 42•58 25•87 19•31 15•94 13•92 12•59 10•41 9•975 10•41 9•975 9•629 9•343
1 2 3 4 5 6 7 8 9 10	2532. 103.3 37.34 22.87 17.18 14.27 12.52 11.36 10.55 9.946 9.482 9.115 8.817 8.571 8.365	2600 • 105 • 9 38 • 20 23 • 36 17 • 53 14 • 54 12 • 74 11 • 56 10 • 73 10 • 11 9 • 630 9 • 254 8 • 948 8 • 696 8 • 483	2662. 108.2 38.98 23.81 17.85 14.79 12.95 11.74 10.89 10.25 9.766 9.381 9.068 8.699 8.592	2718. 110.4 39.69 24.21 18.13 15.01 13.14 11.91 11.03 10.39 9.892 9.498 9.178 8.914 8.693	2770 • 112 • 3 40 • 35 24 • 59 18 • 41 15 • 22 13 • 32 12 • 06 11 • 18 10 • 52 10 • 01 9 • 606 9 • 281 9 • 012 8 • 786	2818. 114.2 40.97 24.94 18.66 15.42 13.48 12.21 11.30 10.64 10.12 9.707 9.376 9.103 8.872	2863. 115.9 41.54 25.27 18.89 15.60 13.64 12.34 11.42 10.75 10.22 9.802 9.186 9.188 9.5466	2904 • 117 • 4 42 • 07 25 • 58 19 • 10 15 • 78 13 • 78 12 • 47 11 • 54 10 • 85 10 • 31 9 • 550 9 • 550 9 • 030	2943. 118.9 42.58 25.87 19.31 15.94 13.92 12.59 11.64 10.95 10.41 9.975 9.623 9.343 9.102
1 2 3 4 5 6 7 8 9 10 11 12 13 14 15 16	2532. 103.3 37.34 22.87 17.18 14.27 12.52 11.36 10.55 9.946 9.482 9.115 8.817 8.571 8.571 8.365 8.189	2600 • 105 • 9 38 • 20 23 • 36 17 • 54 12 • 74 11 • 56 10 • 73 10 • 11 9 • 630 9 • 254 8 • 948 8 • 696 8 8 • 483 8 • 803	2662 • 108 • 2 38 • 98 23 • 81 17 • 85 14 • 79 12 • 95 11 • 74 10 • 25 9 • 766 9 • 381 9 • 068 8 • 809 2 8 • 407	2718. 110.4 39.69 24.21 18.13 15.01 13.14 11.91 11.03 9.892 9.498 9.178 8.914 8.693 8.504	2770. 112.3 40.35 24.59 18.41 15.22 13.32 12.06 11.18 10.52 10.01 9.606 9.281 9.012 8.786 8.786	2818. 114.2 40.97 24.94 18.66 15.42 13.48 12.21 11.30 10.64 10.12 9.707 9.376 9.103 8.876	2863. 115.9 41.54 25.27 18.89 15.60 13.64 12.34 11.42 10.75 10.22 9.802 9.802 9.466 9.188 8.954 8.955	2904• 117•4 42•07 25•58 19•10 15•78 13•78 12•47 11•54 10•85 10•31 9•891 9•550 9•267 9•267 9•030 8•828	2943. 118.9 42.58 25.87 19.31 19.31 13.92 12.59 11.69 10.95 10.41 9.975 9.629 9.343 9.8897
1 2 3 4 5 6 7 8 9 10 11 12 13 14 15 16	2532. 103.3 37.34 22.87 17.18 14.27 12.52 11.36 10.55 9.946 9.482 9.115 8.817 8.817 8.365 8.189 8.037	2600 • 105 • 9 38 • 20 23 • 36 • 20 17 • 53 14 • 54 12 • 74 11 • 56 10 • 73 10 • 11 9 • 630 9 • 254 8 • 696 8 • 483 8 • 303 8 • 303 8 • 3148	2662 • 108 • 2 38 • 98 23 • 81 17 • 85 14 • 79 12 • 95 10 • 25 9 • 766 9 • 381 9 • 068 8 • 809 8 • 592 8 • 407	2718• 110•4 39•69 24•21 18•13 15•01 13•14 11•91 11•91 11•93 9•892 9•498 9•178 8•914 8•693 8•504	2770 • 112 • 3 40 • 35 24 • 59 18 • 41 15 • 22 13 • 32 12 • 10 • 51 10 • 52 10 • 66 9 • 281 10 • 59 68 • 59 38 • 427	2818. 114.2 40.97 24.94 18.66 15.42 13.48 12.21 11.30 10.64 10.12 9.707 9.376 9.103 8.872 8.676 8.508	2863. 115.9 41.54 25.27 18.89 15.60 13.64 11.42 10.75 10.22 9.802 9.466 8.954 8.954 8.954 8.755	2904• 117•4 42•07 25•58 19•10 15•78 13•78 12•47 11•54 10•85 10•31 9•891 9•507 9•030 8•8267 9•030 8•8268	2943. 118.9 42.58 25.87 19.31 15.94 13.92 12.59 11.64 10.95 10.41 9.975 10.41 9.975 9.629 9.343 9.102 8.897 8.720
1 2 3 4 5 6 7 8 9 10 11 12 13 14 15 16 17 18	2532. 103.3 37.34 22.87 17.18 14.27 12.52 11.36 10.55 9.462 9.482 9.115 8.817 8.571 8.365 8.189 8.037	2600. 105.9 38.20 23.36 17.53 14.54 12.74 11.56 10.73 10.11 9.630 9.254 8.948 8.698 8.483 8.303 8.148	2662. 108.2 38.98 23.81 17.85 14.79 11.74 10.25 9.766 9.361 9.068 8.809 8.809 8.407 8.248 8.248 8.110	2718• 110•4 39•69 24•21 18•13 15•01 13•14 11•91 11•03 10•39  9•892 9•498 9•178 8•693 8•504 8•693 8•504 8•342	2770. 112.3 40.35 24.59 18.41 15.22 13.32 12.06 11.18 10.52 10.01 9.606 9.281 9.016 8.786 8.786 8.983 8.427	2818. 114.2 40.97 24.94 18.66 15.42 13.48 12.21 11.30 10.64 10.12 9.707 9.376 9.103 8.872 8.676 8.508 8.508 8.361	2863. 115.9 41.54 25.27 18.89 15.60 13.64 11.42 10.75 10.22 9.802 9.466 9.188 8.954 8.755 8.583 8.434	2904. 117.4 42.07 25.58 19.10 15.78 13.78 12.47 11.54 10.85 10.85 10.81 9.891 9.550 9.267 9.267 9.030 8.828 8.654 8.502	2943. 118.9 42.58 25.87 19.31 15.94 13.92 11.64 10.95 10.41 9.975 9.624 9.643 9.102 8.897 8.720 8.720 8.750
1 2 3 4 5 6 7 8 9 10 11 12 13 14 15 16 17 18	2532. 103.3 37.34 22.87 17.18 14.27 12.52 11.36 10.55 9.946 9.482 9.115 8.817 8.857 8.857 8.966 8.189 8.037 7.990	2600 • 105 • 9 38 • 20 23 • 36 17 • 53 14 • 54 12 • 74 11 • 56 10 • 73 10 • 11 9 • 630 48 • 48 8 • 696 8 • 483 8 • 148 8 • 012 7 • 893	2662 • 108 • 2 38 • 98 23 • 81 17 • 85 14 • 79 12 • 95 10 • 25 9 • 766 9 • 381 9 • 068 8 • 809 8 • 592 8 • 407	2718• 110•4 39•69 24•21 18•13 15•01 13•14 11•91 11•91 11•93 9•892 9•498 9•178 8•914 8•693 8•504	2770. 112.3 40.35 24.59 18.41 15.22 13.32 12.06 11.18 10.52  10.01 9.606 9.281 9.012 8.786 8.783 8.427 8.283 8.427 8.283	2818. 114.2 40.97 24.94 18.66 15.42 13.48 12.21 11.30 10.64 10.12 9.707 9.376 9.103 8.872 8.676 8.508	2863. 115.9 41.54. 25.27. 18.89. 15.60. 13.64. 12.34. 11.42. 10.75. 10.22. 9.80. 9.466. 9.188. 8.95. 8.95. 8.95. 8.96. 8.97.	2904• 117•4 42•07 25•58 19•10 15•78 13•78 12•47 11•54 10•85 10•31 9•891 9•507 9•030 8•8267 9•030 8•8268	2943. 118.9 42.58 25.87 19.31 15.94 13.92 12.59 11.64 10.95 10.41 9.975 10.41 9.975 9.629 9.343 9.102 8.897 8.720
1 2 3 4 5 6 7 8 9 10 11 12 13 14 15 16 17 18	2532. 103.3 37.34 22.87 17.18 14.27 12.52 11.36 10.55 9.462 9.482 9.115 8.817 8.571 8.365 8.189 8.037	2600. 105.9 38.20 23.36 17.53 14.54 12.74 11.56 10.73 10.11 9.630 9.254 8.948 8.698 8.483 8.303 8.148	2662. 108.2 38.98 23.81 17.85 14.79 11.74 10.89 10.25 9.766 9.381 8.809 8.809 8.599 8.407 8.248 8.110 7.988	2718. 110.4 39.69 24.21 18.13 15.01 13.14 11.91 11.03 10.39 9.892 9.498 8.914 8.	2770. 112.3 40.35 24.59 18.41 15.22 13.32 12.06 11.18 10.52 10.01 9.606 9.281 9.016 8.786 8.786 8.983 8.427	2818. 114.2 40.97 24.94 18.66 15.42 13.48 12.21 11.30 10.64 10.12 9.77 9.103 8.872 8.676 8.508 8.361	2863. 115.9 41.54 25.27 18.89 15.60 13.64 11.42 10.75 10.22 9.802 9.466 9.188 8.954 8.755 8.583 8.434	2904• 117•4 42•07 25•58 19•10 15•78 13•78 12•47 11•54 10•85  10•31 9•851 9•567 9•267 9•267 9•38 8•654 8•504 8•504 8•369	2943. 118.9 42.58 25.87 19.31 15.94 13.92 12.59 11.64 10.95 10.41 9.62 9.62 9.62 9.34 8.89 8.89 8.720 8.53 8.53 8.53 8.54 8.54 8.55
1 2 3 4 5 6 7 8 9 10 11 12 13 14 15 16 17 18 19 20 24	2532. 103.3 37.34 22.87 17.18 14.27 12.52 11.36 10.55 9.946 9.482 9.115 8.817 8.857 8.857 8.8037 7.900 7.688 7.374	2600. 105.9 38.20 23.36 17.53 14.54 11.56 10.11 9.630 9.254 8.948 8.696 8.483 8.003 7.7893 7.788	2662. 108.2 38.98 23.81 17.85 14.79 11.74 10.89 10.25 9.766 9.381 9.068 8.809 8.592 8.592 8.248 8.110 7.988 7.880	2718. 110.4 39.69 24.21 18.13 15.01 11.03 10.39 9.892 9.498 9.178 8.693 8.914 8.693 8.914 8.693 8.75 7.966	2770. 112.3 40.35 24.59 18.41 15.22 13.32 12.06 11.18 10.52 10.01 9.606 9.281 8.786 8.786 8.786 8.427 8.283 8.427 8.	2818. 114.2 40.97 18.66 15.42 13.48 12.21 11.30 10.64 10.12 9.707 9.376 9.103 8.872 8.676 8.508 8.361 8.232 8.118 7.768	2863. 115.9 41.549 425.27 18.89 15.664 12.34 11.42 10.75 10.22 9.802 9.488 8.954 8.9554 8.954 8.954 8.954 8.954 8.954 8.954 8.954 8.954 8.9554 8.954 8.954 8.954 8.9554 8.9554 8.9554 8.9554 8.9554 8.9554 8.9554 8.9554 8.9554 8.9554 8.9554 8.9554 8.9554 8.9554 8.9555 8.9554 8.9555 8.9554 8.9555 8.9554 8.9555 8.9554 8.9555 8.955 8.9555	2904. 117.4 42.07 25.58 19.10 15.78 12.47 11.54 10.85 10.31 9.891 9.591 9.267 9.030 8.654 8.502 8.369 8.251 7.890	2943. 118.9 420.587 19.31 15.992 12.69 10.915 1
1 2 3 4 5 6 7 8 9 10 11 12 13 14 15 16 17 18 19 20 20 24 30 20 21 21 21 21 21 21 21 21 21 21 21 21 21	2532. 103.3 37.3 22.87 17.18 14.27 12.52 11.35 9.946 9.482 9.118.8 8.817 8.877 8.365 8.189 8.037 7.900 7.7900 7.608 7.374 7.077	2600. 105.9 38.20 223.36 17.53 14.54 10.73 10.11 9.630 9.254 8.696 8.483 8.483 8.483 7.467 7.467	2662. 108.2 38.98 17.85 14.79 12.95 11.74 10.89 10.25 9.766 9.381 8.809 8.592 8.407 8.248 8.407 8.248 7.988 7.880 7.551 7.553	2718. 110.4 39.69 24.21 18.13 15.01 13.14 11.91 11.03 10.39 9.892 9.478 8.914 8.693 8.504 8.342 8.504 8.342 8.757 7.9629 7.629	2770 • 112 • 3 40 • 35 40 • 35 9 18 • 41 15 • 22 13 • 32 12 • 06 11 • 18 10 • 52 10 • 01 2 8 • 78 6 8 • 59 3 8 • 42 7 • 70 17 • 37 5	2818. 114.2 40.97 24.94 18.66 15.42 13.48 12.21 11.30 10.64 10.12 9.707 9.376 9.103 8.872 8.676 8.508 8.8361 8.232 8.118	2863. 115.9 41.5.9 41.5.47 18.89 15.60 13.64 12.342 10.75 10.22 9.802 9.466 9.188 8.954 8.755 8.583 8.188 8.303 8.188 7.833 8.188 7.8494	2904. 117.4 42.07 25.58 19.10 15.78 13.78 11.54 10.85 10.31 9.891 9.891 9.267 9.267 9.030 8.828 8.654 8.654 8.369 8.251 7.890 7.890 7.890	2943. 118.9 42.587 19.31 15.94 113.92 12.59 11.645 10.95
1 2 3 4 5 6 7 8 9 10 11 12 12 13 14 15 16 17 18 19 20 20 20 40 40 40 40 40 40 40 40 40 40 40 40 40	2532. 103.3 37.34 22.87 17.18 14.27 12.52 11.36 10.55 9.946 9.482 9.115 8.817 8.571 8.365 8.817 7.906 7.790 7.688	2600 • 105 • 9 38 • 20 23 • 36 17 • 53 14 • 54 11 • 74 11 • 56 30 9 • 254 8 • 483 8 • 696 8 • 483 8 • 148 8 • 012 7 • 893 7 • 788 7 • 467 7 • 166 • 872	2662. 108.2 38.98 23.81 17.85 14.79 11.74 10.89 10.25 9.766 9.381 9.068 8.809 8.809 8.592 8.407 8.248 8.10 7.988 7.988 7.988 7.988 7.988 7.988 7.988	2718. 110.4 39.69 24.21 18.13 15.01 13.14 11.91 11.03 10.39 9.892 9.498 9.178 8.914 8.693 8.504 8.342 8.199 7.966 7.629 7.3107	2770 • 112 • 3 40 • 35 9 18 • 41 15 • 22 4 • 59 18 • 41 15 • 22 12 • 06 11 • 16 18 10 • 59 10 • 012 8 • 786 8 • 593 8 • 427 8 • 283 8 • 156 8 • 044 7 • 701 7 • 376 7 7 • 067	2818. 114.2 40.97 24.94 18.66 15.42 11.30 10.64 10.12 9.707 9.376 9.103 8.872 8.676 8.508 8.361 8.232 8.118 7.768 7.437 7.122	2863. 115.9 41.5.9 41.5.27 18.89 15.60 11.42 10.75 10.22 9.802 9.466 9.188 8.955 8.955 8.983 8.955 8.983 8.986 9.188 8.9755 8.983 8.986 9.188 8.996 9.188 9.186	2904. 117.4 42.07 25.58 19.10 15.78 13.78 12.47 11.54 10.85 10.31 9.891 9.550 9.267 9.0267 9.036 8.654 8.369 8.251 7.890 7.5489 7.5490 7	2943. 118.9 420.587 19.31 15.942 118.942 118.942 119.945 10.41
1 2 3 4 5 6 7 8 9 10 11 12 13 14 15 16 17 18 19 20 24 30 40 60 60 60 60 60 60 60 60 60 60 60 60 60	2532. 103.3 37.32. 22.67 17.18 14.27 12.52 11.35 9.946 9.482 9.115 8.817 8.8571 8.365 8.189 8.037 7.906 7.790 7.688	2600. 105.9 38.20 223.36 17.53 14.54 12.74 11.56 10.73 10.11 9.630 9.2548 8.696 8.483 8.483 8.483 8.483 7.788 7.786 7.467	2662. 108.2 38.98 23.81 17.85 14.79 12.95 11.74 10.87 9.361 9.368 8.809 8.809 8.809 8.407 8.810 7.551 7.551 7.551 7.539 6.942 6.661	2718. 110.4 39.69 24.21 18.13 15.01 13.14 11.03 10.39 9.892 9.478 8.914 8.693 8.504 8.342 8.199 8.075 7.966	2770 • 112 • 3 40 • 35 9 18 • 41 15 • 22 13 • 32 12 • 06 11 • 18 10 • 52 10 • 01 6 8 • 59 3 8 • 427 8 • 28 3 8 • 156 8 • 044 7 • 70 17 • 375 7 • 067 6 • 77 • 77 • 77 • 77 • 77 • 77	2818. 114.2 40.97 18.66 15.42 13.48 12.21 11.30 10.64 10.12 9.376 9.376 9.376 9.376 8.872 8.676 8.361 8.232 8.508 8.361 8.232 8.768 7.	2863. 115.9 41.5.9 41.5.47 18.89 15.60 13.64 11.42 10.75 10.22 9.802 9.466 9.188 8.954 8.755 8.954 8.755 8.434 8.303 8.434 8.303 8.434 8.303 8.434 8.303 8.434 8.444	2904. 117.4 42.558 19.10 15.78 13.78 11.54 10.85 10.81 9.850 9.267 9.27 9.27 9.27 9.27 9.28 9.29 9.	2943. 118.99 420.587 19.31 15.94 13.99 11.64 11.69 10.41 19.975 10.41 19.975 8.432 8.567 8.432 7.599 7.266 6.956
1 2 3 4 5 6 7 8 9 10 11 12 12 13 14 15 16 17 18 19 20 20 20 40 40 40 40 40 40 40 40 40 40 40 40 40	2532. 103.3 37.34 22.87 17.18 14.27 12.52 11.36 10.55 9.946 9.482 9.115 8.817 8.571 8.365 8.817 7.906 7.790 7.688	2600 • 105 • 9 38 • 20 23 • 36 17 • 53 14 • 54 11 • 74 11 • 56 30 9 • 254 8 • 483 8 • 696 8 • 483 8 • 148 8 • 012 7 • 893 7 • 788 7 • 467 7 • 166 • 872	2662. 108.2 38.98 23.81 17.85 14.79 11.74 10.89 10.25 9.766 9.381 9.068 8.809 8.809 8.592 8.407 8.248 8.10 7.988 7.988 7.988 7.988 7.988 7.988 7.988	2718. 110.4 39.69 24.21 18.13 15.01 13.14 11.91 11.03 10.39 9.892 9.498 9.178 8.914 8.693 8.504 8.342 8.199 7.966 7.629 7.3107	2770 • 112 • 3 40 • 35 9 18 • 41 15 • 22 4 • 59 18 • 41 15 • 22 12 • 06 11 • 16 18 10 • 59 10 • 012 8 • 786 8 • 593 8 • 427 8 • 283 8 • 156 8 • 044 7 • 701 7 • 376 7 7 • 067	2818. 114.2 40.97 24.94 18.66 15.42 11.30 10.64 10.12 9.707 9.376 9.103 8.872 8.676 8.508 8.361 8.232 8.118 7.768 7.437 7.122	2863. 115.9 41.5.9 41.5.27 18.89 15.60 11.42 10.75 10.22 9.802 9.466 9.188 8.955 8.955 8.983 8.955 8.983 8.986 9.188 8.9755 8.983 8.986 9.188 8.996 9.188 9.186	2904. 117.4 42.07 25.58 19.10 15.78 13.78 12.47 11.54 10.85 10.31 9.891 9.550 9.267 9.0267 9.036 8.654 8.369 8.251 7.890 7.5489 7.5490 7	2943. 118.9 420.587 19.31 15.942 118.942 118.942 119.945 10.41

### TABLE 3 (Continued)

P = •999

	νn	20	22	24	26	28	30	32	34	36
						1				
	1 2	2980 · 120 · 3	3047.	3108. 125.2	3163.	3213. 129.3	3260	3303.	3343.	3380-
	2				127.3		3260 · 131 · 0	3303 · 132 • 7	3343 · 134 · 2	3380 · 135 · 7
	3	43.05	43.92	44.70	45.42	46.07	46.68	47.24	47.77	48.26
	4	26.14	26.65	27.10	27.51	27.89	28.24	28.57	28.88	29.16
	5	19.51	19.86	20.19	20.48	20.75	21.01	21.24	21.46	21.66
	6	16.09	16.38	16.64	16.87	17.08	17.028	17.47	17.64	17.81
	7	14.04	14.29	14.50	14.70	14.88	15.05	15.20	15.35	15.49
	8	12.70	12.91	13.09	13.26	13.42	13.57	13.71	13.84	13.96
	9	11.75	11.93	12.10	12.25	12.39	12.53	12.65	12.77	12.87
	10	11.03	11.20	11.36	11.50	11.63	11.75	11.87	11.97	12.07
						11103	111.75	11.07	11097	12.07
	11	10.49	10.65	10.79	10.92					
	12	10.06	10.20	10.34	10.46	11.04	11.16	11.26 10.78	11.35	11.45
	13	9.704	9.843	9.969	10.09	10.19	10.00	10.78	10.87	10.96
	14	9.414	9.546	9.666	9.776	9.878	9.972	10.06	10.47	10.55
	15	9.170	9.296	9.411	9.517	9.613	9.703		10.14	10.22
	16	8.963	9.084	9.194	9.295	9.388	9.475	9 • 788 9 • 556	9.867	9.940
	17	8.784	8.900	9.007	9.104	9.194	9.277	9.355	9 • 631	9.702
	18	8.628	8.741	8.844	8.938	9.025	9.106		9 4 2 9	9.497
	19	8.491	8.601	8.701	8.792	8.876		9 • 181	9.251	9.318
	20	8.370	8.477	8.574	8.663	8.745	8 • 955	9.028	9.096	9.161
	20	0.510	0.477	0.5/4	0.003	8 6 7 4 5	8.821	8 • 892	8.959	9.021
	24	7.999	0 007			2				
	30	7.647	8 • 097 7 • 735	8 · 185 7 · 816	8 • 267	8 • 342	8 • 411	8 • 476	8.537 8.135	8.594
	40	7.312	7.393	7.466	7.890 7.533	7.958	8.021	8.080		8.188
	60	6.995	7.067	7.133	7.193	7.594	7 • 651	7.704	7.754	7.801
	120	6.695	6.760	6.818		7.248	7 • 299	7.347	7.392	7.433
	œ	6.411	6.469	6.520	6.872	6.921	6.966	7.008	7.048	7.085
-		08411	0.409	0.520	6.568	6.611	6.651	6.689	6.723	6.756
-	νn	38	40	50	60	70	80			
_	. /	50	40	50						
							- 00	90	100	
	1	3415.	3448.	3589.	3701.	3794.				
	1 2	3415. 137.0	3448. 138.3				3873.	3941.	4002.	
	2 3			3589.	3701.	3794.	3873. 154.7	3941. 157.4	4002 • 159 • 7	
	2 3 4	137.0	138.3	3589. 143.7	3701. 148.0	3794. 151.6 53.75	3873 • 154 • 7 54 • 81	3941. 157.4 55.72	4002 • 159 • 7 56 • 53	
	2 3 4 5	137.0 48.72	138.3 49.16	3589. 143.7 51.02	3701. 148.0 52.51	3794. 151.6 53.75 32.37	3873. 154.7 54.81 32.98	3941. 157.4 55.72 33.52	4002. 159.7 56.53 34.00	
	2 3 4 5 6	137.0 48.72 29.43	138.3 49.16 29.68	3589. 143.7 51.02 30.78	3701. 148.0 52.51 31.65	3794. 151.6 53.75 32.37 23.97	3873. 154.7 54.81 32.98 24.41	3941. 157.4 55.72 33.52 24.80	4002. 159.7 56.53 34.00 25.15	
	2 3 4 5 6 7	137.0 48.72 29.43 21.86	138.3 49.16 29.68 22.03	3589. 143.7 51.02 30.78 22.82 18.73	3701. 148.0 52.51 31.65 23.45 19.22	3794. 151.6 53.75 32.37 23.97 19.64	3873. 154.7 54.81 32.98 24.41 20.00	3941. 157.4 55.72 33.52 24.80 20.31	4002. 159.7 56.53 34.00 25.15 20.58	
	2 3 4 5 6 7 8	137.0 48.72 29.43 21.86 17.96	138.3 49.16 29.68 22.03 18.10	3589. 143.7 51.02 30.78 22.82 18.73 16.27	3701. 148.0 52.51 31.65 23.45	3794. 151.6 53.75 32.37 23.97 19.64 17.04	3873. 154.7 54.81 32.98 24.41 20.00 17.35	3941. 157.4 55.72 33.52 24.80 20.31 17.61	4002. 159.7 56.53 34.00 25.15 20.58 17.85	
	23456789	137.0 48.72 29.43 21.86 17.96 15.62	138.3 49.16 29.68 22.03 18.10 15.74	3589. 143.7 51.02 30.78 22.82 18.73 16.27 14.64	3701. 148.0 52.51 31.65 23.45 19.22 16.69	3794. 151.6 53.75 32.37 23.97 19.64 17.04 15.32	3873. 154.7 54.81 32.98 24.41 20.00 17.35 15.59	3941. 157.4 55.72 33.52 24.80 20.31 17.61 15.82	4002 • 159 • 7 56 • 53 34 • 00 25 • 15 20 • 58 17 • 85 16 • 02	
	2 3 4 5 6 7 8	137.0 48.72 29.43 21.86 17.96 15.62 14.07	138.3 49.16 29.68 22.03 18.10 15.74 14.18	3589. 143.7 51.02 30.78 22.82 18.73 16.27 14.64 13.49	3701. 148.0 52.51 31.65 23.45 19.22 16.69 15.01	3794. 151.6 53.75 32.37 23.97 19.64 17.04 15.32 14.10	3873. 154.7 54.81 32.98 24.41 20.00 17.35 15.59 14.34	3941 • 157 • 4 55 • 72 33 • 52 24 • 80 20 • 31 17 • 61 15 • 82 14 • 55	4002 • 159 • 7 56 • 53 34 • 00 25 • 15 20 • 58 17 • 85 16 • 02 14 • 74	
	23456789	137.0 48.72 29.43 21.86 17.96 15.62 14.07 12.97	138.3 49.16 29.68 22.03 18.10 15.74 14.18 13.07	3589. 143.7 51.02 30.78 22.82 18.73 16.27 14.64 13.49	3701. 148.0 52.51 31.65 23.45 19.22 16.69 15.01 13.82	3794. 151.6 53.75 32.37 23.97 19.64 17.04 15.32	3873. 154.7 54.81 32.98 24.41 20.00 17.35 15.59 14.34	3941. 157.4 55.72 33.52 24.80 20.31 17.61 15.82	4002 • 159 • 7 56 • 53 34 • 00 25 • 15 20 • 58 17 • 85 16 • 02	
	2 3 4 5 6 7 8 9	137.0 48.72 29.43 21.86 17.96 15.62 14.07 12.97 12.16	138.3 49.16 29.68 22.03 18.10 15.74 14.18 13.07 12.25	3589. 143.7 51.02 30.78 22.82 18.73 16.27 14.64 13.49 12.63	3701. 148.0 52.51 31.65 23.45 19.22 16.69 15.01 13.82 12.94	3794. 151.6 53.75 32.37 23.97 19.64 17.04 15.32 14.10 13.20	3873. 154.7 54.81 32.98 24.41 20.00 17.35 15.59 14.34 13.42	3941. 157.4 55.72 33.52 24.80 20.31 17.61 15.82 14.55 13.61	4002 • 159 • 7 56 • 53 34 • 00 25 • 15 20 • 58 17 • 85 16 • 02 14 • 74 13 • 78	
	2 3 4 5 6 7 8 9 10	137.0 48.72 29.43 21.86 17.96 15.62 14.07 12.97	138.3 49.16 29.68 22.03 18.10 15.74 14.18 13.07 12.25	3589 • 143 • 7 51 • 02 30 • 78 22 • 82 18 • 73 16 • 27 14 • 64 13 • 49 12 • 63 11 • 97	3701• 148•0 52•51 31•65 23•45 19•22 16•69 15•01 13•82 12•94	3794. 151.6 53.75 32.37 23.97 19.64 17.04 15.32 14.10 13.20	3873. 154.7 54.81 32.98 24.41 20.00 17.35 15.59 14.34 13.42	3941 • 157 • 4 55 • 72 33 • 52 24 • 80 20 • 31 17 • 61 15 • 82 14 • 55 13 • 61	4002 • 159 • 7 56 • 53 34 • 00 25 • 15 20 • 58 17 • 85 16 • 02 14 • 74 13 • 78	
	23456789	137.0 48.72 29.43 21.86 17.96 15.62 14.07 12.97 12.16	138.3 49.16 29.68 22.03 18.10 15.74 14.18 13.07 12.25	3589 • 143 • 7 51 • 02 30 • 78 22 • 82 18 • 73 16 • 27 14 • 64 13 • 49 12 • 63 11 • 97 11 • 44	3701. 148.0 52.51 31.65 23.45 23.45 16.69 15.01 13.82 12.94	3794. 151.6 53.75 32.37 23.97 19.64 17.04 15.32 14.10 13.20 12.49 11.94	3873• 154•7 54•81 32•98 24•41 20•00 17•35 15•59 14•34 13•42	3941 • 157 • 4 55 • 72 33 • 52 24 • 80 20 • 31 17 • 61 15 • 82 14 • 55 13 • 61 12 • 88 12 • 29	4002 • 159 • 7 56 • 53 34 • 00 25 • 15 20 • 58 17 • 85 16 • 02 14 • 74 13 • 78	
	2 3 4 5 6 7 8 9 10	137.0 48.72 29.43 21.86 17.96 15.62 14.07 12.97 12.16	138.3 49.16 29.68 22.03 18.10 15.74 14.18 13.07 12.25	3589 • 143 • 7 51 • 02 30 • 78 22 • 82 18 • 73 16 • 27 14 • 64 13 • 49 12 • 63 11 • 97 11 • 44 11 • 01	3701. 148.0 52.51 31.65 23.45 19.22 16.69 15.01 13.82 12.94	3794. 151.6 53.75 32.37 23.97 19.64 17.04 15.32 14.10 13.20 12.49 11.94 11.48	3873. 154.7 54.81 32.98 24.41 20.00 17.35 15.59 14.34 13.42	3941 • 157 • 4 55 • 72 33 • 52 24 • 80 20 • 31 17 • 61 15 • 82 14 • 55 13 • 61	4002 • 159 • 7 56 • 53 34 • 00 25 • 15 20 • 58 17 • 85 16 • 02 14 • 74 13 • 78 13 • 04 12 • 45 11 • 97	
	2 3 4 5 6 7 8 9 10	137.0 48.72 29.43 21.86 17.96 15.62 14.07 12.97 12.16	138.3 49.16 29.68 22.03 18.10 15.74 14.18 13.07 12.25	3589 • 143 • 7 51 • 02 30 • 78 22 • 82 18 • 73 16 • 27 14 • 64 13 • 49 12 • 63 11 • 97 11 • 44 11 • 01 10 • 66	3701. 148.0 52.51 31.65 23.45 19.22 16.69 15.01 13.82 12.94 12.25 11.71 11.27 10.91	3794. 151.6 53.75 32.37 23.97 23.97 19.64 17.04 15.32 14.10 13.20 12.49 11.94 11.48 11.41	3873. 154.7 54.81 32.98 24.41 20.00 17.35 15.59 14.34 13.42 12.70 12.13 11.66 11.28	3941. 157.4 55.72 33.52 24.80 20.31 17.61 15.82 14.55 13.61 12.88 12.29 11.82 11.43	4002 • 159 • 7 56 • 53 34 • 00 25 • 15 20 • 58 17 • 85 16 • 02 14 • 74 13 • 78 13 • 04 12 • 45 11 • 97 11 • 57	
	2 3 4 5 6 7 8 9 10 112 123 14	137.0 48.72 29.43 21.86 17.96 15.62 14.07 12.97 12.16 11.53 11.03 10.63 10.30	138.3 49.16 29.68 22.03 18.10 15.74 14.18 13.07 12.25 11.62 11.10 10.70 10.37	3589. 143.7 51.02 30.78 22.82 18.73 16.27 14.64 13.49 12.63 11.97 11.44 11.01 10.66 10.37	3701. 148.0 52.51 31.65 23.45 19.22 16.69 15.01 13.82 12.94 12.25 11.71 11.27 10.91 10.59	3794. 151.6 53.75 32.37 23.97 19.64 17.04 15.32 14.10 13.20 12.49 11.94 11.94 11.11 10.79	3873 • 154 • 7 54 • 81 32 • 98 24 • 41 20 • 00 17 • 35 14 • 34 13 • 42 12 • 70 12 • 13 11 • 66 11 • 28 10 • 96	3941. 157.4 55.72 33.52 24.80 20.31 17.61 15.82 14.55 13.61 12.88 12.29 11.82 11.43 11.10	4002 • 159 • 7 56 • 53 34 • 00 25 • 15 20 • 58 17 • 85 16 • 02 14 • 74 13 • 78 13 • 04 12 • 45 11 • 97 11 • 57 11 • 23	
	2 3 4 5 6 7 8 9 10 112 13 14 15 16 17	137.0 48.72 29.43 21.86 17.96 15.62 14.07 12.97 12.16 11.53 11.03 10.63 10.30 10.01 9.769 9.562	138.3 49.16 29.68 22.03 18.10 15.74 14.18 13.07 12.25 11.62 11.11 10.70 10.37	3589. 143.7 51.02 30.78 22.82 18.73 16.27 14.64 13.49 12.63 11.97 11.44 11.01 10.66 10.37 10.11	3701. 148.0 52.51 31.65 23.45 19.22 16.69 15.01 13.82 12.94 12.25 11.71 11.27 10.59 10.59	3794. 151.6 53.75 32.37 23.97 19.64 17.04 15.32 14.10 13.20 12.49 11.94 11.48 11.11 10.79 10.52	3873. 154.7 54.81 32.98 24.41 20.00 17.35 15.59 14.34 13.42 12.71 31.66 11.28 10.68	3941. 157.4 55.72 33.52 24.80 20.31 17.61 15.82 14.55 13.61 12.88 12.29 11.82 11.43 11.10 10.82	4002. 159.7 56.53 34.00 25.15 20.58 17.85 16.02 14.74 13.78 13.04 12.45 11.97 11.57 11.23 10.95	
	2 3 4 5 6 7 8 9 10 11 12 13 14 15 16 17 18	137.0 48.72 29.43 21.86 17.96 15.62 14.07 12.97 12.16 11.53 11.03 10.63 10.63 10.90 10.01 9.769	138.3 49.16 29.68 22.03 18.10 15.74 14.18 13.07 12.25 11.62 11.0.70 10.37 10.08 9.623	3589. 143.7 51.02 30.78 22.82 18.73 16.27 14.64 13.49 12.63 11.97 11.44 11.01 10.66 10.37 10.81 9.888	3701. 148.0 52.51 31.65 31.65 19.22 16.69 15.01 13.82 12.94 12.25 11.77 10.91 10.59 10.34 10.34	3794. 151.6 53.75 32.37 23.97 23.97 19.64 17.04 15.32 14.10 13.20 12.49 11.94 11.48 11.11 10.52 10.29	3873. 154.7 54.81 32.98 24.41 20.00 17.35 14.34 13.42 12.70 12.13 11.66 11.28 10.68 10.68	3941. 157.4 55.72 33.52 24.80 20.31 17.61 15.82 14.55 13.61 12.88 12.29 11.43 11.10.82 10.88	4002. 159.7 56.53 34.00 25.15 20.58 17.85 16.02 14.74 13.78 13.04 12.45 11.97 11.57 11.23 10.95 10.95	
	2 3 4 5 6 7 8 9 10 112 13 14 15 16 17 18 19	137.0 48.72 29.43 21.86 17.96 15.62 14.07 12.97 12.16 11.53 11.03 10.63 10.30 10.01 9.769 9.562	138.3 49.16 29.68 22.03 18.10 15.74 14.18 13.07 12.25 11.62 11.11 10.70 10.08 9.833 9.623 9.623 9.623	3589. 143.7 51.02 30.78 22.82 18.73 16.27 14.64 13.49 12.63 11.97 11.44 11.01 10.37 10.11 9.888 9.898	3701. 148.0 52.51 31.65 23.45 19.22 16.69 15.01 13.82 12.94 12.25 111.71 11.27 10.59 10.34 10.39 10.34	3794. 151.6 53.75 32.37 23.97 19.64 17.04 15.32 14.10 13.20 12.49 11.94 11.11 10.79 10.52 10.29	3873. 154.7 54.81 32.98 24.41 20.00 17.35 15.59 14.34 13.42 12.73 11.66 11.28 10.96 10.68 10.44 10.23	3941. 157.4 55.72 33.52 24.80 20.31 17.61 15.82 14.55 13.61 12.88 12.29 11.82 11.43 11.10 10.82 10.56	4002. 159.7 56.53 34.00 25.15 20.58 17.85 16.02 14.74 13.78 13.04 12.45 11.97 11.57 11.57 11.23 10.95 10.40	
	2 3 4 5 6 7 8 9 10 11 12 13 14 15 16 17 18	137.0 48.72 29.43 21.86 17.96 15.67 12.97 12.16 11.53 11.03 10.63 10.01 9.769 9.569 9.381	138.3 49.16 29.68 22.03 18.10 15.74 14.18 13.07 12.25 11.62 11.07 10.37 10.08 9.833 9.623 9.440 9.279	3589. 143.7 51.02 30.78 22.82 18.73 16.27 14.64 13.49 12.63 11.97 11.01 10.66 11.01 10.88 9.696 9.528	3701. 148.0 52.51 31.65 23.45 19.22 16.69 15.01 13.82 12.94 12.25 11.27 11.27 10.59 10.34 10.10 9.904 9.904	3794. 151.6 53.75 32.37 23.97 19.64 17.04 15.32 14.10 13.20 12.49 11.94 11.48 11.11 10.79 10.52 10.52 10.98	3873. 154.7 54.81 32.98 24.41 20.00 17.35 15.59 14.34 13.42 12.70 12.13 11.66 11.28 10.68 10.44 10.23 10.04	3941. 157.4 55.72 33.52 24.80 20.31 17.61 15.82 14.55 13.61 12.88 11.43 11.10 10.02 10.05 10.05 10.05	4002. 159.7 56.53 34.00 25.15 20.58 17.85 16.02 14.74 13.78 13.04 11.57 11.57 11.57 11.57 10.48 10.49 10.49	
	2 3 4 5 6 7 8 9 10 112 13 14 15 16 17 18 19	137.0 48.72 29.43 21.86 17.96 15.62 14.07 12.97 12.16 11.53 10.63 10.01 10.01 9.769 9.562 9.381 9.221	138.3 49.16 29.68 22.03 18.10 15.74 14.18 13.07 12.25 11.62 11.07 10.37 10.08 9.833 9.623 9.440 9.279	3589. 143.7 51.02 30.78 22.82 18.73 16.27 14.64 13.49 12.63 11.97 11.01 10.66 11.01 10.88 9.696 9.528	3701. 148.0 52.51 31.65 23.45 19.22 16.69 15.01 13.82 12.94 12.25 11.27 11.27 10.59 10.34 10.10 9.904 9.904	3794. 151.6 53.75 32.37 23.97 19.64 17.04 15.32 14.10 13.20 12.49 11.94 11.11 10.79 10.52 10.29	3873. 154.7 54.81 32.98 24.41 20.00 17.35 15.59 14.34 13.42 12.70 12.13 11.66 11.28 10.68 10.44 10.23 10.04	3941. 157.4 55.72 33.52 24.80 20.31 17.61 15.82 14.55 13.61 12.88 11.43 11.10 10.02 10.05 10.05 10.05	4002. 159.7 56.53 34.00 25.15 20.58 17.85 16.02 14.74 13.78 13.04 12.45 11.97 11.57 11.57 11.23 10.95 10.40	
	2 3 4 5 6 7 8 9 10 112 123 114 115 117 118 119 120	137.0 48.7.0 29.43 21.86 17.66 14.07 12.97 12.16 11.53 10.00 10.00 9.769 9.562 9.381 9.221 9.081	138.3 49.16 29.68 22.03 18.10 15.74 14.18 13.07 12.25 11.61 11.11 10.70 10.37 10.08 9.833 9.623 9.623 9.623 9.623	3589. 143.7 51.02 30.78 20.82 18.73 16.27 14.64 13.49 12.63 11.97 11.44 11.01 10.66 10.37 10.11 9.696 9.528 9.379	3701. 148.0 52.51 31.65 23.45 19.22 16.69 15.01 13.82 12.94  12.25 11.71 11.27 10.91 10.59 10.34 10.10 9.904 9.730 9.575	3794. 151.6 53.75 32.37 19.64 17.04 15.32 14.10 13.20 11.94 11.94 11.48 11.079 10.52 10.08 9.899 9.740	3873. 154.7 54.81 32.98 32.98 20.00 17.35 15.59 14.34 13.42 12.70 12.13 11.66 11.28 10.98 10.49 10.68 10.49 10.23 10.04 9.881	3941. 157.4 55.72 33.52 24.80 20.31 17.61 15.82 14.55 13.61 12.89 11.82 11.82 11.10 10.82 10.56 10.17	4002. 159.7 56.53 34.00 25.15 20.58 17.85 16.02 14.74 13.78 13.04 12.45 11.97 11.57 11.57 11.57 10.48 10.49 10.48 10.49 10.49 10.49	
	2 3 4 5 6 7 8 9 10 11 12 13 14 15 16 17 18 19 20 24 30	137.0 48.72 29.43 21.86 17.96 15.62 14.07 12.97 12.16 11.53 10.63 10.01 10.01 9.769 9.562 9.381 9.221	138.3 49.16 29.68 22.03 18.10 15.74 14.18 13.07 12.25 11.62 11.11 10.37 10.08 9.833 9.623 9.440 9.279 9.137	3589. 143.7 51.02 30.78 22.82 18.73 16.27 14.64 13.49 12.63 11.97 11.44 11.01 10.66 10.37 10.11 9.888 9.696 9.528 9.528 9.579	3701. 148.0 52.51 31.65 23.45 19.22 16.69 15.01 13.82 12.94 12.25 11.71 11.27 10.91 10.99 10.34 10.10 9.904 9.730 9.575 9.100	3794. 151.6 53.75 32.37 23.97 19.64 17.04 15.32 14.10 13.20 12.49 11.94 11.11 10.52 10.29 10.08 9.899 9.740 9.250	3873. 154.7 54.81 32.98 24.41 20.00 17.35 15.59 14.34 13.42 12.70 12.13 11.66 11.28 10.96 10.64 10.69 10.64 10.69 9.881	3941. 157.4 55.72 33.52 24.80 20.31 17.61 15.82 14.55 13.61 12.88 12.29 11.82 11.43 11.10 10.82 10.36 10.58 10.17 10.01 9.494	4002. 159.7 56.53 34.00 25.15 20.58 17.85 16.02 14.74 13.78 13.04 12.45 11.97 11.23 10.95 10.49 10.48 10.29 10.48 10.29 10.48 10.29 10.48 10.29 10.48	
	2 3 4 5 6 7 8 9 10 112 13 14 15 16 17 18 19 20 24 40 34 40	137.0 48.72 29.43 21.86 17.96 17.96 11.63 11.03 11.03 11.03 11.03 10.30 10.30 10.30 10.30 10.30 10.30 10.30 10.30 10.62 9.769 9.221 9.281 9.281	138.3 49.16 29.68 22.03 18.10 15.74 14.18 13.07 12.25 11.62 11.11 10.70 10.37 9.833 9.623 9.6440 9.279 9.137 8.700 8.283	3589. 143.7 51.02 30.78 22.82 18.73 16.27 14.64 13.49 12.63 11.97 11.44 11.01 10.66 10.37 10.11 9.888 9.528 9.	3701. 148.0 52.51. 31.65. 23.45. 19.22. 16.69. 15.01. 13.82. 12.94. 12.25. 11.71. 11.27. 10.59. 10.34. 10.10. 9.507.	3794. 151.6 53.75 32.37 23.97 19.64 17.04 15.32 14.10 13.20 12.49 11.94 11.94 11.94 11.0.79 10.52 10.29 10.08 9.899 9.740 8.783	3873. 154.7 54.81 32.98 22.98 24.41 20.00 17.35 15.59 14.34 13.42 12.70 12.13 11.66 11.28 10.68 10.68 10.68 10.69 9.880 8.901	3941. 157.4 55.7 55.7 24.80 20.31 17.61 15.82 14.55 13.61 12.88 12.29 11.82 11.82 11.82 10.82 10.82 10.82 10.82 10.93 9.494	4002. 159.7 54.50 25.15 20.58 17.85 16.02 14.74 13.78 13.04 12.45 11.97 11.57 11.57 11.57 10.48 10.29 10.48 10.29 10.19	
	2 3 4 5 6 7 8 9 10 11 12 13 14 15 16 17 18 19 20 24 30	137.0 48.72 29.43 21.86 17.96 17.96 17.96 12.97 12.16 11.53 11.03 10.63 10.30 10.01 9.769 9.562 9.381 9.221 9.081	138.3 49.16 29.68 22.03 18.10 15.74 14.18 13.07 12.25 11.62 11.11 10.70 10.37 10.08 9.833 9.623 9.440 9.279 9.137	3589. 143.7 51.02 30.78 22.82 18.73 16.27 14.64 13.49 12.63 11.97 11.44 11.01 10.11 9.888 9.696 9.528 9.379	3701. 148.0 52.51 31.65 23.45 19.22 16.69 15.01 13.82 12.94  12.25 11.77 10.91 10.59 10.30 10.30 9.973 9.973	3794. 151.6 53.75 32.37 23.97 19.64 17.04 15.32 14.10 13.20 12.49 11.94 11.94 11.0.79 10.52 10.29 10.58 9.899 9.740 9.250 8.783 8.831	3873. 154.7 54.81 32.98 24.41 20.00 17.35 15.59 14.34 13.42 12.70 12.13 11.66 11.28 10.68 10.68 10.44 10.04 9.881 9.380 8.901 8.	3941. 157.4 55.72 33.52 24.80 20.31 17.61 15.82 14.55 13.61 12.88 12.29 11.43 11.10 10.82 10.58 10.17 10.61 10.82 10.58 10.17 10.61	4002. 159.7 56.53 34.00 25.15 20.58 17.85 16.02 14.74 13.78 13.04 12.45 11.97 11.57 11.23 10.95 10.70 10.42 9.596 9.096 8.618	
1	2 3 4 5 6 7 8 9 10 112 13 14 15 16 17 18 19 20 24 40 34 40	137.0 48.72 29.43 21.86 17.96 17.96 12.97 12.16 11.53 11.03 10.63 10.63 10.30 10.99 9.769 9.221 9.281 8.237 7.845	138.3 49.16 29.68 22.03 18.10 15.74 14.18 13.07 12.25 11.62 11.070 10.37 10.08 9.833 9.623 9.623 9.440 9.279 9.137 8.700 8.283 7.887	3589. 143.7 51.02 30.78 22.82 18.73 16.27 14.64 13.49 12.63 11.97 11.01 10.66 10.37 10.11 99.888 9.696 99.528 9.87 8.966 8.966 8.966 8.967 8	3701. 148.0 52.51. 31.65 23.45 19.22 16.69 15.01 13.82 12.94  12.25 10.99 10.34 10.10 9.904 9.730 9.575	3794. 151.6 532.37 23.97 19.64 17.04 15.32 14.10 13.20 12.49 11.94 11.48 11.11 10.79 10.52 10.08 9.899 9.740 9.250 8.783 8.337 7.911	3873. 154.7 54.87 54.87 22.98 24.41 20.00 17.35 15.59 14.34 13.42 12.70 11.66 11.28 10.96 10.68 10.96 10.49 9.881 9.881 9.880 10.44 10	3941. 157.4 55.72 33.52 24.80 20.31 17.61 15.82 14.55 13.61 12.88 11.40 10.82 11.43 11.10 10.82 10.36 10.36 10.17 10.01 9.494 9.004 8.535 8.688	4002. 159.7 56.53 34.00 25.15 20.58 17.85 16.02 14.74 13.78 13.04 11.97 11.57 11.57 11.23 10.95 10.48 10.48 10.49 10.48 10	
1	2 3 4 5 6 7 8 9 10 112 134 15 117 118 119 120 230 40 40 40 40 40 40 40 40 40 40 40 40 40	137.0 48.72 29.43 21.86 17.96 17.96 17.96 11.03 10.03	138.3 49.16 29.68 22.03 18.10 15.74 14.18 13.07 12.25 11.62 11.11 10.70 10.37 10.03 9.833 9.623 9.440 9.279 9.137	3589. 143.7 51.02 30.78 20.82 18.73 16.27 14.64 13.49 12.63 11.97 11.44 11.01 10.66 10.11 9.696 9.528 9.379 8.921 8.921 8.8484 8.067 7.7296	3701. 148.0 52.51 31.65 23.45 19.22 16.69 15.01 13.82 12.94  12.25 11.71 11.27 10.91 10.59 10.34 10.10 9.575 9.904 9.730 9.575	3794. 151.6 53.75 32.37 23.97 19.64 17.04 15.32 14.10 13.20 12.49 11.94 11.48 11.48 11.41 10.79 10.52 10.52 10.52 10.52 10.53 8.899 9.740	3873. 154.7 54.81 32.98 32.98 20.00 17.35 15.59 14.34 13.42 12.70 12.13 11.66 11.28 10.06 10.08 10.09 9.88 10.04 9.88 10.04 9.88 10.04 9.88 10.05	3941. 157.4 55.72 33.52 24.80 20.31 17.61 15.82 14.55 13.61 12.88 12.29 11.43 11.10 10.82 10.58 10.17 10.01 9.494 8.535 8.088 7.662	4002. 159.7 56.53 34.00 25.15 20.58 17.85 16.02 14.74 13.78 13.04 12.45 11.97 11.57 11.23 10.95 10.70 10.42 9.596 9.096 8.618	

Thursday, 21 September, 2017 1:05 PM



T.A. Variable Nr: 1: Druck

TPA 1

Vor Geschwindigkeit: 1,00 mm/sec Test Geschwindigkeit: 0,80 mm/sec Rück Geschwindigkeit: 5,00 mm/sec

Weg: 3,0 mm Auslöse Kraft: 5 0 a

### PRODUCT PARAMETERS

Charge: D\_2,3\_30%

Gemessen am: Donnerstag, 21. September

2017 13:04:01

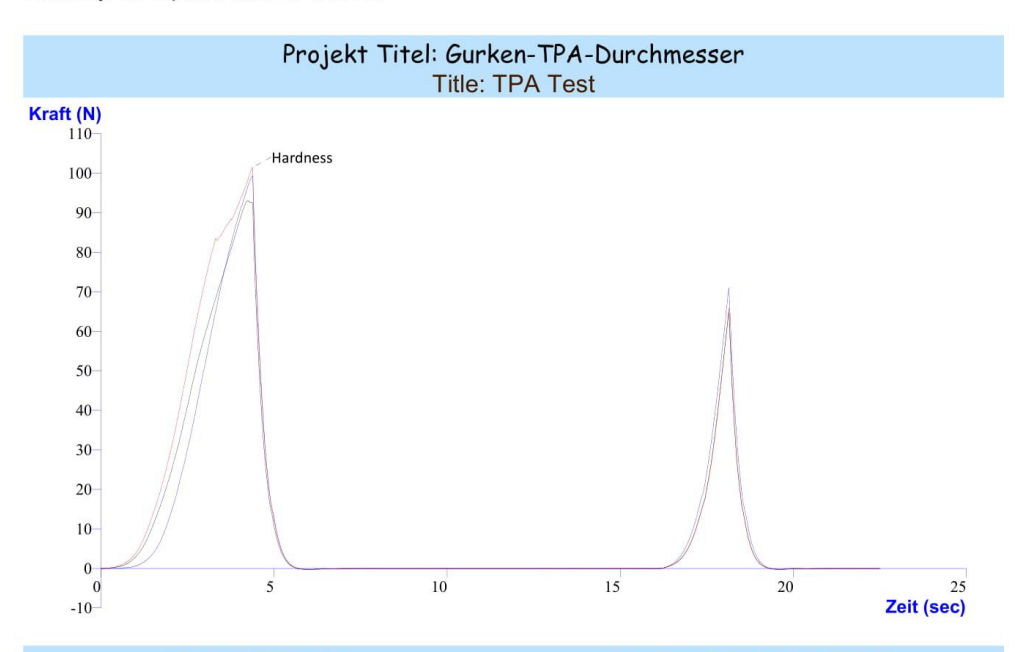
Gemessen von: Daoud

Messpunkte pro Sekunde: 200 Werkzeug: P/75 ; 75mm

COMPRESSION PLATEN

											h:										
										rge	edni	sse									
Test ID	Charge	N	Hardness N	N/om²	acturabili N	N.sec	FraciFläche N/on/ G#((intol.8)*2/400*ps())	mm	Nasc	Nisec	Adhesivenesi N.mm	Adh/Fläche N.mm/cm2	mm	N.sec	Cohesiveness Paka	Resilience :	Springiness Ott/J#	Gumminess Es*Os	Gumn/Fläche Tavilelolan/2400/orn	Chewiness	Chewifilische
Start Charge: D_2.3_30%	D_2,3_30%	Kraft 2	Hardress	#II))refort.#9*2/100*pa(3/	racturabiliti	lache F-T 1:2 C	G#((IntolL#)*2>400*p4())	Differend	lache F-T 1-F	lache F-T 2:3	Adhesiveness	Mati(/info/Lif)*2/400*pi())	Different	ache F-T-4:(	Petos	Lanter	Ost/16	ENGA	T#((into(L#)*2:400*pi())	18.84	V#(()rrto/L#)*2/400*pi())
D_2,3_30%1	D_2,3_30%	81,182	108,037	26,003	1	134,273		3,000	170,105	35,831	-0,264		0 1,748	71,856	0,422	0,267		45,637	1	26,591	
D_2,3_30%2	D_2,3_30%		2 101,086			108,848		3,000		35,941			0 1,800	75,161	0,519	0.330				31,537	
D_2,3_30%3	D_2,3_30%		91,370			142,676		3,000		25,953			0 1,792	53,641	0,315	0,162				17,167	
D_2,3_30%4	D_2,3_30%	92,951	1 124,356	27,489	ž.	160,100		3,000	207,226	47,125	-0,266		0 1,884	90,333	0,436	0,294	- 1	54,209	10	34,043	
		****									70000			*****							
	D_2.3_30% (F)	15,215	13,081	13,894		15,628		0,000	14,930	23,891	-3,468		5 3,139	21,103	19,858	23,547	- 2	25,676	21	27,262	
inde Change: D. 2.3, 30% Wittehent: Standardatweichung Variationskoeffiziers Ende Teatdaten		80,202 12,203	2 106,212	24,009	9	136,474 21,328 15,628		3,000 0,000 0,000	172,667 25,783	36,213 8,652 23,891	-0,267 0,009		0 1,807 0 0,057 5 3,139	72,598 15,320 21,103	0,423 0,084 19,858	0,268 0,063 23,547	1	45,265 11,622	11	27,335 7,452 27,262	

Thursday, 21 September, 2017 1:13 PM



T.A. Variable Nr: 1: Druck

TPA 1

Vor Geschwindigkeit: 1,00 mm/sec Test Geschwindigkeit: 0,80 mm/sec Rück Geschwindigkeit: 5,00 mm/sec

Weg: 3,5 mm Auslöse Kraft: 5 0 a

### PRODUCT PARAMETERS

Charge: D\_1,8\_35%

Gemessen am: Donnerstag, 21. September

2017 13:09:54

Gemessen von: Daoud

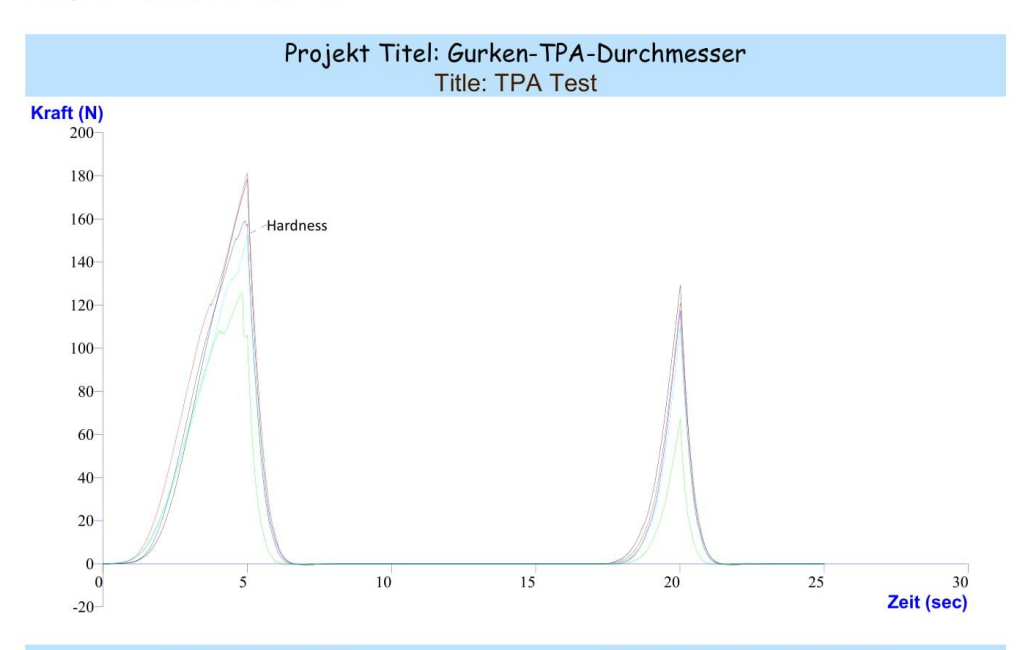
Messpunkte pro Sekunde: 200 Werkzeug: P/75 ; 75mm

COMPRESSION PLATEN

### Part   Part											i gc											
N																						
N																						
N																						
N																						
N																						
N																						
N																						
N																						
N																						
N																						
N																						
N																						
N																						
N																						
N																						
Compt. D. 1,150   D. 1,250   D.	Test ID Char	harpe														Cohesiveness	Resilience	Springiness	Gumminess	Gumm/Fläche	Chewinesi	ChewiFläche
Composition																						
0.1,3,975   0.1,3,976   4.084   0.102   0.107   0.1084   0.108   0.108   0.478   0.108   0.107   0.1084   0.108   0.107   0.1084   0.108   0.107   0.1084   0.108   0.107   0.1084   0.108	Character D 4 S 200 D 4 S		Kraft 2 H	landness#.	()rfolLEy^2/100*pa(y)	.acturabilité	-Ocho F-T 1:2	Git((into(Lity*25400*p4))	Differenti	läche F-T 1:	Flacho F-T 2:38	dhesiveness	Wasilinto/Fa),5/400,b(i)	Different	dohe F-T 4:1	Paka	FaiHs	Os/1s	Eu.Ga	T#((InfofL#y*2/400*pi())	T#'S#	Assitiuspirsh,57400,1
D.1.5.1755   D.1.5.175   D.1			****	02.502	20.007		101 465		2 620	100 104	24 028	0.101		1.070	E0 471	0.268	0.187		24.042		11.600	
0.1,3/970 0.1,3/970 0.1,3/970 0.1014 197-000 2.200 0.072 0.7200 0.072 0.7200 2.7700 2.7700 0.7700 0.10																						
Compart   2,137%   2,03.57%   1								20 500														
Millionette   0,14,379-7    0,212 Millione   3,1482 Millionette   1,14,379-7    0,212 Millionette   3,144   2,1491   2			60,618	101,489	32,305	83,512	187,063	20,583	3,500	217,428	30,366	-0,113		1,647	50,644	0,233	0,162		23,639		11,124	
unterstationaristica (1,18,395 pt) 3.314 4.399 5.244 21.997 0,000 22.349 1.982 0.050 0.039 4.728 0.054 0.029 0.442 1.2.163 (14,18,18,18,18,18,18,18,18,18,18,18,18,18,			67.043	00.004	24 600	00.540	******	00.000	0.000	400 464		0.404			FR 567	0.000	0.470		27.440		40.040	
Variationisconfluent D_18_395-(F) 4.654 4.656 16.553 13,347 0.000 11,574 6.470 34,871 -34 2,412 8,873 19,245 14,327 2 19,867 13 17,303								20,003														
		_35% (F)	4,934	4,458	16,003		13,347		0,000	11,074	0,470	-34,871	-34	2,413	8,873	19,245	14,327	- 2	19,667		17,303	
	Entre residation																					

Anlage 5: Vorversuchsergebnisse der TPA-Methode mit der Kompressionsintensität von 40%

Friday, 13 October, 2017 11:09 AM



T.A. Variable Nr: 1: Druck

TPA 1

Vor Geschwindigkeit: 1,00 mm/sec Test Geschwindigkeit: 0,80 mm/sec Rück Geschwindigkeit: 5,00 mm/sec

Weg: 4,0 mm Auslöse Kraft: 5,0 g

### PRODUCT PARAMETERS

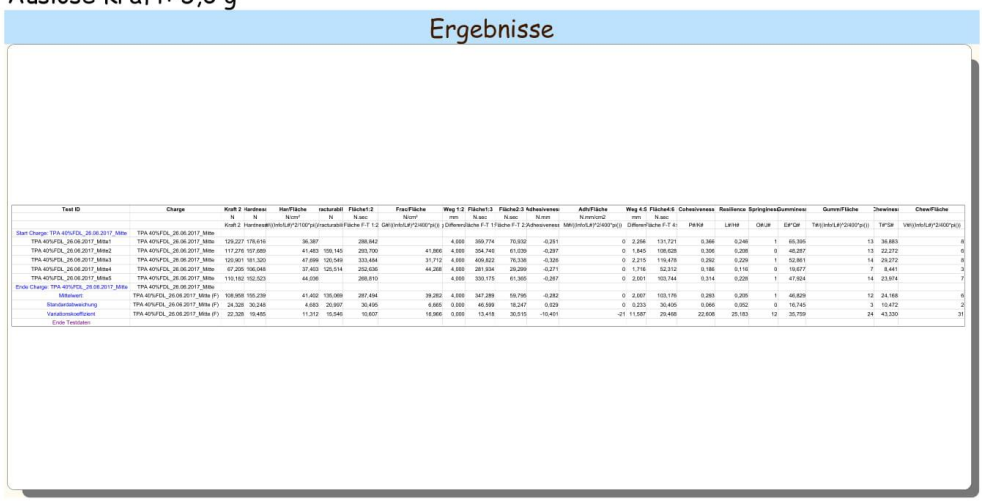
Charge: TPA 40%FDL\_26.06.2017\_Mitte Gemessen am: Freitag, 13. Oktober 2017

11:06:40

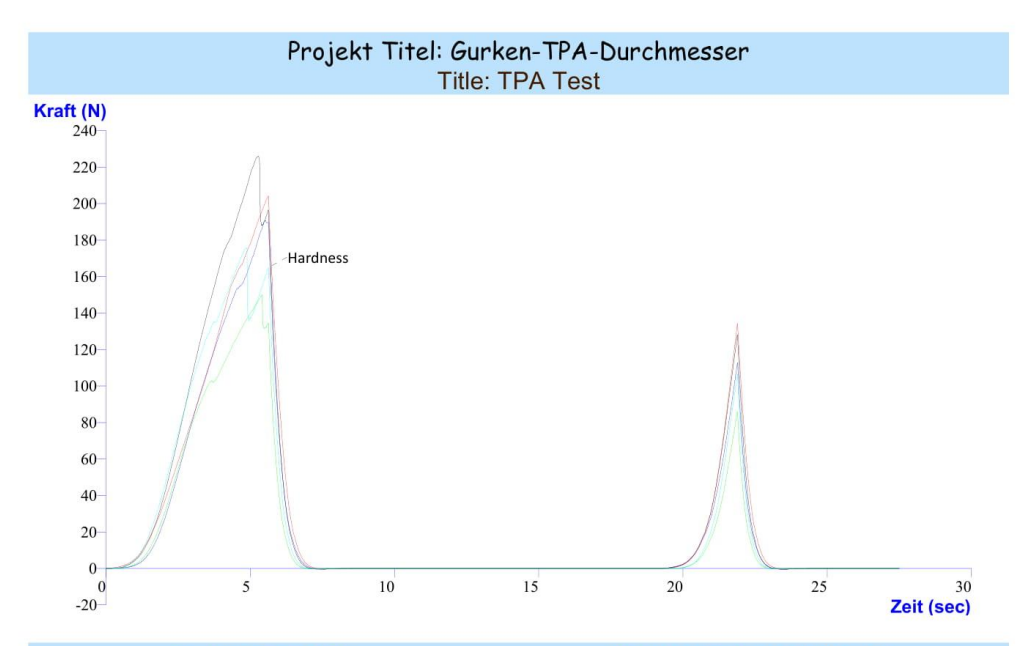
Gemessen von: Daoud

Messpunkte pro Sekunde: 200 Werkzeug: P/75 ; 75mm

COMPRESSION PLATEN



Friday, 13 October, 2017 11:21 AM



T.A. Variable Nr: 1: Druck

TPA 1

Vor Geschwindigkeit: 1,00 mm/sec Test Geschwindigkeit: 0,80 mm/sec Rück Geschwindigkeit: 5,00 mm/sec

Weg: 4,5 mm Auslöse Kraft: 5,0 g

### PRODUCT PARAMETERS

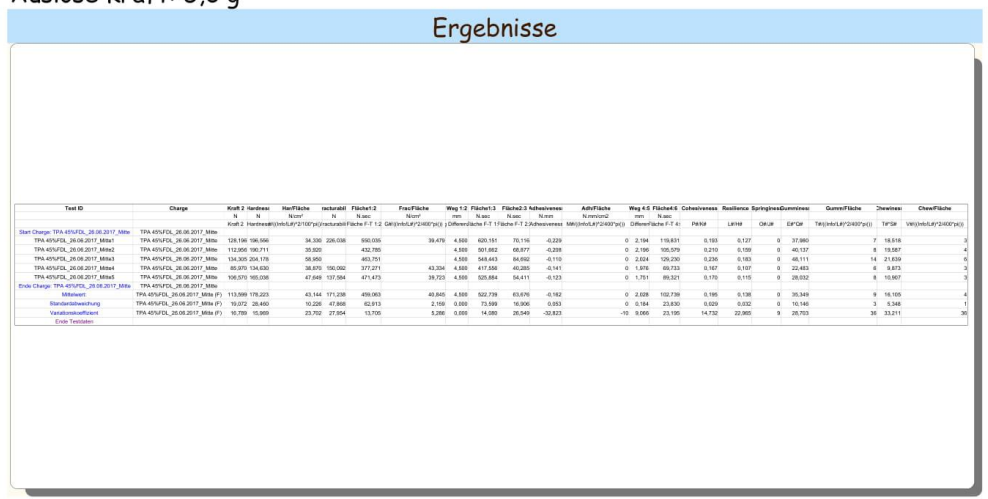
Charge: TPA 45%FDL\_26.06.2017\_Mitte Gemessen am: Freitag, 13. Oktober 2017

11:18:55

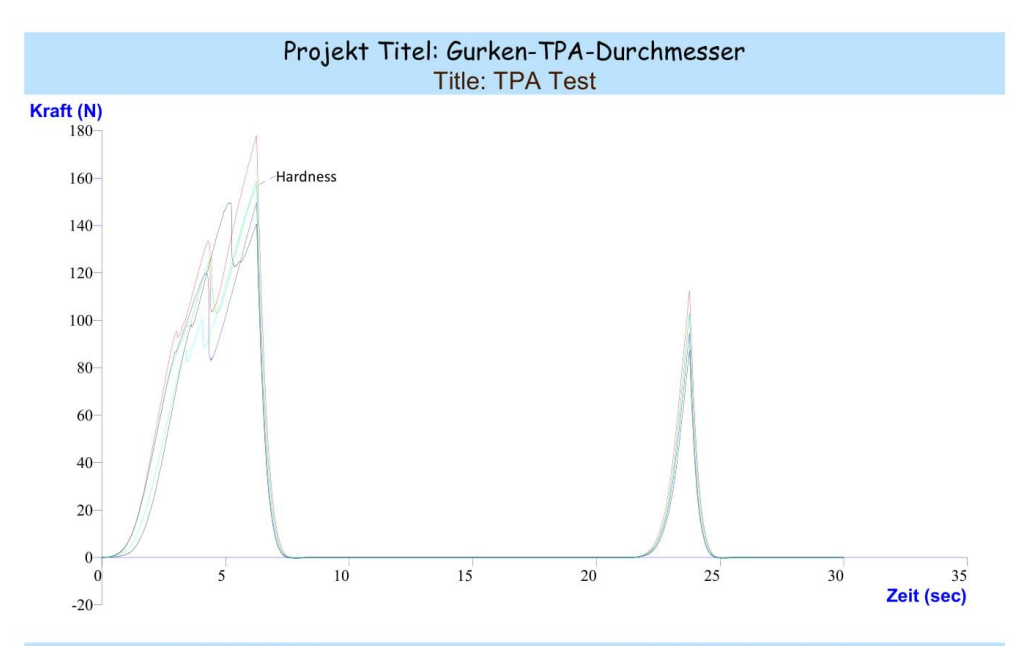
Gemessen von: Daoud

Messpunkte pro Sekunde: 200 Werkzeug: P/75 ; 75mm

COMPRESSION PLATEN



Friday, 13 October, 2017 10:33 AM



T.A. Variable Nr: 1: Druck

TPA 1

Vor Geschwindigkeit: 1,00 mm/sec Test Geschwindigkeit: 0,80 mm/sec Rück Geschwindigkeit: 5,00 mm/sec

Weg: 5,0 mm Auslöse Kraft: 5,0 g

### PRODUCT PARAMETERS

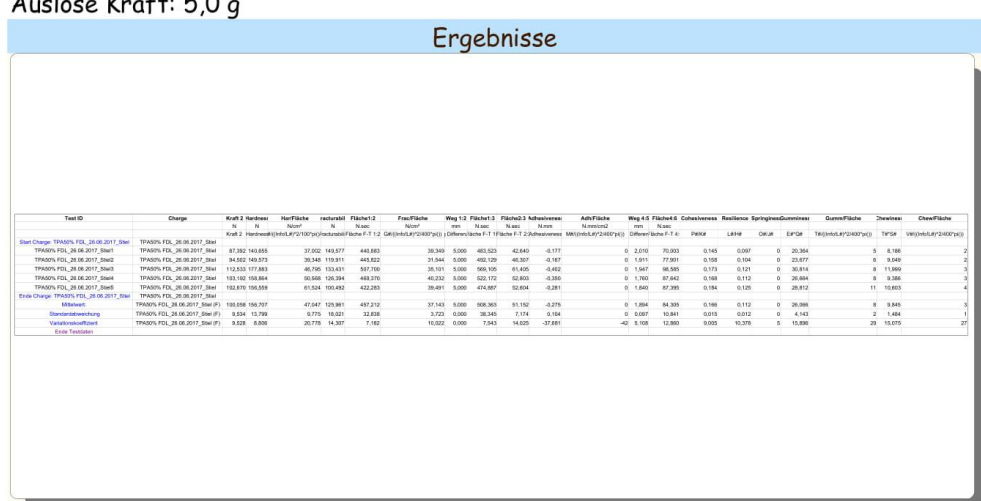
Charge: TPA50% FDL\_26.06.2017\_Stiel Gemessen am: Freitag, 13. Oktober 2017

10:27:32

Gemessen von: Daoud

Messpunkte pro Sekunde: 200 Werkzeug: P/75 ; 75mm

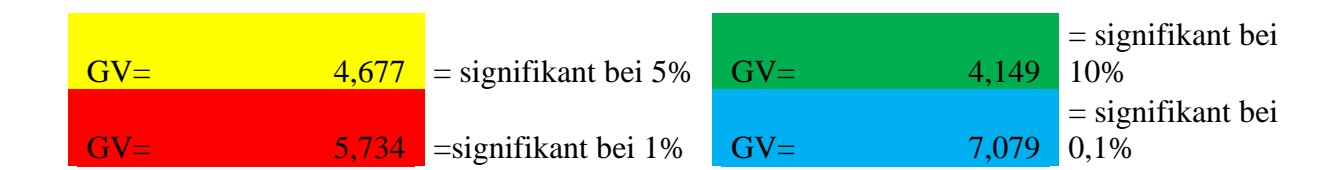
COMPRESSION PLATEN



Anlage 8: Ermittlung der signifikanten Unterschiede beim TPA 25%-Härte-Parameter

Streuungsursache	Prüfgröße (F)	P-Wert	kritischer F-Wert
Chargen	3,10689451	0,03171374	2,73180704
Segmente	6,23568614	0,00317999	3,12390745
Chargen × Segmente	0,39505988	0,87989876	2,22740398

	FDP	FDL	KKP	KKL
FDP	0,000	3,128	1,989	1,002
FDL	3,128	0,000	5,117	4,129
KKP	1,989	5,117	0,000	0,987
KKL	1,002	4,129	0,987	0,000



	Stiel	Mitte	Blüte
Stiel	0,000	1,085	4,073
Mitte	1,085	0,000	5,158
Blüte	4,073	5,158	0,000

					= signifikant bei
GV=	3,691	= signifikant bei 5%	GV=	3,201	10%
					= signifikant bei
GV=	4,628	=signifikant bei 1%	GV=	5,815	0,1%

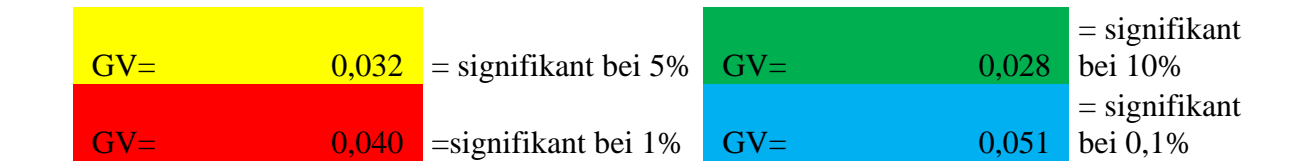
Anlage 9: Ermittlung der signifikanten Unterschiede beim TPA 25%-Kohäsion-Parameter

Streuungsursache	Prüfgröße (F)	P-Wert	kritischer F-Wert
Chargen	3,49786027	0,01976931	2,73180704
Segmente	7,18201684	0,00143214	3,12390745
Chargen × Segmente	1,48715534	0,19478955	2,22740398

	FDP	FDL	KKP	KKL
FDP	0,000	0,037	0,011	0,009
FDL	0,037	0,000	0,048	0,029
KKP	0,011	0,048	0,000	0,019
KKL	0,009	0,029	0,019	0,000

GV=	0,041	= signifikant bei 5%	GV=		= signifikant bei 10%
					= signifikant
GV=	0,050	=signifikant bei 1%	GV=	0,062	bei 0,1%

	Stiel	Mitte	Blüte
Stiel	0,000	0,011	0,037
Mitte	0,011	0,000	0,049
Blüte	0,037	0,049	0,000



Anlage 10: Ermittlung der signifikanten Unterschiede beim TPA 25%-Kaubarkeit-Parameter

Streuungsursache	Prüfgröße (F)	P-Wert	kritischer F-Wert
Chargen	2,2960014	0,08492796	2,73180704
Segmente	1,13480663	0,32716589	3,12390745
Chargen × Segmente	0,39599502	0,87929387	2,22740398

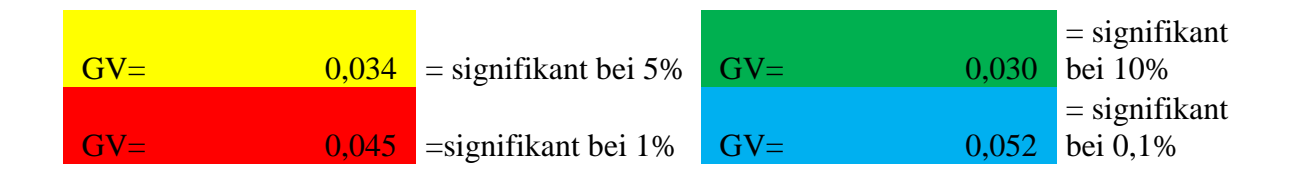
Anlage 11: Ermittlung der signifikanten Unterschiede beim TPA 25%-Gummiartigkeit-Parameter

Streuungsursache	Prüfgröße (F)	P-Wert	kritischer F-Wert
Chargen	1,80211337	0,15446205	2,73180704
Segmente	1,74688133	0,18162319	3,12390745
Chargen × Segmente	0,39813159	0,8779078	2,22740398

Anlage 12: Ermittlung der signifikanten Unterschiede beim TPA 25%-Elastizität-Parameter

Streuungsursache	Prüfgröße (F)	P-Wert	kritischer F-Wert
Chargen	3,21185545	0,02792817	2,73180704
Segmente	1,71281289	0,18762412	3,12390745
Chargen × Segmente	1,0155435	0,42218018	2,22740398

	FDP	FDL	KKP	KKL
FDP	0,000	0,032	0,007	0,035
FDL	0,032	0,000	0,025	0,003
KKP	0,007	0,025	0,000	0,028
KKL	0,035	0,003	0,028	0,000



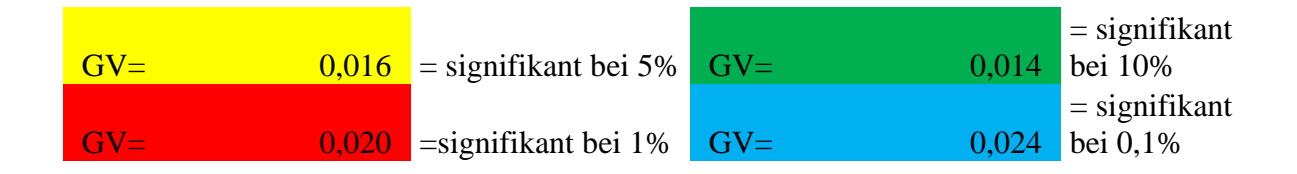
	Stiel	Mitte	Blüte
Stiel	0,000	0,009	0,019
Mitte	0,009	0,000	0,010
Blüte	0,019	0,010	0,000



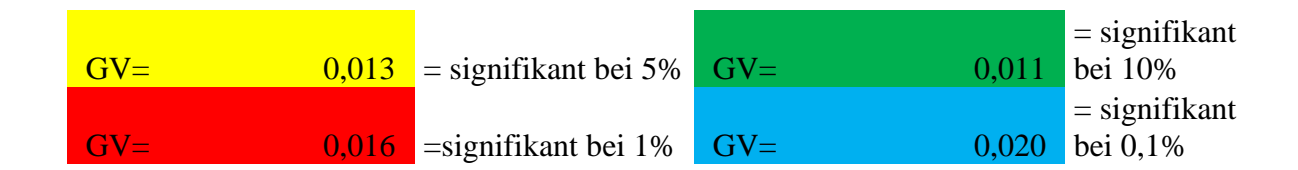
Anlage 13: Ermittlung der signifikanten Unterschiede beim TPA 25%-Adhäsion-Parameter

Streuungsursache	Prüfgröße (F)	P-Wert	kritischer F-Wert
Chargen	5,78890102	0,00132917	2,73180704
Segmente	13,3228741	1,1944E-05	3,12390745
Chargen × Segmente	8,91118137	2,8479E-07	2,22740398

	FDP	FDL	KKP	KKL
FDP	0,000	0,019	0,003	0,004
FDL	0,019	0,000	0,017	0,024
KKP	0,003	0,017	0,000	0,007
KKL	0,004	0,024	0,007	0,000



	Stiel	Mitte	Blüte
Stiel	0,000	0,022	0,004
Mitte	0,022	0,000	0,025
Blüte	0,004	0,025	0,000



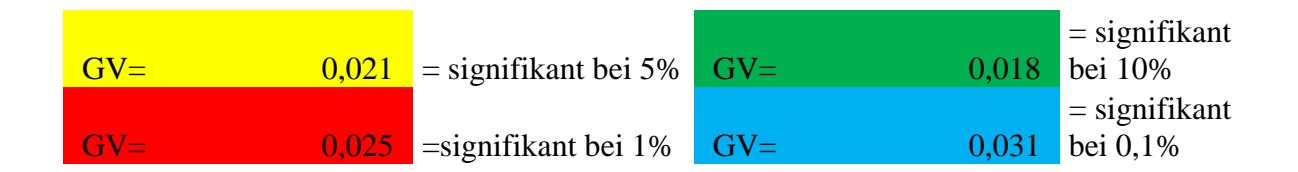
Anlage 14: Ermittlung der signifikanten Unterschiede beim TPA 60%-Härte-Parameter

Streuungsursache	Prüfgröße (F)	P-Wert	kritischer F-Wert
Chargen	2,14477006	0,10204655	2,73180704
Segmente	1,658939	0,19753277	3,12390745
Chargen × Segmente	1,33406507	0,25335704	2,22740398

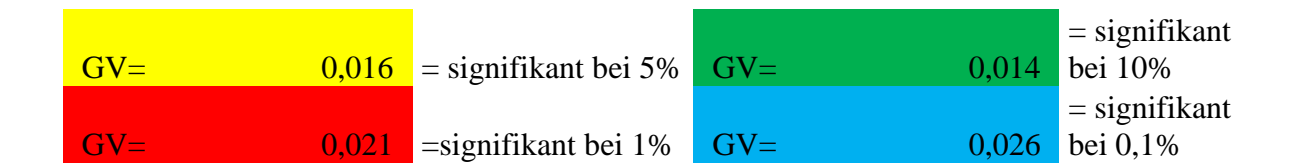
Anlage 15: Ermittlung der signifikanten Unterschiede beim TPA 60%-Kohäsion-Parameter

Streuungsursache	Prüfgröße (F)	P-Wert	kritischer F-Wert
Chargen	4,35177394	0,00711587	2,73180704
Segmente	15,2222797	3,0646E-06	3,12390745
Chargen × Segmente	0,78921572	0,58129104	2,22740398

	FDP	FDL	KKP	KKL
FDP	0,000	0,024	0,020	0,005
FDL	0,024	0,000	0,004	0,019
KKP	0,020	0,004	0,000	0,015
KKL	0,005	0,019	0,015	0,000



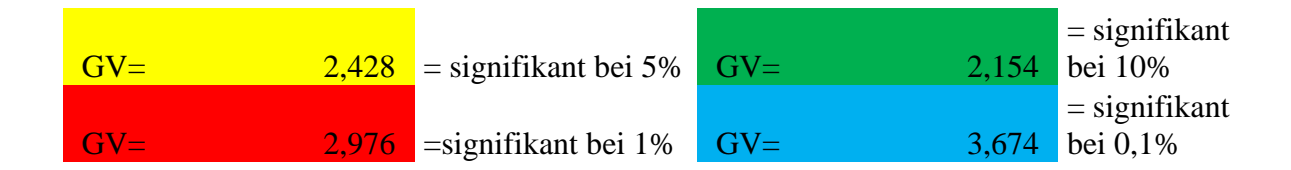
	Stiel	Mitte	Blüte
Stiel	0,000	0,012	0,037
Mitte	0,012	0,000	0,025
Blüte	0,037	0,025	0,000



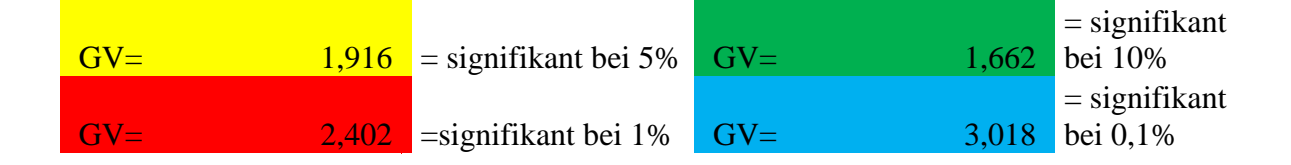
Anlage 16: Ermittlung der signifikanten Unterschiede beim TPA 60%-Gummiartigkeit-Parameter

Streuungsursache	Prüfgröße (F)	P-Wert	kritischer F-Wert
Chargen	2,85428361	0,04308709	2,73180704
Segmente	3,28496745	0,04312605	3,12390745
Chargen × Segmente	1,52105835	0,18355783	2,22740398

	FDP	FDL	KKP	KKL
FDP	0,000	1,157	1,932	0,501
FDL	1,157	0,000	0,775	1,658
KKP	1,932	0,775	0,000	2,433
KKL	0,501	1,658	2,433	0,000



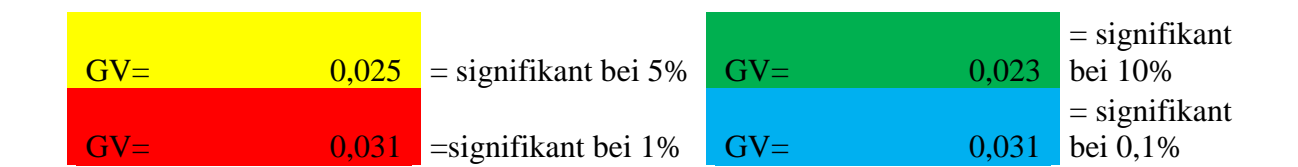
	Stiel	Mitte	Blüte
Stiel	0,000	0,138	1,702
Mitte	0,138	0,000	1,839
Blüte	1,702	1,839	0,000



Anlage 17: Ermittlung der signifikanten Unterschiede beim TPA 60%-Elastizität-Parameter

Streuungsursache	Prüfgröße (F)	P-Wert	kritischer F-Wert
Chargen	135,28122	1,6231E-29	2,73180704
Segmente	182,479253	6,4287E-29	3,12390745
Chargen × Segmente	140,101286	1,1785E-37	2,22740398

	FDP	FDL	KKP	KKL
FDP	0,000	0,036	0,023	0,010
FDL	0,036	0,000	0,013	0,026
KKP	0,023	0,013	0,000	0,013
KKL	0,010	0,026	0,013	0,000



	Stiel	Mitte	Blüte
Stiel	0,000	0,013	0,021
Mitte	0,013	0,000	0,009
Blüte	0,021	0,009	0,000

					= signifikant
GV=	0,020	= signifikant bei 5%	GV=	0,020	bei 10%
					= signifikant
GV=	0,025	=signifikant bei 1%	GV=	0,032	bei 0,1%

Anlage 18: Ermittlung der signifikanten Unterschiede beim TPA 60%-Bissfestigkeit-Parameter

Streuungsursache	Prüfgröße (F)	P-Wert	kritischer F-Wert
Chargen	0,71453906	0,54649491	2,73180704
Segmente	2,05569727	0,13545075	3,12390745
Chargen × Segmente	0,76759417	0,59782846	2,22740398

Anlage 19: Ermittlung der signifikanten Unterschiede beim TPA 60%-Bissfestigkeit-Parameter

Streuungsursache	Prüfgröße (F)	P-Wert	kritischer F-Wert
Chargen	0,71453906	0,54649491	2,73180704
Segmente	2,05569727	0,13545075	3,12390745
Chargen × Segmente	0,76759417	0,59782846	2,22740398

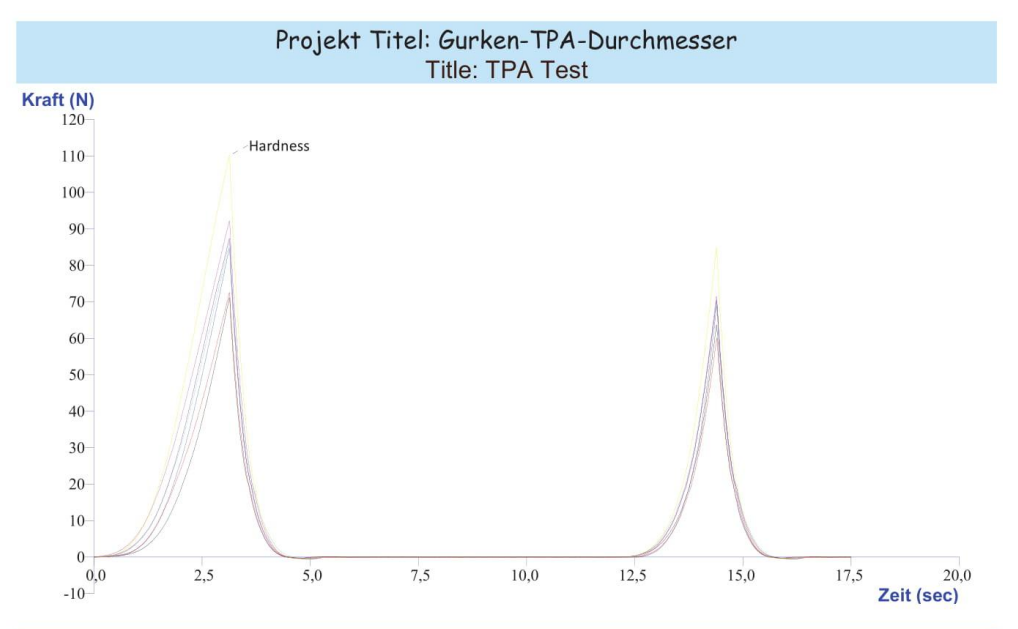
	FDP	FDL	KKP	KKL	
FDP	0,000	8,274	0,065	7,972	
FDL	8,274	0,000	8,210	0,302	
KKP	0,065	8,210	0,000	7,907	
KKL	7,972	0,302	7,907	0,000	
	=	= signifikan	t bei		= signifikant
GV=	8,171	5%	GV=	7,248	bei 10%
	=	signifikant=	t bei		= signifikant
GV=	10,016	1%	GV=	12,366	bei 0,1%

	Stiel	Mitte	Blüte
Stiel	0,000	3,426	8,418
Mitte	3,426	0,000	4,992
Blüte	8,418	4,992	0,000

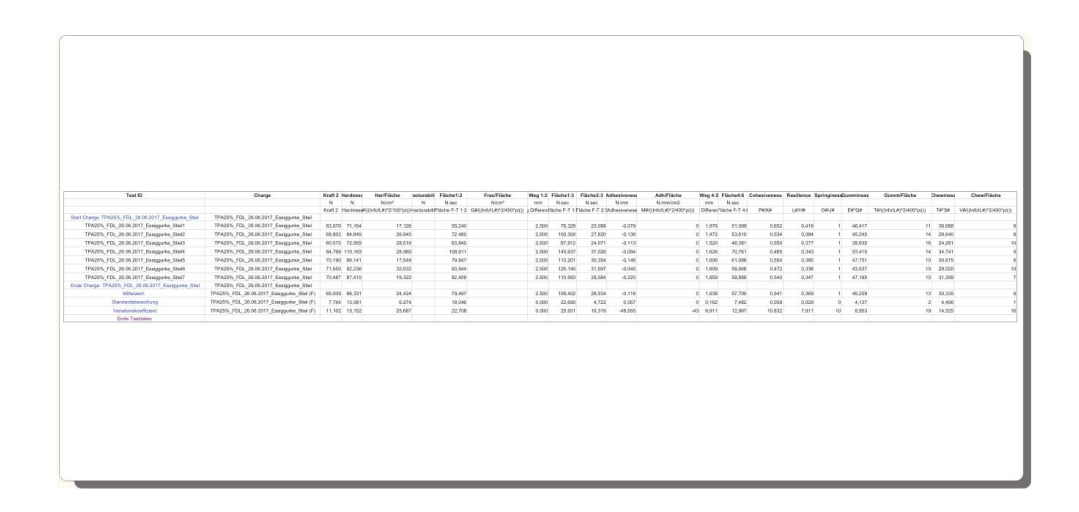


Anlage 20: Kraft-Zeit-Kurve der TPA-Methode mit 25% Kompression. Beispiel (FDL\_Stielende)

Wednesday, 08 November, 2017 12:20 PM

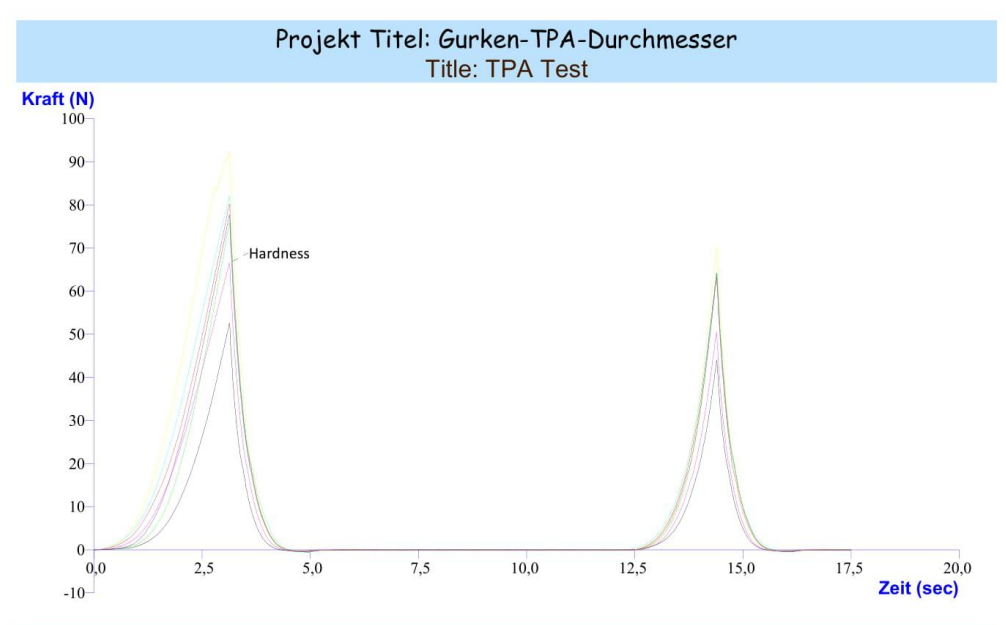


T.A SETTINGS	PRODUCT PARAMETERS
T.A. Variable Nr: 1: Druck	Charge:
	TPA25%_FDL_26.06.2017_Essiggurke_Stiel
TPA 1	Gemessen am: Mittwoch, 8. November 2017
	12:17:50
Vor Geschwindigkeit: 1,00 mm/sec	Gemessen von: Daoud
Test Geschwindigkeit: 0,80 mm/sec	Messpunkte pro Sekunde: 200
Rück Geschwindigkeit: 5,00 mm/sec	Werkzeug: P/75 ; 75mm
-	COMPRESSION PLATEN
Weg: 2,5 mm	Kapazität Kraftmesszelle : 50000g
Auslöse Kraft: 5,0 g	
Erg	gebnisse



Anlage 21: Kraft-Zeit-Kurve der TPA-Methode mit 25% Kompression. Beispiel (FDL\_Mitte)

Wednesday, 08 November, 2017 12:02 PM



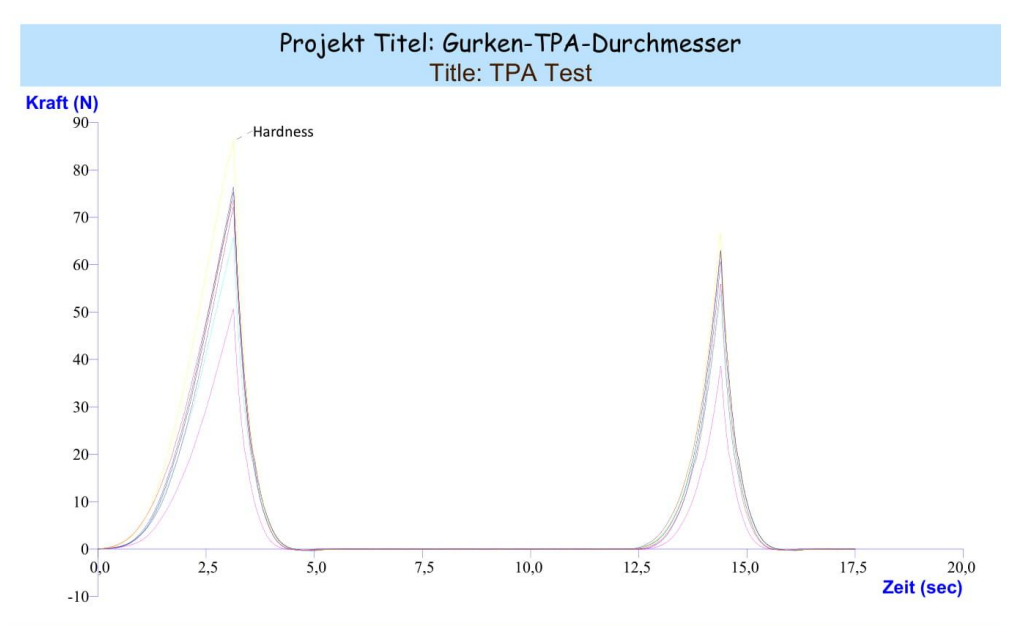
T.A SETTINGS	PRODUCT PARAMETERS	
T.A. Variable Nr: 1: Druck	Charge:	
	TPA25%_FDL_26.06.2017_Essiggurke_Mit te	
TPA 1	Gemessen am: Mittwoch, 8. November 2017 11:57:08	
Vor Geschwindigkeit: 1,00 mm/sec	Gemessen von: Daoud	
Test Geschwindigkeit: 0,80 mm/sec	Messpunkte pro Sekunde: 200	
Rück Geschwindigkeit: 5,00 mm/sec	Werkzeug: P/75 ; 75mm	
-	COMPRESSION PLATEN	
Weg: 2,5 mm	Kapazität Kraftmesszelle : 50000g	
Auslöse Kraft: 5,0 g		
Ergebnisse		

	Defeared   18-45   1
Part   Copy   Table   Part	1,647 31,975 0,596 0,395 1 31,543 11 20,781 1,555 56,455 0,422 12,300 1 36,991 14 24,159 1,595 56,444 0,444 0,347 1 39,571 19 52,326 1,506 0,112 0,000 0,000 0,000 1 44,704 13 32,886
PARTY REST (Figure 1984) - 1740 (Fig. 1984) 1 (Figure 1984) - 1884 (Fig. 1984) 1 (Fig.	1.503 56.455 0.422 8.250 1 36.891 14 24.150 1.500 56.454 0.094 3.347 1 39.614 19 25.250 1.560 51.452 0.004 3.347 1 36.704 13 23.866
79475-74,74207 (200946-1980) 79475-74,742017 (200946-1980) 7144 1228 2.538 10.54 2.50 13.05 13.05 13.05 13.05 13.05 13.05 14.0	1.503 56.455 0.422 8.260 1 36.691 14 24.159 1.560 56.464 0.694 3.347 1 36.574 156 25.260 1.560 51.462 0.602 3.400 1 45.704 13 28.866
79-2497-(17.08) 2077-(1909) 10-4488-(17.08) 10-2498-(17.08) 10	1.585 50.404 0.494 0.347 1 39.674 16 25.280 1.580 51,142 0.602 0.420 1 85,704 13 26,885
TP425%_FDL_3E06_2015_Essagguine_Meas 97425%_FDL_3E06_2015_Essagguine_Meas 64,275 78,976 21,988 50,997 2,500 65,049 25,151 0,080 0 1,080 51,162 0,002 5,425 1 45,704 13 28,885	1,580 51,162 0,602 0,620 1 45,704 13 28,885
TPASPS_FCL_28.06.2017 Sungguine Milliol TPASPS_FCL_20.06.2017 Sungguine Milliol TPASPS	
TP-928F, CE, 2003-2007 Essignate, Mind? TP-928F, CE, 2003-2007 Essignate, Mind. TP-928	1500 52 032 (1504 5 303 1 41 545 55 25 546
Millebert 179/25%_FGL_20062077_Emaggave_Miller(F) 60,000 75,200 24,171 70,237 2,600 94,671 24,434 0,110 0 1,001 46,003 0,00 0,00 1,004 12 24,600 12 24,600 10 10 10 10 10 10 10 10 10 10 10 10 1	
Translated treesturing TFM-27%, FCB_2006.2017, Essinguish Miles (T) 9.227 12,527 6.734 20.446 0.000 20.267 6.173 0.552 0.000 9.206 0.070 0.040 0.6557 2 4.216	
Variationshoe/Episor TPASSS_FDL_20.08.2017 Energy.nlm Miles 07] 15.364 10.758 27.858 20.114 0.000 20.079 21.170 47.675 50 5000 10.158 13.417 11.000 6 14.017 20 17.077	1,501 48,063 0,520 8,368 1 58,704 12 24,800 0,096 8,206 0,070 0,040 0 0,057 2 4,216
Engl Tutates	1,501 48,063 0,520 8,368 1 58,704 12 24,800 0,096 8,206 0,070 0,040 0 0,057 2 4,216
ppc 174255, FDL, 26.00.2017, Enziggarie, Minn 1794255, FDL, 26.00.20	
	1,501 46,053 0,520 6,356 1 36,704 12 24,600
Value of the Control	1,507 48,053 0,520 8,368 1 28,754 12 24,800 0,595 8,206 0,070 8,045 0 5,557 2 4,256
	1,501 48,003 0,520 8,368 1 28,704 12 24,800 0,006 9,206 0,070 0,040 0 0,557 2 4,216
	1,507 48,063 0,526 0,356 1 56,754 12 24,850 0,596 5,206 0,376 0,040 0 0,557 2 4,216

•

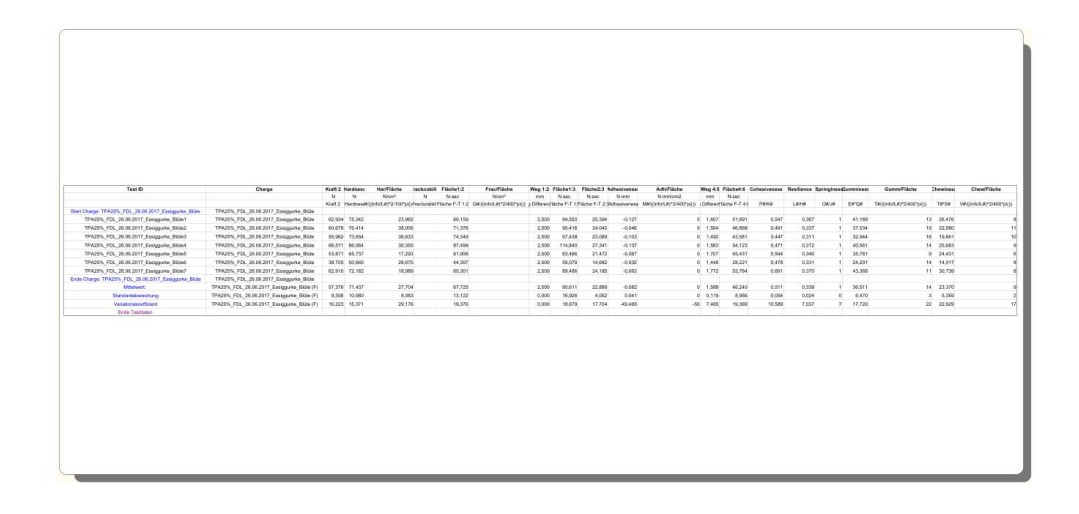
Anlage 22: Kraft-Zeit-Kurve der TPA-Methode mit 25% Kompression. Beispiel (FDL\_Blütenende)

Wednesday, 08 November, 2017 12:36 PM



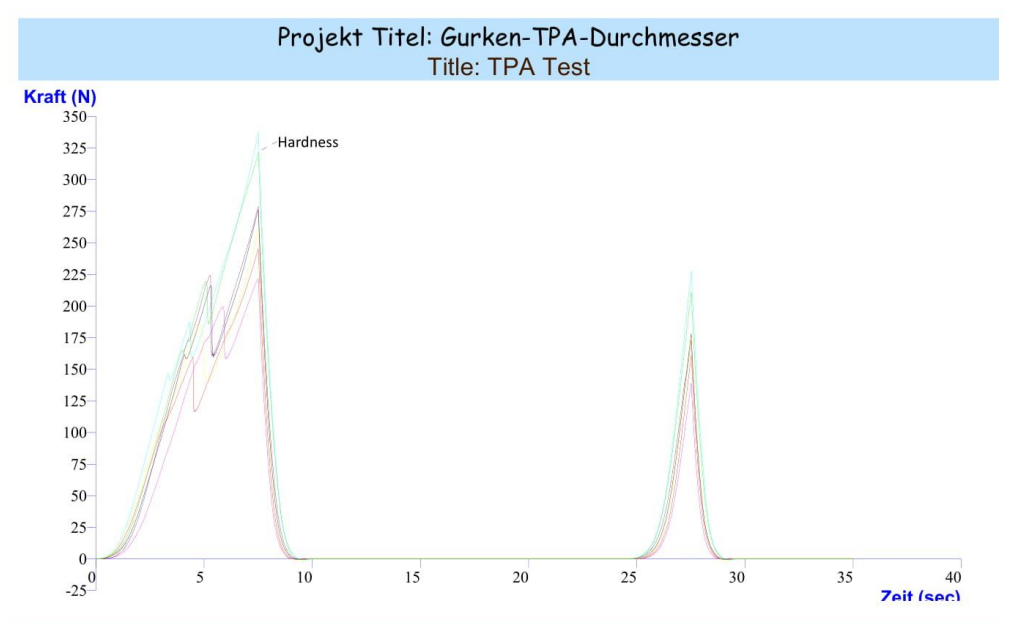
T.A SETTINGS	PRODUCT PARAMETERS
T.A. Variable Nr: 1: Druck	Charge:
	TPA25%_FDL_26.06.2017_Essiggurke_Blü
	te
TPA 1	Gemessen am: Mittwoch, 8. November 2017
	12:34:57
Vor Geschwindigkeit: 1,00 mm/sec	Gemessen von: Daoud
Test Geschwindigkeit: 0,80 mm/sec	Messpunkte pro Sekunde: 200
Rück Geschwindigkeit: 5,00 mm/sec	Werkzeug: P/75 ; 75mm
	COMPRESSION PLATEN
Weg: 2,5 mm	Kapazität Kraftmesszelle : 50000g
Auslöse Kraft: 5.0 g	

Ergebnisse

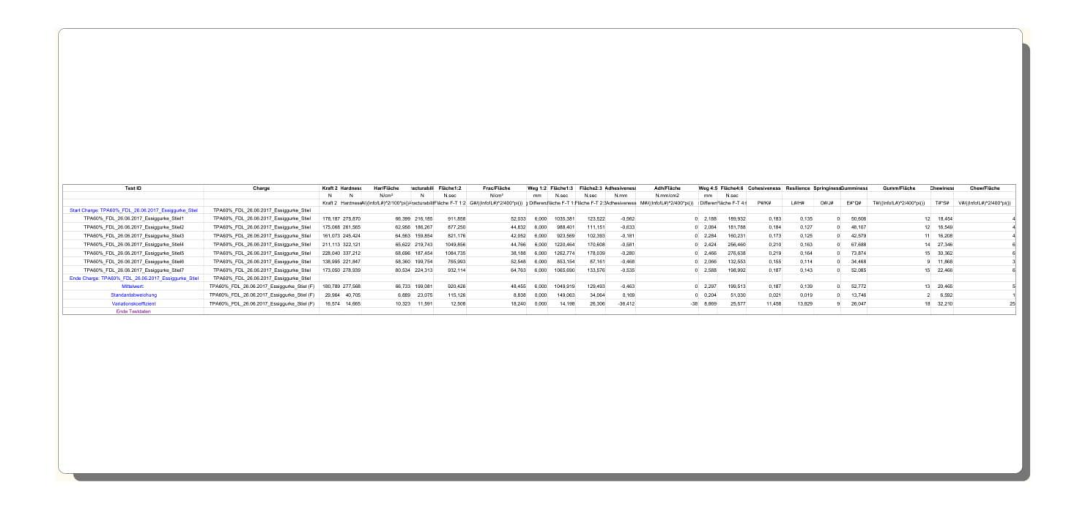


Anlage 23: Kraft-Zeit-Kurve der TPA-Methode mit 60% Kompression. Beispiel (FDL\_Stielende)

Wednesday, 08 November, 2017 2:05 PM

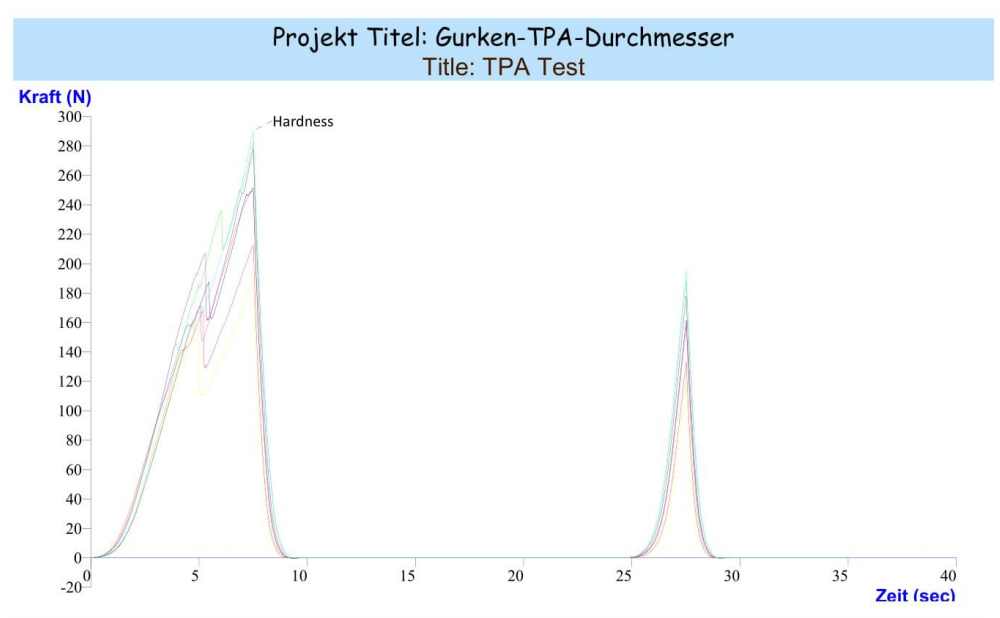


T.A SETTINGS	PRODUCT PARAMETERS
T.A. Variable Nr: 1: Druck	Charge: TPA60%_FDL_26.06.2017_Essiggurke_Sti el
TPA 1	Gemessen am: Mittwoch, 8. November 2017 13:55:30
Vor Geschwindigkeit: 1,00 mm/sec	Gemessen von: Daoud
Test Geschwindigkeit: 0,80 mm/sec	Messpunkte pro Sekunde: 200
Rück Geschwindigkeit: 5,00 mm/sec	Werkzeug: P/75 ; 75mm COMPRESSION PLATEN
Weg: 6,0 mm Auslöse Kraft: 5,0 g	Kapazität Kraftmesszelle : 50000g
Fr	aebnisse

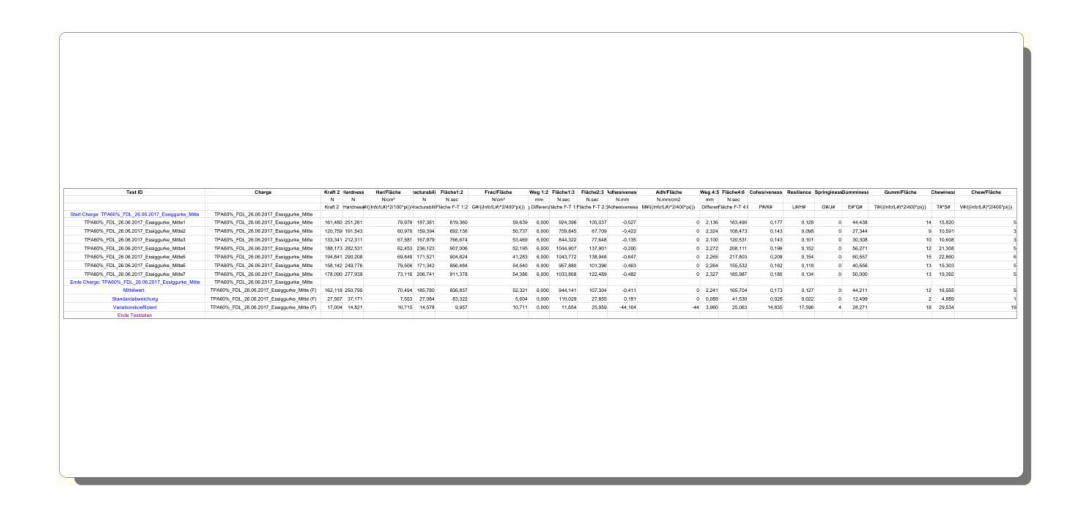


Anlage 24: Kraft-Zeit-Kurve der TPA-Methode mit 60% Kompression. Beispiel (FDL\_Mitte)

Wednesday, 08 November, 2017 1:47 PM

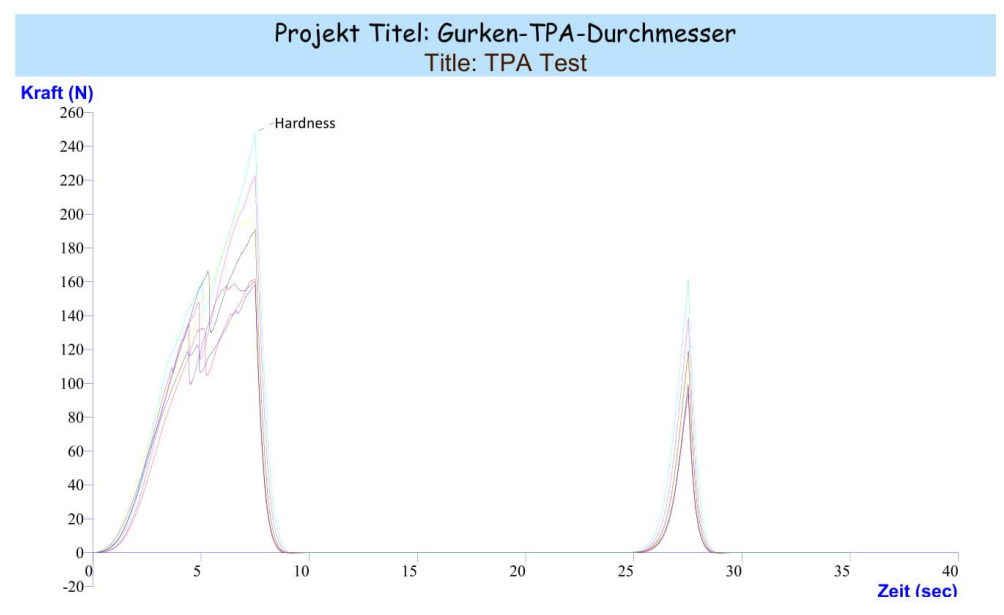


T.A SETTINGS	PRODUCT PARAMETERS
T.A. Variable Nr: 1: Druck	Charge:
1.A. Valiable 141. 1. Di ack	TPA60%_FDL_26.06.2017_Essiggurke_Mit te
TPA 1	Gemessen am: Mittwoch, 8. November 2017 13:39:27
Vor Geschwindigkeit: 1,00 mm/sec	Gemessen von: Daoud
Test Geschwindigkeit: 0,80 mm/sec	Messpunkte pro Sekunde: 200
Rück Geschwindigkeit: 5,00 mm/sec	Werkzeug: P/75 ; 75mm
	COMPRESSION PLATEN
Weg: 6,0 mm	Kapazität Kraftmesszelle : 50000g
Auslöse Kraft: 5,0 g	
En	gebni <i>ss</i> e



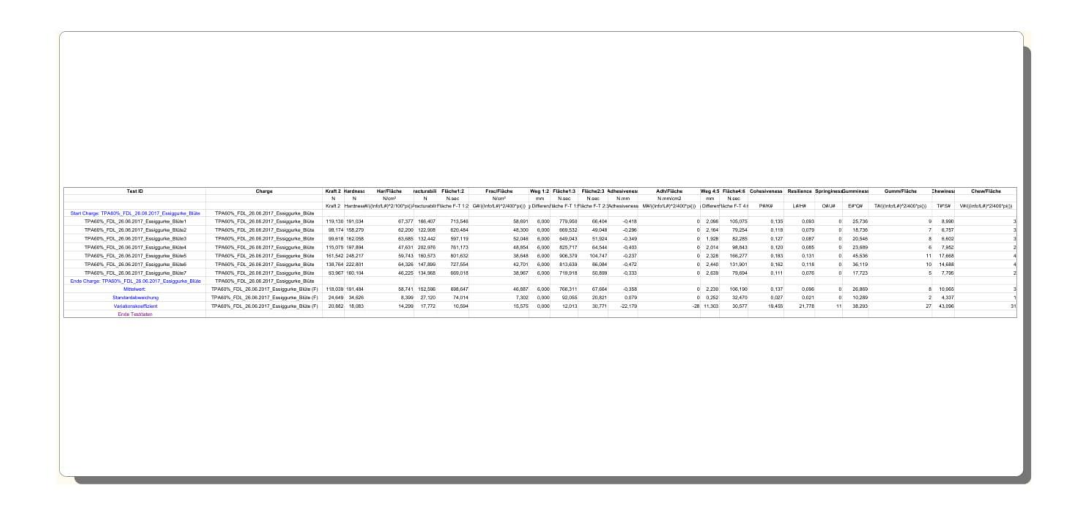
Anlage 25: Kraft-Zeit-Kurve der TPA Methode mit 60% Kompression. Beispiel (FDL\_Blütenende)

Wednesday, 08 November, 2017 2:23 PM



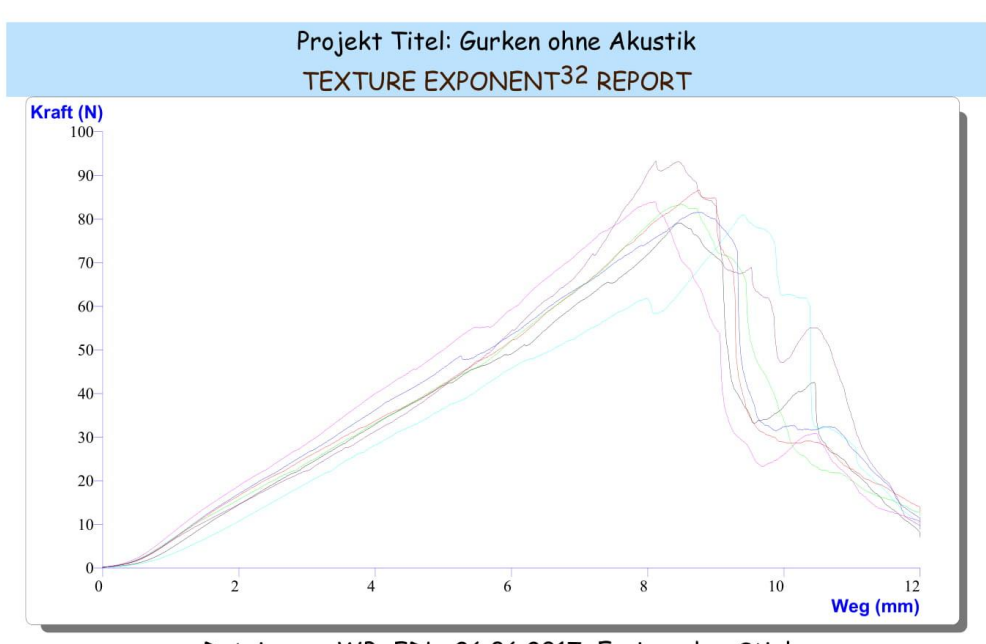
T.A SETTINGS	PRODUCT PARAMETERS
T.A. Variable Nr: 1: Druck	Charge:
	TPA60%_FDL_26.06.2017_Essiggurke_Blü
	te
TPA 1	Gemessen am: Mittwoch, 8. November 2017
	14:15:56
Vor Geschwindigkeit: 1,00 mm/sec	Gemessen von: Daoud
Test Geschwindigkeit: 0,80 mm/sec	Messpunkte pro Sekunde: 200
Rück Geschwindigkeit: 5,00 mm/sec	Werkzeug: P/75 ; 75mm
	COMPRESSION PLATEN
Weg: 6,0 mm	Kapazität Kraftmesszelle : 50000g
Auslöse Kraft: 5,0 g	

Ergebnisse



Anlage 26: Kraft-Zeit Kurve der WB-Methode. Beispiel (FDL\_Stielende)

Wednesday, 08 November, 2017 11:03 AM



Dateiname: WB\_FDL\_26.06.2017\_Essiggurke\_Stiel

11:01:29

#### T.A SETTINGS

# PRODUCT PARAMETERS Charge:

Test Art: Druck

Return to Start (Set Dist)

Gemessen am: Mittwoch, 8. November 2017

Vor Geschwindigkeit: 2,00 mm/sec

Gemessen von: Daoud

Test Geschwindigkeit: 1,00 mm/sec

Messpunkte pro Sekunde: 250

Rück Geschwindigkeit: 10,00 mm/sec

Werkzeug: HDP/WBR ; WARNER BRATZLER RECTANGULAR NOTCH BLADE

Weg: 12,0 mm

Kapazität Kraftmesszelle: 50000g

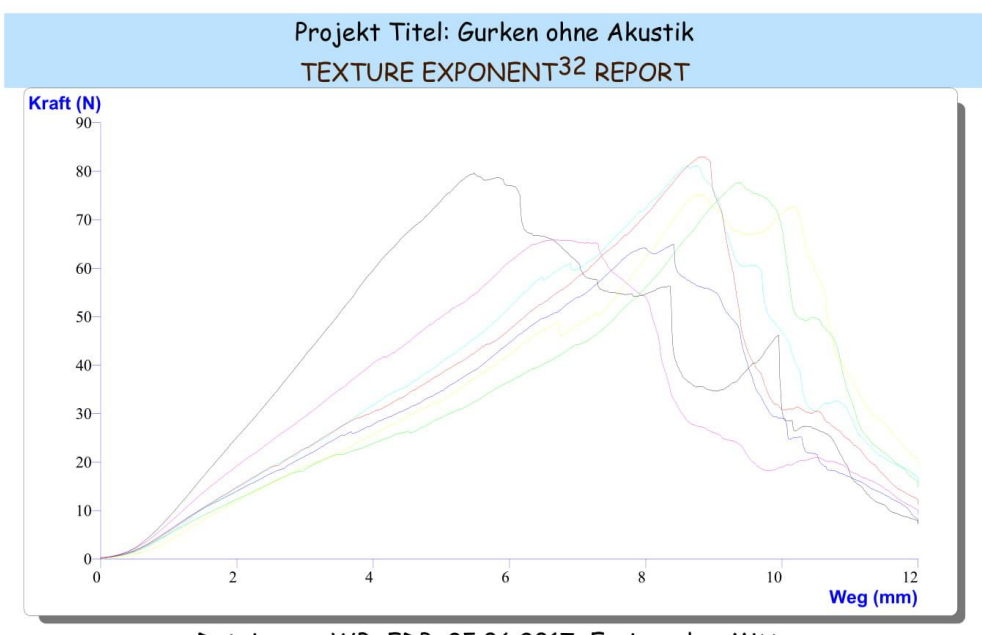
Auslöse Kraft: 20,0 g

#### Notes

				I	RESULT	5				
Test ID	Charge	Steigung	Kraft 1	Fläche	Durchmesser3te	eigung/Durchm H	Kraft/Durchm.	läche1/Durchm	Fläche F-D 1:5	Fläche2/Durchm
		N/mm	N	N.mm	mm	N/mm²	N/mm	N	N.mm	N
		eigung F-D 2	Kraft 1	läche F-D 1:	Info!J4	D4/G4	E4/G4	F4/G4	Fläche F-D 1:5	K4/G4
Start Charge: Unbekannt	Unbekannt									
L_26.06.2017_Essiggurke_	Unbekannt	9,35	79,11	299,2	21,0	0,445	3,767	14,25	427,5	20,36
L_26.06.2017_Essiggurke_	Unbekannt	9,47	81,59	344,5	21,0	0,451	3,885	16,40	465,1	22,15
L_26.06.2017_Essiggurke_	Unbekannt	9,80	86,65	340,4	25,0	0,392	3,466	13,62	451,2	18,0
L_26.06.2017_Essiggurke_	Unbekannt	9,81	83,40	316,4	24,0	0,409	3,475	13,18	452,4	18,8
L_26.06.2017_Essiggurke_	Unbekannt	8,19	81,02	323,2	25,0	0,328	3,241	12,93	428,7	17,15
L_26.06.2017_Essiggurke_	Unbekannt	10,52	83,96	326,6	23,0	0,457	3,650	14,20	459,9	20,00
L_26.06.2017_Essiggurke_	Unbekannt	11,52	93,33	292,5	23,0	0,501	4,058	12,72	504,0	21,9
Ende Charge: Unbekannt	Unbekannt									
Mittelwert:	Unbekannt (F)	9,81	84,15	320,4	23,1	0,426	3,649	13,90	455,5	19,78
Standardabweichung	Unbekannt (F)	1,03	4,71	19,5	1,7	0,056	0,279	1,25	25,8	1,88
Variationskoeffizient	Unbekannt (F)	10,53	5,59	6,1	7,2	13,114	7,648	9,02	5,7	9,5
Ende Testdaten										

Anlage 27: Kraft-Zeit-Kurve der WB-Methode. Beispiel (FDL\_Mitte)

Wednesday, 08 November, 2017 10:49 AM



Dateiname: WB\_FDP\_25.06.2017\_Essiggurke\_Mitte

10:42:15

#### T.A SETTINGS

### PRODUCT PARAMETERS

Test Art: Druck

Return to Start (Set Dist)

Charge: Gemessen am: Mittwoch, 8. November 2017

Vor Geschwindigkeit: 2,00 mm/sec

Gemessen von: Daoud

Test Geschwindigkeit: 1,00 mm/sec

Messpunkte pro Sekunde: 250

Rück Geschwindigkeit: 10,00 mm/sec

Werkzeug: HDP/WBR ; WARNER BRATZLER RECTANGULAR NOTCH BLADE

Weg: 12,0 mm

Kapazität Kraftmesszelle: 50000g

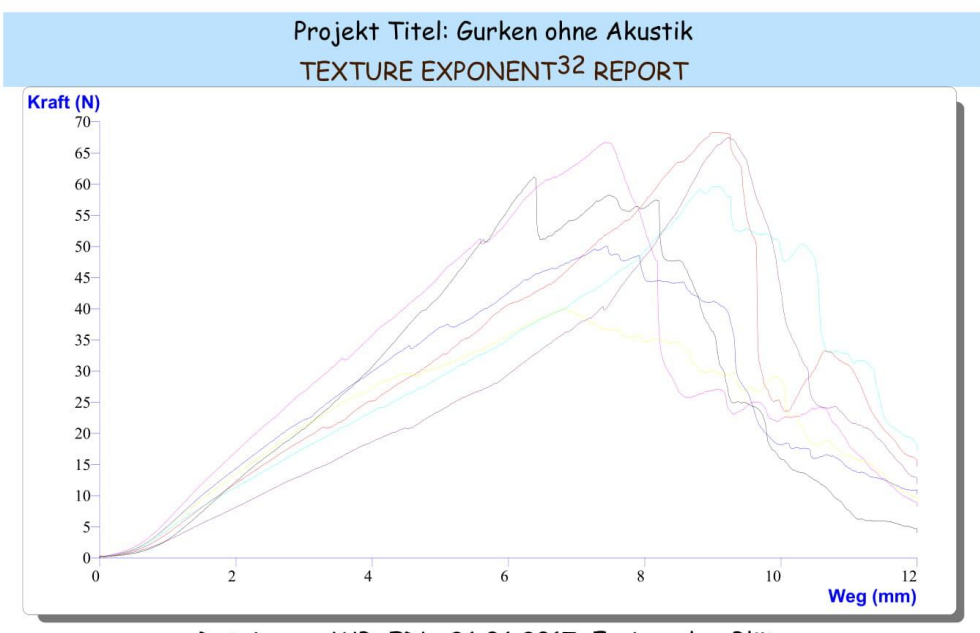
Auslöse Kraft: 20,0 g

#### Notes

				- 1	RESULT	5				
Test ID	Charge	Steigung	Kraft 1	Fläche	Durchmesser3te	eigung/Durchm h	Kraft/Durchm.	läche1/Durchm	Fläche F-D 1:5	Fläche2/Durchm
		N/mm	N	N.mm	mm	N/mm²	N/mm	N	N.mm	N
		eigung F-D 2	Kraft 1	läche F-D 1:	Info!J4	D4/G4	E4/G4	F4/G4	Fläche F-D 1:5	K4/G4
Start Charge: Unbekannt	Unbekannt									
L_26.06.2017_Essiggurke_	Unbekannt	16,99	79,63	208,5	19,0	0,894	4,191	10,97	491,8	25,89
L_26.06.2017_Essiggurke_	Unbekannt	7,89	64,95	260,4	19,0	0,415	3,419	13,71	369,5	19,45
L_26.06.2017_Essiggurke_	Unbekannt	9,12	83,00	317,5	23,0	0,396	3,609	13,81	425,0	18,48
L_26.06.2017_Essiggurke_	Unbekannt	7,90	77,65	288,9	24,0	0,329	3,236	12,04	406,9	16,95
L_26.06.2017_Essiggurke_	Unbekannt	9,26	81,16	318,9	24,0	0,386	3,382	13,29	457,3	19,05
L_26.06.2017_Essiggurke_	Unbekannt	10,27	65,95	217,8	21,0	0,489	3,140	10,37	390,7	18,61
L_26.06.2017_Essiggurke_	Unbekannt	8,24	75,17	267,4	22,0	0,375	3,417	12,15	438,2	19,92
Ende Charge: Unbekannt	Unbekannt									
Mittelwert:	Unbekannt (F)	9,95	75,36	268,5	21,7	0,469	3,485	12,33	425,6	19,76
Standardabweichung	Unbekannt (F)	3,22	7,22	44,0	2,1	0,194	0,345	1,34	41,4	2,86
Variationskoeffizient	Unbekannt (F)	32,35	9,58	16,4	9,8	41,249	9,902	10,87	9,7	14,46
Ende Testdaten										

Anlage 28: Kraft-Zeit-Kurve der WB-Methode. Beispiel (FDL\_Blütenende)

Wednesday, 08 November, 2017 11:19 AM



Dateiname: WB\_FDL\_26.06.2017\_Essiggurke\_Blüte

Charge:

#### T.A SETTINGS

### PRODUCT PARAMETERS

Test Art: Druck

Return to Start (Set Dist)

11:15:26

Gemessen von: Daoud

Vor Geschwindigkeit: 2,00 mm/sec

Messpunkte pro Sekunde: 250

Test Geschwindigkeit: 1,00 mm/sec

Werkzeug: HDP/WBR ; WARNER BRATZLER RECTANGULAR NOTCH BLADE

Gemessen am: Mittwoch, 8. November 2017

Rück Geschwindigkeit: 10,00 mm/sec

Kapazität Kraftmesszelle: 50000g

Weg: 12,0 mm Auslöse Kraft: 20,0 g

## 71431036 KI 41 1. 20,0 g

#### Notes RESULTS gung/Durchm Kraft/Durchm. Fläche1/Durchm Fläche F-D 1:5 Fläche2/Durchm. Test ID Steigung Kraft 1 Fläche Durchmesser3te N/mm eigung F-D 2 Kraft 1 the F-D 1: Info!J4 D4/G4 E4/G4 F4/G4 Fläche F-D 1:5 K4/G4 Start Charge: Unbekannt WB\_FDL\_26.06.2017\_Essiggurke\_Blüte01 Unbekannt 40,09 147,1 17,0 0,356 2,358 8,65 284,6 16,74 WB\_FDL\_26.06.2017\_Essiggurke\_Blüte02 Unbekann 7,21 50,06 195,6 17,0 0,424 2,945 11,51 323,8 19,05 WB FDL 26.06.2017 Essiggurke Blüte03 Unbekannt 7,36 68,33 276,7 19,0 0,387 3,596 14,56 372,0 19,58 WB\_FDL\_26.06.2017\_Essiggurke\_Blüte04 Unbekannt 10,54 61,13 158,4 22,0 0,479 2,779 7,20 337,5 15,34 WB\_FDL\_26.06.2017\_Essiggurke\_Blüte05 Unbekannt 6 20 59 64 242 6 21.0 0 295 2 840 11.55 362.3 17.25 WB\_FDL\_26.06.2017\_Essiggurke\_Blüte06 371,0 66,68 244,3 20,0 0,465 3,334 12,21 18,55 Unbekannt 9,30 WB\_FDL\_26.06.2017\_Essiggurke\_Blüte07 Unbekannt 67,48 227,8 0,329 Ende Charge: Unbekannt Unbekannt Mittelwert: Unbekannt (F) 7.75 59,06 213,2 19,9 0,391 2,969 10,80 338,7 17,20 2,44 Unbekannt (F) 1,63 10,49 47,9 2,3 0,069 0,399 32,2 2,06 Variationskoeffizient Unbekannt (F) 17,76 22,5 22,56 Ende Testdaten

Erklärung über di	e selbstständige	Anfertigung	der Arbeit
-------------------	------------------	-------------	------------

Hiermit versichere ist, dass ich die vorliegende Arbeit so	elbstständig angefertigt habe und
keine anderen als die angegebenen Quellen und Hilfsmittel l	benutzt habe.
Ort, Datum	Unterschrift